

i

**Universidade Estadual de Campinas**

**Instituto de Química**

**Departamento de Química Orgânica**



**UBIRATAN FLORES DA SILVA**

**Moléculas orgânicas voláteis: papel das mesmas em ecologia  
química, caminhos de fragmentação em espectrometria de  
massas e síntese.**

Tese apresentada à Universidade  
Estadual de Campinas, como parte  
das exigências do curso de pós-  
graduação do Instituto de Química,  
para a obtenção do título de  
**"Doctor Scientiae"**.

**Profa. Dra. Anita Jocelyne Marsaioli**

*Orientadora*

Campinas - São Paulo  
Dezembro - 2001

UNICAMP  
BIBLIOTECA CENTRAL

## AGRADECIMENTOS

A Profa. Dra. Anita Jocelyne Marsaioli, pela possibilidade de participação em seu grupo de pesquisas, pela orientação, pela amizade, pela sua maneira de trabalho e incentivo durante esses anos.

Ao Departamento de Química e a UFSM (Universidade Federal de Santa Maria) pela liberação para realização do curso de Doutorado.

A UNICAMP e ao Instituto de Química pela oportunidade e facilidades aqui encontradas.

A CAPES-PICDT pela bolsa de estudos concedida.

Um agradecimento especial à Dona Maria sem a qual os trabalhos seriam bastante dificultados

Ao Ademir Sartori (CPG-UFSM)

A Mary Ann Foglio pelo fornecimento do ácido artemisinínico.

Ao Mário (mecânica fina) pela confecção dos injetores de amostras sólidas.

Ao pessoal da hialotecnia do IQ-UNICAMP pela paciência e trabalhos prestados.

Aos colegas e amigos do grupo (da época, antigos e novos) pelas trocas e bons momentos no decorrer desses anos: Gelson, Denise, Regina, André, Samísia, Cláudio, Laverde, Paulo, Marizinha, Renato, Clara, Lídia, Cecília, Vera, Mary Ann, Carmem, Péricles, Domingos, Luiz Antonio, Sérgio, Ricardo.

Aos amigos de outros grupos de pesquisa: Ivani, Valéria, Miriam, Carlos (Cadeirudo), Peixoto, Gilvandete, Raquel, Pilar, Catarina, Adriana, Alana, Sílvio, Marcelo, Adriano, Maurício, Valéria, Cris, Sandrinha, Edgar, Mola, Cleci, Luiz, Ítalo, Edson, Elias.

Ao Prof. Marcos Eberlin e ao Betão pela possibilidade dos experimentos em MS/MS.

Aos funcionários do IQ-UNICAMP: Denise (CPG), Bel (CPG), André(CPG), Paula(xerox), Paula(RMN), Sonia F.(RMN), Sonia C.(RMN); enfim a todos que contribuíram de maneira direta ou indireta para o desenvolvimento e conclusão do meu trabalho.

Um agradecimento muito  
especial para minha esposa  
Eliani, pela paciência, incentivo,  
compreensão e dedicação  
durante os anos de realização da  
nossa pós-graduação

A minha mãe e irmãos

## RESUMO

### **Moléculas orgânicas voláteis: papel das mesmas em ecologia química, caminhos de fragmentação em espectrometria de massas e síntese.**

**Aluno:** Ubiratan Flores da Silva, RA: 956502, Dr. Pantaleão, 587/414, Santa Maria – RS, CEP: 97010-160

**palavras-chave:** *Orquidaceae, Bulbophyllum, EM/EM, sesquiterpenos, 7,7,11-trimetil-triciclo-[6.3.0.0<sup>6,8</sup>]undec-2-en-1-oná,*

A pesquisa em ecologia química foi beneficiada pelos avanços tecnológicos recentes: nas técnicas de amostragem [SPME, microextração em fase sólida; "headspace" dinâmico e estático, aplicando resinas especiais como material adsorvente], nas análises cromatográficas (GC, HPLC), nos métodos de detecção (EM, RMN, IV), e na disponibilidade de bancos de dados. Entretanto, a identificação de novos compostos voláteis demanda conhecimento mais profundo dos caminhos de fragmentação de alguns compostos voláteis como os terpenos.

Desse modo, essa tese aspira a um melhor entendimento dos compostos voláteis no que diz respeito a:

1. interações mutualistas de três espécies de orquídeas (*Bulbophyllum weddelli*, *B. involutum* e *B. ipanemense*) do estado de Minas Gerais com seus polinizadores;
2. caminhos de fragmentação de terpenos usando marcação isotópica;
3. síntese de um norterpeno: 7,7,11-trimetil- triciclo-[6.3.0.0<sup>6,8</sup>]undec-2-en-1-oná.

As observações de campo e laboratoriais realizadas por Dr. E. Borba, sobre as interações mutualistas entre três espécies de orquídeas Brasileiras (*Bulbophyllum weddelli*, *B. involutum* e *B. ipanemense*) e seus polinizadores, fêmeas de *Pholeomyia* (Díptera: Milichiidae), serviram de base para o estudo que levou ao esclarecimento do comportamento dos polinizadores no nível molecular usando os constituintes voláteis como um único argumento. Dentre as várias técnicas de amostragem, foram empregadas, "headspace" com Porapak Q, extração com CO<sub>2</sub> a alta pressão (700-900 psi), microhidrodestilação, SPME com vários tipos de fibras. Os melhores resultados foram obtidos com um injetor de amostras sólidas desenvolvido no laboratório para inserir uma pequena parte da pétala da orquídea diretamente no injetor.

Vários sesquiterpenos deuterados em sítios específicos, completamente caracterizados por RMN de <sup>1</sup>H e RMN de <sup>13</sup>C, foram estudados por MS/MS a fim de elucidar os principais caminhos de fragmentação dos aromadendranos, cadinanos e amorfanos.

O capítulo final descreve a síntese do norsesquiterpeno 7,7,11-trimetil- triciclo-[6.3.0.0<sup>6,8</sup>]-undec-2-en-1-oná, em 13 passos e 0,70% de rendimento à partir do (+)-2-careno. A estratégia sintética utilizada foi uma reação de Pauson-Khand modificada, seguida por uma reação de Bamford-Stevens.

Finalmente, esta tese apresenta resultados inéditos a respeito da interação ecológica existente entre *Bulbophyllum/Pholeomyia*, a síntese de seis novos sesquiterpenes deuterados e um norsesquiterpeno.

## ABSTRACT

### Volatile organic molecules: their role in chemical ecology, fragmentation pathway in mass spectrometry and synthesis.

Sr. Ubiratan Flores da Silva, RA: 956502, Rua Dr. Pantaleão, 587/414, Santa Maria – RS, CEP: 97010-160

**keywords:** *Orchidaceae, Bulbophyllum, MS/MS, sesquiterpenes, 7,7,11-trimethyl-tricycle-[6.3.0.0<sup>6,8</sup>]-undec-2-en-1-one*

The chemical ecology research has benefit of the recent technological advances in: sampling techniques [SPME ,solid phase micro extraction; static and dynamic headspaces applying special resins as absorbing material], chromatography (GC, HPLC), in detection (MS, NMR, IR), and availability of large libraries. Nevertheless, the identification of new volatile compounds demands for a more complete knowledge of the fragmentation pathways of some volatile compounds like terpenes.

Thus this thesis aims at a better understanding of volatile compounds:

1. in mutualistic interactions of three orchid species from Minas Gerais state and their pollinators (*Bulbophyllum weddelli, B. involutum* and *B. ipanemense*);
2. fragmentation pathways of terpenes using deuterium labeling;
3. synthesis of 7,7,11-trimethyl- tricycle-[6.3.0.0<sup>6,8</sup>]-undec-2-en-1-one.

Dr. Eduardo Borba's detailed field and laboratory observations on three Brazilian orchid species (*Bulbophyllum weddelli, B. involutum* and *B. ipanemense*) and their pollinators of Pholeomyia female (Diptera: Milichiidae) were the basis of our first research topic. We were thus able to explain the pollinators behavior at the molecular level using the volatile constituents as the sole argument. Several sampling techniques were employed "headspace" with Porapak Q, high pressure CO<sub>2</sub> (700-900 psi), micro hydrodestillation, SPME of several types etc. The best results were obtained with a home made solid sample insertion device to insert a small portion of the orchid petal directly into the injector.

Several sesquiterpenes deuterated at specific sites, fully characterized by <sup>1</sup>H and <sup>13</sup>C NMR, were studied by MS/MS in order to elucidate the main fragmentation pathways of aromadendranes, cadinanes and amorfanes.

The final chapter describes the synthesis of a *nor*-sesquiterpene (7,7,11-trimethyl- tricycle-[6.3.0.0<sup>6,8</sup>]-undec-2-en-1-one) in 13 steps and 0.70% yield from 2-carene. The synthetic strategy used a modified Pauson-Khand reaction, followed by a Bamford-Stevens reaction.

Finally this thesis reports novel results on the *Bulbophyllum/Pholeomyia* ecological interaction and the synthesis of six new deuterated sesquiterpenes and one *nor*-sesquiterpene.

## CURRICULUM VITAE

**NOME:** Ubiratan Flores da Silva

**ENDEREÇO:** Rua Dr. Pantaleão, 587/414

Centro

Santa Maria – RS

CEP: 97010-180

**TELEFONE:** (XX)(55) 221-2097 (55)9965-0555

**e-mail:** ubiratan@hanoi.base.ufsm.br

**DATA DE NASCIMENTO:** 31/12/1962

## FORMAÇÃO

**1º Grau:** Escola Normal Medianeira

Santiago -RS

1976

**2º Grau:** Colégio Estadual Manoel Ribas

Habilitação: Auxiliar de Laboratório de Análises Químicas

Santa Maria - RS

1981

**3º Grau:** Química Industrial

Universidade Federal de Santa Maria

Santa Maria - RS

1991

## PÓS - GRADUAÇÃO EM QUÍMICA

### MESTRADO

Univeridade Federal de Santa Maria – UFSM – Santa Maria - RS

01/1995

**Título:** "Determinação da Estereoquímica das Unidades N,N-Dimetil-Aminoácidos e de  $\alpha$ -Aminoácidos de Alcalóides Ciclopeptídicos de 14 Membros Através de Cromatografia Gasosa Enantioseletiva".

### **DOUTORADO**

Universidade Estadual de Campinas – UNICAMP – Campinas – SP

**Título:** "Moléculas Orgânicas Voláteis: papel das mesmas em ecologia química, caminho de fragmentação em espectrometria de massas e síntese."

12/2001

### **FUNÇÕES EXERCIDAS**

#### **1. TÉCNICO DE LABORATÓRIO\***

Departamento de Química - Laboratório de Cromatografia e Espectrometria de Massas

Universidade Federal de Santa Maria

Santa Maria - RS

à partir de 16/06/1987

\*Especialista em:

- CG;
- CG/EM;
- HPLC;
- Síntese de fases quirais derivadas de ciclodextrinas;
- Confecção de colunas capilares para cromatografia gasosa, utilizando como fases estacionárias quirais derivados de ciclodextrinas.

### **PARTICIPAÇÃO EM CONGRESSOS**

#### **1. 15ª Reunião Anual da Sociedade Brasileira de Química**

Caxambu -MG

Maio/1992

" Análise da Estereoquímica de Alcalóides Ciclopeptídicos"

**2. VII Encontro Nacional de Química Analítica**

PUC - Rio de Janeiro - RJ

Setembro/1993

" Determinação da Estereoquímica de Aminácidos Através de Cromatografia Gasosa"

**3. I<sup>a</sup> Jornada de Pesquisa das Universidades do Grupo de Montevidéu - AUGM**

Universidade Federal de Santa Maria - RS

Setembro/1993

"Emprego de Ciclodextrinas Substituídas Como Fase Estacionária Quiral em Cromatografia Gasosa"

**4. Simpósio Brasileiro de Cromatografia e Técnicas Afim**

Águas de São Pedro -SP

Setembro/1993

"Separação de Enantiômeros empregando Ciclodextrinas Substituídas como Fase Estacionária Quiral em Cromatografia Gasosa"

**5. 19<sup>a</sup> Reunião Anual da Sociedade Brasileira de Química**

Poços de Caldas – MG

Maio 1996

"Obtenção de Sesquiterpenos Deuterados Para Estudos de Suas Fragmentações no Espectrômetro de Massas"

**6. 21<sup>a</sup> Reunião Anual da Sociedade Brasileira de Química**

Poços de Caldas – MG

Maio 1998

"Análise de Voláteis de Três Espécies de *Bulbophyllum* (Orquidaceae)"

**7. 2<sup>nd</sup> IUPAC – International Conference on Biodiversity**

Belo Horizonte – MG

July 11-15, 1999

"New Easy Route to a Homochiral Tricyclo [6.3.0.0<sup>2,4</sup>] Undecenone"

**8. VIII Congresso Latinoamericano de Cromatografia Y Tecnicas Afines**

Buenos Aires, Argentina

12-14 de abril, 2000

"Determinação da Composição Enantiomérica de Monoterpenos Presentes no Óleo Essencial das Folhas, Rizoma e Flores de *Alpinia Speciosa* (Zingiberaceae)".

**9. XVI Simpósio de Plantas Medicinais do Brasil**

Recife – PE

17-20 de outubro, 2000

"Neutral Cyclopeptides Of "Discaria Americana" Gill & Hook"

**10. VIII Encontro de Química da Região Sul**

Santa Cruz do Sul – RS

08-10 de novembro, 2000

"Ciclopeptídeos Neutros Isolados de *Discaria Americana* Gill & Hook".

**11. 24<sup>a</sup> Reunião Annual da Sociedade Brasileira de Química**

Poços de Caldas – MG

28-31 de maio, 2001

"Avaliação da Composição Química de Óleos Voláteis de *Chamomila Recutita L.* Obtidos de Plantas Nativas e Cultivadas".

## PUBLICAÇÕES

1. "Determination of the Stereochemistry of the N,N-dimethyl Amino Acid and the  $\alpha$ -amino Acid Residue of Peptide Alkaloids by Chiral Gas Chromatography"

*Phytochemical Analysis*, vol.7, 20-23(1996)

2. "A Simple Solid Injection Device for the Analysis of *Bulbophyllum* (Orchidaceae) Volatiles"

*Phytochemistry* 50 (1999) 31-34

3. "Cyclopeptides from the Bark of *Discaria americana*"

*Phytochemistry* may, 22, 2001

## ATIVIDADES DIDÁTICAS

**Professor Substituto**

**Cursos:** Farmácia, Física e Biologia

**Disciplinas ministradas:** Química Orgânica Teórica e Prática

**Período:** março a dezembro, 2001

## ÍNDICE

	página
Resumo.....	xi
Abstract.....	xiii
Abreviações e símbolos.....	xxxix
<b>1. INTRODUÇÃO E OBJETIVOS.....</b>	<b>001</b>

## 2. CAPÍTULO 1

2.1 Estudo da Composição dos Voláteis envolvidos nas Orquídeas ( <i>Bulbophyllum weddelli</i> , <i>B. involutum</i> e <i>B. ipanemense</i> ) nativas do Estado de Minas Gerais e seus polinizadores.....	003
2.2 Considerações gerais.....	003
2.3 Generalidades sobre o gênero <i>Bulbophyllum</i> .....	003
2.4 Resultados e discussões.....	004
2.5 Experimental.....	029
2.5.1 Plantas.....	029
2.5.2 CG/EM.....	029
2.5.3 Extração através de Soxhlet com CO <sub>2</sub> a alta pressão.....	031
2.5.4 Hidrodestilação.....	031
2.5.5 Headspace.....	031
2.5.6 Análise de amostras sólidas.....	032
2.5.7 Micro-extração em fase sólida.....	032
2.5.8 Construção do injetor de amostras sólidas.....	032

## LISTA DE FIGURAS

Figura 1 – Sistema utilizado para a captura de compostos voláteis (headspace).....	005
Figura 2 – Equipamento utilizado para extração com CO <sub>2</sub> líquido.....	007
Figura 3 – Corte transversal do equipamento utilizado para extração com CO <sub>2</sub> .....	010

<b>Figura 4 – Microextração em fase sólida.....</b>	011
<b>Figura 5 – Injetor de sólidos cedido pelo Dr. Vostrowsky.....</b>	013
<b>Figura 6 – Injetor de sólidos desenvolvido no laboratório.....</b>	014
<b>Figura 7 – Cromatogramas obtidos por CG/EM de partes distintas da flor de <i>B. weddelli</i> utilizando injetor de sólidos.....</b>	015
<b>Figura 8 – Cromatogramas obtidos das três espécies de <i>Bulbophyllum</i> utilizando injetor de sólidos.....</b>	016
<b>Figura 9 – <i>B. weddellii</i> e <i>B. involutum</i> com seus polinizadores alimentando-se na base do labélolo.....</b>	025
<b>Figura 10 – <i>B. weddellii</i> e <i>B. ipanemense</i>.....</b>	027

**LISTA DE TABELAS**

<b>Tabela 1 – Compostos voláteis detectados em <i>Bulbophyllum weddellii</i>, <i>B. involutum</i> e <i>B. ipanemense</i>.....</b>	017
<b>Tabela 2 – Compostos identificados em <i>Bulbophyllum weddellii</i>, <i>B. involutum</i> e <i>B. ipanemense</i>.....</b>	018

**3. CAPÍTULO 2**

3.1 – Estudos de fragmentação de compostos sesquiterpênicos isotopicamente marcados com deutério.....	035
3.2 – Considerações gerais.....	035
3.3 – Resultados e discussões.....	036
3.3.1 – Síntese dos padrões sesquiterpênicos .....	036
3.3.1.1 – Obtenção dos padrões <u>1</u> e <u>1a</u> , <u>2</u> e <u>2a</u> á partir do (+)-ledeno <u>7</u> ...	037
3.3.1.2 – Obtenção do epi-globulol <u>3</u> e <u>3a</u> à partir do <i>allo</i> -aromadendreno <u>8</u> .....	043
3.3.1.3 – Síntese do cadinol axial <u>4</u> e <u>4a</u> .....	053
3.3.1.4 – Síntese de amorfanos derivados do ácido artemisinínico.....	057
3.3.2 – Proposta de seqüência de fragmentação para os sesquiterpenos.....	077
3.3.2.1 – Palustrol <u>1</u> e <u>1a</u> .....	077

3.3.2.2 – epi-globulol <u>3</u> e <u>3a</u> .....	082
3.3.2.3 – cadinol axial <u>4</u> e <u>4a</u> .....	085
3.3.2.4 – (8S)-cetona de Quinghaosu <u>5</u> e <u>5a</u> .....	089
3.3.2.5 – Álcool de Quinghaosu <u>6</u> e <u>6a</u> .....	093
<b>4 – SÍNTESES</b>	<b>097</b>
4.1 – obtenção do álcool alílico <u>11</u> e dos epóxidos <u>12</u> e <u>13</u> .....	097
4.2 – obtenção do palustrol <u>1</u> e <u>1a</u> e do <i>epi</i> -globulol <u>2</u> e <u>2a</u> .....	106
4.2.1 – síntese do palustrol <u>1</u> e <i>epi</i> -globulol <u>2</u> .....	106
4.2.2 - síntese do palustrol <u>1a</u> e <i>epi</i> -globulol <u>2a</u> .....	116
4.3 – Síntese do <i>epi</i> -globulol D <sub>3</sub> <u>3a</u> á partir do <i>allo</i> -aromadendreno <u>8</u> .....	122
4.3.1 – síntese da <i>allo</i> -aromadendrona <u>16</u> .....	122
4.3.2 – síntese da aromadendrona-D <sub>3</sub> <u>15a</u> .....	126
4.3.3 – síntese do <i>epi</i> -globulol-D <sub>3</sub> <u>3a</u> .....	129
4.4 – Síntese do <i>epi</i> -globulol <u>2</u> á partir do (+)-aromadendreno <u>14</u> .....	132
4.4.1 – síntese da aromadendrona <u>15</u> .....	132
4.4.2 – síntese do <i>epi</i> -globulol <u>2</u> à partir da aromadendrona <u>15</u> .....	140
4.5 – Síntese do (±)-cadinol axial <u>4</u> e <u>4a</u> .....	143
4.5.1 – síntese da (±)-criptona <u>20</u> .....	143
4.5.2 - síntese da (±)- <i>trans</i> -octalona <u>9</u> .....	144
4.5.3 – reação de deuteração da (±)- <i>trans</i> -octalona <u>9</u> .....	150
4.5.4 – reação da (±)- <i>trans</i> -octalona <u>9</u> com CH <sub>3</sub> MgBr.....	153
4.5.5 – reação da (±)- <i>trans</i> -octalona <u>9a</u> com CH <sub>3</sub> MgBr.....	154
4.6 – Síntese de amorfanos derivados do ácido artemisinínico <u>23</u> .....	159
4.6.1 – esterificação do ácido artemisinínico <u>23</u> .....	159
4.6.2 – redução da dupla ligação exocíclica do éster <u>24</u> .....	160
4.6.3 – redução dos ésteres <u>25</u> e <u>26</u> para os álcoois <u>27</u> e <u>28</u> .....	161
4.6.4 – reação de mesilação dos compostos <u>27</u> e <u>28</u> .....	162
4.6.5 – redução com LiAlH <sub>4</sub> dos compostos <u>29</u> e <u>30</u> .....	163
4.6.6 – reação de epoxidação do composto <u>31</u> .....	168
4.6.7 – reação para obtenção da cetona <u>10</u> .....	169

4.6.8 – reação de deuteração da cetona <u>10</u> .....	173
4.6.9 – reação do composto <u>10</u> com MeOH/Na.....	177
4.6.10 – redução do composto <u>10</u> com LiAlH <sub>4</sub> .....	185
4.6.11 – redução do composto <u>10</u> com LiAlD <sub>4</sub> .....	189

## **LISTA DE FIGURAS**

<b>Figura 1</b> – deslocamentos químicos e atribuição dos sinais de RMN de <sup>1</sup> H e RMN de <sup>13</sup> C para o composto <u>11</u> .....	039
<b>Figura 2</b> – deslocamentos químicos e atribuição dos sinais de RMN de <sup>1</sup> H e RMN de <sup>13</sup> C para o epóxido majoritário.....	040
<b>Figura 3</b> – deslocamentos químicos e atribuição dos sinais de RMN de <sup>1</sup> H e RMN de <sup>13</sup> C para o epóxido minoritário.....	040
<b>Figura 4</b> – deslocamentos químicos e atribuição dos sinais de RMN de <sup>1</sup> H e RMN de <sup>13</sup> C para o palustrol <u>1</u> .....	041
<b>Figura 5</b> – deslocamentos químicos e atribuição dos sinais de RMN de <sup>1</sup> H e RMN de <sup>13</sup> C para o epi-globulol <u>2</u> .....	042
<b>Figura 6</b> – deslocamentos químicos e atribuição dos sinais de RMN de <sup>1</sup> H e RMN de <sup>13</sup> C para a aromadendrona <u>15</u> .....	045
<b>Figura 7</b> – dados de RMN de <sup>1</sup> H e RMN de <sup>13</sup> C para os ozonídeos <u>17</u> e <u>18</u> .....	046
<b>Figura 8</b> – Deslocamentos químicos dos sinais de RMN de <sup>1</sup> H e RMN de <sup>13</sup> C para a <i>allo</i> -aromadendrona <u>16</u> e suas atribuições.....	048
<b>Figura 9</b> – cromatograma (CG/EM) do produto de reação de deuteração da <i>allo</i> -aromadendrona <u>16</u> .....	049
<b>Figura 10</b> – deslocamentos químicos dos sinais de RMN de <sup>1</sup> H e RMN de <sup>13</sup> C para o epi-globulol-D <sub>3</sub> <u>3a</u> .....	051
<b>Figura 11</b> – deslocamentos químicos dos sinais de RMN de <sup>1</sup> H e RMN de <sup>13</sup> C para a ( $\pm$ )-trans-octalona <u>9</u> e suas atribuições.....	054
<b>Figura 12</b> – deslocamentos químicos dos sinais de RMN de <sup>1</sup> H e RMN de <sup>13</sup> C para o cadinol axial-D <sub>3</sub> <u>4a</u> .....	056
<b>Figura 13</b> – deslocamentos químicos dos sinais de RMN de <sup>1</sup> H e RMN de <sup>13</sup> C para a substância <u>31</u> .....	061

<b>Figura 14 – deslocamentos químicos dos sinais de RMN de <math>^1\text{H}</math> e RMN de <math>^{13}\text{C}</math> para a substância <u>10</u>.....</b>	064
<b>Figura 15 – cromatograma de íons e espectros de massas (70eV) das substâncias formadas na reação de deuteração de <u>10</u>.....</b>	066
<b>Figura 16 – deslocamentos químicos dos sinais de RMN de <math>^1\text{H}</math> e RMN de <math>^{13}\text{C}</math> para a substância <u>5a</u>.....</b>	068
<b>Figura 17 – cromatograma de íons e espectros de massas (70eV) das substâncias formadas na enolização de <u>10</u> com <math>\text{MeO}^-/\text{MeOH}</math>.....</b>	070
<b>Figura 18 – deslocamentos químicos dos sinais de RMN de <math>^1\text{H}</math> e RMN de <math>^{13}\text{C}</math> da cetona <u>5</u>.....</b>	071
<b>Figura 19 – deslocamentos químicos dos átomos de hidrogênio e incremento NOE dos sinais após irradiação do H-1a na cetona <u>5</u>.....</b>	072
<b>Figura 20 – deslocamentos químicos dos sinais de RMN de <math>^1\text{H}</math> e RMN de <math>^{13}\text{C}</math> do álcool <u>6</u>.....</b>	074
<b>Figura 21 – deslocamentos químicos dos sinais de RMN de <math>^1\text{H}</math> e RMN de <math>^{13}\text{C}</math> do álcool <u>6a</u>.....</b>	075
<b>Figura 22 – Espectro de massas (70 eV) do palustrol <u>1</u>.....</b>	078
<b>Figura 23 – Espectro de massas (70 eV) do palustrol <u>1a</u>.....</b>	079
<b>Figura 24 – Espectro de massas (70 eV) do <i>epi</i>-globulol <u>3</u>.....</b>	082
<b>Figura 25 – Espectro de massas (70 eV) do <i>epi</i>-globulol <u>3a</u>.....</b>	083
<b>Figura 26 – Espectro de massas (70 eV) do cadinol axial <u>4</u>.....</b>	086
<b>Figura 27 - Espectro de massas (70 eV) do cadinol axial <u>4a</u>.....</b>	086
<b>Figura 28 – Espectro de massas (70 eV) do composto <u>5</u>.....</b>	090
<b>Figura 29 – Espectro de massas (70 eV) do composto <u>5a</u>.....</b>	090
<b>Figura 30 – Espectro de massas (70 eV) do composto <u>6</u>.....</b>	094
<b>Figura 31 – Espectro de massas (70 eV) do composto <u>6a</u>.....</b>	094
<b>Figura 32 – Espectro de massas (70 eV) da mistura de epóxidos <u>12</u> e <u>13</u>.....</b>	098
<b>Figura 33 – Espectro de RMN de <math>^1\text{H}</math> (300 MHz, <math>\text{CDCl}_3/\text{TMS}</math>) da mistura de epóxidos <u>12</u> e <u>13</u>.....</b>	099
<b>Figura 34 – Espectro de RMN de <math>^{13}\text{C}</math> {<math>^1\text{H}</math>} (75,5 MHz, <math>\text{CDCl}_3/\text{TMS}</math>) da mistura de epóxidos <u>12</u> e <u>13</u> a) 15-25 ppm; b) 26-37 ppm; c) 44-95 ppm.....</b>	100

<b>Figura 35 – Espectro de RMN de <math>^{13}\text{C}</math> {<math>^1\text{H}</math>} a) DEPT 135; b) DEPT 90 da mistura de epóxidos <u>12</u> e <u>13</u>.....</b>	100
<b>Figura 36 – Espectro de massas (70 eV) da mistura do álcool <u>11</u>.....</b>	101
<b>Figura 37 – Espectro de RMN de <math>^1\text{H}</math> (300 MHz, <math>\text{CDCl}_3/\text{TMS}</math>) do álcool <u>11</u> .....</b>	102
<b>Figura 38 – Espectro de RMN de <math>^1\text{H}</math> (300 MHz, <math>\text{CDCl}_3/\text{TMS}</math>) do álcool <u>11</u> (0,3-2,5 ppm) .....</b>	102
<b>Figura 39 – Espectro de RMN de <math>^{13}\text{C}</math> {<math>^1\text{H}</math>} (75,5 MHz, <math>\text{CDCl}_3/\text{TMS}</math>) do álcool <u>11</u>....</b>	103
<b>Figura 40 – Espectro de RMN de <math>^{13}\text{C}</math> {<math>^1\text{H}</math>} (75,5 MHz, <math>\text{CDCl}_3/\text{TMS}</math>) do álcool <u>11</u> (15-43) ppm .....</b>	103
<b>Figura 41 – Espectro de RMN de <math>^{13}\text{C}</math> {<math>^1\text{H}</math>} a) DEPT 135; b) DEPT 90 do álcool <u>11</u>...</b>	104
<b>Figura 42 – Espectro de RMN de 2D de correlação <math>^1\text{H}, ^1\text{H}</math> (COSY) do álcool <u>11</u> .....</b>	105
<b>Figura 43 – Espectro de massas (70 eV) do palustrol <u>1</u>.....</b>	107
<b>Figura 44 – Espectro de RMN de <math>^1\text{H}</math> (500 MHz, <math>\text{CDCl}_3/\text{TMS}</math>) do palustrol <u>1</u> (0,5-2,3 ppm) .....</b>	108
<b>Figura 45 – Espectro de RMN de <math>^{13}\text{C}</math> {<math>^1\text{H}</math>} (75,5 MHz, <math>\text{CDCl}_3/\text{TMS}</math>) do palustrol <u>1</u>...</b>	108
<b>Figura 46 – Expansão do espectro de RMN de <math>^{13}\text{C}</math> {<math>^1\text{H}</math>} do palustrol <u>1</u> (5-50 ppm)....</b>	109
<b>Figura 47 – Espectro de RMN <math>^{13}\text{C}</math> {<math>^1\text{H}</math>} (a) DEPT 135 b) DEPT 90) do palustrol <u>1</u>.....</b>	109
<b>Figura 48 – Mapa de contorno do espectro de RMN de 2D, correlação <math>^{13}\text{C}, ^1\text{H}</math> (HMQC) do palustrol <u>1</u>.....</b>	110
<b>Figura 49 – Mapa de contorno do espectro de RMN de 2D, correlação <math>^{13}\text{C}, ^1\text{H}</math> (HMBC) do palustrol <u>1</u>.....</b>	111
<b>Figura 50 – Espectro de RMN de 2D de correlação <math>^1\text{H}, ^1\text{H}</math> (COSY) do palustrol <u>1</u>.....</b>	112
<b>Figura 51 – Espectro de massas (70 eV) do <i>epi</i>-globulol <u>2</u>.....</b>	113
<b>Figura 52 – Espectro de RMN de <math>^1\text{H}</math> (300 MHz, <math>\text{CDCl}_3/\text{TMS}</math>) do <i>epi</i>-globulol <u>2</u> (0,4-2,2 ppm) .....</b>	114
<b>Figura 53 – Espectro de RMN de <math>^{13}\text{C}</math> {<math>^1\text{H}</math>} (75,5 MHz, <math>\text{CDCl}_3/\text{TMS}</math>) do <i>epi</i>-globulol <u>2</u>.....</b>	114
<b>Figura 54 – Expansão do espectro de RMN de <math>^{13}\text{C}</math> {<math>^1\text{H}</math>} do <i>epi</i>-globulol <u>2</u> (15-44 ppm) .....</b>	115
<b>Figura 55 – Espectro de RMN <math>^{13}\text{C}</math> {<math>^1\text{H}</math>} (a) DEPT 135 b) DEPT 90) do <i>epi</i>-</b>	

<b>globulol 2.....</b>	<b>115</b>
<b>Figura 56 – Expansão do espectro de RMN <math>^{13}\text{C}</math> {<math>^1\text{H}</math>} (a) DEPT 135 b) DEPT 90) do <i>epi</i>-globulol <u>2</u> (14-39 ppm) .....</b>	<b>116</b>
<b>Figura 57 – Espectro de massas (70 eV) do palustrol-D<sub>1</sub> <u>1a</u>.....</b>	<b>117</b>
<b>Figura 58 – Espectro de RMN de <math>^1\text{H}</math> (300 MHz, <math>\text{CDCl}_3/\text{TMS}</math>) do palustrol-D<sub>1</sub> <u>1a</u> (0,3-2,3 ppm) .....</b>	<b>118</b>
<b>Figura 59 – Espectro de RMN de <math>^{13}\text{C}</math> {<math>^1\text{H}</math>} (75,5 MHz, <math>\text{CDCl}_3/\text{TMS}</math>) do palustrol-D<sub>1</sub> <u>1a</u>.....</b>	<b>119</b>
<b>Figura 60 – Expansão do espectro de RMN de <math>^{13}\text{C}</math> {<math>^1\text{H}</math>} (75,5 MHz, <math>\text{CDCl}_3/\text{TMS}</math>) do palustrol-D<sub>1</sub> <u>1a</u> (14-49 ppm) .....</b>	<b>120</b>
<b>Figura 61 – Espectro de RMN <math>^{13}\text{C}</math> {<math>^1\text{H}</math>} (a) DEPT 135 b) DEPT 90) do palustrol <u>1a</u>.....</b>	<b>119</b>
<b>Figura 62 – Espectro de massas (70eV) do <i>epi</i>-globulol-D<sub>1</sub> <u>2a</u>.....</b>	<b>120</b>
<b>Figura 63 – Espectro de RMN de <math>^1\text{H}</math> (300 MHz ) do <i>epi</i>-globulol-D<sub>1</sub> <u>2a</u> (0,4-2,1 ppm) .....</b>	<b>120</b>
<b>Figura 64 – Espectro de RMN de <math>^{13}\text{C}</math> {<math>^1\text{H}</math>} (75,5 MHz, <math>\text{CDCl}_3/\text{TMS}</math>) do <i>epi</i>-globulol-D<sub>1</sub> <u>2a</u>.....</b>	<b>121</b>
<b>Figura 65 – Expansão do espectro de RMN de <math>^{13}\text{C}</math> {<math>^1\text{H}</math>} (75,5 MHz) do <i>epi</i>-globulol-D<sub>1</sub> <u>2a</u> (15-57ppm) .....</b>	<b>121</b>
<b>Figura 66 – Espectro de RMN <math>^{13}\text{C}</math> {<math>^1\text{H}</math>} (a) DEPT 135 b) DEPT 90) do <i>epi</i>-globulol <u>2a</u>.....</b>	<b>122</b>
<b>Figura 67 – Espectro de massas (70 eV) da <i>allo</i>-aromadendrona <u>16</u>.....</b>	<b>123</b>
<b>Figura 68 – Espectro de RMN de <math>^1\text{H}</math> (300 MHz, <math>\text{CDCl}_3/\text{TMS}</math>) da <i>allo</i>-aromadendrona <u>16</u> (0,4-3,2) .....</b>	<b>124</b>
<b>Figura 69 – Espectro de RMN de <math>^{13}\text{C}</math> {<math>^1\text{H}</math>} (75,5 MHz, <math>\text{CDCl}_3/\text{TMS}</math>) da <i>allo</i>-aromadendrona <u>16</u>.....</b>	<b>124</b>
<b>Figura 70 – Espectro de RMN de <math>^{13}\text{C}</math> {<math>^1\text{H}</math>} (75,5 MHz, <math>\text{CDCl}_3/\text{TMS}</math>) da <i>allo</i>-aromadendrona <u>16</u> (13 -57 ppm) .....</b>	<b>125</b>
<b>Figura 71 – Espectro de RMN <math>^{13}\text{C}</math> {<math>^1\text{H}</math>} (a) DEPT 135 b) DEPT 90) da <i>allo</i>-aromadendrona <u>16</u> (14-56 ppm) .....</b>	<b>125</b>
<b>Figura 72 – Espectro de massas (70 eV) da aromadendrona-D<sub>3</sub> <u>15a</u> .....</b>	<b>127</b>

<b>Figura 73 – Espectro de RMN de <math>^1\text{H}</math> (300 MHz, <math>\text{CDCl}_3/\text{TMS}</math> da aromadendrona-D<sub>3</sub> <u>15a</u>.....</b>	127
<b>Figura 74 – Espectro de RMN de <math>^{13}\text{C} \{^1\text{H}\}</math> (75,5 MHz, <math>\text{CDCl}_3/\text{TMS}</math>) da aromadendrona-D<sub>3</sub> <u>15a</u>.....</b>	128
<b>Figura 75 – Expansão do espectro de RMN de <math>^{13}\text{C} \{^1\text{H}\}</math> da aromadendrona-D<sub>3</sub> <u>15a</u> (13-46 ppm) .....</b>	128
<b>Figura 76 – Espectro de RMN <math>^{13}\text{C} \{^1\text{H}\}</math> (a) DEPT 135 b) DEPT 90) da aromadendrona-D<sub>3</sub> <u>15a</u>.....</b>	129
<b>Figura 77 – Espectro de massas (70 eV) do <i>epi</i>-globulol-D<sub>3</sub> <u>3a</u>.....</b>	130
<b>Figura 78 – Espectro de RMN de <math>^1\text{H}</math> (300 MHz, <math>\text{CDCl}_3/\text{TMS}</math>) do <i>epi</i>-globulol-D<sub>3</sub> <u>3a</u>.....</b>	131
<b>Figura 79 – Espectro de RMN de <math>^{13}\text{C} \{^1\text{H}\}</math> (75,5 MHz, <math>\text{CDCl}_3/\text{TMS}</math>) do <i>epi</i>-globulol-D<sub>3</sub> <u>3a</u>.....</b>	131
<b>Figura 80 – Espectro de RMN <math>^{13}\text{C} \{^1\text{H}\}</math> (a) DEPT 135 b) DEPT 90) do <i>epi</i>-globulol-D<sub>3</sub> <u>3a</u>.....</b>	132
<b>Figura 81 – Espectro de massas (70 eV) da aromadendrona <u>15</u>.....</b>	133
<b>Figura 82 – Espectro de RMN de <math>^1\text{H}</math> (300 MHz, <math>\text{CDCl}_3/\text{TMS}</math>) da aromadendrona <u>15</u>.....</b>	134
<b>Figura 83 – Espectro de RMN de <math>^{13}\text{C} \{^1\text{H}\}</math> (75,5 MHz, <math>\text{CDCl}_3/\text{TMS}</math>) da aromadendrona <u>15</u>.....</b>	134
<b>Figura 84 – Espectro de RMN <math>^{13}\text{C} \{^1\text{H}\}</math> (a) DEPT 135 b) DEPT 90) da aromadendrona <u>15</u>.....</b>	135
<b>Figura 85 – Espectro de massas (70 eV) da mistura de ozonídeos <u>17</u> e <u>18</u>.....</b>	136
<b>Figura 86 – Espectro de RMN de <math>^1\text{H}</math> (300 MHz, <math>\text{CDCl}_3/\text{TMS}</math>) da mistura dos ozonídeos <u>17</u> e <u>18</u>.....</b>	136
<b>Figura 87 – Espectro de RMN de <math>^{13}\text{C} \{^1\text{H}\}</math> (75,5 MHz, <math>\text{CDCl}_3/\text{TMS}</math>) da mistura dos ozonídeos <u>17</u> e <u>18</u>.....</b>	137
<b>Figura 88 – Mapa de contorno do espectro de RMN de 2D de correlação direta dos deslocamentos químicos de <math>^{13}\text{C}</math> (75,5 MHz) e <math>^1\text{H}</math> (300 MHz) – HMQC da mistura dos ozonídeos <u>17</u> e <u>18</u>.....</b>	138
<b>Figura 89 – Espectro de RMN <math>^{13}\text{C} \{^1\text{H}\}</math> (a) DEPT 135 b) DEPT 90) da mistura</b>	

dos ozonídeos <u>17</u> e <u>18</u> .....	139
<b>Figura 90</b> – Espectro de RMN de 2D de correlação $^1\text{H}, ^1\text{H}$ (COSY) da mistura dos ozonídeos <u>17</u> e <u>18</u> .....	139
<b>Figura 91</b> – Espectro de massas (70 eV) da ( $\pm$ )-criprona <u>20</u> .....	144
<b>Figura 92</b> – Espetro de massas (70 eV) da ( $\pm$ )- <i>trans</i> -octalona <u>9</u> .....	145
<b>Figura 93</b> – Espectro de RMN de $^1\text{H}$ (300 MHz, $\text{CCl}_4/\text{TMS}$ ) da ( $\pm$ )- <i>trans</i> -octalona <u>9</u> .....	146
<b>Figura 94</b> – Expansão do Espectro de RMN de $^1\text{H}$ da ( $\pm$ )- <i>trans</i> -octalona <u>9</u> (0,6-2,5 ppm) .....	146
<b>Figura 95</b> – Espectro RMN de $^{13}\text{C} \{^1\text{H}\}$ (75,5 MHz, $\text{CCl}_4/\text{TMS}$ ) da ( $\pm$ )- <i>trans</i> -octalona <u>9</u> .....	147
<b>Figura 96</b> – Espectro de RMN $^{13}\text{C} \{^1\text{H}\}$ (a) DEPT 135 b) DEPT 90) da ( $\pm$ )- <i>trans</i> -octalona <u>9</u> .....	147
<b>Figura 97</b> – Mapa de contorno do Espectro de RMN de 2D de correlação direta dos deslocamentos químicos de $^{13}\text{C}$ (75,5 MHz) e $^1\text{H}$ (300 MHz) - HETCOR da ( $\pm$ )- <i>trans</i> -octalona <u>9</u> .....	148
<b>Figura 98</b> – Expansão do mapa de contorno do Espectro de RMN de 2D de correlação direta dos deslocamentos químicos de $^{13}\text{C}$ (75,5 MHz) e $^1\text{H}$ (300 MHz) - HETCOR da ( $\pm$ )- <i>trans</i> -octalona <u>9</u> (13-52 ppm).....	149
<b>Figura 99</b> – Espectro de massas (70 eV) da ( $\pm$ )- <i>trans</i> -octalona-D <sub>3</sub> <u>9a</u> .....	151
<b>Figura 100</b> – Espectro de RMN de $^1\text{H}$ (300 MHz, $\text{CCl}_4/\text{TMS}$ ) da ( $\pm$ )- <i>trans</i> -octalona-D <sub>3</sub> <u>9a</u> .....	151
<b>Figura 101</b> – Espectro de RMN de $^{13}\text{C} \{^1\text{H}\}$ (75,5 MHz, $\text{CCl}_4/\text{TMS}$ ) da ( $\pm$ )- <i>trans</i> -octalona-D <sub>3</sub> <u>9a</u> .....	152
<b>Figura 102</b> – Expansão do espectro de RMN de $^{13}\text{C} \{^1\text{H}\}$ da ( $\pm$ )- <i>trans</i> -octalona-D <sub>3</sub> <u>9a</u> (13-50 ppm) .....	152
<b>Figura 103</b> – Espectro de RMN $^{13}\text{C} \{^1\text{H}\}$ (a) DEPT 135 b) DEPT 90) da ( $\pm$ )- <i>trans</i> -octalona-D <sub>3</sub> <u>9a</u> .....	153
<b>Figura 104</b> – Espectro de massas (70 eV) do cadinol axial <u>4</u> .....	154
<b>Figura 105</b> – Espectro de massas (70 eV) do cadinol axial-D <sub>3</sub> <u>4a</u> .....	155

<b>Figura 106 – Espectro de RMN de <math>^1\text{H}</math> (300 MHz, <math>\text{CDCl}_3/\text{TMS}</math>) do cadinol axial-D<sub>3</sub> <u>4a</u></b> .....	156
<b>Figura 107 – Expansão do espectro de RMN de <math>^1\text{H}</math> (300 MHz, <math>\text{CDCl}_3/\text{TMS}</math>) do cadinol axial <u>4a</u> (0,0 - 2,4 ppm) .....</b>	156
<b>Figura 108 – Espectro de RMN de <math>^{13}\text{C} \{^1\text{H}\}</math> (75,5 MHz, <math>\text{CDCl}_3/\text{TMS}</math>) do cadinol axial-D<sub>3</sub> <u>4a</u> .....</b>	157
<b>Figura 109 – Expansão do espectro de RMN de <math>^{13}\text{C} \{^1\text{H}\}</math> (75,5 MHz, <math>\text{CDCl}_3/\text{TMS}</math>) do cadinol axial <u>4a</u> (13-50 ppm) .....</b>	157
<b>Figura 110 – Espectro de RMN <math>^{13}\text{C} \{^1\text{H}\}</math> (a) DEPT 135 b) DEPT 90) do cadinol axial-<u>4a</u>.....</b>	158
<b>Figura 111 – Espectro de massas (70 eV) da substância <u>24</u>.....</b>	160
<b>Figura 112 – Espectro de massas dos diastereoisômeros <u>25</u> e <u>26</u>. a) éster com menor tempo de retenção (30%); b) éster com maior tempo de retenção (70%).....</b>	161
<b>Figura 113 – Espectro de massas (70 eV) dos compostos <u>27</u> e <u>28</u>.....</b>	162
<b>Figura 114 – Espectro de massas (70 eV) do composto <u>31</u>.....</b>	164
<b>Figura 115 – Espectro de RMN de <math>^1\text{H}</math> (300 MHz, <math>\text{CDCl}_3/\text{TMS}</math>) do composto <u>31</u>.....</b>	165
<b>Figura 116 – Expansão do espectro de RMN de <math>^1\text{H}</math> (300 MHz, <math>\text{CDCl}_3/\text{TMS}</math>) do composto <u>31</u> (0,7-2,7 ppm) .....</b>	165
<b>Figura 117 – Espectro de RMN <math>^{13}\text{C} \{^1\text{H}\}</math> (75,5 MHz, <math>\text{CDCL}_3/\text{TMS}</math> do composto <u>31</u>.....</b>	166
<b>Figura 118 – Expansão do espectro de RMN <math>^{13}\text{C} \{^1\text{H}\}</math> (75,5 MHz, <math>\text{CDCL}_3/\text{TMS}</math> do composto <u>31</u> (19-50 ppm) .....</b>	166
<b>Figura 119 – Espectro de RMN de <math>^{13}\text{C} \{^1\text{H}\}</math> (75,5 MHz, <math>\text{CDCl}_3/\text{TMS}</math>) (a) DEPT 135; b) DEPT 90 do composto <u>31</u>.....</b>	167
<b>Figura 120 – Expansão do espectro de RMN de <math>^{13}\text{C} \{^1\text{H}\}</math> (75,5 MHz, <math>\text{CDCl}_3/\text{TMS}</math>) (a) DEPT135; b) DEPT 90 (19-50 ppm) de <u>31</u>.....</b>	167
<b>Figura 121 – Espectro de massas (70 eV) do composto <u>32</u>.....</b>	168
<b>Figura 122 - Espectro de massas (70 eV) do composto <u>10</u>.....</b>	170
<b>Figura 123 – Espectro de RMN de <math>^1\text{H}</math> (300 MHz, <math>\text{CDCl}_3/\text{TMS}</math>) do composto <u>10</u>.....</b>	170
<b>Figura 124 – Expansão do espectro de RMN de <math>^1\text{H}</math> (300 MHz, <math>\text{CDCl}_3/\text{TMS}</math>) do</b>	

composto <u>10</u> (0,45 - 1,45 ppm) .....	171
<b>Figura 125</b> – Expansão do espectro de RMN de $^1\text{H}$ (300 MHz, $\text{CDCl}_3/\text{TMS}$ ) do composto <u>10</u> (1,45 - 2,45 ppm) .....	171
<b>Figura 126</b> – Espectro de RMN de $^{13}\text{C}$ { $^1\text{H}$ } (75,5 MHz, $\text{CDCl}_3/\text{TMS}$ ) do composto <u>10</u> .....	172
<b>Figura 127</b> – Expansão do espectro de RMN de $^{13}\text{C}$ (75,5 MHz, $\text{CDCl}_3/\text{TMS}$ ) do composto <u>10</u> (14 – 50 ppm) .....	172
<b>Figura 128</b> – Espectro de RMN de $^{13}\text{C}$ { $^1\text{H}$ } (75,5 MHz, $\text{CDCl}_3/\text{TMS}$ ) (a) DEPT 135; b) DEPT 90 do composto <u>10</u> (14 – 50 ppm) .....	173
<b>Figura 129</b> – Espectro de massas (70 eV) do composto <u>5a</u> (menor tempo de retenção) .....	174
<b>Figura 130</b> – Espectro de massas (70 eV) do composto <u>35a</u> (maior tempo de retenção) .....	175
<b>Figura 131</b> – Espectro de RMN de $^1\text{H}$ (300 MHz, $\text{CDCl}_3/\text{TMS}$ ) da mistura dos compostos <u>5a</u> e <u>35a</u> .....	175
<b>Figura 132</b> – Expansão do espectro de RMN de $^1\text{H}$ (300 MHz, $\text{CDCl}_3/\text{TMS}$ ) da mistura dos compostos <u>5a</u> e <u>35a</u> (0,4-3,0 ppm) .....	176
<b>Figura 133</b> – Espectro de RMN de $^{13}\text{C}$ { $^1\text{H}$ } (75,5 MHz, $\text{CDCl}_3/\text{TMS}$ ) da mistura de <u>5a</u> e <u>35a</u> .....	176
<b>Figura 134</b> – Espectro de RMN de $^{13}\text{C}$ { $^1\text{H}$ } (75,5 MHz, $\text{CDCl}_3/\text{TMS}$ ) (a) DEPT 135; b) DEPT 90 dos compostos <u>5a</u> e <u>35a</u> .....	177
<b>Figura 135</b> – Espectro de massas (70 eV) do composto <u>5</u> .....	179
<b>Figura 136</b> – Espectro de massas (70 eV) do composto <u>35</u> .....	179
<b>Figura 137</b> – Espectro de RMN de $^1\text{H}$ (300 MHz, $\text{CDCl}_3/\text{TMS}$ ) do composto <u>5</u> .....	180
<b>Figura 138</b> – Espectro de RMN de $^{13}\text{C}$ { $^1\text{H}$ } (75,5 MHz, $\text{CDCl}_3/\text{TMS}$ ) do composto <u>5</u> .....	180
<b>Figura 139</b> – Expansão do espectro de RMN de $^{13}\text{C}$ { $^1\text{H}$ } (75,5 MHz, $\text{CDCl}_3/\text{TMS}$ ) do composto <u>5</u> (13 – 59 ppm) .....	181
<b>Figura 140</b> – Espectro de RMN de $^{13}\text{C}$ { $^1\text{H}$ } (75,5 MHz, $\text{CDCl}_3/\text{TMS}$ ) (a) DEPT 135; b) DEPT 90 dos compostos <u>5</u> (13-35 ppm) .....	181
<b>Figura 141</b> – Espectro de RMN de $^{13}\text{C}$ { $^1\text{H}$ } (75,5 MHz, $\text{CDCl}_3/\text{TMS}$ ) (a) DEPT	

135; b) DEPT 90) dos compostos <u>5</u> (36-59 ppm) .....	182
<b>Figura 142</b> – Espectro de RMN de 2D de correlação $^1\text{H}, ^1\text{H}$ (COSY) do composto <u>5</u> .....	183
<b>Figura 143</b> – Mapa de contorno do espectro de RMN de 2D de correlação dos deslocamentos químicos de $^{13}\text{C}$ (75,5 MHz) e $^1\text{H}$ (300 MHz) – (HMQC) do composto <u>5</u> .....	184
<b>Figura 144</b> – Espectro de RMN de $^1\text{H}$ , diferença de NOE do composto <u>5</u> .....	185
<b>Figura 145</b> – Espectro de massas (70 eV) do composto <u>6</u> .....	186
<b>Figura 146</b> – Espectro de RMN de $^1\text{H}$ (500 MHz, $\text{CDCl}_3/\text{TMS}$ ) do composto <u>6</u> .....	187
<b>Figura 147</b> – Espectro de RMN de $^{13}\text{C} \{^1\text{H}\}$ (500 MHz, $\text{CDCl}_3/\text{TMS}$ ) do composto <u>6</u> .....	187
<b>Figura 148</b> – Espectro de RMN de $^{13}\text{C} \{^1\text{H}\}$ (75,5 MHz, $\text{CDCl}_3/\text{TMS}$ ) (a) DEPT 135; b) DEPT 90) do composto <u>6</u> .....	148
<b>Figura 149</b> – Expansão do espectro de RMN de $^{13}\text{C} \{^1\text{H}\}$ (75,5 MHz, $\text{CDCl}_3/\text{TMS}$ ) (a) DEPT 135; b) DEPT 90) do composto <u>6</u> (15-50 ppm) .....	188
<b>Figura 150</b> – Espectro de massas (70 eV) do composto <u>6a</u> .....	190
<b>Figura 151</b> – Espectro de RMN de $^1\text{H}$ (300 MHz, $\text{CDCl}_3/\text{TMS}$ ) do composto <u>6a</u> .....	190
<b>Figura 152</b> – Espectro de RMN de $^{13}\text{C} \{^1\text{H}\}$ (300 MHz, $\text{CDCl}_3/\text{TMS}$ ) do composto <u>6a</u> .....	191
<b>Figura 153</b> – Expansão do Espectro de RMN de $^{13}\text{C} \{^1\text{H}\}$ (300 MHz, $\text{CDCl}_3/\text{TMS}$ ) do composto <u>6a</u> (10-65 ppm) .....	191
<b>Figura 154</b> – Espectro de RMN de $^{13}\text{C} \{^1\text{H}\}$ (75,5 MHz, $\text{CDCl}_3/\text{TMS}$ ) (a) DEPT 135; b) DEPT 90) do composto <u>6a</u> .....	192

## LISTA DE ESQUEMAS

<b>Esquema 1</b> – Padrões sesquiterpênicos, seus análogos deuterados e respectivos precursores.....	036
<b>Esquema 2</b> – Esquema de síntese para obtenção dos padrões <u>1</u> e <u>1a</u> , <u>2</u> e <u>2a</u> à partir do (+)-ledeno <u>7</u> .....	037
<b>Esquema 3</b> – Ozonólise do (+)-aromadendreno <u>14</u> .....	044
<b>Esquema 4</b> – Ozonólise do <i>allo</i> -aromadendreno.....	047

<b>Esquema 5 – Reação de <u>15a</u> com CH<sub>3</sub>MgBr.....</b>	<b>050</b>
<b>Esquema 6 – Síntese do cadinol axial <u>4</u> e <u>4a</u>.....</b>	<b>053</b>
<b>Esquema 7 – Síntese da (8S)-<u>5</u> e <u>5a</u> cetona de Quinghaosu e dos álcoois <u>6</u> e <u>6a</u>.....</b>	<b>057</b>
<b>Esquema 8 – Reação de esterificação do ácido artemisinínico <u>23</u> a temperatura acima de zero e excesso de diazometano.....</b>	<b>058</b>
<b>Esquema 9 – Síntese dos diastereoisômeros <u>25</u> e <u>26</u>.....</b>	<b>059</b>
<b>Esquema 10 – Mecanismo para a formação da substância <u>10</u>.....</b>	<b>062</b>
<b>Esquema 11 – Síntese da substância <u>10</u>.....</b>	<b>063</b>
<b>Esquema 12 – Obtenção das substâncias <u>5a</u> e <u>35a</u>.....</b>	<b>064</b>
<b>Esquema 13 – Obtenção das substâncias <u>5</u> e <u>35</u>.....</b>	<b>068</b>
<b>Esquema 14 – Obtenção dos álcoois <u>6</u> e <u>6a</u>.....</b>	<b>073</b>
<b>Esquema 15 – Origem dos fragmentos analisados do palustrol <u>1</u> e palustrol deuterado <u>1a</u>.....</b>	<b>078</b>
<b>Esquema 16 – Proposta de fragmentação para o palustrol <u>1</u> e palustrol monodeuterado <u>1a</u>.....</b>	<b>081</b>
<b>Esquema 17 – Origem dos fragmentos analisados do epi-globulol <u>3</u> e epi-globulol trideuterado <u>3a</u>.....</b>	<b>082</b>
<b>Esquema 18 – Proposta de fragmentação para o epi-globulol <u>3</u> e epi-globulol trideuterado <u>3a</u>.....</b>	<b>084</b>
<b>Esquema 19 – Origem dos fragmentos analisados do cadinol axial <u>4</u> e cadinol axial trideuterado <u>4a</u>.....</b>	<b>085</b>
<b>Esquema 20 – Proposta de fragmentação para o cadinol axial <u>4</u> e cadinol axial trideuterado <u>4a</u>.....</b>	<b>088</b>
<b>Esquema 21 – Origem dos fragmentos analisados da (8S)-cetona de Quinghaosu <u>5</u> e (8S)-cetona de Quinghaosu dideuterada <u>5a</u>.....</b>	<b>089</b>
<b>Esquema 22 – Proposta de fragmentação para (8S)-cetona de Quinghaosu <u>5</u> e (8S)-cetona de Quinghaosu dideuterada <u>5a</u>.....</b>	<b>092</b>
<b>Esquema 23 – Origem dos fragmentos analisados do álcool de Quinghaosu <u>6a</u> álcool de Quinghaosu monodeuterado <u>6a</u>.....</b>	<b>093</b>
<b>Esquema 24 – Proposta de fragmentação para o álcool de</b>	

Quinghaosu <u>6</u> e o álcool de Quinghaosu monodeuterado <u>6a</u> .....	096
<b>5. CAPÍTULO 3</b>	193
5.1 Aplicação de complexos de cobalto na tentativa de sínte de sesquiterpenos com esqueletos do tipo tetraciclo undecano [6.3.0.0 <sup>2,4</sup> .0 <sup>1,7</sup> ] .....	193
5.2 Considerações gerais.....	193
5.3 Objetivo.....	194
5.4 Resultados e discussões.....	195
5.5 Síntese da <i>cis</i> -nortailoriona <u>6</u> utilizando metodologia de Pauson-Khand modificada.....	202
<b>5.6 SÍNTESE</b>	215
5.6.1 Ozonólise do (+)-2-careno – obtenção do cetoácido <u>9</u> .....	215
5.6.2 Reação de proteção do composto <u>9</u> – obtenção do cetalácidio <u>10</u> .....	215
5.6.3 Redução do composto <u>10</u> com LiAlH <sub>4</sub> – obtenção do álcool <u>11</u> .....	219
5.6.4 Oxidação do composto <u>11</u> com PCC/Al <sub>2</sub> O <sub>3</sub> – obtenção do aldeído <u>12</u> ....	220
5.6.5 Reação do composto <u>12</u> com CBr <sub>4</sub> /Ph <sub>3</sub> P.....	221
5.6.6 Reação do composto <u>13</u> com <i>n</i> -BuLi – obtenção do cetoalcino <u>14</u> .....	225
5.6.7 Reação de formação do complexo-alcino <u>15</u> .....	228
5.6.8 Reação de Pauson-Khand – obtenção da nortailoriona <u>16</u> .....	229
5.6.9 Reação de desproteção do composto <u>16</u> .....	232
5.6.10 Reação de Bamford-Stevens – obtenção do composto <u>18</u> .....	233

## LISTA DE FIGURAS

<b>Figura 1</b> Compostos produzidos por <i>Mylia taylorii</i> .....	194
<b>Figura 2</b> Deslocamentos químicos dos sinais de RMN de <sup>1</sup> H e RMN de <sup>13</sup> C para o composto <u>10</u> e suas atribuições. ....	197
<b>Figura 3</b> Déslocamentos químicos dos sinais de RMN de <sup>1</sup> H e RMN de <sup>13</sup> C para o composto <u>11</u> e suas atribuições.....	198
<b>Figura 4</b> Deslocamentos químicos dos sinais de RMN de <sup>1</sup> H e RMN de <sup>13</sup> C	

para o composto <u>17</u> e suas atribuições.....	200
<b>Figura 5</b> Deslocamentos químicos dos sinais de RMN de $^1\text{H}$ e RMN de $^{13}\text{C}$ para o composto <u>13</u> e suas atribuições.....	201
<b>Figura 6</b> Deslocamentos químicos dos sinais de RMN de $^1\text{H}$ e RMN de $^{13}\text{C}$ para o composto <u>13</u> e suas atribuições.....	202
<b>Figura 7</b> Mecanismo da reação de Pauson-Khand.....	203
<b>Figura 8</b> Regiosseletividade observada em relação ao alceno.....	204
<b>Figura 9</b> Reação do complexo formado po um alcino terminal e etileno.....	204
<b>Figura 10</b> Deslocamentos químicos dos sinais de RMN de $^1\text{H}$ para o composto <u>15</u> e suas atribuições.....	206
<b>Figura 11</b> Deslocamentos químicos dos sinais de RMN de $^1\text{H}$ e RMN de $^{13}\text{C}$ para o composto <u>16</u> .....	207
<b>Figura 12</b> nor-taioloriona <u>6</u> .....	208
<b>Figura 13</b> Deslocamentos químicos dos sinais de RMN de $^1\text{H}$ e RMN de $^{13}\text{C}$ do composto <u>18</u> .....	213
<b>Figura 14</b> Espectro de RMN de $^1\text{H}$ (300 MHz, $\text{CDCl}_3/\text{TMS}$ ) do composto <u>10</u> ..	216
<b>Figura 15</b> Espectro de RMN de $^{13}\text{C}$ { $^1\text{H}$ } (75,5 MHz, $\text{CDCl}_3/\text{TMS}$ ) do composto <u>10</u> .....	217
<b>Figura 16</b> Espectro de RMN de $^{13}\text{C}$ { $^1\text{H}$ } (a) DEPT 135, b) DEPT 90 do composto <u>10</u> .....	217
<b>Figura 17</b> Espectro de massas (70 eV) do composto <u>11</u> .....	219
<b>Figura 18</b> Espectro de RMN de $^1\text{H}$ (300 MHz, $\text{CDCl}_3/\text{TMS}$ ) do composto <u>11</u> ...	219
<b>Figura 19</b> Espectro de RMN de $^{13}\text{C}$ { $^1\text{H}$ } (75,5 MHz, $\text{CDCl}_3/\text{TMS}$ ) do composto <u>11</u> .....	220
<b>Figura 20</b> Espectro de RMN $^{13}\text{C}$ { $^1\text{H}$ } (a) DEPT 135, b) DEPT 90) do composto <u>11</u> .....	220
<b>Figura 21</b> Espectro de massas (70 eV) do composto <u>17</u> .....	222
<b>Figura 22</b> Espectro de RMN de $^{13}\text{C}$ { $^1\text{H}$ } (75,5 MHz, $\text{CDCl}_3/\text{TMS}$ ) do composto <u>17</u> .....	222
<b>Figura 23</b> Espectro de RMN de $^{13}\text{C}$ { $^1\text{H}$ } (a) DEPT 135, b) DEPT 90) do composto <u>17</u> .....	223

<b>Figura 24 Espectro de massas (70 eV) do composto <u>13</u>.....</b>	224
<b>Figura 25 Espectro de RMN de <math>^1\text{H}</math> (300 MHz, <math>\text{CDCl}_3/\text{TMS}</math>) do composto <u>13</u>...</b>	224
<b>Figura 26 Espectro de RMN de <math>^{13}\text{C} \{^1\text{H}\}</math> (75,5 MHz, <math>\text{CDCl}_3/\text{TMS}</math>) do composto <u>13</u>.....</b>	225
<b>Figura 27 Espectro de RMN de <math>^{13}\text{C} \{^1\text{H}\}</math> (a) DEPT 135, b) DEPT 90) do composto <u>13</u>.....</b>	225
<b>Figura 28 Espectro de massas (70 eV) do composto <u>14</u>.....</b>	226
<b>Figura 29 Espectro de RMN de <math>^1\text{H}</math> (300,0 MHz, <math>\text{CDCl}_3/\text{TMS}</math>) do composto <u>14</u>.....</b>	227
<b>Figura 30 Espectro de RMN de <math>^{13}\text{C} \{^1\text{H}\}</math> (75,5 MHz, <math>\text{CDCl}_3/\text{TMS}</math>) do composto <u>14</u>.....</b>	227
<b>Figura 31 Espectro de RMN de <math>^{13}\text{C} \{^1\text{H}\}</math> (a) DEPT 135, b) DEPT 90) do composto <u>14</u>.....</b>	228
<b>Figura 32 Espectro de RMN de <math>^1\text{H}</math> (300,0 MHz, <math>\text{CDCl}_3/\text{TMS}</math>) do composto <u>15</u>.....</b>	229
<b>Figura 33 Espectro de massas (70 eV) do composto <u>16</u>.....</b>	230
<b>Figura 34 Espectro de RMN de <math>^1\text{H}</math> (300,0 MHz, <math>\text{CDCl}_3/\text{TMS}</math>) do composto <u>16</u>.....</b>	231
<b>Figura 35 Espectro de RMN de <math>^{13}\text{C} \{^1\text{H}\}</math> (75,5 MHz, <math>\text{CDCl}_3/\text{TMS}</math>) do composto <u>16</u>.....</b>	231
<b>Figura 36 Espectro de RMN de <math>^{13}\text{C} \{^1\text{H}\}</math> (a) DEPT 135, b) DEPT 90) do composto <u>16</u>.....</b>	232
<b>Figura 37 Espectro de massas (70 eV) do composto <u>6</u>.....</b>	233
<b>Figura 38 Espectro de massas (70 eV) do composto <u>18</u>.....</b>	234
<b>Figura 39 Espectro de RMN de <math>^1\text{H}</math> (500,0 MHz, <math>\text{CDCl}_3/\text{TMS}</math>) do composto <u>18</u>.....</b>	235
<b>Figura 40 Espectro de RMN de <math>^1\text{H}</math> (500,0 MHz, <math>\text{CDCl}_3/\text{TMS}</math>) do composto <u>18</u> (0,7-1,2 ppm) .....</b>	235
<b>Figura 41 Espectro de RMN de <math>^1\text{H}</math> (500,0 MHz, <math>\text{CDCl}_3/\text{TMS}</math>) do composto <u>18</u> (1,55 – 2,75ppm) .....</b>	236
<b>Figura 42 Espectro de RMN de <math>^{13}\text{C} \{^1\text{H}\}</math> (125,7 MHz, <math>\text{CDCl}_3/\text{TMS}</math>) do</b>	

<b>composto <u>18</u></b> .....	236
<b>Figura 43</b> Espectro de RMN de $^{13}\text{C}$ { $^1\text{H}$ } (125,7 MHz, $\text{CDCl}_3/\text{TMS}$ ) do composto <u>18</u> (15-35 ppm) .....	237
<b>Figura 44</b> Espectro de RMN de $^{13}\text{C}$ { $^1\text{H}$ } (a) DEPT 135, b) DEPT 90) do composto <u>18</u> .....	237
<b>Figura 45</b> Espectro de RMN de 2D de correlação $^1\text{H}, ^1\text{H}$ (COSY) do composto <u>18</u> .....	238
<b>Figura 46</b> Mapa de contorno do espectro de RMN de 2D, correlação $^{13}\text{C}, ^1\text{H}$ (HSQC) do composto <u>18</u> .....	239
<b>Figura 47</b> Mapa de contorno do espectro de RMN de 2D, correlação $^{13}\text{C}, ^1\text{H}$ g(HMBC) do composto <u>18</u> .....	240
<b>Figura 48</b> Mapa de contorno do espectro de RMN de 2D, correlação $^{13}\text{C}, ^1\text{H}$ g(HMBC) do composto <u>18</u> (8 - 52 ppm) .....	241

## LISTA DE ESQUEMAS

<b>Esquema 1</b> Rota sintética para obtenção do intermediário pivô <i>nortaioloriona</i> <u>6</u> .....	195
<b>Esquema 2</b> Obtenção da nortailoriona <u>16</u> .....	207
<b>Esquema 3</b> Geração de carbeno à partir de uma cetona.....	209
<b>Esquema 4</b> Ciclopropanação e formação de produtos de eliminação da reação de acrilato de metila com 2,2-dibromopropano, catalizada por Ni(0).....	210
<b>Esquema 5</b> Ciclopropanação utilizando sulfonas litiadas.....	211
<b>Esquema 6</b> Síntese da tosilidrazona <u>17</u> .....	211
<b>Esquema 7</b> Decomposição térmica do sal de sódio da tosilidrazona <u>17</u> .....	212
<b>CONCLUSÕES</b> .....	242

## ABREVIACÕES E SÍMBOLOS

MEFS: microextração em fase sólida

CG: cromatografia gasosa

CLAE: cromatografia líquida de alta eficiência

EM: espectrometria de massas

RMN: ressonância magnética nuclear

IV: infravermelho

CG/EM: cromatografia gasosa acoplada a espectrometria de massas

CCSF: coluna capilar de sílica fundida

IR: índice de retenção

PDMS: polidimetilsiloxano

EM/EM: espectrometria de massas acoplada a espectrometria de massas

RMN de  $^1\text{H}$ : ressonância magnética nuclear de hidrogênio

RMN de  $^{13}\text{C}$ : ressonância magnética nuclear de carbono treze

MHz: megahertz

AMCPB: ácido *m*-cloroperbenzóico

$\delta$ : deslocamento químico em partes por milhão

J: constante de acoplamento

Hz: hertz

THF: tetrahidrofurano

COSY: espectro bidimensional de correlação homonuclear

gCOSY: espectro bidimensional de correlação homonuclear com gradiente de campo

HMQC: “heteronuclear multiple quantum coherence”

HSQC: “heteronuclear single quantum coherence”

HMBC: correlação heteronuclear a múltiplas ligações

DEPT: espectro de RMN de  $^{13}\text{C}$  intensificado sem distorção por transferência de polarização (Distortionless Enhancement by Polarization Transfer)

HETCOR: espectro bidimensional de correlação heteronuclear ( $^{13}\text{C} \times ^1\text{H}$ ) a uma ligação

MeOD: metanol deuterado (metanol- $d_1$ )

EV: elétron volt

R<sub>f</sub>: relação entre as distâncias percorridas pela amostra e sistema de solvente (eluente) utilizado em cromatografia de camada delgada

EBE: geometria do espectrômetro de massas quanto aos analisadores (campo elétrico-campo magnético-campo elétrico)

KV: quilovolt

CID: disociação induzida por colisão

m/z: massa do íon em Dalton dividido por sua carga

EMAR: espectrometria de massas de alta resolução

M<sup>+</sup>: íon molecular

s: singuleto

d: doubleto

t: tripleto

m: multiplet

dd: duplo doubleto

ddd: triplo doubleto

PTSA: ácido *p*-toluenossulfônico

## 1. INTRODUÇÃO E OBJETIVOS

A comunicação entre os vários organismos que compõe um ecossistema baseia-se fundamentalmente em moléculas orgânicas de baixo peso molecular (até 500 Dalton) que são carreadas pelo ar ou pela água.

Essa “linguagem” química foi discutida na obra pioneira de A. P. Ganolle (1778-1841), publicada na virada do século XIX. As substâncias químicas mediadoras das interações inseto/planta são atualmente denominadas de **semioquímicos**<sup>1,2</sup>. Mais recentemente, Dicke & Sabelis propuseram o termo **infoquímicos** levando em consideração o caráter benéfico ou prejudicial, do ponto de vista evolutivo, das substâncias químicas envolvidas nestas interações. As substâncias que transmitem as informações nessa interação natural entre indivíduos, produzindo respostas comportamentais ou fisiológicas podem ser vantajosas ou desvantajosas para quem emite ou quem recebe o sinal. O termo infoquímico envolve o critério de receptor, o qual não era considerado na definição de semioquímicos, onde o critério de organismo transmissor era fundamental<sup>3</sup>. Os infoquímicos são classificados como feromônios e alomônios. São denominados de feromônios os infoquímicos que mediam interações entre organismos da mesma espécie, conferindo vantagens adaptativas para o organismo emissor (feromônio +/-), para o organismo receptor (feromônio -/+)<sup>3,4</sup>, ou para ambos (feromônio +/+). Os feromônios podem ser subdivididos em sexuais, de defesa, recrutamento, de trilha<sup>5,6,7</sup> etc. São denominados de aleloquímicos os infoquímicos que mediam interações entre indivíduos pertencentes a diferentes espécies.

A ecologia química progrediu nos últimos anos graças aos avanços das técnicas de amostragem (microextração em fase sólida (MEFS), “headspace” estático e dinâmico com resinas adsorventes), cromatográficas (CG, CLAE) e de

<sup>1</sup> D.A. Nordlund, W. J. Lewis. *J. Chem. Ecol.*, 1976, 2, 211

<sup>2</sup> K. Mori. *J. Eur. Org. Chem.*, 1998, 1479-1489.

<sup>3</sup> M.Dicke, M. W. Sabelis. *Func. Ecol.*, 1988, 2,131.

<sup>4</sup> N. F. R. Snyder, H. A. Snyder. *Anim. Behav.*, 1971, 19, 257.

<sup>5</sup> E. O. Wilson, B. Hooobler. *The Ants*, 1990, Harvard University Press.

<sup>6</sup> R. T. Cardé, W. J. Bell, *Chemical Ecology of Insects 2*. 1995, Chapman and Hall, NY.

<sup>7</sup> R. K. Vander Meer, M. D. Breed, M. L. Wilson, K. E. Espelie (Eds.) *Pheromone communication in social insects. Ants, wasps, bees and termites*. 1998, Westview Press. Colorado.

## 2 Introdução e objetivos

detecção (EM, RMN, IV, etc.) que possibilitaram a identificação de substâncias presentes na ordem de nanograma a picograma em misturas complexas. Ainda hoje, com a disponibilidade de bancos de dados (EM, RMN, IV) existem problemas na identificação pois, se a automação dos métodos de análise como CG/EM simplificam e agilizam a identificação dos semioquímicos, a ignorância dos caminhos de fragmentação de diversas classes de compostos voláteis leva a identificações errôneas as quais podem ser minimizadas a partir de um melhor conhecimento dos mecanismos de fragmentação de compostos voláteis naturais e à partir da síntese de novos padrões. Dentro desse contexto os objetivos do presente trabalho foram:

- Estudar a composição dos voláteis envolvidos nas interações mutualistas entre três espécies de orquídeas (*Bulbophyllum weddelli*, *B. involutum* e *B. ipanemense*) nativas do estado de Minas Gerais e seus polinizadores; **(Capítulo 1)**
- Estudar por espectrometria de massas, o caminho de fragmentação de sesquiterpenos comumente encontrados em frações voláteis de plantas e animais, através de padrões sesquiterpênicos isotopicamente marcados com deutério; **(Capítulo 2)**
- Sintetizar compostos do tipo tetraciclo-[6.3.0.0<sup>2,4</sup>.0<sup>1,7</sup>]-undecano. **(Capítulo 3)**

## 2. Capítulo 1

### 2.1. ESTUDO DA COMPOSIÇÃO DOS VOLÁTEIS ENVOLVIDOS NAS INTERAÇÕES MUTUALISTAS ENTRE TRÊS ESPÉCIES DE ORQUÍDEAS (*BULBOPHYLLUM WEDDELLI*, *B. INVOLUTUM* E *B. IPANEMENSE*) NATIVAS DO ESTADO DE MINAS GERAIS E SEUS POLINIZADORES

### 2.2. CONSIDERAÇÕES GERAIS

Atualmente são conhecidas cerca de 25.000 espécies de Orchidaceae, as quais se encontram dispersas em vários pontos do globo terrestre<sup>8</sup>. A variação das formas, cores e essências, presentes em Orchidaceae, é raramente encontrada em outras famílias de plantas. Elas são polinizadas por mariposas, moscas, abelhas, borboletas, pássaros etc. existindo ainda uma relação definida entre as recompensas, essências florais e seus polinizadores<sup>9</sup>. Três espécies de orquídeas brasileiras *Bulbophyllum weddelli*, *B. involutum* e *B. ipanemense*, nativas do estado de Minas Gerais, foram extensivamente estudadas sobre o ponto de vista da biologia floral e fenológico, revelando que as três espécies são polinizadas por fêmeas de *Pholeomyia* (Diptera: Milichiidae) com um alto grau de especificidade<sup>10</sup>.

Essas observações e a importância dos compostos voláteis nas relações orquídea-polinizador<sup>11,12,13</sup> encorajaram nossos estudos sobre a química dos constituintes voláteis dessas três espécies de *Bulbophyllum*.

### 2.3. GENERALIDADES SOBRE O GÊNERO *BULBOPHYLLUM*

Das Orchidaceae, *Bulbophyllum* é um dos maiores gêneros sendo encontrado principalmente nos trópicos da Ásia e da Oceania e em número bem

<sup>8</sup> Dressler, R.L. *The phylogeny and classification of the orchid family*. 1993 Cambridge: Cambridge University Press.,

<sup>9</sup> van der Pijl, L., Dodson C. H. *Orchid flowers: their pollination and evolution*. 1966 Coral Gables: University of Miami Press.

<sup>10</sup> Borba, E. L., Estudos biossistêmáticos em três espécies de *Bulbophyllum* Thouars (Orchidaceae) ocorrentes nos campos rupestres brasileiros. 1997 Tese de Mestrado, Universidade Estadual de Campinas, Campinas.

<sup>11</sup> Dressler, R. L.. *Revta. Biol. Trop.*, 1968, 15, 143-183.

<sup>12</sup> Janzen, D. H. *Science*, 1971, 171, 203.

<sup>13</sup> Faegri, K. and van der Pijl, L. *The principles of pollination ecology*. 3rd. ed. 1979 Oxford: Pergamon Press.

menor de espécies na África e nas Américas<sup>14</sup>, sendo que no Brasil são encontrados aproximadamente 55 espécies<sup>15</sup>. Devido a inexistência de revisões recentes, há uma grande dificuldade na identificação das espécies, principalmente em materiais de herbário.

Entre as espécies neotropicais de *Bulbophyllum* somente duas foram estudadas com relação a sua polinização, sendo ambas brasileiras, e com o mesmo mecanismo de polinização encontrado em todas as outras espécies do gênero em florestas tropicais da Ásia , África e Oceania.

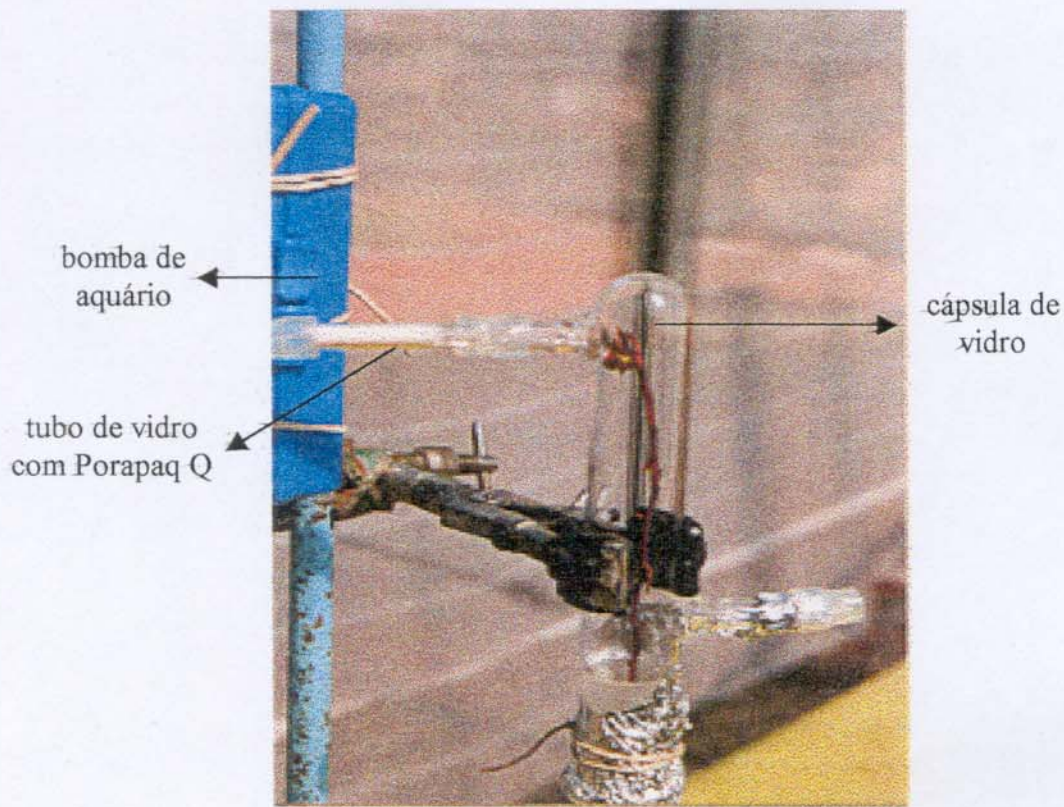
## 2.4. RESULTADOS E DISCUSSÕES

A primeira parte de nossas investigações diz respeito à otimização de um método para captura dos compostos voláteis e usou-se para isso *B. weddelli*. Com base em experimentos anteriores<sup>16</sup>, a técnica de "headspace" foi a nossa primeira opção. Uma cápsula de vidro com uma saída de ar na superfície, uma bomba de aquário com pilhas e um tubo de vidro contendo Porapak Q (Figura 1), foram os principais instrumentos requeridos para essa técnica.

<sup>14</sup> Dressler, R. L., *The Orchids: natural history and classification*, 1981 Harvard University Press, Cambridge.

<sup>15</sup> Pabst, G. F. J. & Dungs, F., *Orchidaceae Brasiliensis*, 1977, Vol. 2, Kurt Schmersow, Hildesheim.

<sup>16</sup> Kaiser, R., *The Scent of Orchids, Olfactory and Chemical Investigations*. Elsevier, Editiones Roche, Basel.



**Figura 1** Sistema utilizado para a captura de compostos voláteis (headspace)

Os compostos capturados no adsorvente (Porapak Q) foram dessorvidos com solventes bidestilados (dclorometano e metanol, 1,5 ml) e diretamente injetados no CG/EM após redução do volume do solvente para aproximadamente 0,1 ml. Após várias tentativas chegamos a conclusão que essa metodologia não foi eficiente para essas análises devido a perda de alguns componentes muito voláteis e decomposição de outros. Extração com CO<sub>2</sub> a alta pressão<sup>17</sup> (Figuras 2 e 3) e microdestilação<sup>18</sup> também foram utilizadas, entretanto nas três metodologias empregadas encontramos problemas análogos: quantidade insignificante de material extraído, dimensões muito pequenas das flores das orquídeas e decomposição dos voláteis em poucas horas.

<sup>17</sup> J and W High Pressure Soxhlet Extractor PN 4,006,062 4,265,860.

<sup>18</sup> Ferracini, V., Nascimento, L. M., Paraíba, L. C., Leitão Filho, H. F., Marsaioli, A. J. *J. Essential Oil Res.* **1995**, *7*, 355-367.

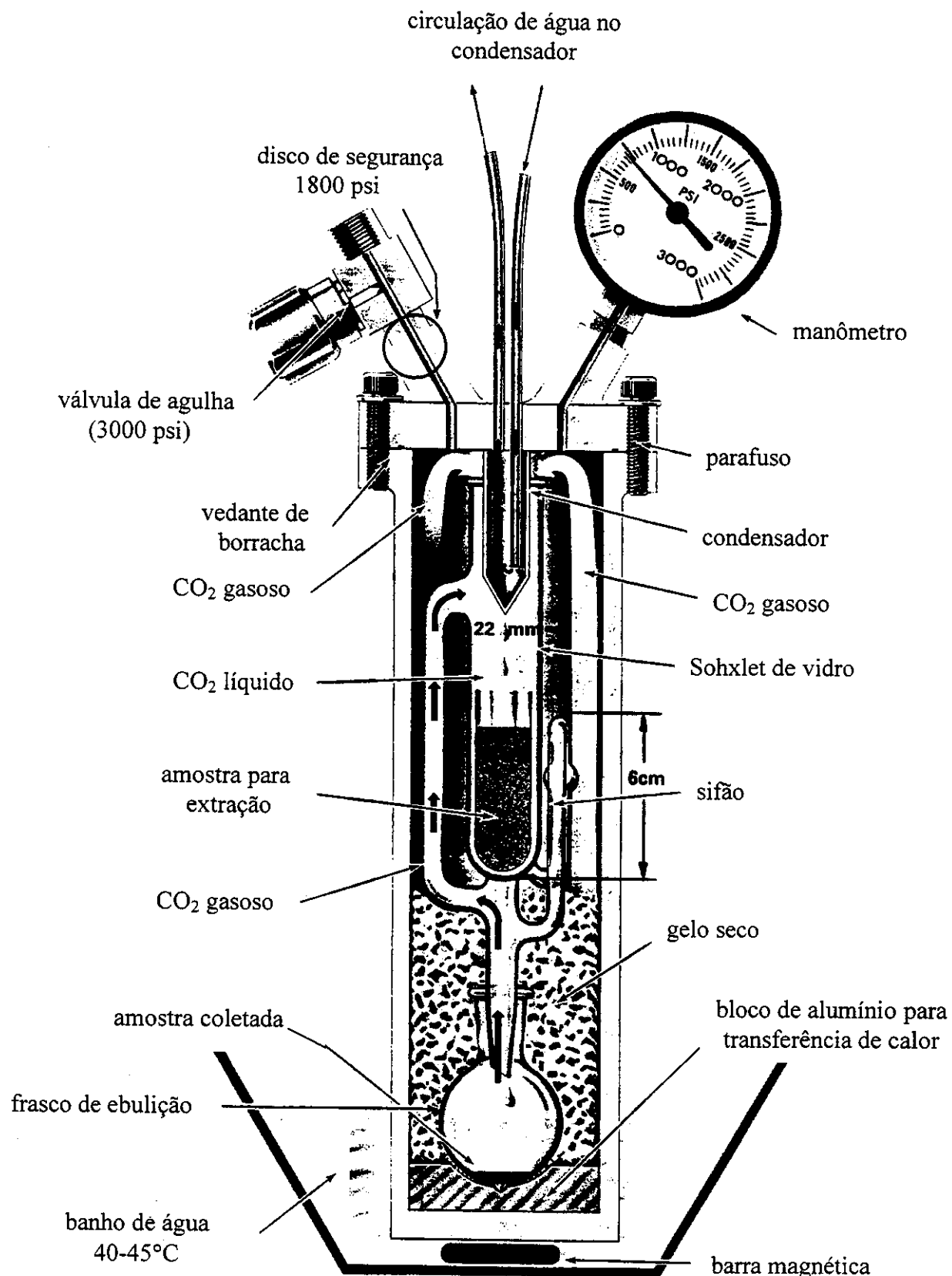


**Figura 2** Equipamento utilizado para extração com CO<sub>2</sub> líquido

Dióxido de carbono (CO<sub>2</sub>) é um líquido quando encontra-se a temperaturas abaixo da crítica (31,04°C) e pressão superior a pressão de vapor. Quando em temperaturas na faixa de 0 a 10°C e pressão entre 50 e 80 bar funciona como um solvente podendo ser utilizado na extração de óleos essenciais.

Para uma escala laboratorial um extrator do tipo Soxhlet (Figura 2) é comercialmente disponível<sup>17</sup> e pode trabalhar com uma faixa de massa de 3,0 a 5,0 g de material a ser extraído. A Figura 3 mostra um corte transversal desse equipamento. O Soxhlet é carregado com CO<sub>2</sub> líquido através de uma massa conhecida de gelo seco ou na forma de gás, controlando-se a pressão, através de um cilindro de CO<sub>2</sub>. Durante a operação de extração, a base do equipamento de

aço inoxidável é colocada imersa em um banho de água com temperatura próxima aos 40°C e um líquido refrigerante com temperatura aproximada de 0°C fica passando através do condensador. O frasco de ebulação, onde está o CO<sub>2</sub>, recebe calor do banho de água através de um bloco de alumínio, utilizado para melhor equilíbrio e transferência do calor, fazendo com que o CO<sub>2</sub> entre em ebulação. Esse vapor condensa no condensador (“dedo frio”) fazendo com que gotas de CO<sub>2</sub> passem através do material a ser extraído enchendo o sifão até pressão suficiente para passar ao frasco de ebulação onde o extrato é coletado. No final do período de extração, o equipamento é resfriado (CO<sub>2</sub>/etanol ou N<sub>2</sub>(l)) até que a pressão interna se iguale a pressão ambiente. O sistema é aberto deixando-se o CO<sub>2</sub> evaporar lentamente a temperatura ambiente e após, o extrato é analisado através de técnicas analíticas, tais como CG/EM.



**Figura 3** Corte transversal do equipamento utilizado na extração com  $CO_2$  a alta pressão

Uma análise retrospectiva dos resultados permitiu concluir que seria recomendado abolir o uso de solventes. Dessa maneira voltamos nossa atenção para técnicas diretas de análise<sup>19</sup> que pudessem ser aplicadas a vários cromatógrafos sem necessitar de nenhum tipo de modificação dos mesmos. A micro-extracção em fase sólida (MEFS)<sup>20</sup> foi uma das técnicas escolhidas mas os resultados com as fibras utilizadas (polidimetilsiloxano (PDMS, 30µm) e Carboxen™/PDMS, 75µm) não apresentaram resultados satisfatórios.

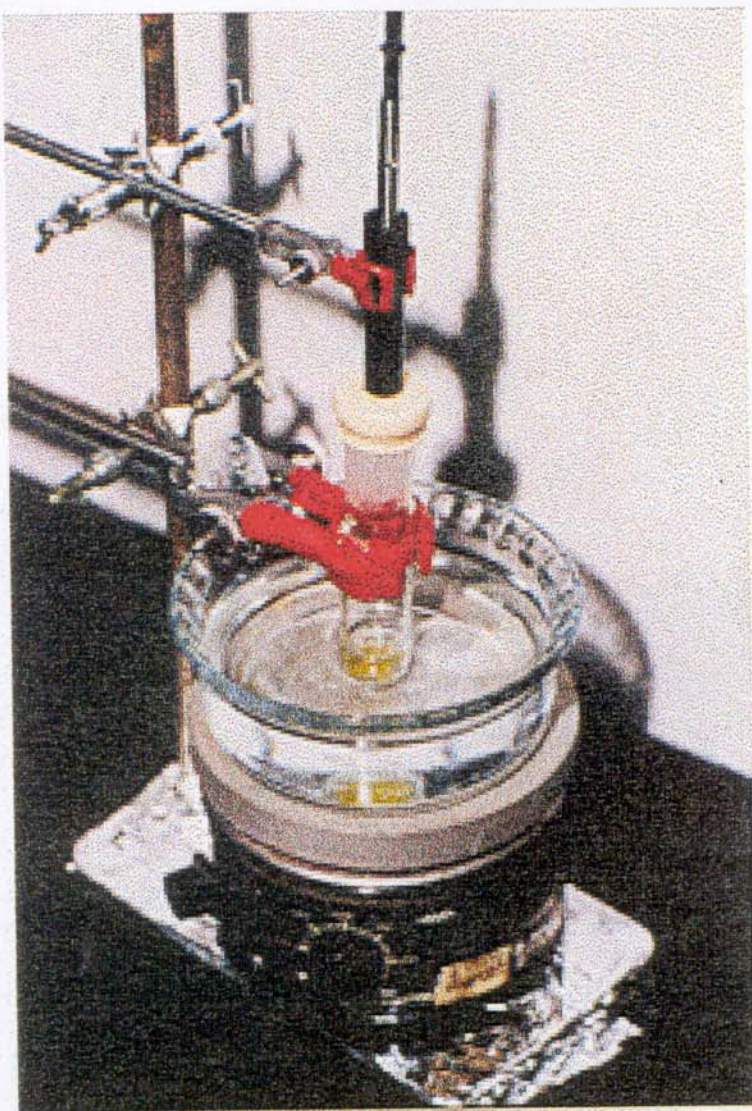


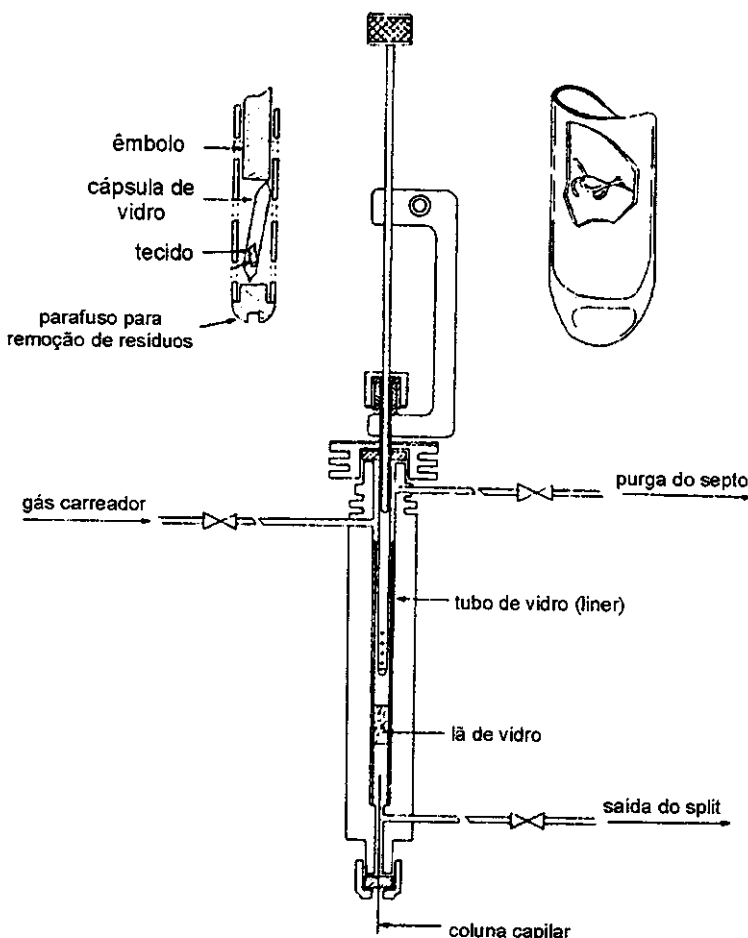
Figura 4 Microextração em fase sólida

<sup>19</sup> Senanayake, U. M., Edwards, R. A., & Lee, T. H. *J. Chromatogr.*, 1976, 116, 468-471.

<sup>20</sup> Pawliszyn, J. *Solid Phase Microextraction Theory and Practice* 1997. Wiley-VCH, New York.

Nesse momento voltamos nossa atenção para os injetores de amostras sólidas. Essa técnica é utilizada por vários grupos de pesquisa, principalmente os que estão voltados para o estudo de feromônios<sup>21</sup>.

Um injetor de amostras sólidas gentilmente cedido pelo Dr. Vostrowsky<sup>22</sup> está disponível em nosso laboratório (Figura 5). Entretanto esse instrumento requeria algumas modificações no injetor de nosso cromatógrafo a gás (HP-5890), as quais relutamos em aplicar. Um método alternativo visualizado seria o uso de agulhas apropriadas, possíveis de serem adquiridas da Dynatech, as quais não estiveram disponíveis para nossas análises.

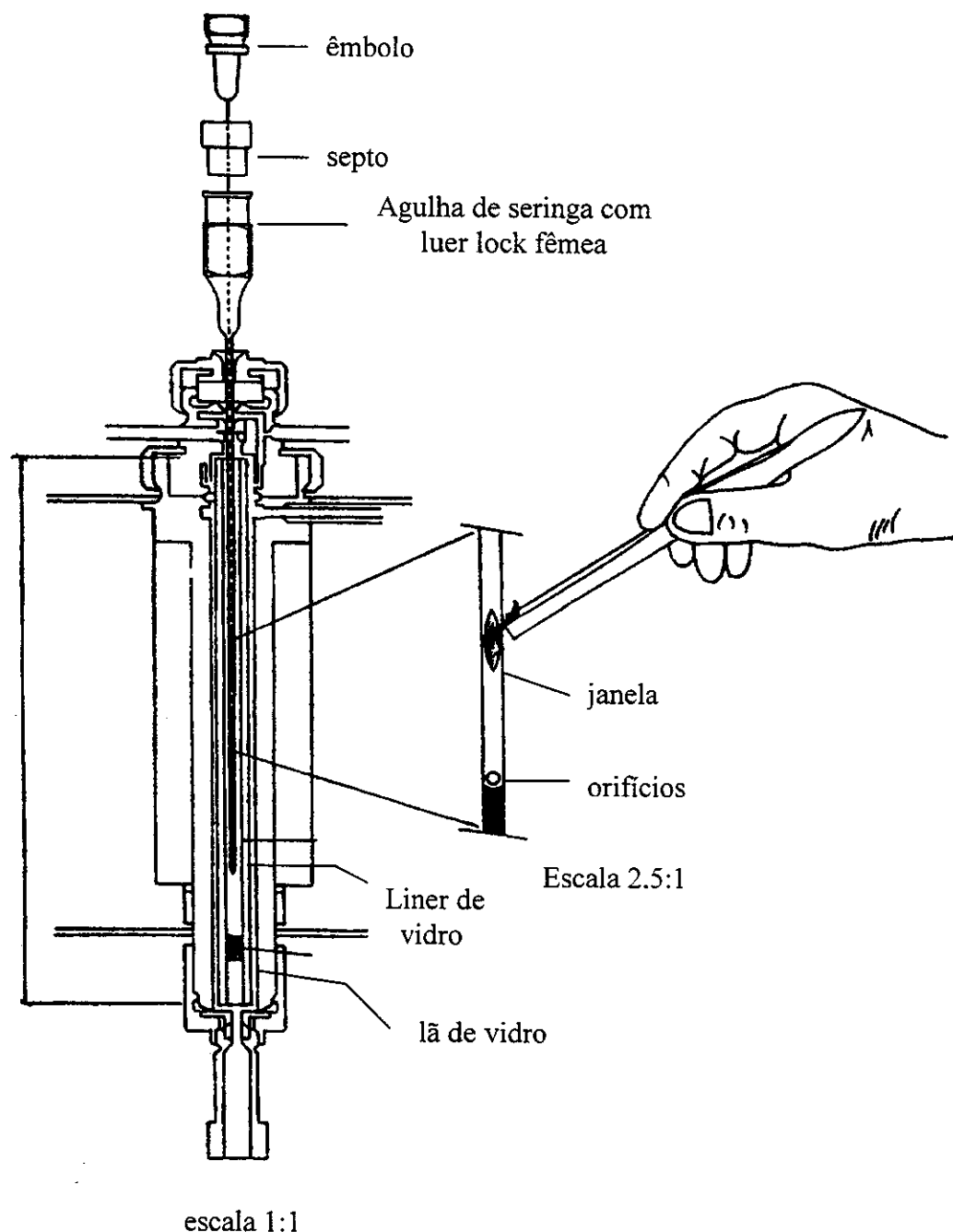


**Figura 5** Injetor de sólidos cedido pelo Dr. Vostrowsky

<sup>21</sup> Attygalle, B., & Morgan, E. D. *Angew. Chem. Int. Ed. Engl.*, 1988, 27, 460-478.

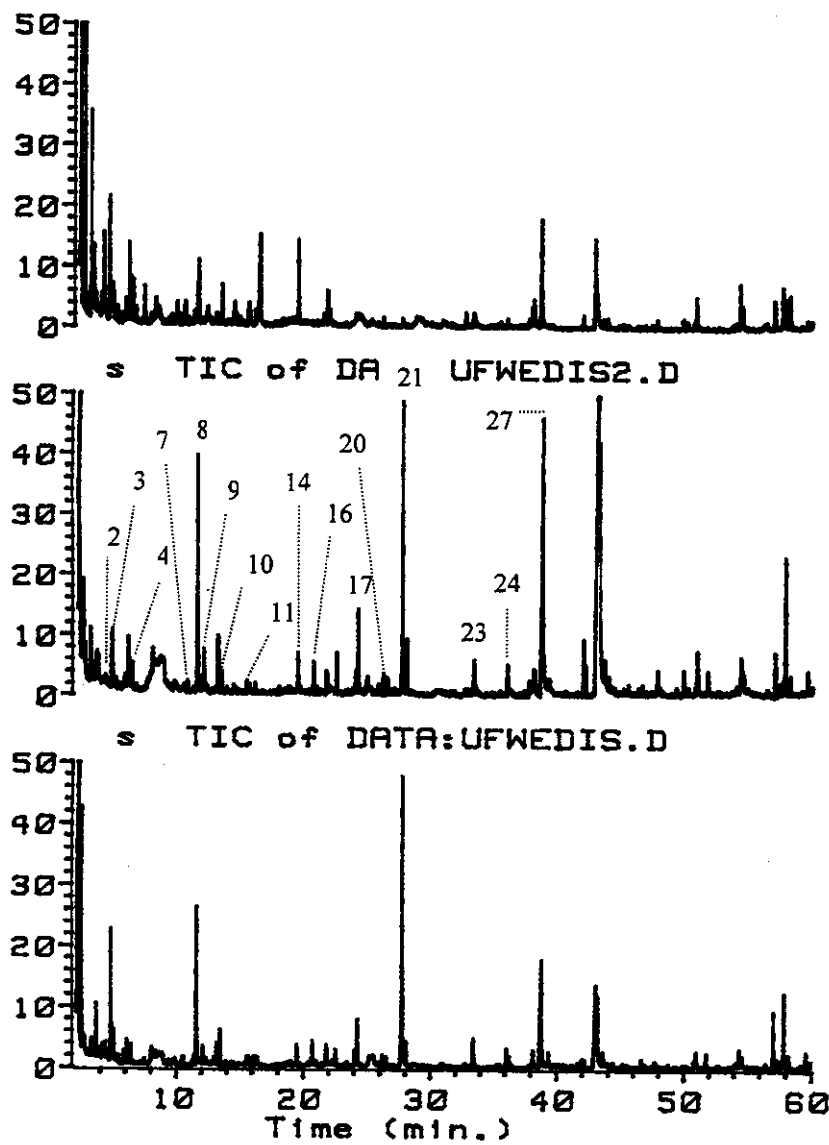
<sup>22</sup> Institut für Organische Chemie - Univ. Erlangen-Nürnberg, Germany.

A modificação em uma agulha de aço inoxidável do tipo B-D (80 x 0.8 mm ou padrão 21) permitiu a confecção de um injetor de amostras sólidas (Figura 6) e a injeção de pequenos pedaços (cerca de 3,0 mm X 0,3 mm) da flor das orquídeas no CG/EM (modo splitless).



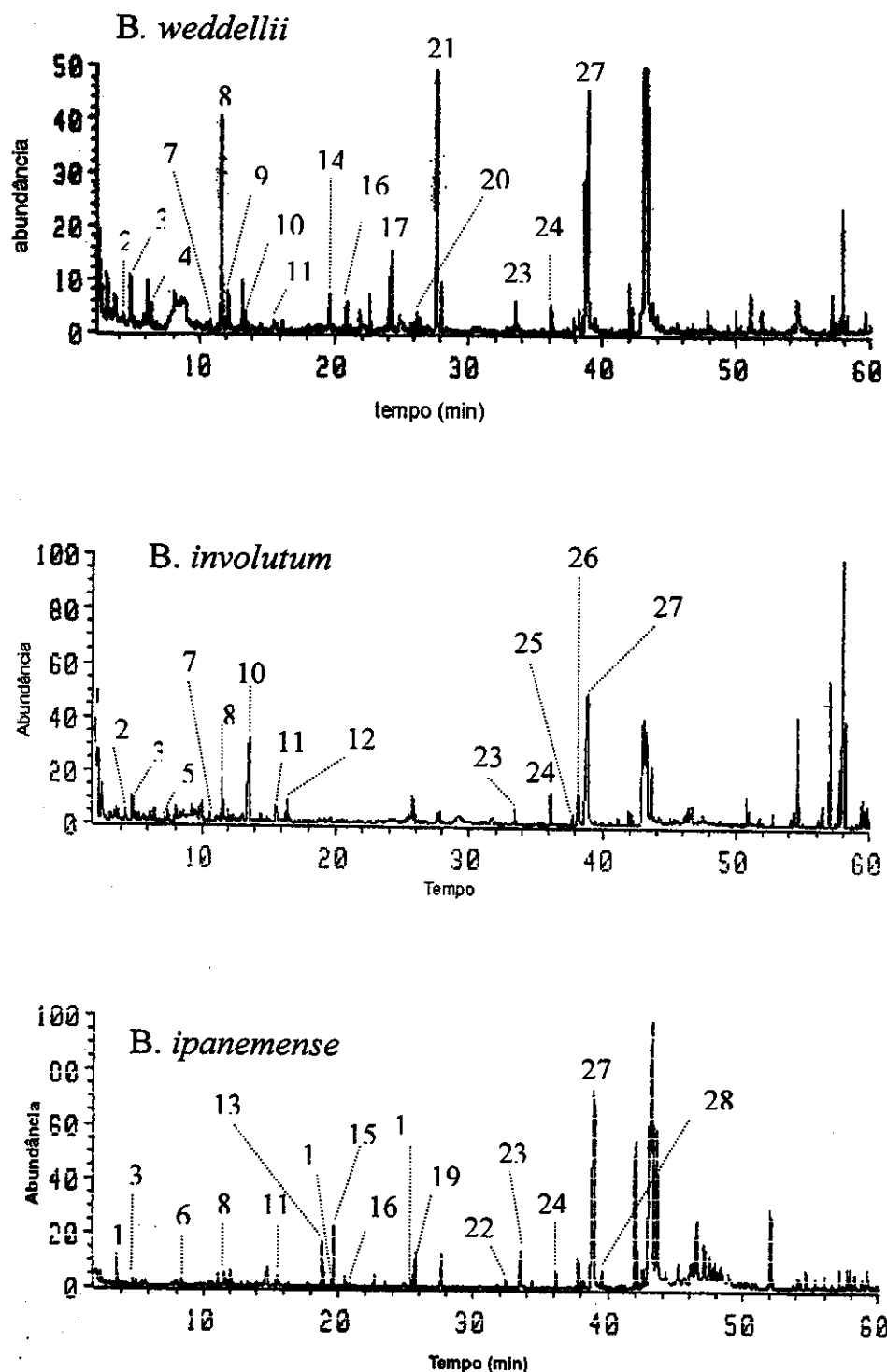
**Figura 6** Injetor de sólidos desenvolvido no laboratório

Nosso primeiro experimento foi verificar a confiabilidade de nossas análises. Partes diferentes das flores de *B. weddelli* foram analisadas e foi possível observar que a composição química dos voláteis foi análoga, com pequena variação na abundância relativa dos constituintes. Esse fato não foi considerado relevante pois a abundância relativa dos componentes pode variar de acordo com a localização na flor (Figura 7).



**Figura 7** Cromatogramas obtidos por CG/EM de partes distintas da flor de *B. weddelli* utilizando injetor de sólidos. **a)** parte da pétala; **b)** parte da sépala; **c)** parte final da sépala. Os números acima dos picos estão relacionados com os compostos listados na tabela 1

Os resultados das análises (Figura 8) dos componentes voláteis das três espécies de *Bulbophyllum* são mostrados na tabela 1.



**Figura 8** Cromatogramas obtidos por CG/EM de três espécies de *Bulbophyllum* utilizando injetor de sólidos. Os números acima dos picos estão relacionados com os compostos listados na tabela 1

**Tabela 1 – Compostos voláteis detectados em *Bulbophyllum weddellii*, *B. involutum* e *B. ipanemense* (%)**

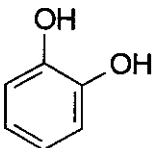
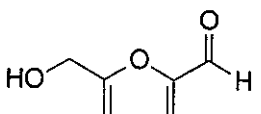
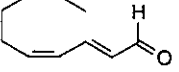
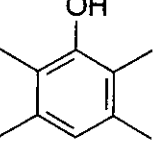
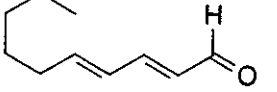
composto	IR	<i>B.weddellii</i>	<i>B.inolutum</i>	<i>B.ipanemense</i>
1. hexanal	826	-	-	3,90
2. furfural	850	1,77	1,02	-
3. 2-furanometanol	865	4,57	3,30	0,57
4. 5-metil-2((3H)-furanona	920	0,66	-	-
5. 5-metil-furfural	946	t	0,82	-
6. 2-pentil-furano	972	-	-	0,65
7. 2,3-diidro-4-hidroxi-2,5-dimetil-3-furanona	1043	t	1,23	-
8. 2-metoxifenol	1074	9,19	4,57	1,51
9. maltol	1098	t	-	-
10. 2,3-diidro-3,5-diidroxi-6-metil-4H-pireno-4-ona	1134	1,75	15,55	-
11. 1,2-benzenodiol	1197	t	3,53	1,28
12.5-hidroximetil-2-furanocarboxialdeído	1224	-	2,71	-
13. 2,4-decadienal-(E,Z)	1298	-	-	4,04
14. 2,3,5,6-tetrametilfenol	1319	0,93	-	t
15. 2,4-decadienal-(E,E)	1321	-	-	6,03
16. 2,6-dimetoxifenol	1357	0,96	-	t
17. 4-hidroximetilbenzoato	1465	2,84	-	-
18. tridecanona	1505	-	-	1,14
19. tridecanol	1512	-	-	3,42
20. hidroxi-3-metoximetilbenzoato	1526	0,75	-	-
21. 2,6-dimetil-3-metoximetil-p-benzoquinona	1573	17,57	-	-
22. tetradecanoato de metila	1719	-	-	0,72
23. ácido tetradecanóico	1751	1,83	1,34	5,27
24. ácido pentadecanóico	1833	0,89	2,90	1,75
25. 14-metil-pentadecanoato de metila	1884	-	0,68	-
26. ácido 9-hexadecenóico	1898	-	4,65	-
27. ácido hexadecanóico	1919	9,60	31,32	54,50
28. hexadecanoato de etila	1939	-	-	1,53
Total		<b>53,31</b>	<b>73,62</b>	<b>86,31</b>

IR = índice de retenção t = traços

**Tabela 2:** Compostos identificados em *B. weddellii*, *B. involutum* e *B. ipanemens*

<b>composto</b>	<b>IR</b>	<b>Estrutura</b>	<b>Ions</b>	
			<b>característicos</b>	<b>m/z</b>
				<b>%</b>
1 Hexanal PM = 100	826		82 72 55 44 41	11 22 78 100 85
2 furfural PM = 96	850		96 95 86 74 43	100 93 4 15 29
3 2-furanometanol PM = 98	865		98 97 81 70 69	100 54 37 29 33
4 5-metil-2,3-diidro-2-furanona PM = 98	920		98 83 70 55 42	100 7 15 61 57
5 5-metil-furfural PM = 110	946		110 109 81 53 43	100 85 15 67 44

6					
2-pentilfurano	972		138	12	
PM = 138			112	11	
			95	7	
			81	100	
			55	19	
<hr/>					
7					
2,3-diidro-4-hidroxi-2,5-dimetil-3-furanona	1043		128	41	
PM = 128			110	9	
			85	14	
			57	54	
			43	100	
<hr/>					
8					
2-metoxifenol	1074		124	73	
PM = 124			109	100	
			94	3	
			81	42	
			54	19	
<hr/>					
9					
maltol	1098		126	100	
PM = 126			111	11	
			95	88	
			71	34	
			55	38	
<hr/>					
10					
2,3-diidro-3,5-diidroxi-6-metil-4H-pireno-4-ona	1134		144	57	
PM = 144			101	35	
			72	15	
			55	18	
			43	100	

11					
1,2-hidroxi-benzeno	1197		110	65	
PM = 110			92	7	
			81	11	
			64	23	
			43	100	
12					
5-hidroximetil-2-furanocarboxialdeído	1224		126	35	
PM = 126			109	11	
			97	77	
			69	38	
			41	100	
13					
(2E,4Z)-decadienal	1298		152	4	
PM = 152			123	6	
			95	11	
			81	100	
			41	42	
14					
2,3,5,6-tetrametilfenol	1319		150	100	
PM =			135	85	
			107	38	
			77	73	
			51	15	
15					
(E,E)-2,4-decadienal	1321		152	11	
PM = 152			123	4	
			95	8	
			81	100	
			41	15	

---

16			154	100
	2,6-dimetoxifenol		139	62
		1357	111	23
			93	27
			53	11
<hr/>				
17			152	35
	4-hidroxi-metilbenzoato		121	100
		1465	93	23
			65	15
			51	4
<hr/>				
18			198	7
	2-tridecanona		96	4
		1505	71	23
			58	100
			43	92
<hr/>				
19			200	0
	2-tridecanol		185	4
		1512	182	3
			111	7
			45	100
<hr/>				

20					
4-hidroxi-3-metoxi benzoato					
de metila	1526		182	58	
PM = 182			151	100	
			123	15	
			65	7	
			52	9	

21					
2,6-dimetil-3-metoximetil-p-					
benzoquinona	1573		180	100	
PM = 180			165	38	
			138	27	
			122	12	
			77	15	

22					
tetradecanoato de metila	1719		242	15	
PM = 242			211	11	
			199	23	
			88	54	
			74	100	

23					
ácido tetradecanóico	1751		228	23	
PM = 228			185	38	
			129	57	
			73	88	
			43	100	

24					
ácido pentadecanóico	1833		242	35	
PM = 242			199	31	
			143	23	
			129	46	
			60	100	

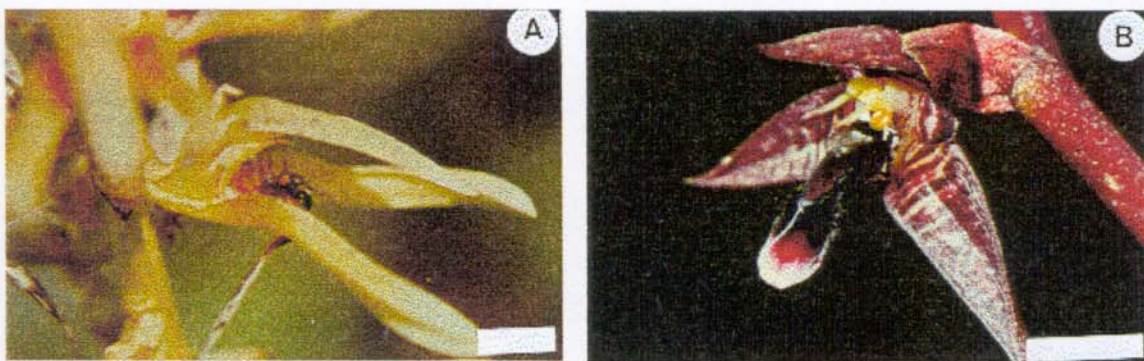
---

25					
14-metil-pentadecanoato de					
metila	1884		270	15	
PM = 270			227	19	
			143	53	
			87	74	
			74	100	
<hr/>					
26					
ácido 9-hexadecenóico	1898		254	4	
PM = 254			236	12	
			194	5	
			97	34	
			55	100	
<hr/>					
27					
ácido hexadecanóico	1919		256	27	
PM = 256			211	23	
			129	38	
			73	88	
			43	100	
<hr/>					
28					
hexadecanoato de etila	1939		284	19	
PM = 284			239	8	
			157	23	
			101	54	
			88	100	

---

A comparação da composição química das essências florais de *Bulbophyllum* com a de outras orquídeas também polinizadas por moscas (*Bulbophyllum gracillium*, *Dracula chestertonii* etc.<sup>16</sup>) revela que as classes dos compostos presentes nas essências dessas orquídeas (*n*-alquilcetonas, *n*-alquilaldeídos, *n*-alquilálcoois, compostos aromáticos e poucos terpenos) estão relacionadas aos seus polinizadores.

A comparação dos constituintes das essências (com IR abaixo de 1600) revelou uma maior similaridade entre *B. weddelli* e *B. involutum* (Figura 9)<sup>10</sup> (índice de Jaccard<sup>23</sup> = 0,4667) do que entre *B. ipanemense* e essas espécies (índice de Jaccard para *B. weddelli* e *B. ipanemense* = 0,2500; *B. ipanemense* e *B. involutum* = 0,1875).



**Figura 9** a) *B. weddelli* b) *B. involutum* ambas com os seus polinizadores (espécies de *Pholeomyia*) alimentando-se na base do labêlolo

Esses resultados são absolutamente compatíveis com o fato que ambas espécies *B. weddelli* e *B. involutum* compartilham as mesmas espécies de polinizadores (duas espécies de *Pholeomyia*) mas com diferente hierarquia, por exemplo o principal polinizador de *B. weddelli* é secundário para *B. involutum* e vice-versa. O único polinizador da espécie *B. ipanemense* é uma espécie diferente de *Pholeomyia* (Milichiidae). Com esses resultados seria de se esperar que houvessem vários híbridos naturais entre *B. weddelli* e *B. involutum* já que elas são simpatricas e florescem ao mesmo tempo. No entanto, esta hipótese não se

<sup>23</sup> Dunn, G., & Everitt, B. S. *An Introduction to Mathematical Taxonomy* 1982. Cambridge University Press, Cambridge.

confirma, uma vez que existem várias outras barreiras naturais operando entre essas duas espécies que fazem com que suas identidades sejam dominantes. Vale mencionar que um único híbrido natural de *B. weddelli* e *B. involutum* foi identificado e que esse é aparentemente estéril.

*B. involutum* e *B. ipanemense* são espécies visualmente relacionadas entre si (Figura 10) e não o são com *B. weddelli*. Esses resultados estão de acordo com Dressler<sup>11</sup>, que diz que quando espécies de orquídeas encontram-se crescendo próximas, e com eventos fenológicos sincronizados, há uma pressão natural para a produção de compostos voláteis diferentes para atrair diferentes espécies de polinizadores. Por outro lado, devido à presença de outras barreiras interespecíficas, espécies não relacionadas podem produzir compostos similares atraindo os mesmos polinizadores, mantendo sua integridade.

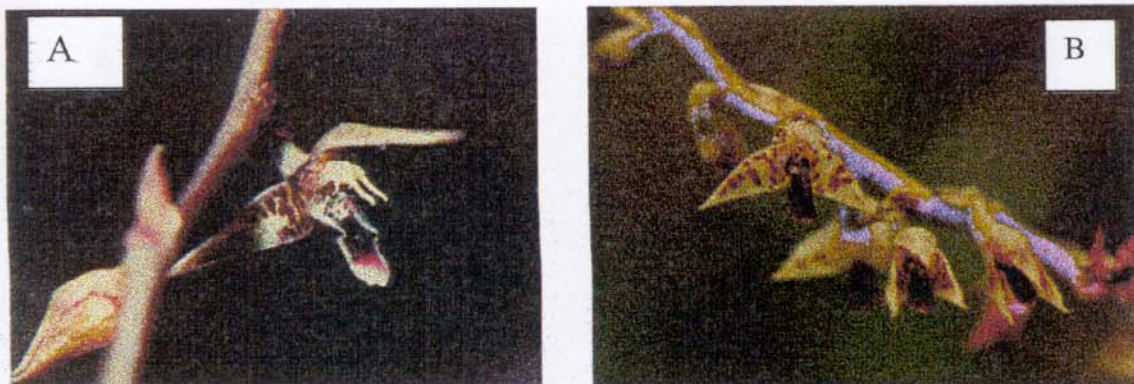


Figura 10 a) *Bulbophyllum involutum* b) *Bulbophyllum ipanemense*

## 2.5 Experimental

### 2.5.1 Plantas

As espécies *B. weddellii* e *B. involutum* foram coletadas na Serra do Cipó, município de Santana do Riacho, e a espécie *B. ipanemense* na Serra de Camargos, município de Nazareno, ambos localizados no estado de Minas Gerais, Sudeste brasileiro. Esses indivíduos foram cultivados na casa de vegetação do Departamento de Botânica da UNICAMP até floração quando então as flores foram coletadas para as análises. Exemplares das espécies se encontram no Herbário UEC (Departamento de Botânica, Universidade Estadual de Campinas): *Bulbophyllum weddellii* (Lindl.) Rchb. f. (exemplar # E.L. Borba 151), *Bulbophyllum involutum* Borba, Semir e F. Barros, (exemplar # E.L. Borba 150), *Bulbophyllum ipanemense* Hoehne (exemplar # E.L. Borba 177).

### 2.5.2 CG e CG/EM

As análises foram realizadas em um cromatógrafo HP-5890 acoplado a um detector seletivo de massas HP-5970. Foi utilizada uma coluna capilar de sílica fundida (CCSF) DB-5 da J and W Scientific, com 30 m de comprimento, 0,25 mm de diâmetro interno e 0,25 µm de espessura do filme da fase estacionária. O programa de temperatura da coluna foi de 50°C até 290°C, com um gradiente de 4°C/min.

**CG:** As temperaturas utilizadas para o injetor e para o detector foram de 290°C e 300°C respectivamente. Hidrogênio foi utilizado como gás carreador a um fluxo de 2 mL/min e o injetor no modo split/splitless com um tempo de 0,5 min. O volume da injeção, quando utilizado, foi de 1µL de cada solução.

**CG/EM:** Para essas análises foi utilizado Helio como gás carreador com o mesmo programa de temperatura utilizado nas análises de CG. As temperaturas do injetor e da interface foram de 290°C e 285°C respectivamente. Os espectros de massas foram obtidos a 70 eV com uma velocidade de varredura de 0,84 scan/s de *m/z* 40 a 550.

Os voláteis foram analisados por CG e CG/EM e a identificação foi realizada com base na co-injeção de compostos padrão e comparação dos índices de retenção<sup>24</sup> bem como pela comparação dos espectros de massas adquiridos com os espectros armazenados na biblioteca Wiley/NBS do equipamento CG/EM e outros publicados na literatura<sup>25</sup>.

Os índices de retenção (IR) foram obtidos por co-injeção de pequenos pedaços da cépala das orquídeas, contaminados com uma mistura de *n*-alcanos de C11-C24 e os tempos de retenção assim obtidos (*n*-alcanos e substâncias) foram inseridos na equação de Van den Dool e Kratz<sup>24</sup>.

$$IR_i = [(T_s - T_{C_{n-1}}) / (T_{C_n} - T_{C_{n-1}}) \times 100] + 100 \times C_{n-1}$$

onde:

$IR_i$ : índice de retenção do composto a ser analisado

$T_s$ : tempo de retenção do composto analisado

$T_{C_n}$ : tempo de retenção do *n*-alcano que elui após a substância analisada

$T_{C_{n-1}}$ : tempo de retenção do *n*-alcano que elui antes da substância analisada

$C_{n-1}$ : *n*-alcano que elui antes da substância analisada

<sup>24</sup> Van den Dool, H., & Kratz, P.D.J. (1963). *J.Chrom.*, 11, 463

<sup>25</sup> Adams, R. P. (1995). *Identification of Essential Oil Components by Gas Chromatography/Mass Spectroscopy*. Allured Publishing Co., Illinois.

### **2.5.3 Extração através de Soxhlet com CO<sub>2</sub> a alta pressão**

Em um extrator da J & W Scientific (Figuras 2 e 3), foram colocados gelo seco (165,0 g) e 15-20 flores frescas (1-1,2 g). O aparato foi fechado e as extrações foram realizadas a uma temperatura de 35°-45°C sendo a pressão mantida entre 700 e 900 psi, por três horas. A temperatura do sistema de extração foi então reduzida para -70°C (CO<sub>2</sub>/EtOH) e o excesso de CO<sub>2</sub> foi liberado com a abertura da válvula de escape. Após a abertura do equipamento à temperatura ambiente, aguardou-se a evaporação total de CO<sub>2</sub>. Diclorometano (1 mL) foi colocado no balão coletor e a mistura foi transferida para um pequeno vidro. As análises de CG/EM foram realizadas após o volume do solvente ter sido reduzido para 0,1 mL. As análises obtidas não foram coerentes.

### **2.5.4 Hidrodestilação**

Um balão de fundo redondo (100 mL) equipado com um sistema de microhidrodestilação, contendo 15-20 flores de orquídea e água (50 mL) foi aquecido e 30-35 mL de água foram destilados. A solução aquosa destilada foi extraída com diclorometano (3 X 30 mL). As fases orgânicas foram reunidas e secas sobre Na<sub>2</sub>SO<sub>4</sub> anidro. Após filtração o solvente foi reduzido sobre vácuo até um volume de 0,2 mL e a mistura (1,0 µL) foi injetada no CG/EM. Alguns dos componentes voláteis foram detectados mas as análises não foram reproduutíveis após algumas horas indicando decomposição. Assim, não se pode confiar nessa metodologia.

### **2.5.5 Headspace (Figura 1)**

Uma cápsula de vidro (20,0 cm de comprimento e 4,0 cm de diâmetro interno) foi especialmente construída para envolver as flores da orquídea, com entrada por um dos lados e uma saída pelo lado oposto, conectada a um “trap” adsorvente (tubo de vidro com 5,0 cm de comprimento e 0,50 cm de diâmetro

interno) contendo Porapak Q 80-100 mesh (100-200 mg) e lã de vidro (previamente tratada com solvente e ativado a 150°C sobre vácuo) fechando as duas extremidades. Ar foi passado sobre o sistema com adsorvente por meio de uma bomba operando com pilhas comuns (500 mL/min) durante um período de 24 horas. Os voláteis foram extraídos com diclorometano e metanol. Após evaporação, a concentração dos voláteis estava abaixo do nível de detecção para as análises de CG/EM.

#### **2.5.6 Análise de amostras sólidas**

Um injetor de amostras sólidas foi utilizado para introduzir os voláteis de uma amostra de flores de orquídeas, em uma coluna capilar de sílica fundida (CCSF) no equipamento de CG/EM. O injetor de amostras sólidas contendo 3 pedaços da cépala da orquídea (3 X 0,3 mm) foi introduzido no CG/EM no modo “splitless” por um período de 30 segundos. Os índices de retenção foram obtidos por coadgeção de pequenos pedaços da cépala contaminados com uma mistura de *n*-hidrocarbonetos de C<sub>11</sub>-C<sub>24</sub>.

#### **2.5.7 Micro-extração em fase sólida (Figura 4)**

Em um vidro fechado com uma tampa contendo um vedante de borracha (septum), 15 flores frescas foram aquecidas a 60°C durante 30 minutos. Uma fibra (30 µm de polidimetilsiloxano (PDMS), 85 mm de poliacrilato (PA) e 65 µm de Carboxem) foi introduzida através do “septum” na atmosfera saturada acima das flores (“headspace” estático) durante 30 minutos.

#### **2.5.8 Construção do injetor de amostras sólidas ( Figura 6)**

Este injetor tem a vantagem de ser de baixíssimo custo e ser adaptável a todos os cromatógrafos a gás. A parte terminal do êmbolo da agulha de aço

inoxidável (9 cm de comprimento, nº 21) de uma seringa, foi cortada (1 cm) e soldada na ponta da agulha. Uma pequena janela (3,5 mm de comprimento e 0,5mm de largura) foi cortada na parede da agulha a 27 mm do final da mesma, e dois pequenos furos (0,5 mm) foram feitos a 21 mm do final da agulha, por onde os compostos voláteis são liberados e levados pelo gás de arraste ( $H_2$ ) para a coluna cromatográfica. Um pequeno vedante de borracha (septum) foi colocado na parte superior da agulha, onde está o terminal “luer-lock”, para vedação, e o êmbolo foi introduzido pelo mesmo. Para as análises, a amostra foi introduzida através da pequena janela e gentilmente colocada com o êmbolo dentro da agulha, tomando o cuidado para não comprimir muito a amostra no final da agulha. A agulha foi então introduzida no injetor do CG e o êmbolo rapidamente pressionado para baixo levando a amostra sólida até o final da agulha ao passo que os compostos voláteis saem através dos dois furos (Figura 6).

### **3. Capítulo 2**

#### **3.1 ESTUDOS DE FRAGMENTAÇÃO DE COMPOSTO SESQUITERPÊNICOS ISOTÓPICAMENTE MARCADOS COM DEUTÉRIO**

#### **3.2 CONSIDERAÇÕES GERAIS**

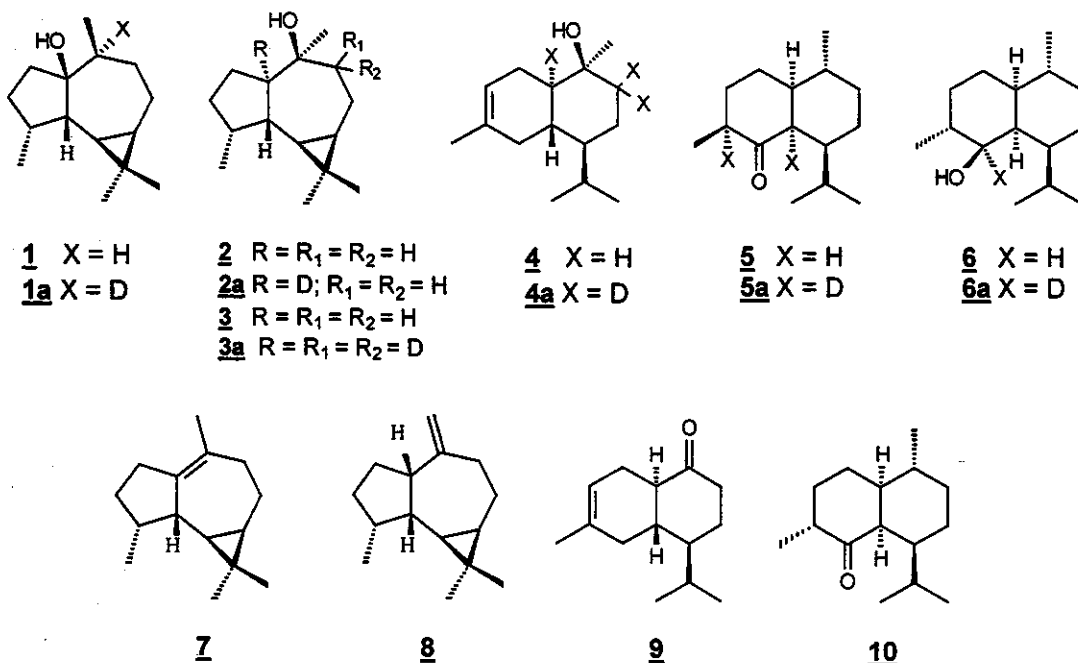
Os sesquiterpenos fazem parte das frações voláteis emitidas por plantas e animais e as estruturas de muitos desses compostos ainda deixam dúvidas quando são detectados e identificados por CG/EM, ferramenta indispensável no estudo de misturas complexas de componentes voláteis. As publicações nesse campo entretanto limitam-se a comparações dos índices de retenção e dos espectros de massas disponíveis nas bibliotecas de padrões que hoje existem com um grande número de compostos. Compreender os caminhos de fragmentação por impacto de elétrons é um aspecto relegado a segundo plano. Essa lacuna pode ser atribuída à grande dificuldade de interpretação dos espectros de massas dessa classe de terpenóides quando comparados aos monoterpenos que já foram bem estudados<sup>7</sup>. Em 1967, S. Hayashi e colaboradores publicaram a interpretação de espectros de massas de sete sesquiterpenos: Calameneno, δ-cadineno, α-santaleno, β-santaleno, α-cadinol, guaiol e elemol<sup>8</sup>. Desde então, são raros os trabalhos encontrados com interpretação dos espectros de massas de compostos sesquiterpênicos. Uma das formas de elucidar uma sequência de fragmentação é através do estudo de padrões deuterados associado a técnica de EM/EM. Dentro desse enfoque, esta parte de nosso trabalho versa sobre o estudo da fragmentação de compostos sesquiterpênicos pertencentes a classe dos aromadendranos, amorfanos e cadinanos que são comumente encontrados nas misturas voláteis de plantas. Para um estudo adequado é necessário ter acesso a padrões deuterados e não deuterados de estruturas inequivocamente determinadas, com os deutérios localizados em posições estratégicas.

<sup>7</sup> Brophy, J.J and M. Allan, *Organic Mass Spectrometry*, 1992, 27, 1042-2051.

<sup>8</sup> S. Hayashi, H. Satō, N. Hayashi, T. Okude and T. Matsuura; *J. Sci. Hiroshima Univ., Ser. A-II*, 1967, vol.31, No. 3, 217-231.

### 3.3 RESULTADOS E DISCUSSÕES

A primeira etapa desse trabalho diz respeito à confecção dos padrões deuterados e não deuterados palustrol **1** e **1a** e epi-globulol **2** e **2a**, epi-globulol **3** e **3a**, cadinol axial **4** e **4a**, (8S)-cetona de Quinghaosu **5** e **5a** e o álcool de Quinghaosu **6** e **6a**, a partir do ledeno **7**, *allo*-aromadendreno **8**, octalona **9** e cetona de Quinghaosu **10**, respectivamente (Esquema 1).



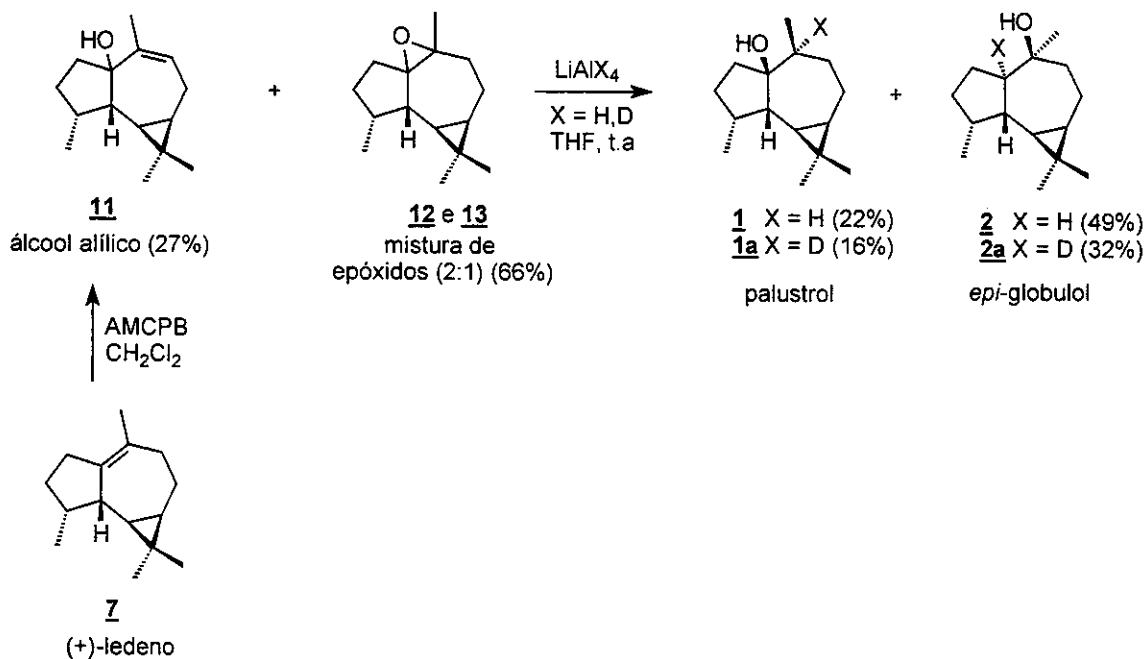
**Esquema 1** Padrões sesquiterpênicos, seus análogos deuterados e respectivos precursores

#### 3.3.1 SÍNTSE DOS PADRÕES SESQUITERPÊNICOS

Os padrões isotopicamente marcados com deutério (Esquema 1), foram obtidos por meio de reações de abertura de epóxidos ou redução de cetonas com agentes redutores como LiAlD<sub>4</sub> e também enolização de cetonas na presença de metanol deuterado e sódio metálico. A introdução de deutério foi determinada

inequivocamente através de espectros de RMN de  $^1\text{H}$  (300 MHz) e RMN de  $^{13}\text{C}$  (75,5 MHz). Os sinais de  $^{13}\text{C}$  ligados a deutério aparecem como multipletos obedecendo a equação  $2nl + 1$ . Esses sinais são de baixa intensidade e muitas vezes se confundem com o ruído na linha base. No espectro de RMN de  $^1\text{H}$  os sinais de acoplamento H,D aparecem como sinais alargados já que a constante desse acoplamento é aproximadamente 1/6 das constantes correspondentes a H,H. A troca de hidrogênio por deutério causa um desaparecimento desse sinal no espectro de hidrogênio, fazendo com que ocorra uma simplificação na interpretação do espectro dos hidrogênios remanescentes na molécula.

### 3.3.1.1 Obtenção dos padrões 1 e 1a e 2 e 2a à partir do (+)-ledeno 7



**Esquema 2** Esquema de síntese para obtenção dos padrões 1 e 1a, 2 e 2a à partir do (+)-ledeno 7

O palustrol 1 é uma substância que foi isolada em 1954<sup>9</sup> do óleo essencial extraído de *Ledum palustre*. Posteriormente, em 1960, Dolejs<sup>10</sup> isolou um álcool

<sup>9</sup> N. P. Kyrialov., Z. Obsc. Chim. 1954, 24, 1271.

<sup>10</sup> L. Dolejs, V. Herout, F. Sorm., Col. Czech. Chem. Comm. 1961, 26, 811.

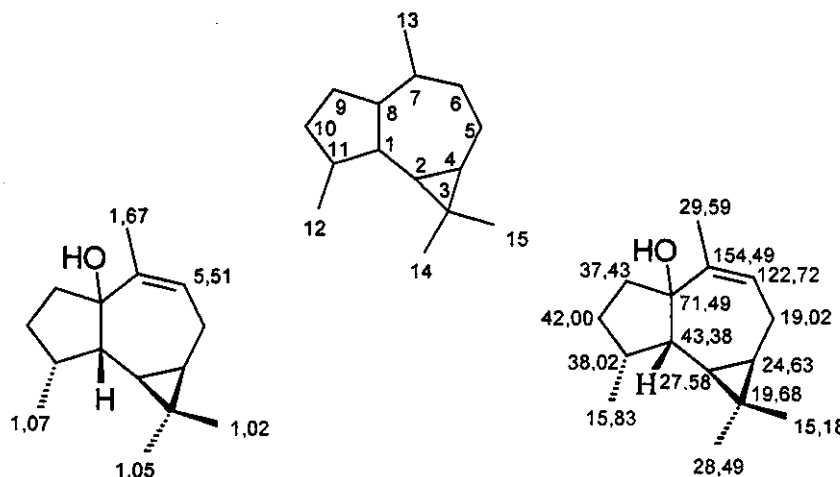
sesquiterpênico da planta brasileira *Baccharis genistelloides*, que apresentava as mesmas propriedades químicas e constantes físicas do (-)-palustrol, citado anteriormente. De nossa parte, visualizamos a obtenção do palustrol **1** e do epiglobulol **2** em uma única etapa, através de reações de epoxidação e posterior abertura dos epóxidos formados, com agentes redutores, tais como LiAlX<sub>4</sub> (X = H ou D), partindo do (+)-ledeno **7** (Esquema 2), uma substância comercial, disponível em nosso laboratório.

À uma solução de (+)-ledeno **7** em CH<sub>2</sub>Cl<sub>2</sub> na presença de NaHCO<sub>3</sub>, a temperatura ambiente, foi adicionado aos poucos AMCPB. A reação foi monitorada por cromatografia em camada delgada sendo observado que, além dos epóxidos **12** e **13**, formava-se o álcool alílico **11**. Após tratamento da reação e separação em coluna cromatográfica o álcool alílico **11** foi isolado com 27% de rendimento e uma mistura, de difícil separação, dos epóxidos diastereoisoméricos **12** e **13**, na proporção de 2:1 (RMN de <sup>1</sup>H) em 66% de rendimento. A identificação dos compostos isolados foi feita através da análise de seus dados espectroscópicos.

O espectro de RMN de <sup>1</sup>H do álcool alílico **11** (Figura 37, pág. 87) exibiu dois sinais na forma de um singuleto em δ 1,02 e δ 1,05, ambos com integração relativa à 3 hidrogênios, que foram atribuídos a H-14 e H-15 respectivamente por analogia aos deslocamentos das metilas correspondentes ao aromadendreno **14** e ao *allo*-aromadendreno **8** publicados por R. Faure<sup>11</sup>. Em δ 1,07 o espectro apresenta um dubbleto com integração para 3 hidrogênios e J = 6,6 Hz, sendo esse sinal atribuído aos H-12. O sinal dos 3 hidrogênios da metila que ressonam a δ 1,67, atribuído aos H-13 e o triploto em δ 5,51, atribuído ao H-6, concluem a caracterização desta molécula.

No espectro de RMN de <sup>13</sup>C os sinais dos carbonos quaternários em δ 154,49 e δ 71,49 foram atribuídos ao carbono C-7 e ao carbono carbinólico C-8, respectivamente, enquanto que o sinal em δ 122,72, referente a um CH, foi atribuído ao carbono metínico C-6, confirmando assim a estrutura proposta para essa substância.

A numeração utilizada neste trabalho, para os esqueletos aromadendrânicos, para fim de atribuição dos sinais de RMN de  $^1\text{H}$  e RMN de  $^{13}\text{C}$ , está de acordo com a literatura pesquisada<sup>11</sup>.

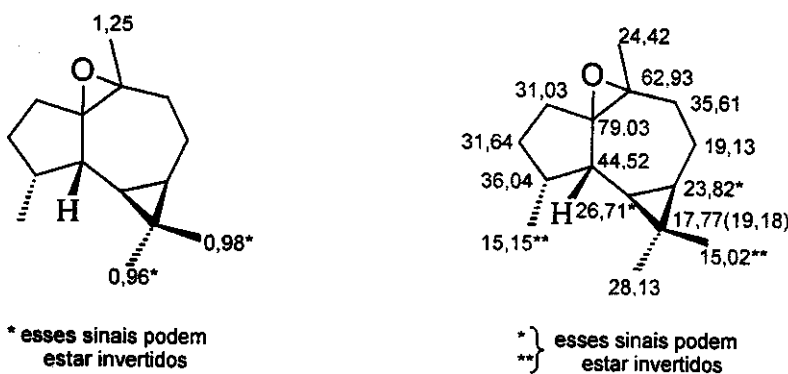


**Figura 1** Deslocamentos químicos e atribuição dos sinais de RMN de  $^1\text{H}$  e RMN de  $^{13}\text{C}$  para o composto 11

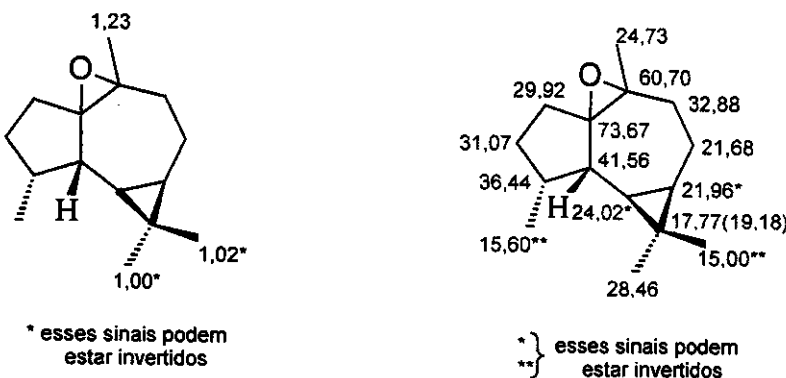
Através da análise do espectro de RMN de  $^1\text{H}$  da mistura de epóxidos, verificou-se a presença de dois singletos, um em  $\delta$  1,25 e outro em  $\delta$  1,23, que foram atribuídos aos grupos metilas ligados aos oxiranos dos epóxidos de maior e menor concentração, respectivamente. Além disso, foi possível observar a presença de sinais em  $\delta$  0,96,  $\delta$  0,98,  $\delta$  1,00 e  $\delta$  1,02, que foram atribuídos aos grupos metilas ligados aos carbonos quaternários C-3, dos epóxidos de maior e menor concentração, respectivamente.

A análise do espectro de RMN de  $^{13}\text{C}$  confirma a formação dos epóxidos, pela presença dos sinais em  $\delta$  79,03 e  $\delta$  62,93 que foram atribuídos aos carbonos quaternários, pertencentes ao anel oxirano da substância existente em maior proporção, enquanto que os sinais em  $\delta$  73,67,  $\delta$  60,70 foram atribuídos aos carbonos C-8 e C-7 do epóxido minoritário.

<sup>11</sup> R. Faure, <sup>a</sup>R.P. Ramanoelina, O. Rakotonirainy, J-P. Bianchini, E.M. Gaydou, *Magn. Reson. Chem.*, 1991, 29, 969.



**Figura 2** Deslocamentos químicos e atribuição dos sinais de RMN de <sup>1</sup>H e RMN de <sup>13</sup>C para o epóxido majoritário



**Figura 3** Deslocamentos químicos e atribuição dos sinais de RMN de <sup>1</sup>H e RMN de <sup>13</sup>C para o epóxido minoritário

A mistura de epóxidos, obtida anteriormente, foi separada em duas porções que foram cuidadosamente submetidas à ação dos agentes redutores LiAlH<sub>4</sub> e LiAlD<sub>4</sub> em uma solução de THF anidro, para a obtenção dos álcoois sesquiterpênicos palustrol 1 e 1a e epi-globulol 2 e 2a.

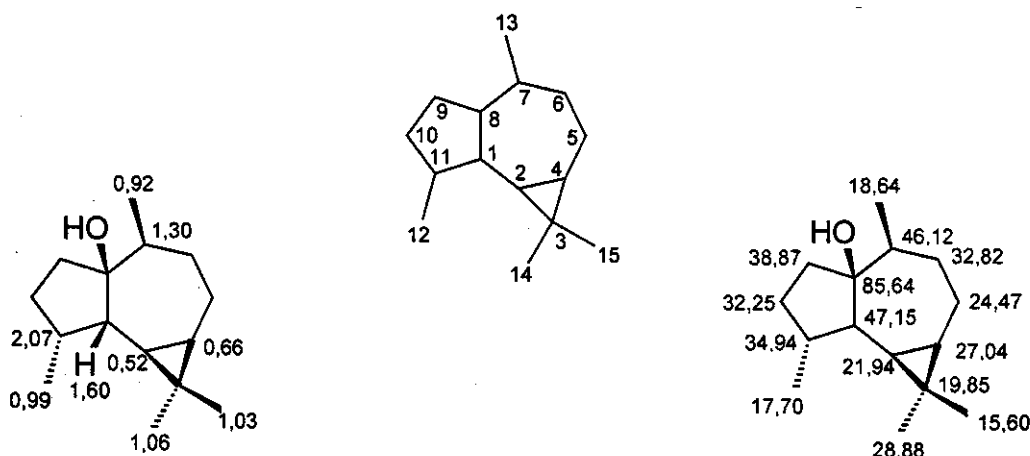
Após o término e o tratamento adequado da reação, o resíduo foi cromatografado em coluna com sílica utilizando-se uma mistura de hexano/acetato de etila como sistema eluente sendo obtidos os álcoois sesquiterpênicos palustrol 1 e 1a com 22% e 16% de rendimento e epi-globulol 2 e 2a com 49% e 32% de rendimento, respectivamente. A estrutura desses compostos foi caracterizada com

base em seus dados espectroscópicos de RMN de  $^1\text{H}$ , RMN de  $^{13}\text{C}$ , EM e comparação com a literatura.

No espectro de RMN de  $^1\text{H}$  do palustrol **1** observa-se a presença de dois doubletos, um em  $\delta$  0,92 com  $J = 6,6$  Hz e o outro em  $\delta$  0,99 com  $J = 7,3$  Hz, ambos com integração relativa para 3 hidrogênios, que foram atribuídos aos sinais dos hidrogênios H-13 e H-12 respectivamente. Em  $\delta$  1,03 e  $\delta$  1,06, o espectro apresenta dois singletos com integração correspondente a 3 hidrogênios cada, atribuídos aos H-15 e H-14, respectivamente.

No espectro de RMN de  $^{13}\text{C}$ , a presença de um sinal em  $\delta$  85,64, correspondente a um carbono desidrogenado, foi atribuído ao carbono carbinólico C-8 reforçando a caracterização da estrutura.

As correlações homonucleares  $^1\text{H}$ - $^1\text{H}$  (COSY), e heteronucleares  $^1\text{H}$ - $^{13}\text{C}$  g(HMQC e HMBC), observadas nos espectros de RMN de 2D, confirmam a estrutura da substância palustrol **1**.



**Figura 4** Deslocamentos químicos dos sinais de RMN de  $^1\text{H}$  e RMN de  $^{13}\text{C}$  do palustrol **1** e suas atribuições.

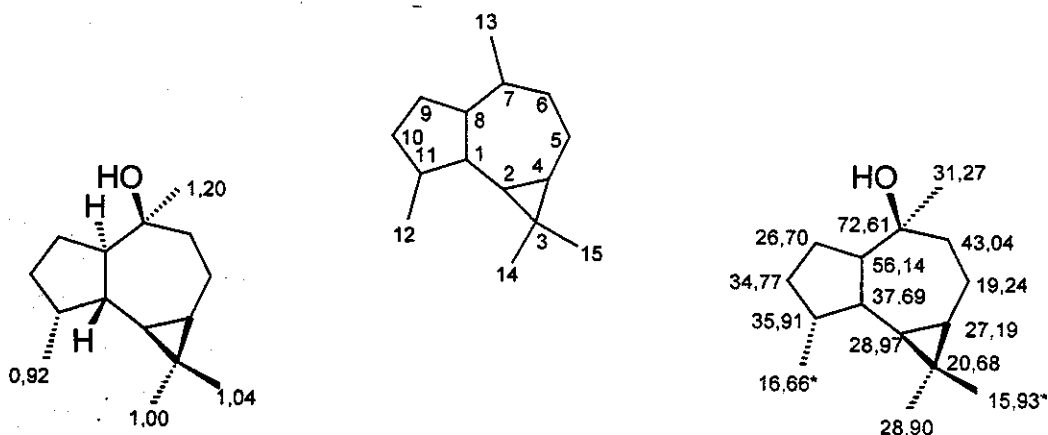
O espectro de massas do palustrol **1a** confirma a presença de um átomo de deutério na estrutura, devido ao íon molecular dessa substância apresentar uma unidade de massa a mais, quando comparado ao palustrol não deuterado.

No espectro de RMN de  $^1\text{H}$  do palustrol 1a, a introdução do átomo de deutério em C-7 fica evidenciada pelo desaparecimento do doubleto em  $\delta$  0,92 correspondente ao sinal dos hidrogênios da metila H-13 e aparecimento de um singuleto alargado com integração relativa à 3 hidrogênios. O alargamento desse sinal (Figura 58, pág. 103), é devido a constante de acoplamento pequena H,D, que é de aproximadamente 1/6 da constante de acoplamento H,H.

Observando o espectro de RMN de  $^{13}\text{C}$ , a estrutura fica caracterizada pela ausência do sinal correspondente a C-7, que deveria ser um triplete resultante do acoplamento C,D porém, se confunde com o sinal do ruído devido a sua baixa intensidade (Figura 59, pág. 103).

No espectro de RMN de  $^1\text{H}$  do *epi*-globulol 2, observa-se a presença de três singletos em  $\delta$  1,00,  $\delta$  1,04 e  $\delta$  1,20, todos com integração relativa para 3 hidrogênios e que foram atribuídos aos H-15, H-14 e H-13, respectivamente. O espectro ainda mostra a presença de um doubleto em  $\delta$  0,92 com  $J = 7,0$  Hz e integração para 3 hidrogênios, que foi atribuído aos H-12.

No espectro de RMN de  $^{13}\text{C}$ , observa-se a presença de dois sinais, em  $\delta$  28,90 e  $\delta$  15,93 que foram atribuídos às metilas ligadas ao carbono quaternário que faz parte do ciclopropano. Em  $\delta$  72,61, o espectro mostra um sinal correspondente a um carbono quaternário que foi, inequivocamente, atribuído ao carbono carbinólico C-7.



**Figura 5** Deslocamentos químicos dos sinais de RMN de  $^1\text{H}$  e RMN de  $^{13}\text{C}$  para o *epi*-globulol 2 e suas atribuições

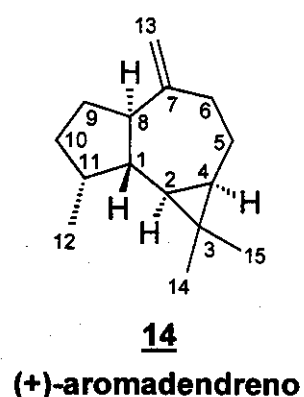
Para a substância *epi*-globulol-D<sub>1</sub> 2a, o espectro de massas confirma a introdução de um átomo de deutério na estrutura, devido ao seu íon molecular apresentar uma unidade de massa a mais, quando comparado ao do *epi*-globulol não deuterado 2.

No espectro de RMN de <sup>1</sup>H, esperava-se uma simplificação significante dos sinais de hidrogênio, causada pela introdução de um átomo de deutério na estrutura. Isso não aconteceu e a caracterização principal da estrutura é atribuída ao espectro de RMN de <sup>13</sup>C, onde observa-se a presença em δ 55,30 de um tripleto de baixa intensidade, resultante do acoplamento C,D e que foi atribuído ao C-7 (Figura 64, pág. 106).

### 3.3.1.2 Obtenção do *epi*-globulol 3 e 3a a partir do *allo*-aromadendreno 8

Com o objetivo de tornar mais viável o entendimento dos caminhos de fragmentação de álcoois sesquiterpênicos terciários, tal como o *epi*-globulol, introduziu-se átomos de deutério em posições alfa ao carbono carbinólico.

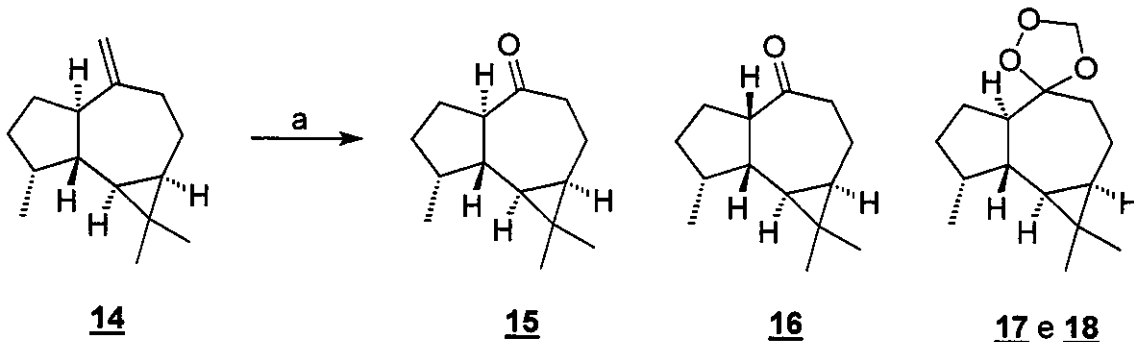
Hidrocarbonetos sesquiterpênicos tais como (+)-aromadendreno 14 e (-)*allo*-aromadendreno 8, facilmente encontrados na natureza como constituintes de óleos essenciais, podem ser utilizados na síntese de vários derivados aromadendrânicos quirais.



Para a obtenção do *epi*-globulol-D<sub>3</sub> 3a a idéia inicial foi utilizar como material de partida, o (+)-aromadendreno 14, uma substância comercialmente disponível, por apresentar a estereoquímica relativa desejada nos centros estereogênicos 1, 2, 4, 8 e 11. Para isso, um procedimento usual de ozonólise<sup>6</sup> foi realizado. Desta maneira foram isolados a aromadendrona 15, com 39% de rendimento, na forma de um sólido branco, contendo como impureza traços

<sup>6</sup> H.J.M Gijsen, K. Kanai, G. A. Stork, J.B.P.A. Wijnberg, R.V.A. Orru, C.G.J.M. Seelen, S.M. van der Kerk and A. de Groot; *Tetrahedron* 1990, 46, 7237-7246

de *allo*-aromadendrona **16** (CG/EM), formada no processo de ozonólise, e os ozonídeos diastereoisoméricos **17** e **18** com 9% de rendimento, que permaneceram estáveis ao processo de oxidação (Esquema 3).



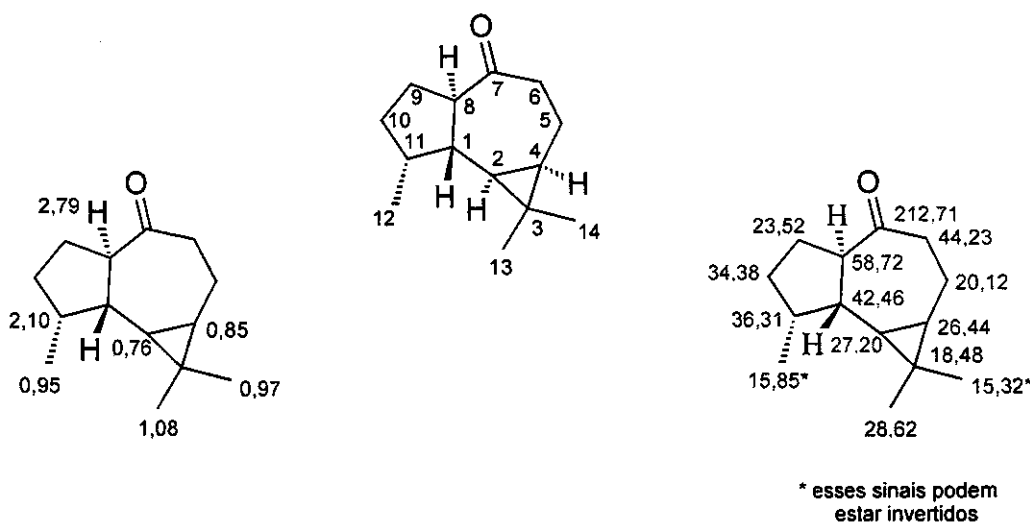
**Esquema 3**

a) O<sub>3</sub>, CH<sub>2</sub>Cl<sub>2</sub>, -78°C; Me<sub>2</sub>S

Esses compostos tiveram suas estruturas caracterizadas com base em seus dados espectroscópicos e comparados com a literatura<sup>6</sup>.

O espectro de RMN de <sup>1</sup>H da aromadendrona **15** apresenta em δ 0,76 um duplo dubbleto com J = 10,6 e 9,4 Hz, com integração relativa a um hidrogênio, que foi atribuído ao H-2. Em δ 0,97 e δ 1,08, observamos a presença de dois singletos que indubitavelmente foram atribuídos às metilas ligadas ao carbono desidrogenado C-3 do ciclopropano. Em δ 0,95, o espectro apresenta um dubbleto com J = 7,0 e integração para 3 hidrogênios que foi atribuído aos H-12.

A formação da cetona foi confirmada pela presença, no espectro de RMN de <sup>13</sup>C, de um sinal em δ 212,71, característico de uma carbonila, que foi atribuído ao C-7.



**Figura 6** Deslocamentos químicos dos sinais de RMN de  $^1\text{H}$  e RMN de  $^{13}\text{C}$  para a aromadendrona 15 e suas atribuições

O espectro de RMN de  $^1\text{H}$ , da mistura dos ozonídeos diastereoisoméricos 17 e 18, apresenta quatro singletos em  $\delta$  5,00,  $\delta$  5,01,  $\delta$  5,22 e  $\delta$  5,24. Esses sinais foram atribuídos aos hidrogênios diastereotópicos H-13 no ciclo 1,2,4-trioxolano.

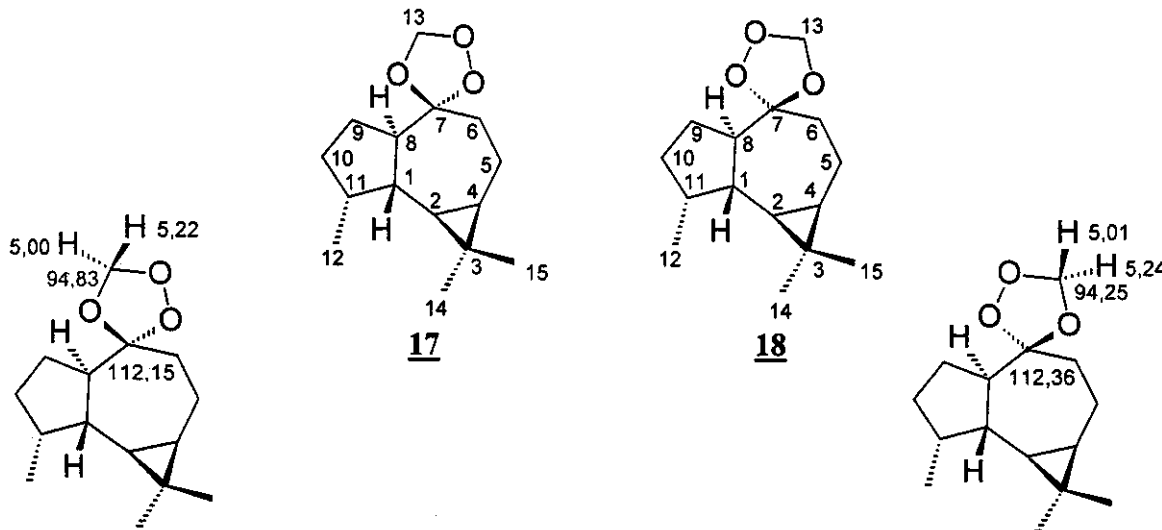
A análise do espectro de RMN de 2D de correlação  $^{13}\text{C}, ^1\text{H}$  (HETCOR) mostra diferentes deslocamentos químicos para os hidrogênios H-13, sendo em  $\delta$  5,01 e  $\delta$  5,24 os sinais para um dos diastereoisômeros, e em  $\delta$  5,00 e  $\delta$  5,22 os sinais para o outro isômero.

O espectro de RMN de  $^{13}\text{C}$ , da mistura dos ozonídeos apresenta dois sinais, um em  $\delta$  94,25 e o outro em  $\delta$  94,83, correspondentes aos carbonos metilênicos, que foram atribuídos a C-13, que faz parte do sistema cíclico 1,2,4-trioxolano de cada um dos diastereoisômeros. O espectro apresenta também, sinais em  $\delta$  112,15 e  $\delta$  112,36 que foram atribuídos aos carbonos C-7, ligados aos dois oxigênios do sistema trioxolano.

Em uma outra reação de ozonólise, após a adição de  $\text{Me}_2\text{S}$ , a solução ficou em agitação à temperatura ambiente durante a noite e verificou-se, através da análise dos dados espectrais, que um dos diastereoisômeros do ozonídeo transformava-se mais rapidamente na cetona desejada. O tempo necessário para

a total transformação do ozonídeo na substância carbonílica não foi pesquisado, como também não o foi um outro agente químico de decomposição do ozonídeo.

Como, os ozonídeos formados não eram do nosso interesse, a atribuição dos sinais, correspondentes a cada uma das substâncias, não foi feita.



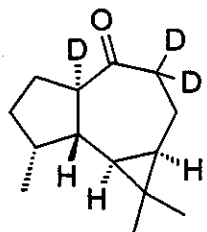
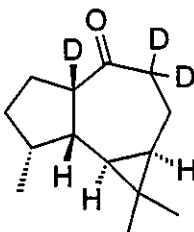
**Figura 7** Dados\*\* de RMN de  $^1\text{H}$  e RMN de  $^{13}\text{C}$  para os ozonídeos **17** e **18**

\*\* Esses dados não correspondem necessariamente às estereoquímicas das estruturas aqui apresentadas.

Para obter o *epi*-globulol-D<sub>3</sub> **3a**, com átomos de deutério ligados aos carbonos alfa ao carbono carbinólico, utilizou-se a enolização da aromadendrona **15** em meio básico. Usou-se sódio metálico e, como fonte de deutério e solvente, foi utilizado metanol-d<sub>1</sub> (MeOD).

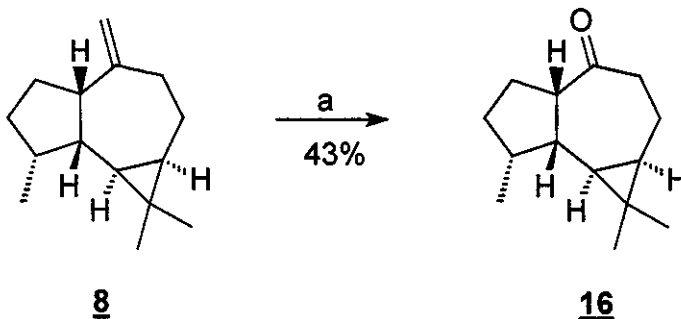
Aromadendrona **15** em MeOD foi adicionada a um balão de duas bocas, contendo uma solução de MeO<sup>−</sup>/MeOD. A reação foi monitorada através de CG/EM e, com o passar do tempo, observou-se um pequeno aumento no grau de deuteração da aromadendrona e uma acentuada elevação na proporção de *allo*-aromadendrona totalmente trideuterada. Após 24 horas em agitação a reação foi filtrada sobre sílica gel e o solvente evaporado. O cromatograma de íons obtido por análise em CG/EM mostrou a presença de dois picos com proporção

aproximada de 1:1 que foram confirmados como sendo da aromadendrona 15a e da *allo*-aromadendrona 16a, esta última ocorrendo devido a fácil epimerização em

15a16a

meio básico do centro estereogênico C-8. Como os padrões deveriam ser quimicamente puros e de estereoquímica determinada esta mistura de *allo* e aromadendrona, de difícil separação, foi considerada inadequada para o estudo de massas.

Para esse fim, visualizamos a síntese da *allo*-aromadendrona 16 à partir do *allo*-aromadendreno 8 (Esquema 4), que também foi uma substância disponível no laboratório. Foram aplicados os mesmos procedimentos de ozonólise, citados anteriormente<sup>6</sup>, sendo que aqui, o ozonídeo intermediário não foi isolado.



Esquema 4

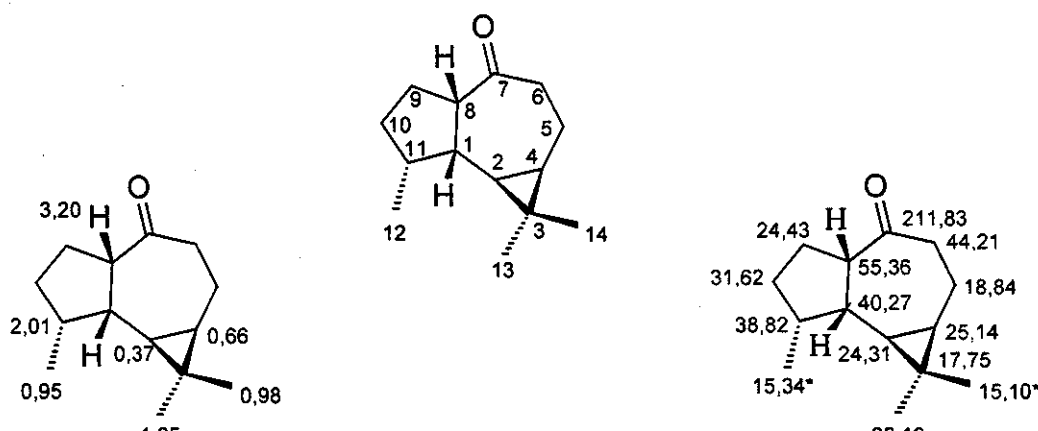
a) O<sub>3</sub>, CH<sub>2</sub>Cl<sub>2</sub>, -78°C; Me<sub>2</sub>S

Uma solução de *allo*-aromadendreno 8 em diclorometano foi colocada a -78°C e ozônio foi borbulhado até a solução adquirir uma leve coloração azul, caracterizando o excesso de O<sub>3</sub>. Em seguida, nitrogênio foi borbulhado na solução, para retirada do excesso de ozônio e dimetilsulfeto (Me<sub>2</sub>S) foi adicionado ao conteúdo reacional. Após tratamento final da reação, obteve-se um óleo amarelo, que foi cromatografado em coluna com sílica gel, utilizando-se uma mistura de hexano/acetato de etila como eluente. A *allo*-aromadendrona 16 obtida

com 43% de rendimento, foi caracterizada com base em seus dados espectroscópicos, estando de acordo com a literatura<sup>6</sup>.

No espectro de RMN de <sup>1</sup>H verificamos a presença de dois singletos, um em δ 0,98 e o outro em δ 1,05, com integração para 3 hidrogênios cada um. Esses sinais foram atribuídos aos H-13 e H-14 respectivamente. Em δ 0,95, o espectro apresenta um doubleto com J = 6,7 Hz, que foi indubitavelmente atribuído aos H-12. O duplo triplete, observado no espectro em δ 3,20, com integração relativa de 1 hidrogênio e J = 5,4 e 9,5 Hz, foi atribuído ao hidrogênio alfa a carbonila H-8.

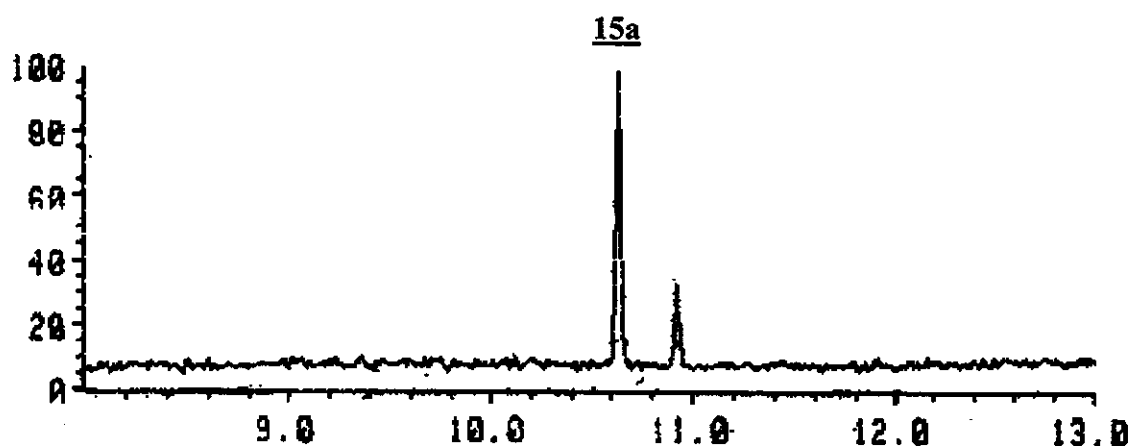
No espectro de RMN de <sup>13</sup>C, os sinais em δ 15,34 e δ 15,10, foram atribuídos aos carbonos metílicos C-12 e C-14, respectivamente. Como essa substância é um intermediário de reação para obtenção do álcool desejado, não foi realizado um estudo espectroscópico mais detalhado para a atribuição correta desses sinais. Em δ 211,83, observou-se a presença de um sinal de carbono desidrogenado, caracterizando a presença da carbonila na estrutura.



\* esses sinais podem estar invertidos

**Figura 8** Deslocamentos químicos dos sinais de RMN de <sup>1</sup>H e RMN de <sup>13</sup>C para a *allo*-aromadendrona 16 e suas atribuições

Para obtenção da substância trideuterada 15a, uma solução de *allo*-aromadendrona 16 em metanol deuterado foi adicionada a uma solução de metanol deuterado e metóxido de sódio. Após 8 horas em agitação, verificou-se através de CG/EM a formação da aromadendrona 15a (Figura 9) com elevado grau de deuteração na molécula. A *allo*-aromadendrona permaneceu na mistura com aproximadamente 20% de proporção e com um baixo grau de deuteração, verificado através de seu espectro de massas.



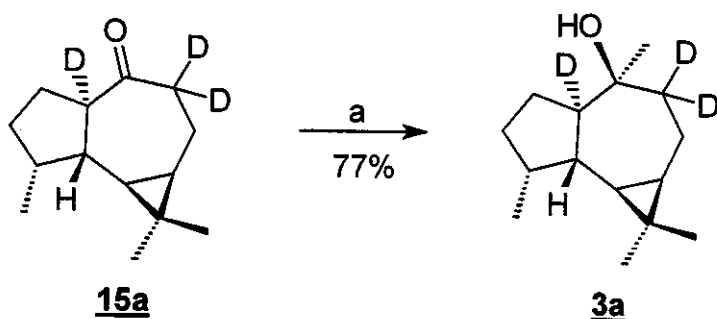
**Figura 9** Cromatograma (CG/EM) do produto de reação de deuteração da *allo*-aromadendrona 16

Devido à difícil separação das substâncias por cromatografia em coluna e em placa, a aromadendrona-D<sub>3</sub> 15a foi caracterizada na mistura, através de seus dados espectroscópicos.

No espectro de RMN de <sup>1</sup>H, podemos observar, quando em comparação com o do composto não deuterado, o desaparecimento dos sinais em δ 2,40 e δ 2,80 correspondentes aos hidrogênios H-8 e H-6, respectivamente (Figura 73, pagina 112).

No espectro de RMN de <sup>13</sup>C, a principal evidência da introdução de deutério nas posições C-8 e C-6, é que os sinais dos respectivos carbonos em δ 58,72 e δ 44,23, observados no espectro do composto hidrogenado, estão encobertos pelo ruído devido a suas baixas intensidades (Figura 74, página 113).

O álcool sesquiterpênico *epi*-globulol-D<sub>3</sub> 3a foi obtido, através de uma reação estereosseletiva, da cetona com fusão de anéis *trans* 15a com CH<sub>3</sub>MgBr como agente alquilante (Esquema 5).



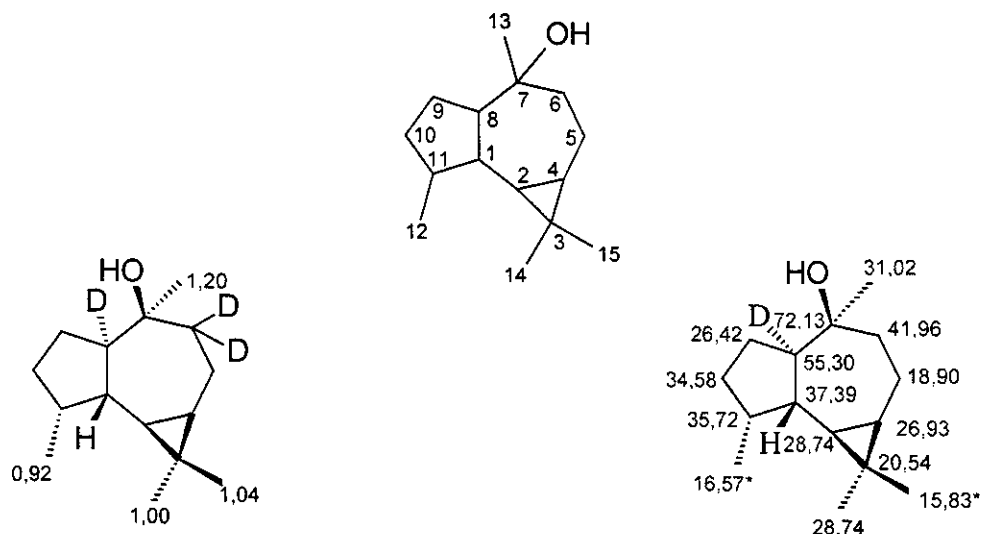
**Esquema 5**

a) CH<sub>3</sub>MgBr, THF, t.a.

A uma solução de aromadendrona-D<sub>3</sub> 15a em THF anidro, sob atmosfera de nitrogênio e temperatura ambiente, foi lentamente adicionada uma solução 3 mol/L de CH<sub>3</sub>MgBr permanecendo em agitação. Após 1 hora, água foi cuidadosamente adicionada e o conteúdo reacional extraído com acetato de etila. A purificação do produto por cromatografia em coluna, utilizando-se uma mistura de hexano/acetato de etila como eluente, forneceu como produto principal o *epi*-globulol-D<sub>3</sub> 3a com 77% de rendimento. A caracterização estrutural foi feita baseada em seus dados espectroscópicos de EM, RMN de <sup>1</sup>H e RMN de <sup>13</sup>C.

O espectro de RMN de <sup>1</sup>H apresenta um multiplet em δ 0,42 – 0,60, com integração relativa para 2 hidrogênios, que foram atribuídos a H-2 e H-4. Em δ 0,92 observa-se a presença de um dbleto com J = 7,0 Hz, com integração relativa para 3 hidrogênios, que foi atribuído aos H-12. Em δ 1,00, δ 1,04 e δ 1,20 o espectro apresenta três singletos, ambos com integração relativa a 3 hidrogênios cada, que foram atribuídos às metilas C-14 e C-15 ligadas ao carbono quaternário C-11 do ciclopropano e, C-13 ligada ao carbono carbinólico C-7, respectivamente.

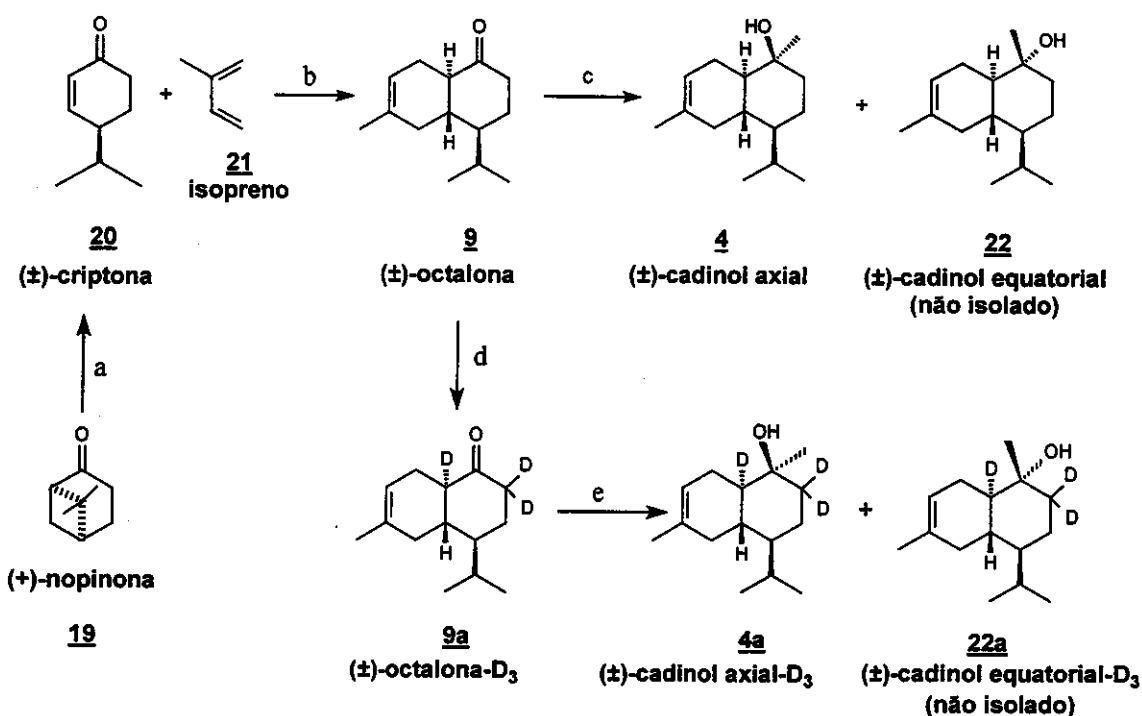
No espectro de RMN de  $^{13}\text{C}$  verificamos o desaparecimento do sinal da carbonila em  $\delta$  213,71 e a presença de um sinal em  $\delta$  72,13, que foi atribuído ao carbono carbinólico C-7.



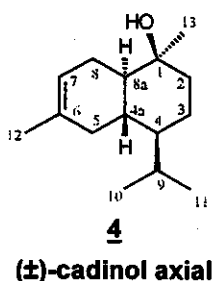
**Figura 10** Deslocamentos químicos dos sinais de RMN de  $^1\text{H}$  e RMN de  $^{13}\text{C}$  para o *epi*-globulol-D<sub>3</sub> **3a** e suas atribuições

Para efeito de comparação dos dados espectrais, o epi-globulol também foi sintetizado à partir da aromadendrona **15**, através de reação de alquilação com CH<sub>3</sub>MgBr, estando seus espectros (Figuras 52 e 53, pág. 99) de acordo com a literatura<sup>6</sup> e com os dados obtidos anteriormente, quando essa substância foi obtida à partir do (+)-ledeno **7**.

### 3.3.1.3 Sínteses do cadinol axial 4 e de 4a



**Esquema 6** a) AlCl<sub>3</sub>, CH<sub>2</sub>Cl<sub>2</sub>, 0°C (82%) b) AlBr<sub>3</sub>, tolueno, 0-60°C (24%) c) CH<sub>3</sub>MgBr, THF, -78°C (29%) d) MeOD, Na, ta (73%) e) CH<sub>3</sub>MgBr, THF, -78°C (29%)



Os cadinóis, álcoois sesquiterpênicos cuja nomenclatura depende da posição da dupla ligação no sistema cíclico, são largamente distribuídos na natureza. O cadinol axial 4, é um novo sesquiterpeno dessa classe de compostos e foi detectado no óleo essencial de *Baccharis platipoda*<sup>1</sup>. A síntese desse terpeno foi realizada através de uma metodologia fácil e acessível a partir da (+)-nopolinona 19, disponível no laboratório e que pode ser facilmente obtida do β-pineno comercial<sup>2,3,4</sup> (Esquema 6).

O tratamento da (+)-nopolinona 19 com AlCl<sub>3</sub> forneceu a ( $\pm$ )-criptona 20 a qual permitiu o acesso a ( $\pm$ )-octalona 9 através de uma reação de Diels-Alder. A ( $\pm$ )-trans-octalona 9, foi obtida com 24,72% de rendimento na forma de um óleo

<sup>1</sup> Queiroga, C.L., Ferracini, V. and Marsaioli, A.J., *Phytochemistry*, 1996, 42, 1097-1103

<sup>2</sup> Fringuelli, F., Pizzo, F., Taticchi, A., Ferreira, V. F., Michelotti, E.L., B. and Wenkert, E., *J. Org. Chem.*, 1985, 50, 890

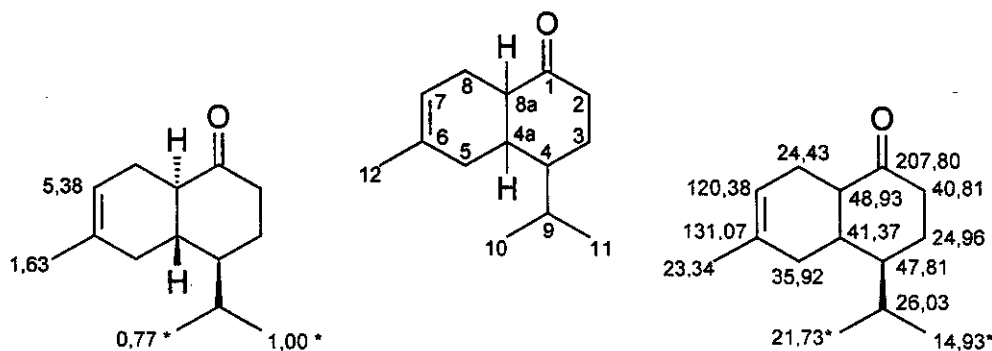
<sup>3</sup> Angell, E.C., Fringuelli, F. and Pizzo, F., Minuti, L., Taticchi, A. and Wenkert, E., *J. Org. Chem.*, 1989, 54, 1217.

<sup>4</sup> Marsaioli, A.J., Nurnberg, V., Saragiotti, M.H. and Castellano, E.E., *J. Org. Chem.*, 1988, 54, 5838.

incolor e foi identificada com base em seus dados epectroscópicos, cujos sinais de RMN de  $^1\text{H}$  e de RMN de  $^{13}\text{C}$  foram idênticos aos da literatura<sup>1</sup>.

O espectro de RMN de  $^1\text{H}$ , apresenta em  $\delta$  0,77 e  $\delta$  1,00 dois dubletos com integração relativa a 3 hidrogênios cada um e  $J = 7,0$  Hz, que foram atribuídos aos hidrogênios das metilas ligadas ao C-9. Em  $\delta$  1,63, o espectro apresenta um singuleto com integração para 3 hidrogênios que foi, indubitavelmente atribuído aos H-12. Em  $\delta$  5,38, observa-se um singuleto alargado, com integração relativa a 1 hidrogênio, que foi atribuído ao hidrogênio vinílico H-7 da ( $\pm$ )-*trans*-octalona **9**.

A estrutura foi confirmada através da análise do espectro de RMN de  $^{13}\text{C}$ , que mostra o sinal do carbono carbonílico C-1 em  $\delta$  207,80 e os sinais dos carbonos olefínicos C-7 e C-6, que ressonam em  $\delta$  120,38 e  $\delta$  131,07, respectivamente.



**Figura 11** Deslocamentos químicos dos sinais de RMN de  $^1\text{H}$  e RMN de  $^{13}\text{C}$  para a substância **9** e suas atribuições

A obtenção do álcool sesquiterpênico cadinol axial **4**, foi realizada através de uma reação de Grignard da ( $\pm$ )-*trans*-octalona **9** com  $\text{CH}_3\text{MgBr}$ . O cadinol axial **4** foi obtido com 29,89 % de rendimento e foi identificado através de análise por CG/EM e co-injeção com amostra padrão disponível no laboratório<sup>1</sup>. Com o auxílio de CG/EM, verificou-se que o cadinol equatorial **22**, presente na proporção de aproximadamente 8% na análise do bruto da reação, foi detectado em uma fração, muito impura, da coluna cromatográfica, sendo muito difícil sua purificação.

O cadinol axial deuterado 4a foi obtido a partir da ( $\pm$ )-*trans*-octalona-D<sub>3</sub> 9 a qual foi deuterada na presença de metanol deuterado e metóxido de sódio. A ( $\pm$ )-*trans*-octalona-D<sub>3</sub> 9a foi obtida com 73% de rendimento e teve sua estrutura elucidada com base em seus dados espectroscópicos.

No espectro de massas verificamos a presença do íon molecular com *m/z* 209 (70%), indicando, após comparação com o espectro da substância não deuterada, a introdução dos 3 átomos de deutério na estrutura molecular.

Na análise do espectro de RMN de <sup>1</sup>H, uma das principais evidências da deuteração, é o desaparecimento dos sinais em  $\delta$  2,10-2,30, correspondentes aos sinais dos hidrogênios H-2. Verifica-se também, uma simplificação dos sinais, na região de  $\delta$  1,80-2,0, onde ressona o H-8a.

No espectro de RMN de <sup>13</sup>C, verificamos a presença de um sinal em  $\delta$  207,90 que foi atribuído ao carbono carbonílico C-1. No lugar dos sinais que apareciam em  $\delta$  40,81 e  $\delta$  48,93 no composto não deuterado 9, verificamos sinais de baixa intensidade que puderam ser atribuídos a C-8a e C-2, respectivamente, após comparação com o espectro da substância não deuterada 9.

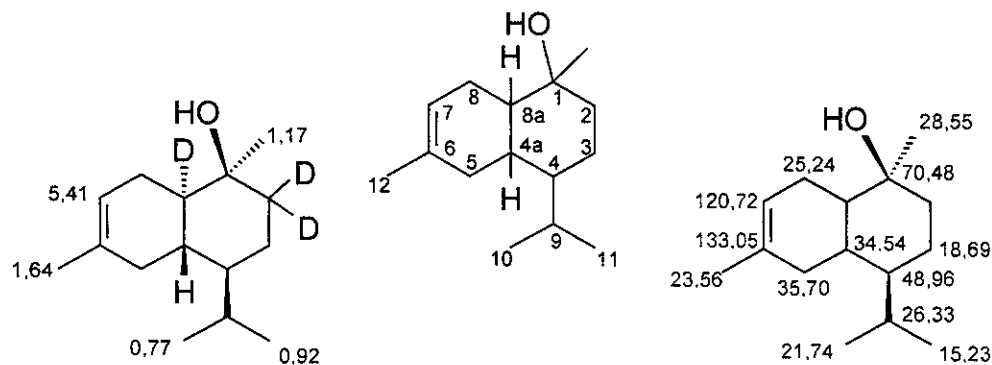
Para a obtenção do cadinol axial-D<sub>3</sub> 4a, seguiu-se o caminho de síntese análogo ao do cadinol 4. Após tratamento adequado da reação e purificação do conteúdo reacional, o álcool sesquiterpênico 4a foi obtido com 30% de rendimento, tendo sua estrutura caracterizada através de análise dos seus dados espectroscópicos. Uma fração muito impura do cadinol equatorial 22a também foi obtida, cuja purificação, através de cromatografia em coluna, não foi bem sucedida.

No espectro de massas do cadinol axial-D<sub>3</sub> 4a verificamos a ausência do íon molecular, devido a perda de H<sub>2</sub>O, facilitada por ser um álcool terciário e pela existência de interações do tipo 1,3-diaxial entre a hidroxila (-OH) e os hidrogênios H-3 e H-4a nessa estrutura.

O espectro de RMN de <sup>1</sup>H apresenta em  $\delta$  0,77 e 0,92 dois dubletos com *J* = 7,0 Hz e com integração relativa a 3 hidrogênios cada um, que foram atribuídos a H-10 e H-11 respectivamente. Em  $\delta$  1,17 o espectro apresenta um singuleto, com

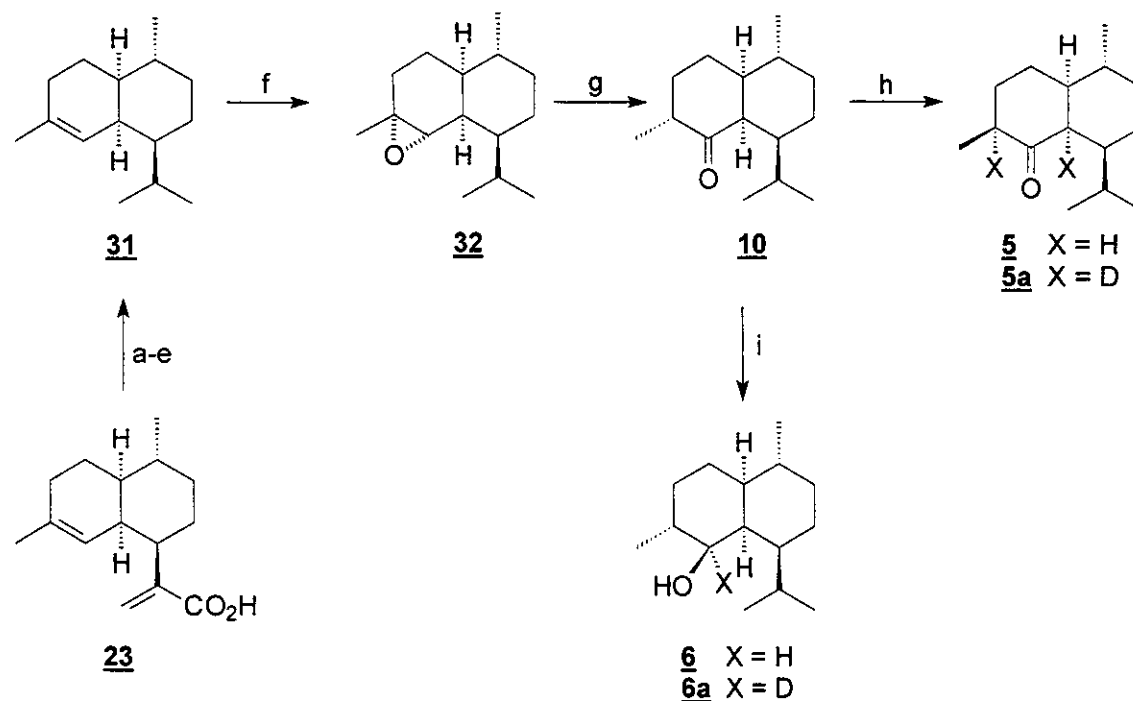
integração correspondente a 3 hidrogênios, que pode ser atribuído aos hidrogênios H-13 da metila ligada ao carbono carbinólico. No mesmo espectro, ainda podemos verificar a presença de dois singletos em  $\delta$  1,64 e 5,41, sendo esse último um sinal alargado, atribuídos de maneira indubitável aos hidrogênios H-12 e H-7, respectivamente.

No espectro de RMN de  $^{13}\text{C}$ , a presença de um sinal em  $\delta$  70,48 atribuído ao carbono carbinólico C-1, e os sinais em  $\delta$  133,05 e  $\delta$  120,72, atribuídos aos carbonos olefínicos C-7 e C-6, respectivamente, confirmam a estrutura do álcool sesquiterpênico cadinol axial-D<sub>3</sub> **4a**.



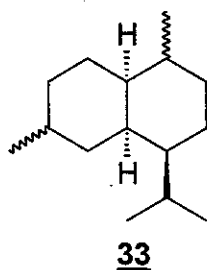
**Figura 12** Deslocamentos químicos dos sinais de RMN de  $^1\text{H}$  e RMN de  $^{13}\text{C}$  para a substância **4a** e suas atribuições

### 3.3.1.4 Amorfanos derivados do ácido artemisinínico 23



- a)  $\text{CH}_2\text{N}_2$ , éter etílico,  $0^\circ\text{C}$  (100%); b)  $\text{NaBH}_4$ ,  $\text{NiCl}_2$ ,  $\text{MeOH}$ ,  $0^\circ\text{C}$ ; c)  $\text{LiAlH}_4$ , éter etílico, t.a. (99%); d)  $\text{MsCl}$ ,  $\text{Et}_3\text{N}$ ,  $\text{CH}_2\text{Cl}_2$ , t.a. (73%); e)  $\text{LiAlH}_4$ , THF, t.a. (87%, 60% baseado em 23); f) AMCPB,  $\text{CH}_2\text{Cl}_2$ , t.a. (91%); g)  $\text{BF}_3\text{-OEt}_2$ ,  $\text{Et}_2\text{O}$ ,  $0^\circ\text{C}$  (38%); h)  $\text{MeOH(D)}/\text{MeONa}$  (66%); i)  $\text{LiAlX}_4$  ( $\text{X} = \text{H}$  ou  $\text{D}$ ), THF, t.a. (94%)

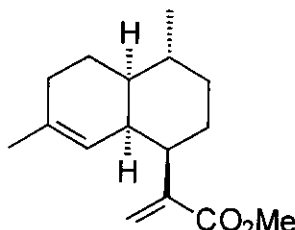
**Esquema 7** Síntese da  $(8S)$  – 5 e 5a cetona de Quinghaosu e dos álcoois 6 e 6a



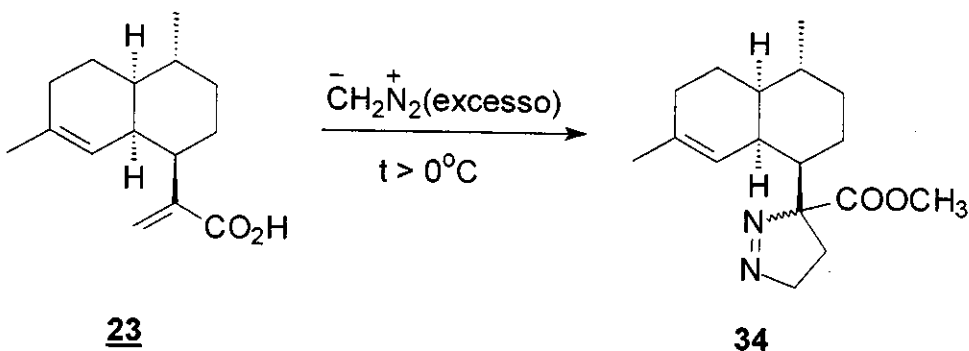
Dentre os sesquiterpenos, os amorfanos 33, caracterizam-se por apresentarem uma fusão *cis* na junção dos anéis do sistema decalínico e uma relação *trans* entre esses hidrogênios e o grupo isopropila. O (+)-ácido artemisinínico 23 é encontrado na *Artemisia annua*<sup>1</sup> em aproximadamente 1,30% do peso da planta

<sup>1</sup> Mary Ann Foglio, Tese de Doutorado, UNICAMP, Campinas, Brasil, 1996

seca. Os álcoois **5** e **5a** foram obtidos através de reação de redução da cetona **10** utilizando-se como agentes redutores LiAlH<sub>4</sub> e LiAlD<sub>4</sub>.



Para a obtenção dos padrões sesquiterpênicos citados, iniciou-se a conversão dos grupos funcionais através de uma reação de esterificação do ácido artemisinínico **23**, utilizando-se diazometano como agente alquilante, obtendo-se o composto **24**. Nessa reação, teve-se muito cuidado quanto ao excesso de diazometano utilizado e a permanência da temperatura da reação em 0°C, para evitar uma reação de cicloadição do tipo 1,3 dipolar envolvendo a dupla ligação exocíclica e o diazometano utilizado, o que poderia levar a formação do composto **34**<sup>1,2</sup>(Esquema 8).

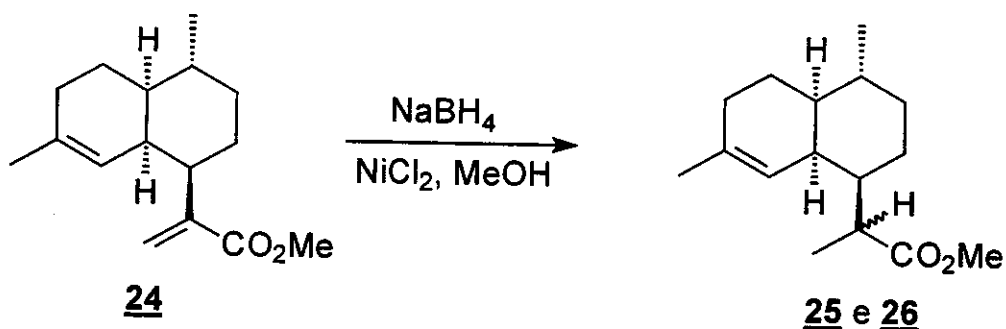


**Esquema 8** Reação de esterificação do ácido artemisinínico **23** a temperatura acima de zero e excesso de diazometano

O éster formado nessa reação, foi identificado com base em seu espectro de massas (CG/EM) que foi comparado com dados da literatura<sup>1</sup> e com uma amostra padrão. A evidência da ocorrência de esterificação foi devido a observação, no espectro de massas, do pico do íon molecular com *m/z* 248 correspondendo a 15 unidades de massa atômica (15 Daltons) a mais que o íon molecular do ácido artemisinínico de partida **23**.

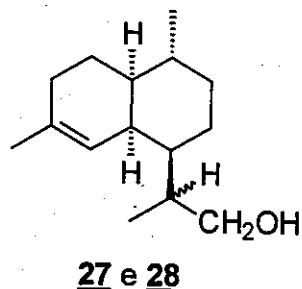
<sup>2</sup> Kim, S.; Choi, J.Nat. Prod.; 1993, 56(6); 857-863

Na etapa de redução da dupla ligação conjugada, no éster 24, o tipo de reação a ser empregada teve que considerar a existência de uma dupla ligação endocíclica. Uma reação de hidrogenação catalisada por paládio ou platina, por exemplo, reduziria facilmente a dupla ligação endocíclica, o que não é desejado. O catalisador utilizado para essa hidrogenação foi o de níquel-boro, obtido à partir de cloreto de níquel e boroidreto de sódio<sup>3</sup>, que permitiu uma reação branda e sítiosseletiva (Esquema 9).



**Esquema 9 Síntese dos diastereoisômeros 25 e 26**

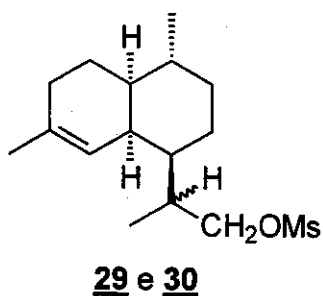
A formação do produto foi confirmada pela análise do seu espectro de massas (CG/EM), onde as duas substâncias diastereoisoméricas que eluiram da coluna, na proporção de 30:70, respectivamente, apresentaram ion molecular de  $m/z$  250, com um mesmo padrão de fragmentação, indicando a introdução de dois átomos de hidrogênio (2 Dalton) na estrutura. Um trabalho mais detalhado, com relação aos diastereoisômeros formados, não foi realizado pois, em reações posteriores, o centro estereogênico C-9 deixaria de existir. Essas substâncias foram utilizadas sem prévia purificação para a síntese posterior.



O próximo passo, foi a obtenção dos álcoois 27 e 28 através de uma redução dos ésteres 25 e 26, utilizando-se LiAlH<sub>4</sub> (excesso) em éter etílico anidro, a temperatura ambiente. Os álcoois diastereoisoméricos foram caracterizados espectroscopicamente e na seqüência foram submetidos a reação de mesilação. Essa reação foi

<sup>3</sup> March, J.; Advanced Organic Chemistry: Reactions, Mechanisms, and Structure; (1977); 708; McGraw-Hill, Inc.

confirmada analisando-se o cromatograma de íons que apresentou dois compostos na razão de 30:70, com tempos de retenção diferentes dos álcoois de partida. As substâncias mesiladas não foram purificadas, sendo utilizado o bruto reacional para o próximo passo da síntese que é o de obtenção do hidrocarboneto **31**.



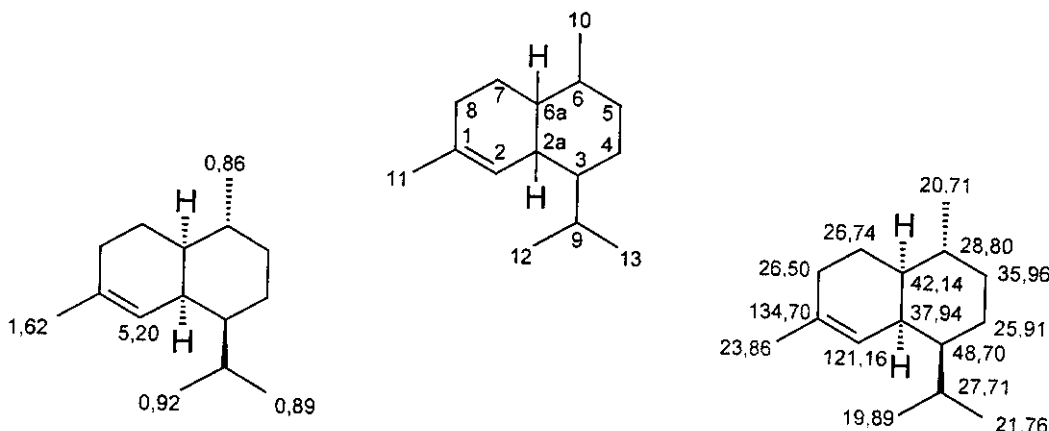
A reação de redução das substâncias **29** e **30**, foi realizada com LiAlH<sub>4</sub>, em THF anidro e a temperatura ambiente. Após 8 horas de reação e tratamento adequado do conteúdo reacional, o óleo amarelo obtido foi chromatografado em uma coluna com sílica, obtendo-se o hidrocarboneto sesquiterpênico **31**, que foi identificado através de métodos espectroscópicos, estando estes de acordo com a literatura<sup>4</sup>.

No espectro de massas, observa-se a presença de fragmentos característicos da estrutura, tais como o do íon molecular com *m/z* 206 e o pico base com *m/z* 163, esse último atribuído ao fragmento catiônico resultante da perda do grupo isopropila pelo íon molecular.

O espectro de RMN de <sup>1</sup>H, apresenta três dubletos, ambos com integração relativa a 3 hidrogênios cada um, que foram atribuídos a H-10 em δ 0,86 e J = 6,5 Hz, H-13 em δ 0,89 e J = 6,8 e a H-12 em δ 0,92 e J = 7,2. Em δ 1,62 o espectro mostra um singuleto largo com integração para três hidrogênios que foi, indubitavelmente, atribuído a H-11. O sinal alargado em δ 5,20, com integração relativa a 1 hidrogênio, foi atribuído a H-2.

No espectro de RMN de <sup>13</sup>C, verifica-se a presença de um carbono metínico em δ 121,16 que foi atribuído a C-2 e, em δ 134,70, o espectro mostra um sinal de carbono desidrogenado que foi atribuído ao C-1.

<sup>4</sup> Anita J. Marsaioli; F. Y. Fujiwara; M. Ann Foglio; N. Sharapin; Jin-Sheng Zhang; *Magn. Res. Chem.* 32, 1994, 583.



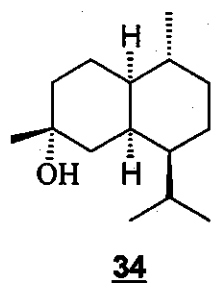
**Figura 13** Deslocamentos químicos dos sinais de RMN de  $^1\text{H}$  e RMN de  $^{13}\text{C}$  para a substância 31

Para a reação de epoxidação da substância 31 (Esquema 7), utilizou-se como agente oxidante o ácido meta-cloro-perbenzóico (AMCPB) em solução com diclorometano à temperatura ambiente. Após tratamento adequado do conteúdo reacional, obteve-se um óleo amarelo claro onde foi identificado, através de CG/EM, o epóxido 32, que foi utilizado sem prévia purificação no passo seguinte de síntese para a obtenção da cetona 10.

O espectro de massas apresenta, como fragmentos característicos da substância 32, o íon molecular de  $m/z$  222 com baixa intensidade, com 16 Dalton a mais que a substância anterior 31, indicando a entrada de um átomo de oxigênio na estrutura. O espectro mostra também um fragmento com  $m/z$  204, igualmente com baixa intensidade, que foi atribuído à perda de água (18 Dalton) do íon molecular, e o fragmento catiônico de  $m/z$  179, pico base, atribuído a perda do grupo isopropila.

A estereoquímica do epóxido foi proposta como  $\alpha$  com base na topologia côncava da molécula que torna difícil o acesso dos reagentes pela face  $\beta$ . A estereoquímica de epóxidos não é fácil de ser determinada e portanto foi considerado mais apropriado determinar a estereoquímica do álcool resultante.

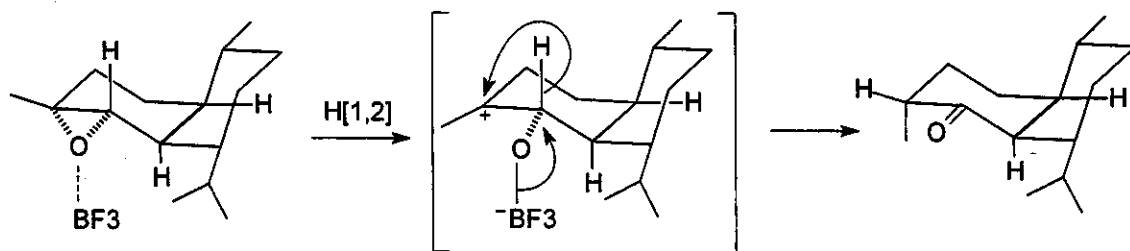
Os epóxidos em anéis cicloexânicos tratados com  $\text{LiAlH}_4$  sofrem, preferencialmente, abertura trans diaxial o que levaria à formação de um álcool terciário, um amorfanol de estrutura 34. Entretanto, a reação do epóxido 32 com



$\text{LiAlH}_4$  não alterou o epóxido mesmo deixando a reação sobre refluxo durante várias horas.

A baixa reatividade do epóxido 32 foi atribuída ao fato da abertura trans diaxial do epóxido exigir que a trajetória do hidreto fosse pela face  $\beta$  a qual possui topologia côncava, portanto impedida.

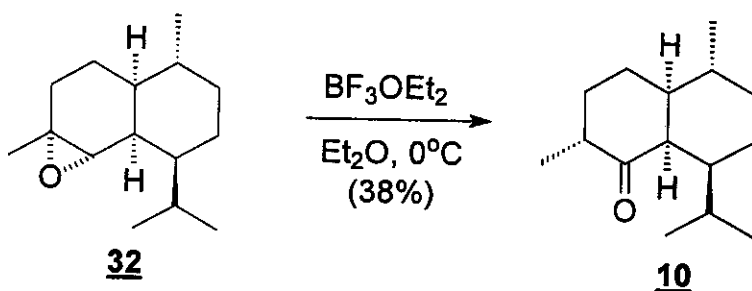
O epóxido 32 foi convertido em composto carbonílico, através da ação de ácidos de Lewis, tal como  $\text{BF}_3$ <sup>5</sup>. Nessa reação, o  $\text{BF}_3$  complexa com o átomo de oxigênio do epóxido, levando à formação do carbocátion intermediário, onde ocorre a migração 1,2 de hidreto formando o composto carbonílico cuja estereoquímica da posição alfa é governada pela do epóxido (Esquema 10).



**Esquema 10** Mecanismo para a formação da substância 10

O epóxido 32, foi colocado com  $\text{BF}_3\text{OEt}_2$  em éter etílico a  $0^\circ\text{C}$  (Esquema 11), permanecendo em agitação durante 18 horas. Após tratamento adequado do conteúdo reacional e repetidas separações cromatográficas, obteve-se a cetona 10 com 38% de rendimento, tendo sua estrutura confirmada baseada em dados espectroscópicos.

<sup>5</sup> J. N. Coxon, M. P. Hartshorn, and W. J. Rae, *Tetrahedron*, 1970, 26, 1091.

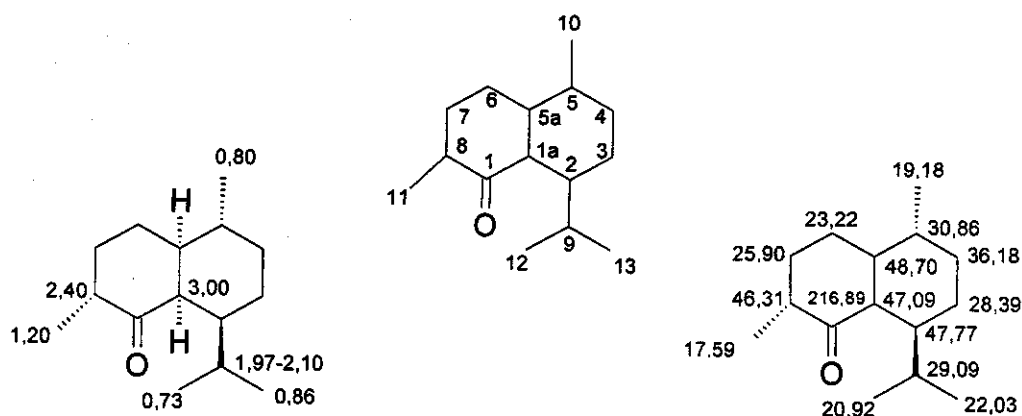


**Esquema 11** Síntese da substância 10

No espectro de massas, verificou-se a presença do íon molecular de *m/z* 222, com elevada intensidade. Os picos com *m/z* 204 e *m/z* 179, podem ser atribuídos a perda de água (18 Daltons) e o grupo isopropila (43 Daltons), respectivamente. O pico de baixa intensidade de *m/z* 207 pode ser atribuído a perda de uma das metilas (15 Daltons) pelo íon molecular.

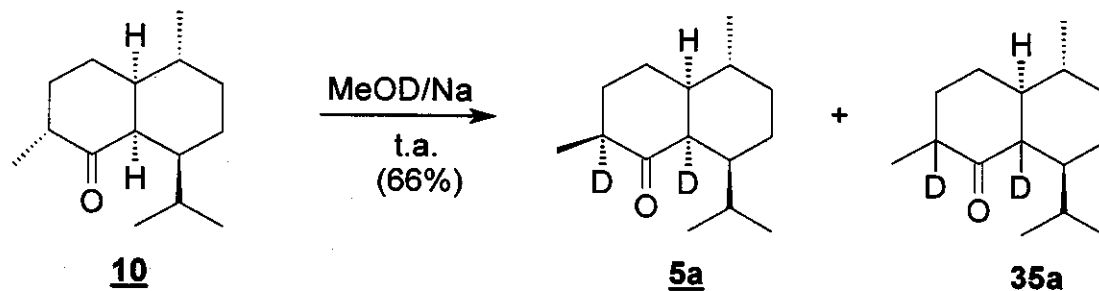
O espectro de RMN de  $^1\text{H}$ , confirma a transferência de hidreto pois, mostra 4 doubletos integrando para 3 hidrogênios cada um. O doubleto em  $\delta$  1,20 com  $J = 7,4$  Hz foi atribuído à metila C-11, sendo a sua esteroquímica relativa determinada através de experimento NOE. Os doubletos em  $\delta$  0,73 e  $J = 6,7$ ,  $\delta$  0,80 e  $J = 6,4$  Hz e  $\delta$  0,86 com  $J = 6,6$  Hz, foram atribuídos aos hidrogênios H-12, H-10 e H-13, respectivamente. Em  $\delta$  1,97-2,10 o sinal do multiplet com integração para 1 hidrogênio foi atribuído ao H-9. Em  $\delta$  2,40, o espectro apresenta um multiplet com integração para 1 hidrogênio, atribuído ao H-8 e em  $\delta$  3,0 um triplete, também com integração relativa para 1 hidrogênio, foi atribuído ao sinal de H-1a.

O espectro de RMN de  $^{13}\text{C}$ , confirma a formação do composto carbonílico pela presença de um sinal de carbono desidrogenado em  $\delta$  216,89, característico de um átomo de carbono carbonílico



**Figura 14** Deslocamentos químicos dos sinais de RMN de  $^1\text{H}$  e RMN de  $^{13}\text{C}$  para a substância 10 e suas atribuições

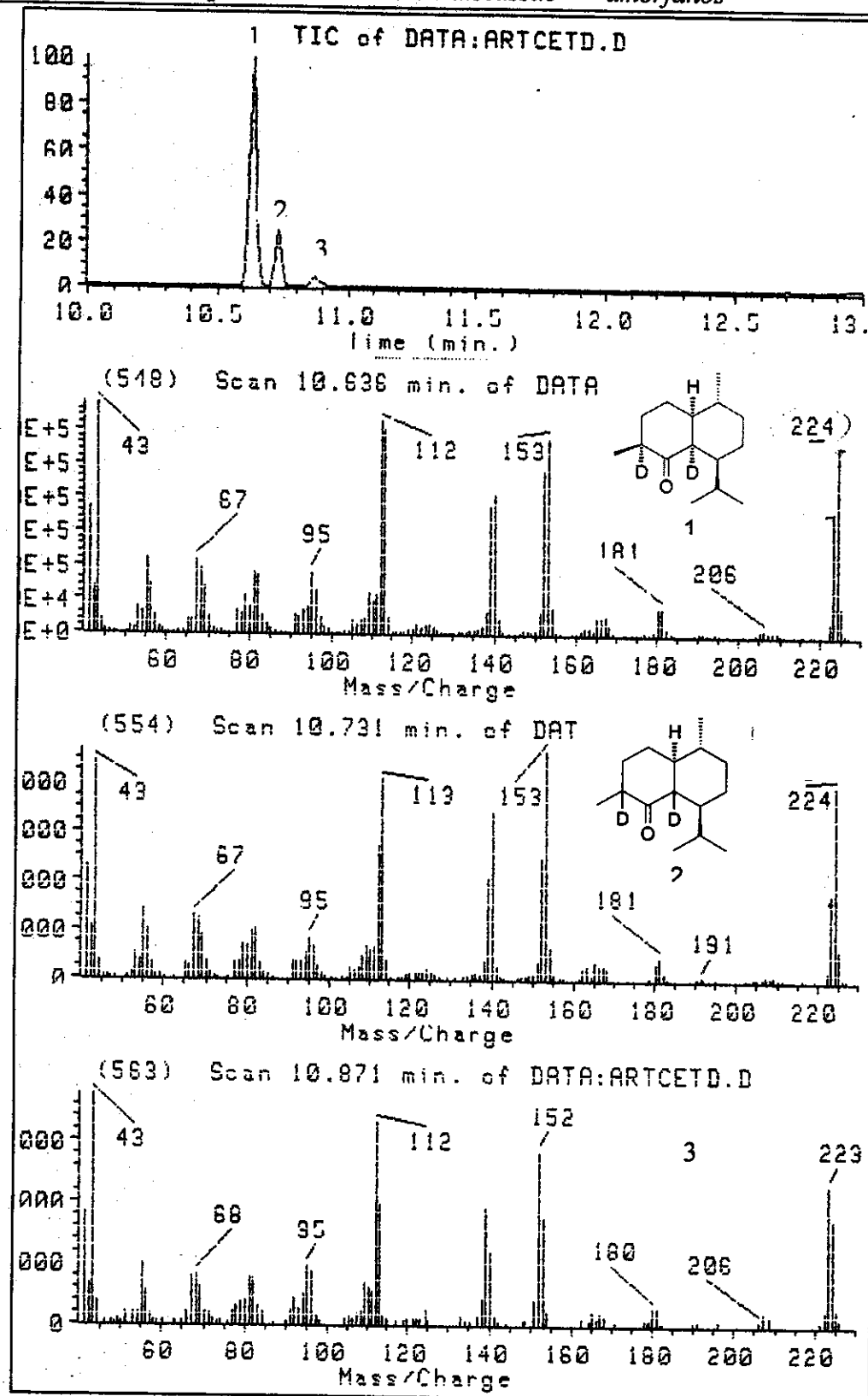
Para a obtenção da cetona isotopicamente marcada com deutério nas posições alfa a carbonila, foi utilizado a enolização da cetona 10 na presença de metanol deuterado ( $\text{MeOD}$ ) e metóxido de sódio (Esquema 12).



**Esquema 12** Obtenção das substâncias 5a e 35a

No decorrer da reação, observou-se através de análise por CG/EM a formação de duas outras substâncias e o desaparecimento total da substância de partida 10. Após 10 dias em agitação, a reação foi filtrada em uma pequena coluna contendo sílica. Obteve-se uma mistura dos diastereoisômeros 5a e 35a na proporção de 80:20, identificados através de CG/EM (Figura 15). Posteriormente, para identificar os diastereoisômeros formados, através de dados espectroscópicos

(RMN de  $^1\text{H}$ , RMN de  $^{13}\text{C}$  e EM), utilizou-se a mesma reação trocando-se o solvente deuterado para não deuterado.

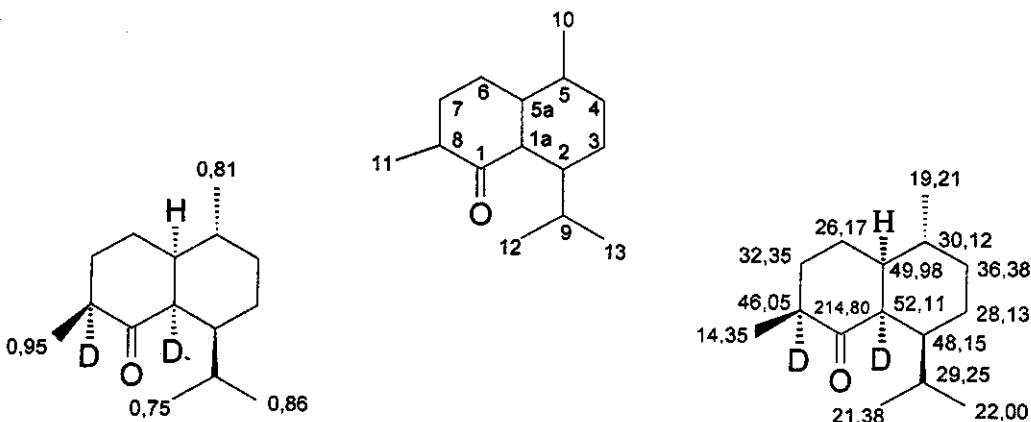


**Figura 15** Cromatograma de íons e espectros de massas (70 eV) das substâncias formadas na reação de deuteração da substância 10

Analizando os espectros de massas das substâncias, mostrados acima (Figura 15), verifica-se que mesmo após 10 dias de reação, a deuteração nas posições alfa a carbonila não foi completa, pois o espectro mostra que existe um elevado índice na razão  $m/z$  entre os íons moleculares 223 e 224, indicando que as duas posições alfa carbonila (C-8 e C-1a) não foram completamente deuteradas.

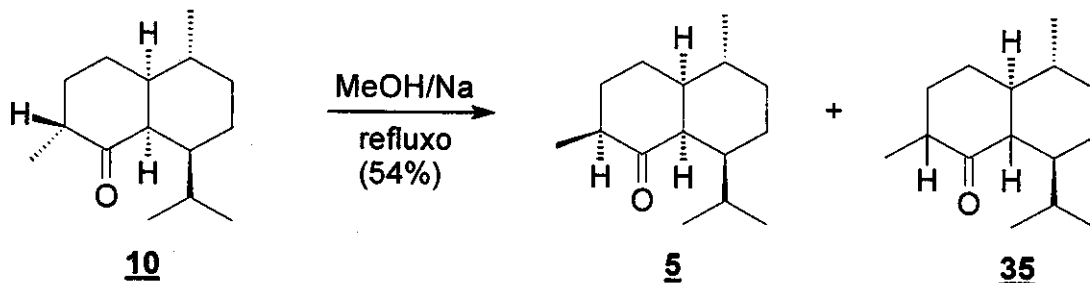
Analizando o espectro de RMN de  $^1\text{H}$ , verificou-se, através das integrações relativas dos sinais do triploto em  $\delta$  2,83 e do multipletto em  $\delta$  2,30-2,40, relativos ao H-1a e ao H-8, respectivamente, que a posição 1a é a que permanece com uma maior proporção de átomos de hidrogênio. Isso pode ter acontecido, devido às condições cinéticas empregadas na reação, pois, há uma maior dificuldade na enolização da posição 1a, causada pelo impedimento espacial do grupo isopropila ligado ao carbono C-2. Observou-se também, a presença de 3 dubletos em  $\delta$  0,75,  $\delta$  0,81, e  $\delta$  0,86, ambos com integração relativa para 3 hidrogênios e  $J = 6,6$  Hz, que foram atribuídos aos H-12, H-10 e H-13, respectivamente. Em  $\delta$  0,95 o espectro mostra um singuleto largo, devido a baixa constante de acoplamento H,D, com integração para 3 hidrogênios, que foi atribuído aos H-11.

O espectro de RMN de  $^{13}\text{C}$ , mostra sinais com baixa intensidade, em relação aos sinais do composto não deuterado, em  $\delta$  46,05 e  $\delta$  52,11, correspondentes a C-8 e C-1a, confirmando a indicação do espectro de massas e de RMN de  $^1\text{H}$ , de que esses sítios não foram completamente deuterados.



**Figura 16** Deslocamentos químicos dos sinais de RMN de  $^1\text{H}$  e RMN de  $^{13}\text{C}$  da cetona 5a e suas atribuições

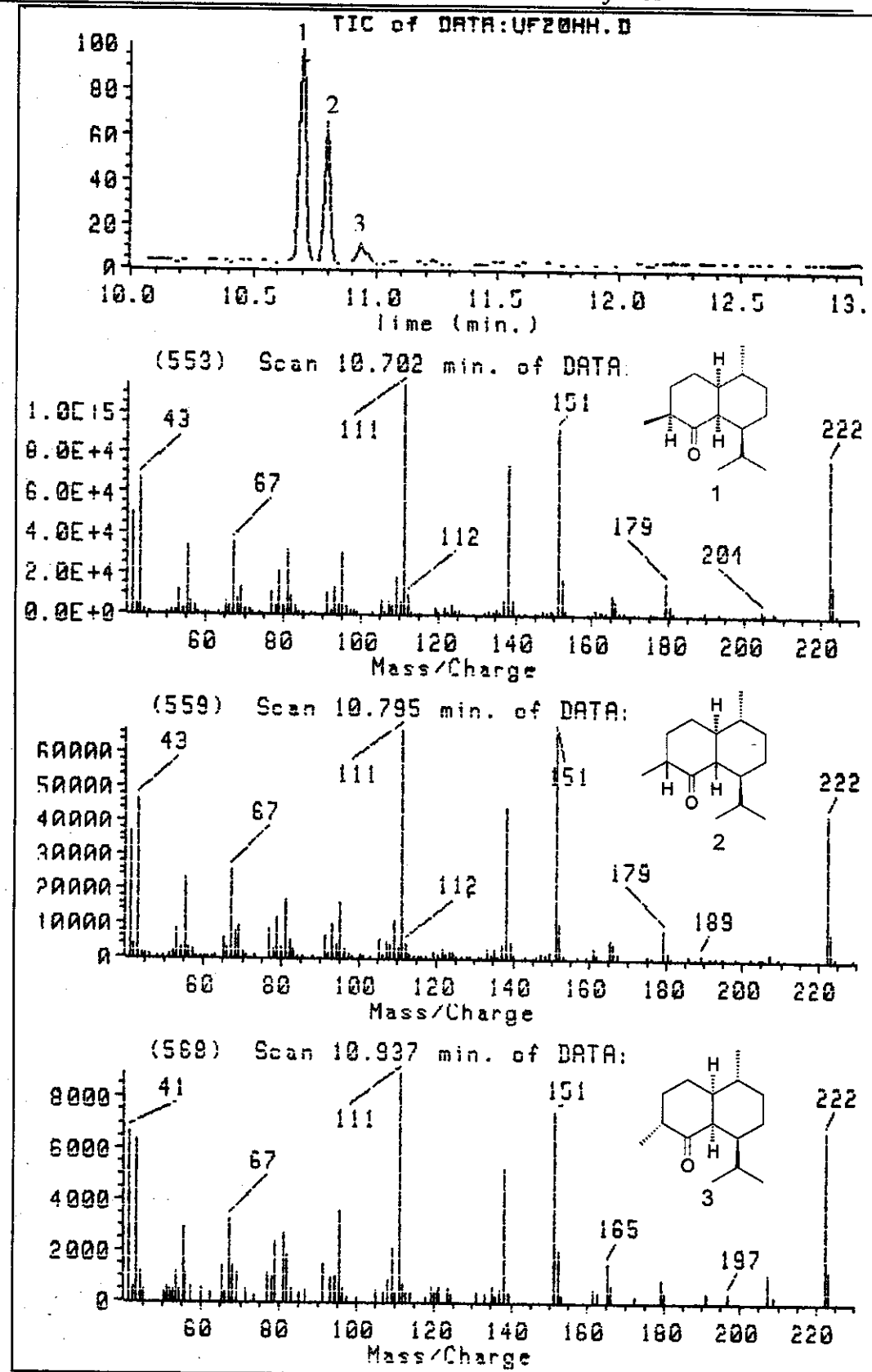
Para a determinação estrutural do novo estereoisômero formado, a cetona 5a, fez-se basicamente o mesmo procedimento de enolização citado anteriormente, trocando-se o solvente de MeOD para MeOH (Esquema 13).



**Esquema 13** Obtenção das substâncias 5 e 35 (60:40)

Nesse procedimento, foi utilizado refluxo e 20 horas de reação. Observa-se pelo cromatograma de íons (CG/EM) (Figura 17) que após esse tempo, restava traços da substância de partida e que os dois diastereoisômeros formados estavam na mistura na proporção de 60:40, sendo a substância com maior tempo de eluição minoritária na reação à temperatura ambiente, fato observado na reação de deuteração.

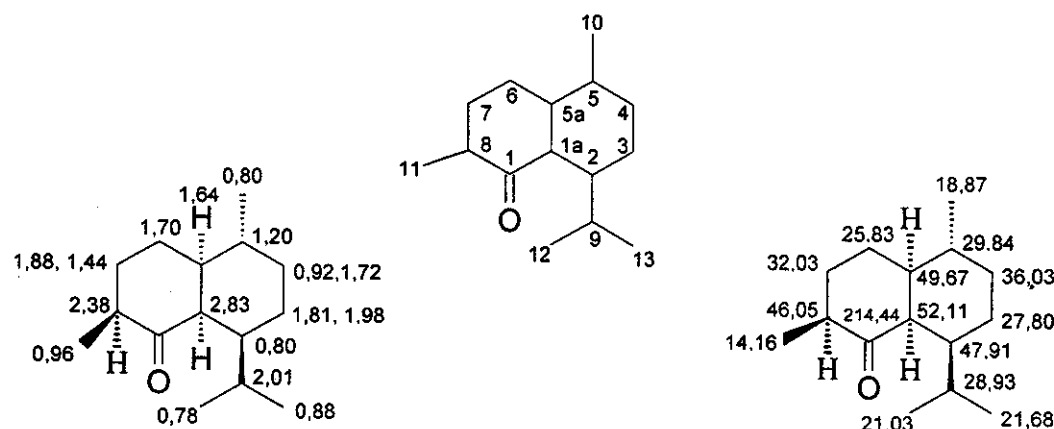
As duas cetonas foram separadas em placa preparativa, utilizando-se hexano/acetato de etila (97,5:2,5) como eluente. Obteve-se a substância de maior  $R_f$  com 93% de pureza (CG/EM) a qual correspondia ao diastereoisômero majoritário na reação de deuteração, mas agora com átomos de hidrogênio no lugar dos átomos de deutério, que foi identificada através de métodos espectroscópicos. Não foi possível a recuperação do diastereoisômero minoritário.



**Figura 17** Cromatograma e espectros de massas (70 eV) das substâncias formadas na enolização da substância 10 com MeO<sup>-</sup>/MeOH

O espectro de RMN de  $^1\text{H}$ , apresenta quatro doubletos ambos com integração relativa a 3 hidrogênios cada um, com deslocamentos químicos em  $\delta$  0,78 e  $J = 6,6$  atribuído aos H-12; em  $\delta$  0,80 e  $J = 6,6$  Hz atribuído aos H-10; em  $\delta$  0,88 e  $J = 6,6$  atribuído aos H-13 e em  $\delta$  0,96 e  $J = 6,6$  atribuído aos H-11. O multiplet em  $\delta$  2,30-2,44, com integração relativa para 1 hidrogênio, foi atribuído a H-8 e o triploto em  $\delta$  2,83, também integrando para um hidrogênio, foi indubitavelmente atribuído a H-1a.

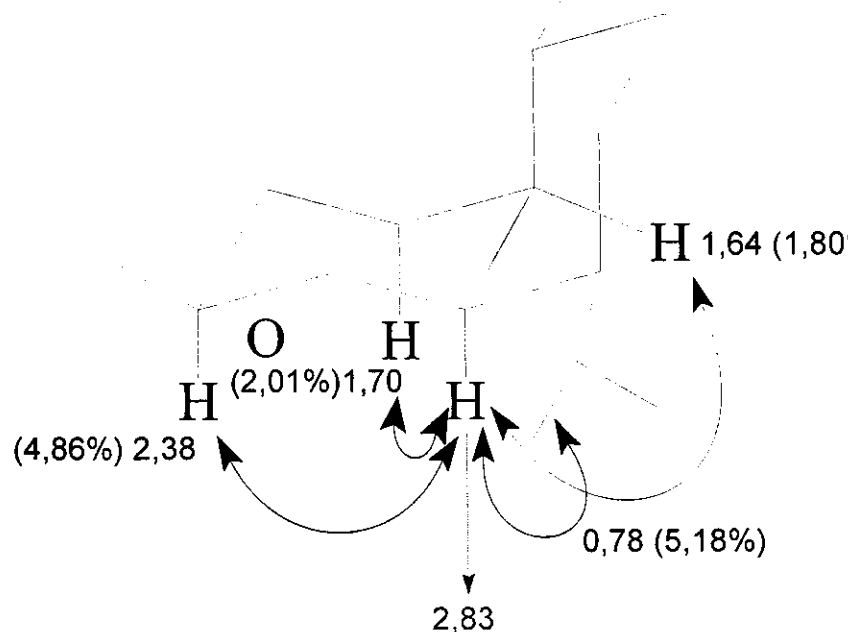
O espectro de RMN de  $^{13}\text{C}$ , apresenta um sinal em  $\delta$  214,44 característico de carbono carbonílico que foi indubitavelmente atribuído a C-1. Quando comparado com a substância de partida 10, a troca da metila que está na posição axial para a posição equatorial, causa uma proteção de 2,45 ppm no carbono carbonílico, e uma desproteção de 5,02 ppm no carbono C-1a e 6,13 ppm no carbono C-7.



**Figura 18** Deslocamentos químicos dos sinais de RMN de  $^1\text{H}$  e RMN de  $^{13}\text{C}$  da cetona 5 e suas atribuições

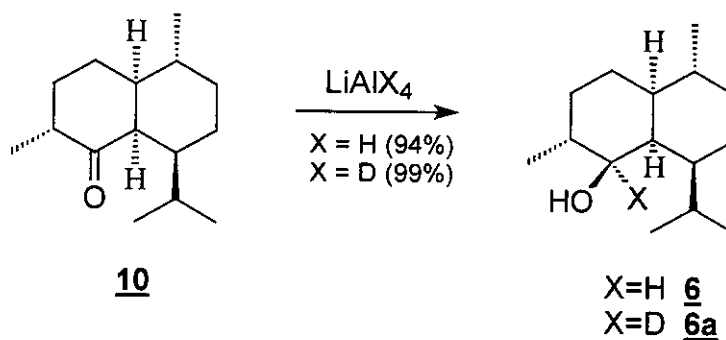
Para confirmação da posição equatorial da metila em C-8 e a continuidade da fusão *cis* do sistema decalínico na estrutura da cetona 5, foi realizado o experimento de diferença de NOE. Irradiou-se o H-1a em  $\delta$  2,83, observando-se um aumento de 1,80% na intensidade do sinal correspondente ao átomo de hidrogênio H-5a ( $\delta$  1,64), 5,18% na intensidade do sinal correspondente aos átomos de hidrogênios da metila C-12 ( $\delta$  0,78), 2,01% na intensidade do sinal em

$\delta$  1,70, correspondente aos átomos de hidrogênios H-6 e um aumento de 4,86% na intensidade do sinal do átomo de hidrogênio correspondente a H-8 ( $\delta$  2,38) (Figura 19).



**Figura 19** Deslocamentos químicos dos átomos hidrogênios e incremento NOE dos sinais após irradiação do H-1a em  $\delta$  2,83

Para a obtenção dos álcoois sesquiterpênicos da classe dos amorfanos, **6** e **6a**, utilizou-se a cetona de Quinghaosu **10** como substância de partida e reações de redução convencionais com agentes redutores como  $\text{LiAlH}_4$  e  $\text{LiAlD}_4$ .



**Esquema 14** Obtenção dos álcoois **6** e **6a**

Após tratamento adequado, o conteúdo reacional foi filtrado sobre celite e seco sobre  $\text{Na}_2\text{SO}_4$  anidro. O cromatograma de íons (CG/EM) do óleo obtido, mostra uma mistura de duas substâncias na proporção de 95:5 que não puderam ser separadas por cromatografia em coluna com sílica. A substância majoritária, foi identificada na mistura através de seus dados espectroscópicos. A posição axial do álcool majoritário **6**, foi atribuída devido a pequena constante de acoplamento entre o hidrogênio equatorial ligado ao carbono carbinólico e os hidrogênios alfa-adjacentes. Se esse átomo de hidrogênio estivesse em uma posição axial, o esperado seria uma constante de acoplamento da ordem de 6-9 Hz, o que não é observado e sim um singuleto alargado em  $\delta$  3,86 com integração relativa para um hidrogênio que foi atribuído a H-1. A formação diastereoseletiva do álcool em axial é esperada devido a dificuldade de aproximação do hidreto pela face  $\beta$  da cetona **10**, causada pelo impedimento espacial. Os três doubletos, em  $\delta$  0,82, 0,89 e 0,93, ambos com  $J = 6,6$  Hz e com integração para três hidrogênios cada um, foram atribuídos aos H-12, H-10 e H-13 respectivamente. O doubleto em  $\delta$  1,00 e  $J = 7,3$  Hz, integrando para 3 hidrogênios, foi atribuído aos H-11.

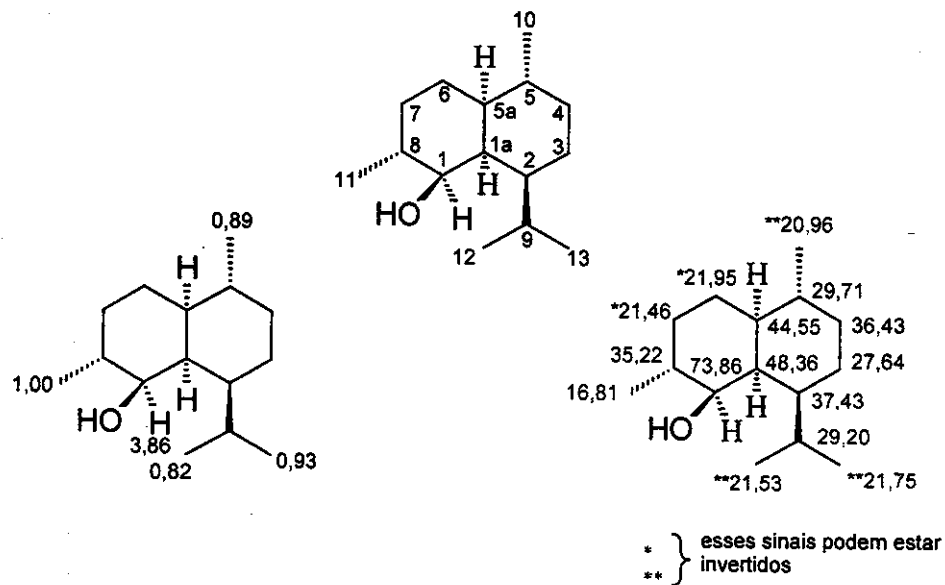
No espectro de RMN de  $^{13}\text{C}$ , o desaparecimento do sinal do carbono carbonílico em  $\delta$  216,89 e o aparecimento de um sinal em  $\delta$  73,86, referente a um carbono metínico e característico de um sinal de carbono carbinólico, evidencia a formação do álcool **6**.

Para o álcool monodeuterado **6a**, a evidência da introdução de um átomo de deutério na estrutura, através da reação de redução com  $\text{LiAlD}_4$ , pode em

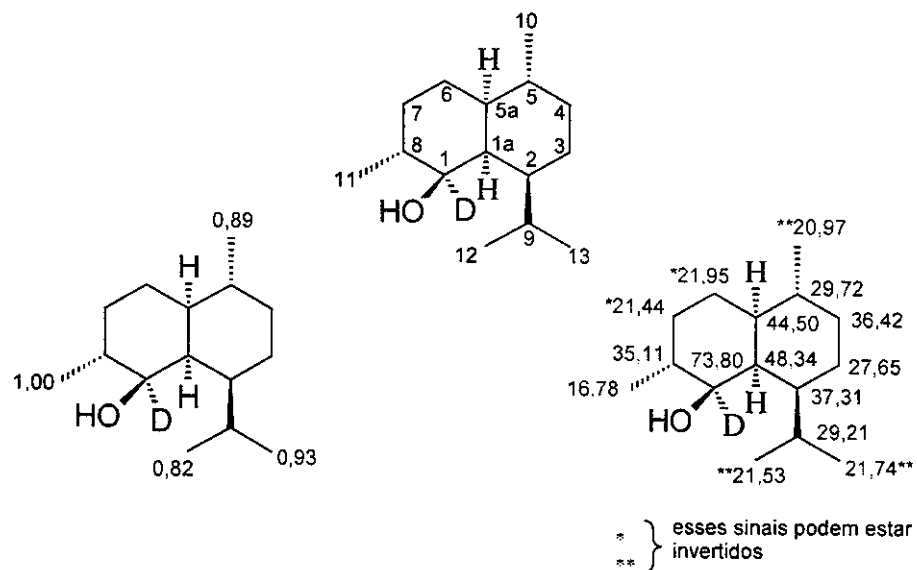
primeiro, ser verificado pela análise do espectro de massas (CG/EM) em comparação com o álcool não deuterado 6. Os picos de  $m/z$  207, característico da perda de água (18 Dalton) e  $m/z$  164, característico da perda de água mais o substituinte isopropila (61 Dalton), apresentam uma unidade de massa atômica a mais do que quando comparado aos fragmentos do álcool não deuterado 6.

No espectro de RMN de  $^1\text{H}$ , observa-se o desaparecimento do singuleto largo em  $\delta$  3,86, evidenciando a introdução do átomo de deutério nesse sítio.

No espectro de RMN de  $^{13}\text{C}$ , observa-se a presença, junto ao ruído, de um tripleto em  $\delta$  73,80, característico do acoplamento C,D, que foi indubitavelmente atribuído ao carbono C-1.



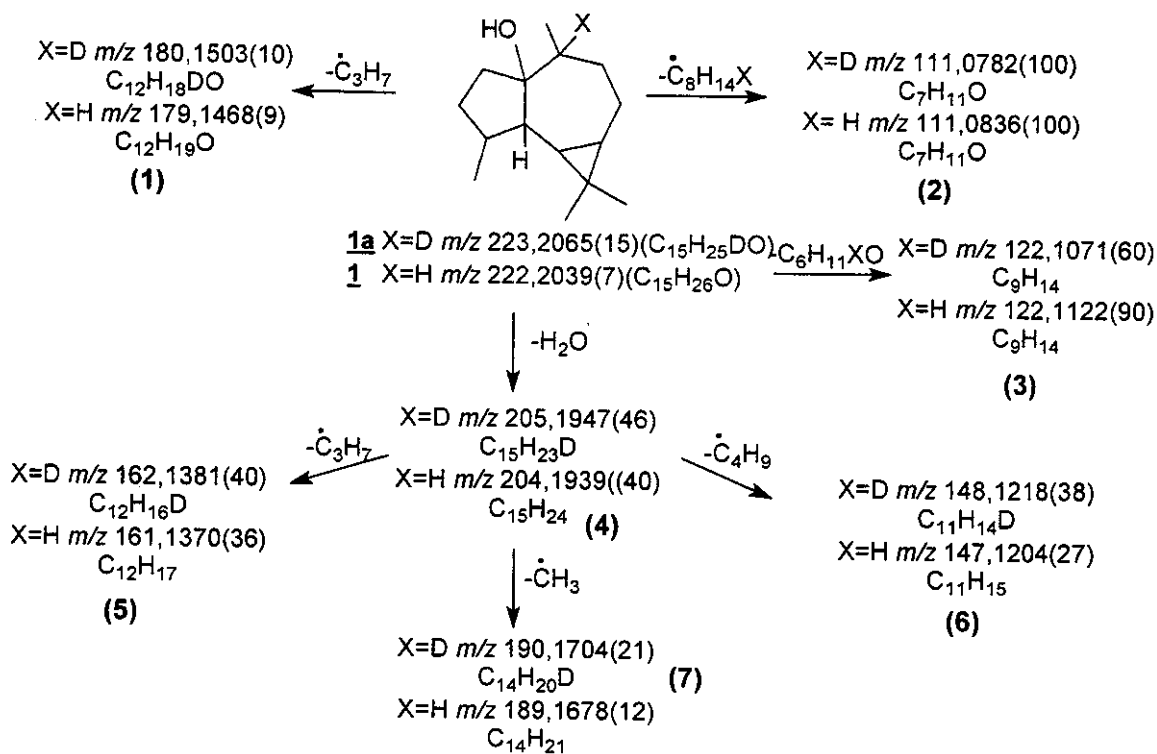
**Figura 20** Deslocamentos químicos dos sinais de RMN de  $^1\text{H}$  e RMN de  $^{13}\text{C}$  do álcool 6 e suas atribuições



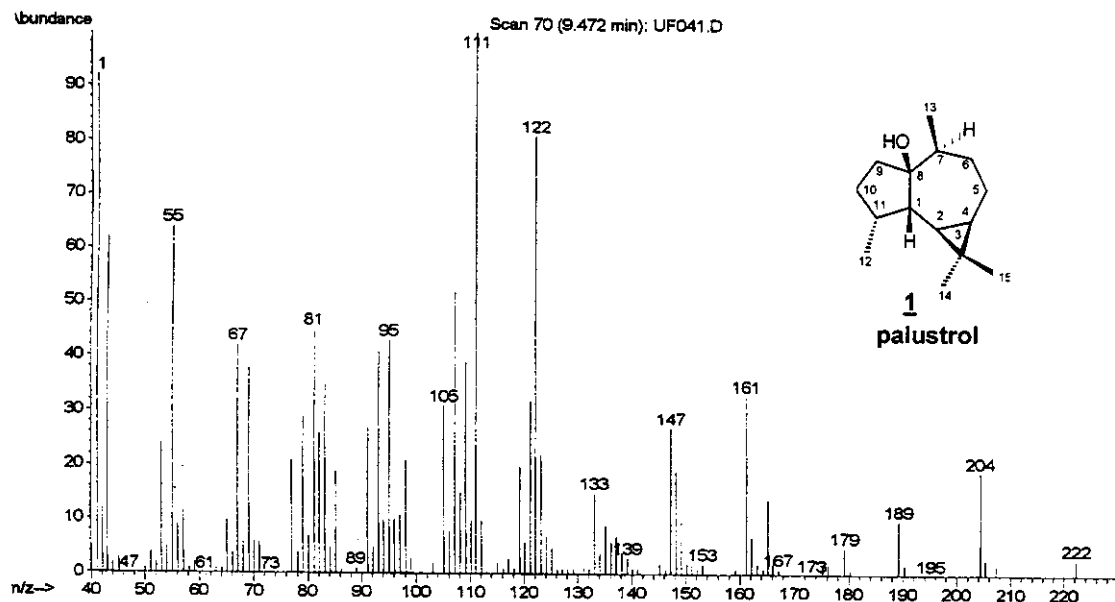
### **3.3.2 PROPOSTA DE SEQUÊNCIA DE FRAGMENTAÇÃO PARA OS SESQUITERPENOS**

A partir dos padrões deuterados e não deuterados devidamente caracterizados iniciou-se o estudo de espectrometria de massas de alta resolução e EM/EM, os quais foram realizados em um equipamento Micromass-Autospec com geometria EBE. A energia dos elétrons foi de 70eV e o potencial de aceleração de 8KV. Para a realização de EM/EM, hélio(He) foi utilizado como gás de colisão. A composição elementar dos compostos e seus fragmentos não deuterados foi determinada com auxílio de tabela (Composition Table) e, para as espécies com deutério, a composição elementar foi atribuída por comparação com as espécies hidrogenadas correspondentes. A discussão das fragmentações será sempre relacionada aos compostos deuterados.

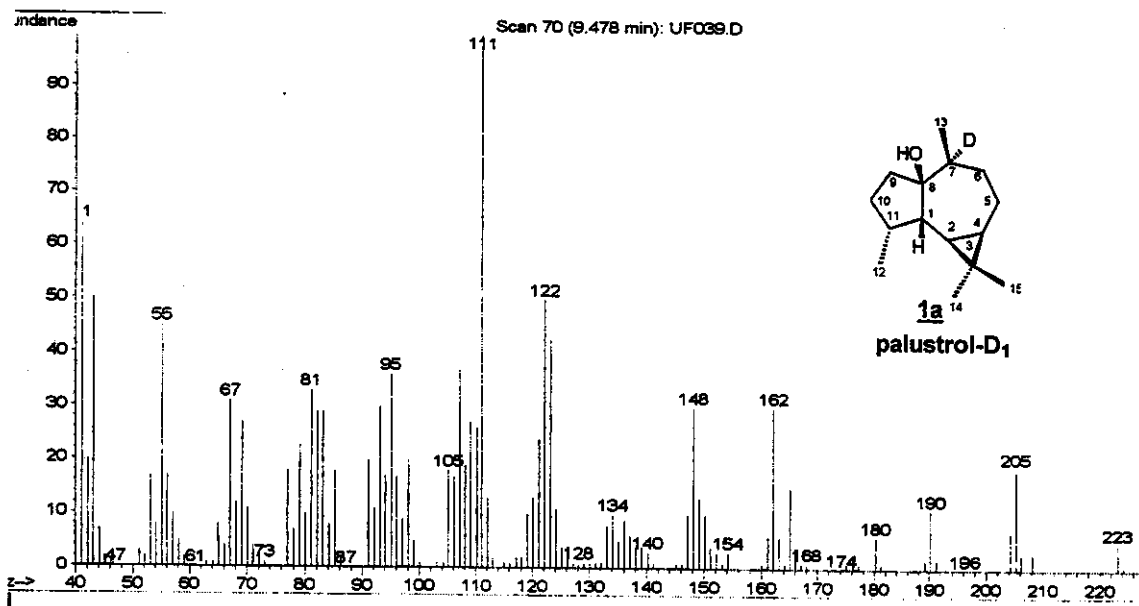
**3.3.2.1 Palustrol** A origem dos principais fragmentos do palustrol 1 e do palustrol duterado 1a está representado no esquema abaixo.



**Esquema 15** Origem dos fragmentos analisados do palustrol **1** e palustrol deuterado **1a**



**Figura 22** Espectro de massas do palustrol **1** (70 eV)

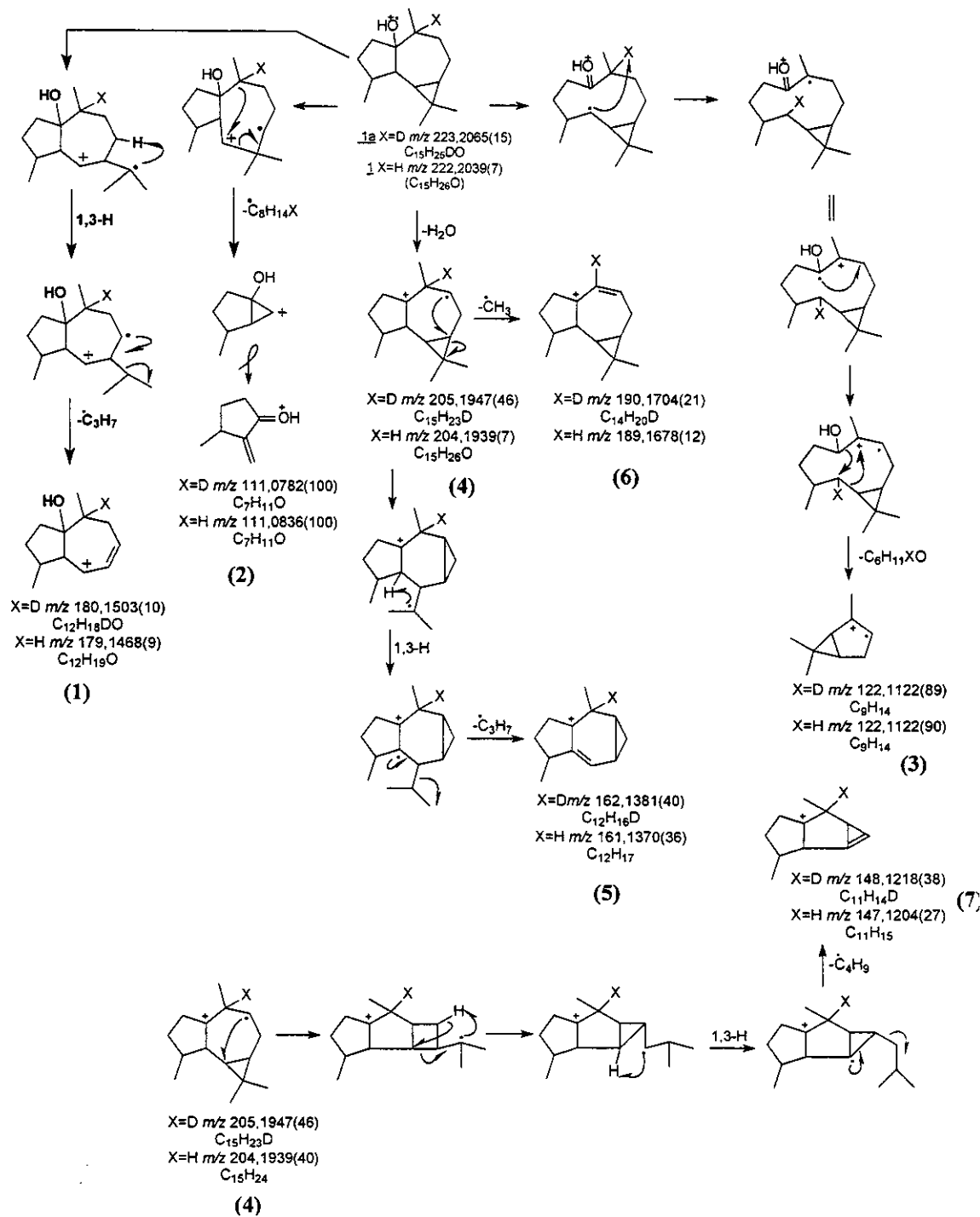


**Figura 23** Espectro de massas do palustrol 1a (70 eV)

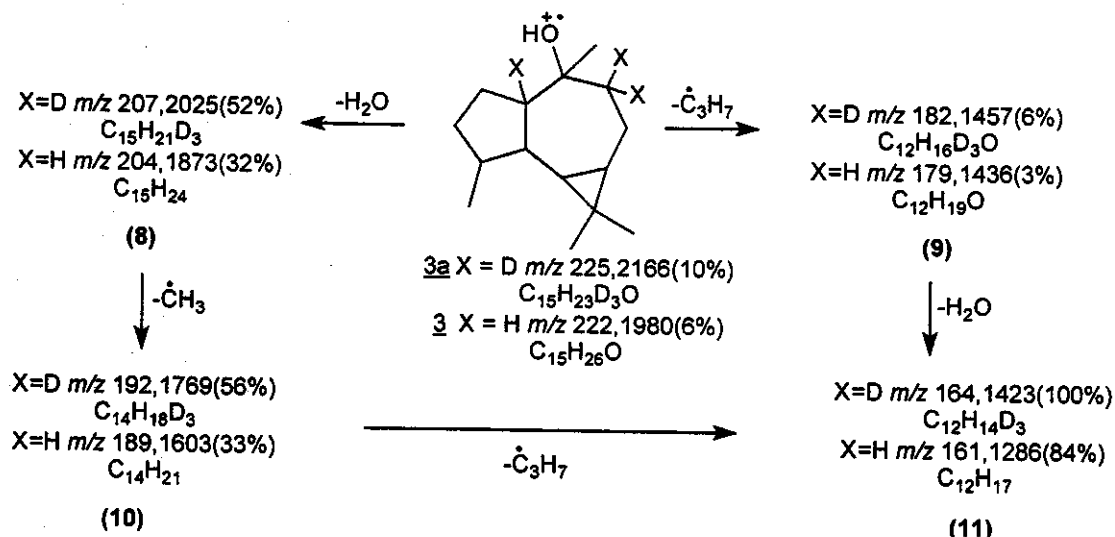
A proposta de fragmentação para o palustrol-D<sub>1</sub> 1a é apresentada no Esquema 16. Esse composto apresenta como pico base o íon *m/z* 111 (2) que não é muito comum, pelo menos com elevada intensidade a outros sesquiterpenos conhecidos. Esse fragmento originado do íon molecular (*m/z* 223) pode ser explicado a partir de uma clivagem do ciclopropano formando um íon distônico com subsequente ruptura da ligação C<sub>7</sub>-C<sub>8</sub> e eliminação de um radical secundário formando o cátion (2) (*m/z* 111). Esse íon pode ter sua estabilidade explicada pela formação de um sistema conjugado. Outros fragmentos iônicos também originados do íon molecular são os de *m/z* 205 (4), 180 (1) e 122 (3). O íon de *m/z* 205 (4) é originado do íon molecular pela eliminação de água do tipo 1,3 ou 1,4 onde o <sup>1</sup>H provém das posições 5 ou 6. A dissociação desse íon nos leva a formação de três novos fragmentos com *m/z* 190 (6), 162 (5) e 148 (7) que serão explicados a seguir. Quando a eliminação de água é do tipo 1,3, o íon de *m/z* 205 (4) forma o íon de *m/z* 190 (6) através de perda de um radical metila e formação do cátion alílico terciário (6). O íon de *m/z* 162 (5) é formado pela ruptura da ligação C<sub>3</sub>-C<sub>4</sub> no anel ciclopropano, com subsequente transferência de hidrogênio

[1,3-H], perda de um radical propila e formação do cátion terciário alílico(5). No caso do fragmento de  $m/z$  148 (7), acontece uma cascata de eventos iniciada pela ruptura do ciclopropano nas ligações C<sub>2</sub>-C<sub>3</sub>, transferência de hidrogênio [1,3-H], formação de um anel de três membros, nova transferência de hidrogênio com eliminação do radical C<sub>4</sub>H<sub>9</sub>.

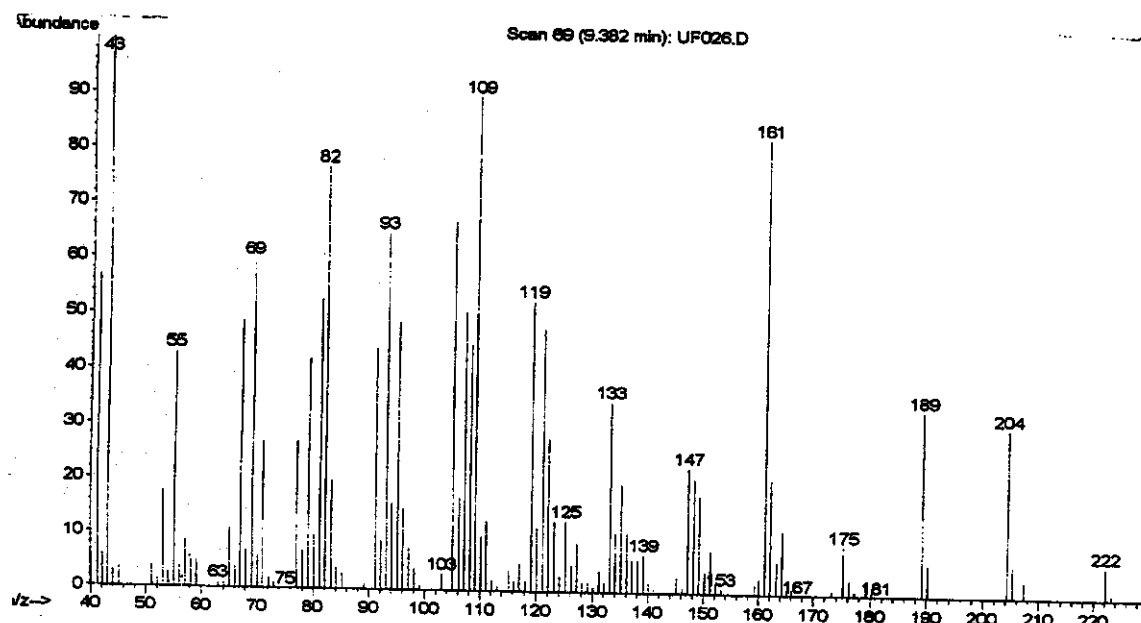
**Esquema 16** Proposta de fragmentação para o palustrol **1** e palustrol monodeuterado **1a**



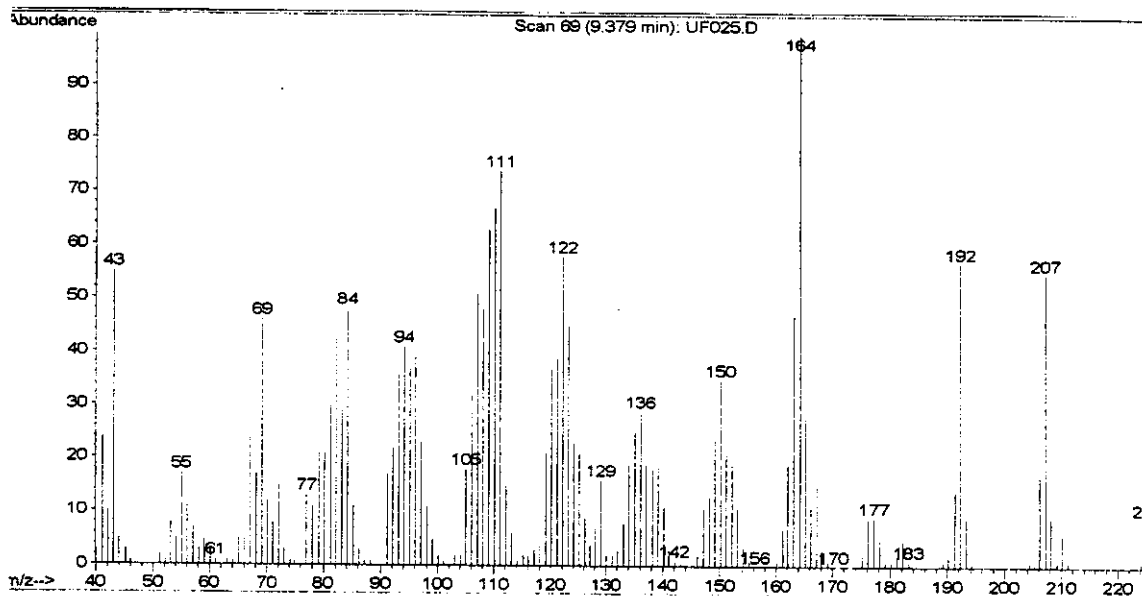
**3.3.2.2 *epi*-GLOBULOL** A origem dos principais fragmentos do *epi*-globulol **3** e *epi*-globulol trideuterado **3a** é mostrada no esquema abaixo.



**Esquema 17** Origem dos fragmentos analisados do *epi*-globulol **3** e *epi*-globulol trideuterado **3a**



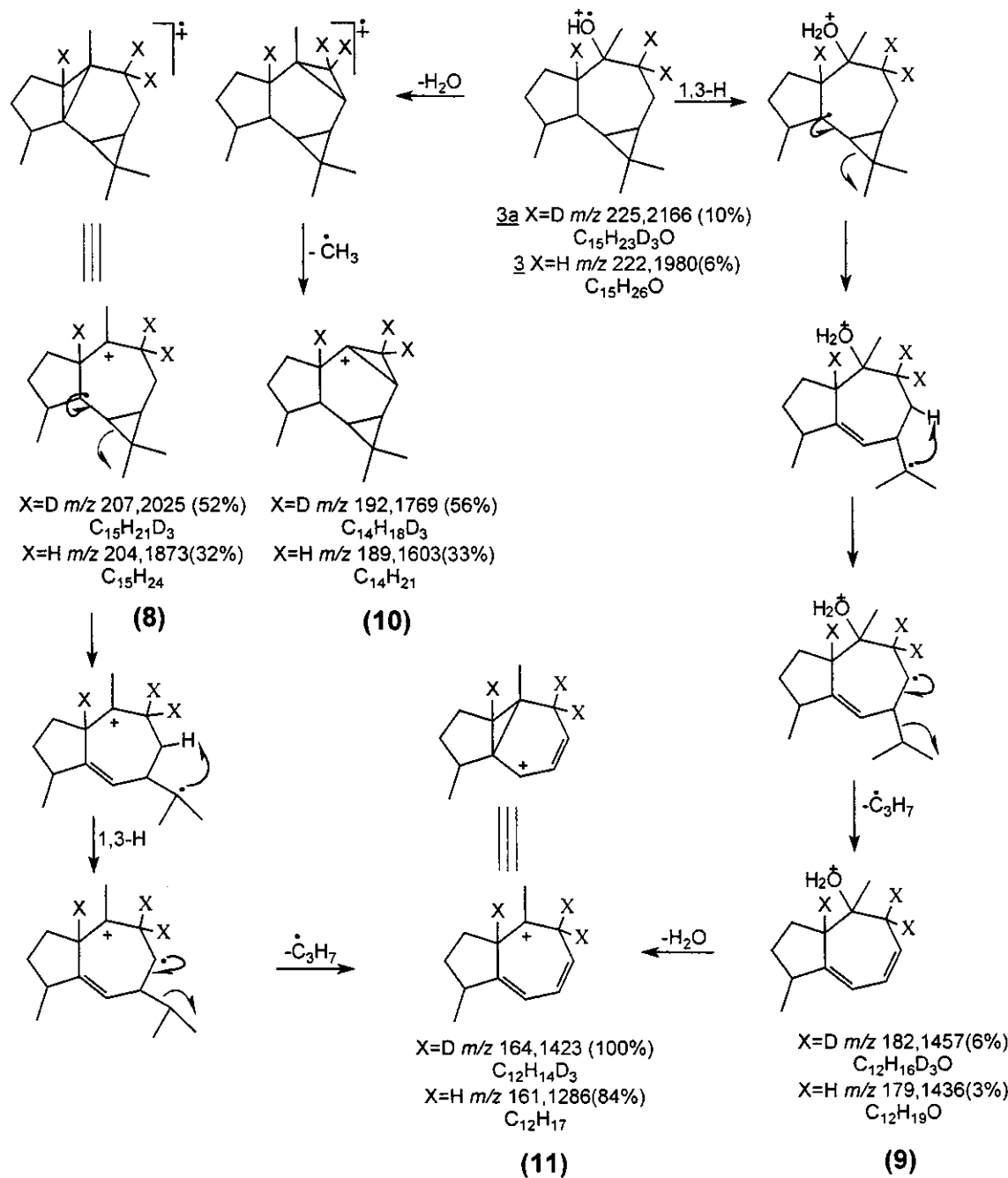
**Figura 24** Espectro de massas do *epi*-globulol **3** (70eV)



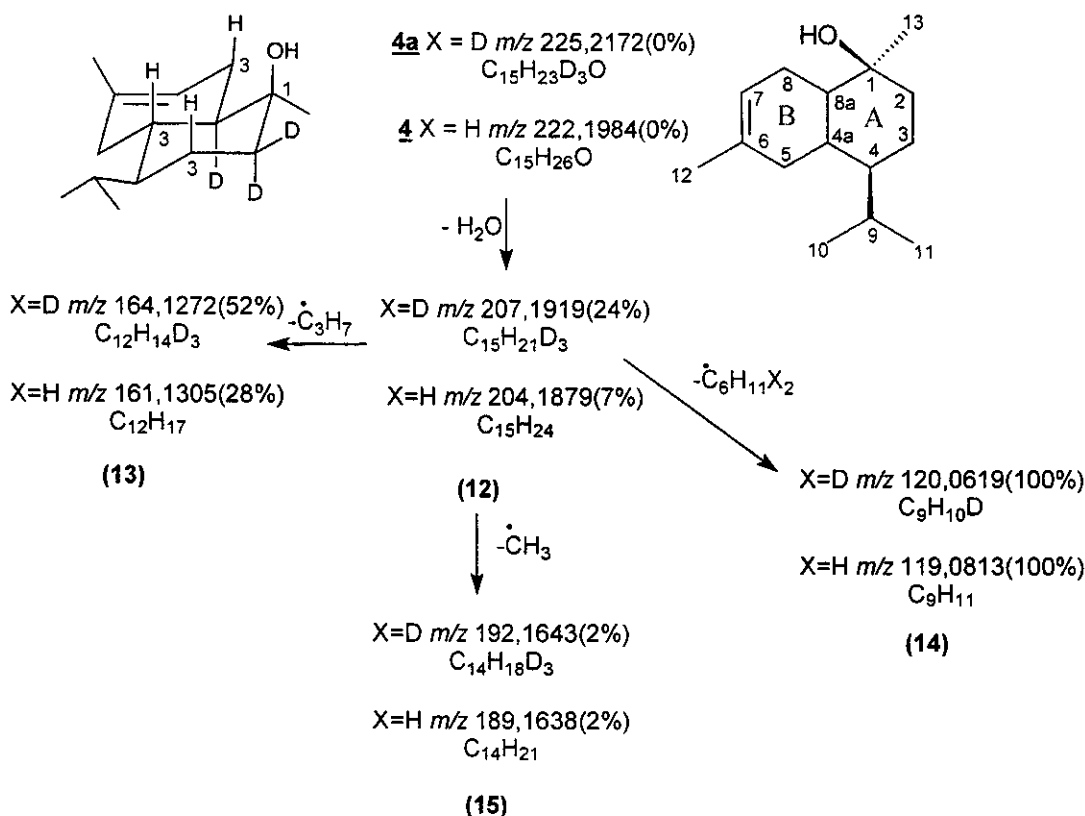
**Figura 25** Espectro de massas do *epi*-globulol-D<sub>3</sub> 3a (70 eV)

Esse álcool foi isotopicamente marcado com um e com três átomos de deutério nas posições alfa ao carbono carbinólico proporcionando uma maior coerência na proposta de fragmentação. A fragmentação será discutida com base no composto trideuterado 3a. O íon molecular de 3a ( $m/z$  225) perde uma molécula de água onde o  $^1\text{H}$  é proveniente das posições 1 ou 5. Utilizando-se o hidrogênio da posição 1 forma-se o cátion radicalar de  $m/z$  207 (8) contendo 3 átomos de deutério. Nesse íon ocorre a abertura do ciclopropano através do rompimento da ligação C<sub>2</sub>-C<sub>3</sub>. A subsequente transferência de hidrogênio [1,3-H] e eliminação do radical isopropila forma o íon de  $m/z$  164 (11). O íon de  $m/z$  182 (9) provém do íon molecular ( $m/z$  225) pela eliminação de um radical isopropila formando o sistema conjugado (9).

**Esquema 18** Proposta de fragmentação para o *epi*-globulol **3** e *epi*-globulol trideuterado **3a**



**3.3.2.3 CADINOL AXIAL** A origem dos principais fragmentos do cadinol axial **4** e do cadinol axial trideuterado **4a** é mostrada no esquema abaixo.



**Esquema 19** Origem dos fragmentos analisados do cadinol axial **4** e cadinol axial trideuterado **4a**

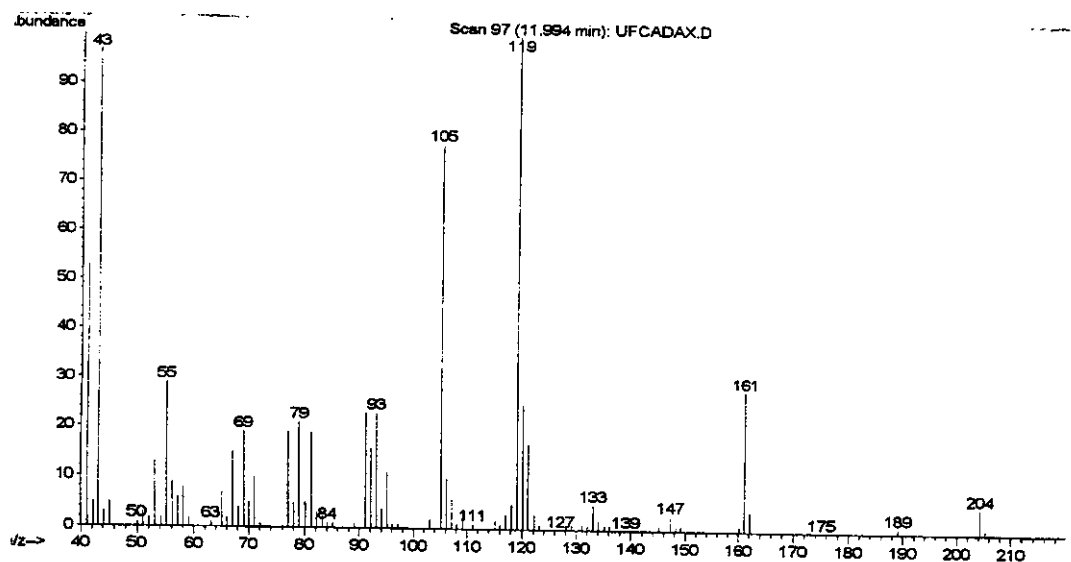


Figura 26 Espectro de massas do cadinol axial 4 (70 eV)

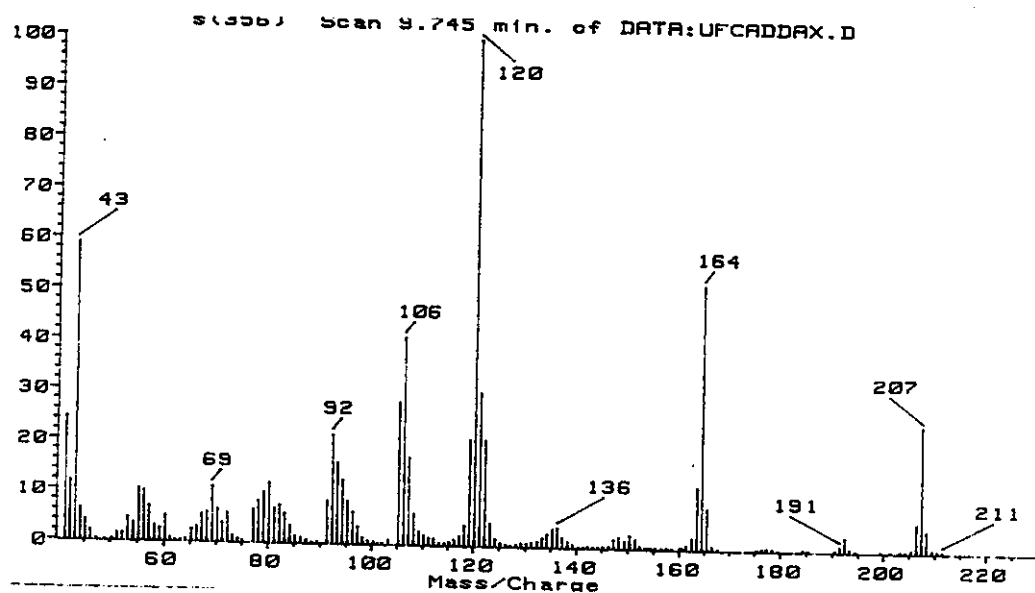
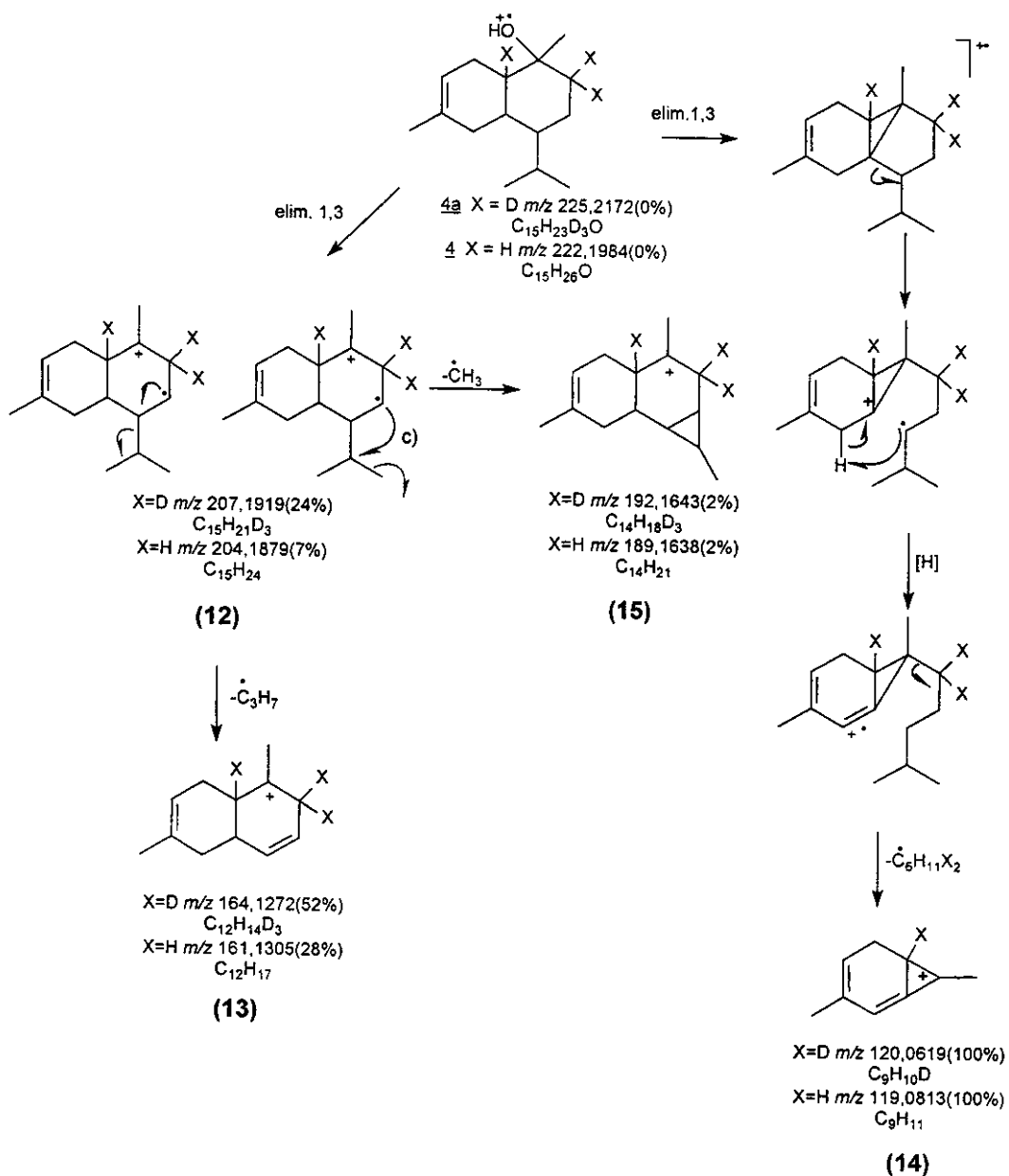


Figura 27 Espectro de massas do cadinol axial 4a (70 eV)

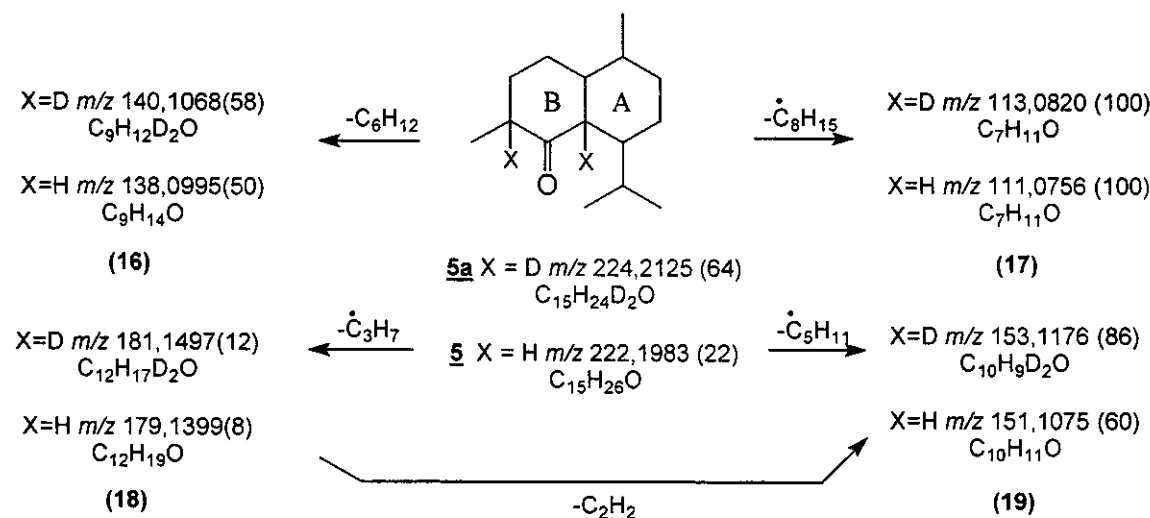
O cadinol axial trideuterado 4a apresenta como pico base o fragmento de  $m/z$  120 (14) que tem sua origem no íon de  $m/z$  207 (12). Seu mecanismo

de formação pode ser atribuído a eliminação do tipo 1,3 de uma molécula onde o hidrogênio provém da posição 4a. A quebra da ligação C4a-C6 forma um íon distônico intermediário o qual sofre eliminação do radical  $\cdot\text{C}_6\text{H}_{11}\text{D}_2$ , após um rearranjo de hidrogênio, formando o cátion de  $m/z$  120 (**14**), altamente estabilizado por conjugação. Pela eliminação 1,3 de água, utilizando-se o hidrogênio da posição C3, forma-se o fragmento de  $m/z$  207 (**12**) o qual sofre perda de um radical metila formando o cátion terciário de  $m/z$  192 (**15**) alternativamente a eliminação do radical isopropila  $\text{C}_3\text{H}_7$ , formando o íon de  $m/z$  164 (**13**).

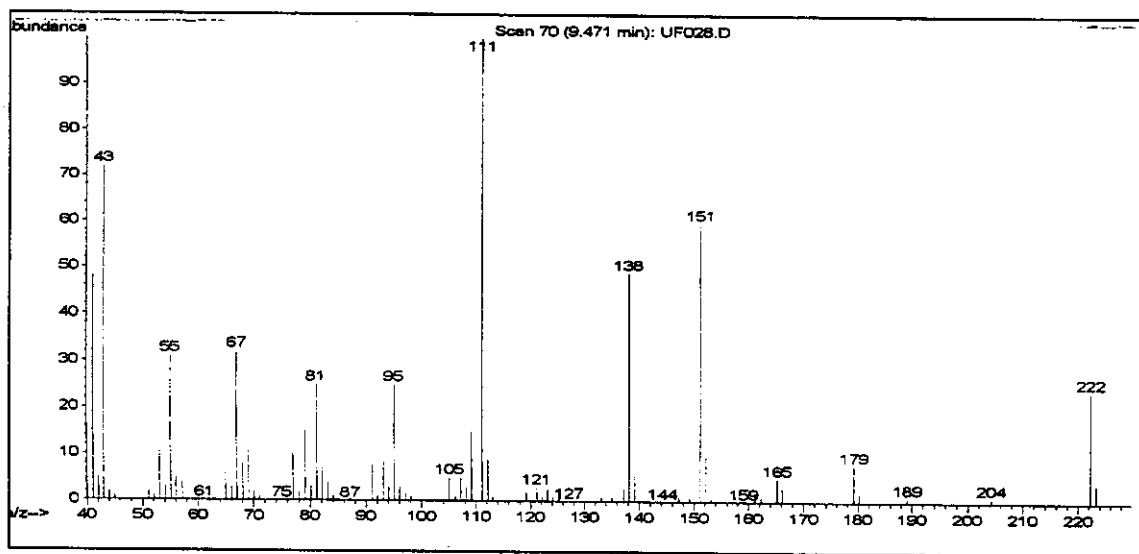
**Esquema 20** Proposta de fragmentação para o cadinol axial **4** e cadinol axial trideuterado **4a**



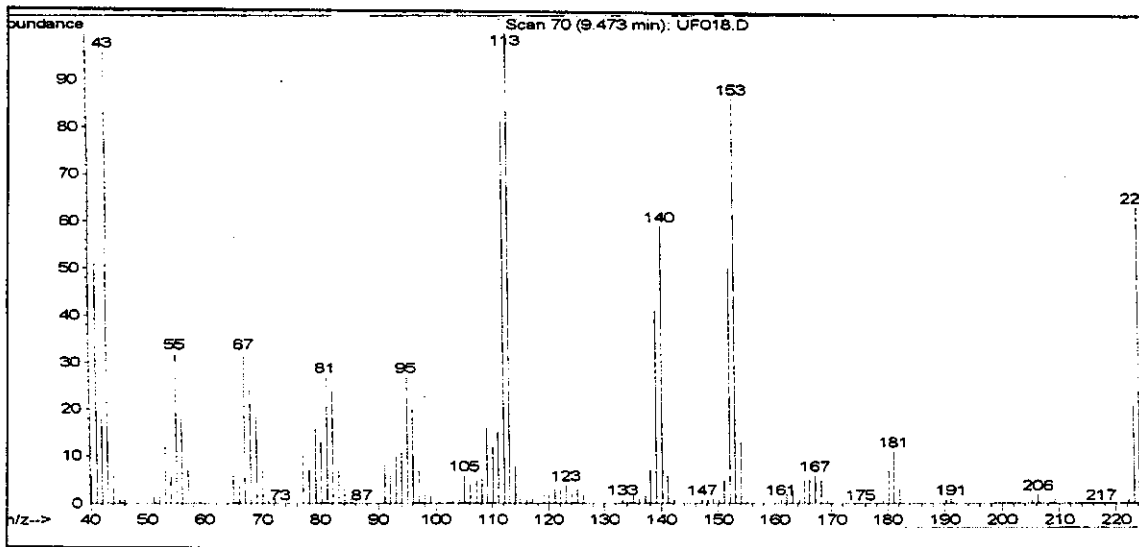
**3.3.2.4 (8S)-CETONA DE QUINGHAOSU** A origem dos principais fragmentos da (8S)-cetona de Quinghaosu **5** e da (8S)-cetona de Quinghaosu dideuterada **5a** é mostrada no esquema abaixo.



**Esquema 21** Origem dos fragmentos analisados da (8S)-cetona de Quinghaosu **5** e (8S)-cetona de Quinghaosu dideuterada **5a**



**Figura 28** Espectro de massas (70 eV) do composto 5

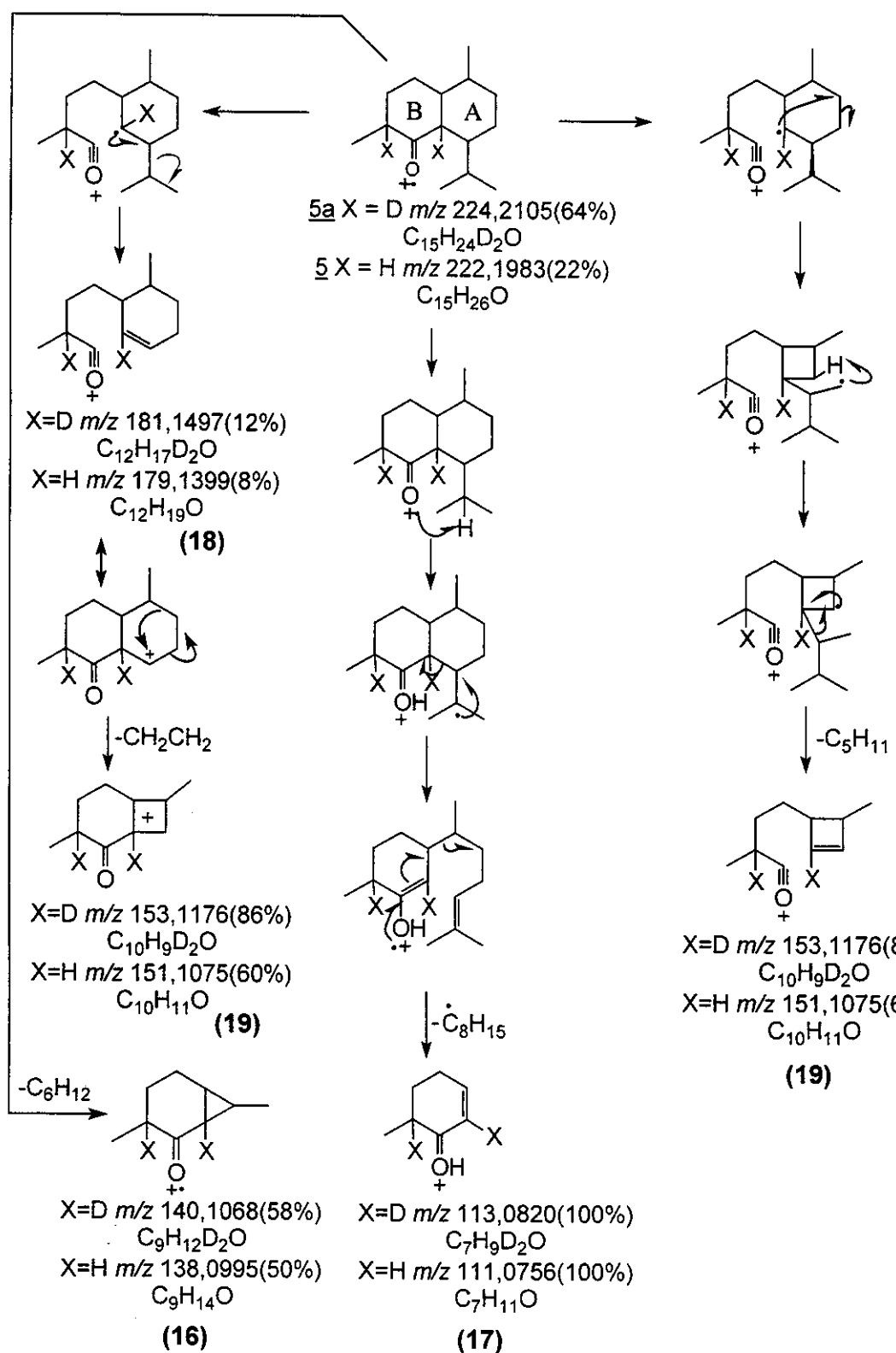


**Figura 29** Espectro de massas (70 eV) do composto 5a

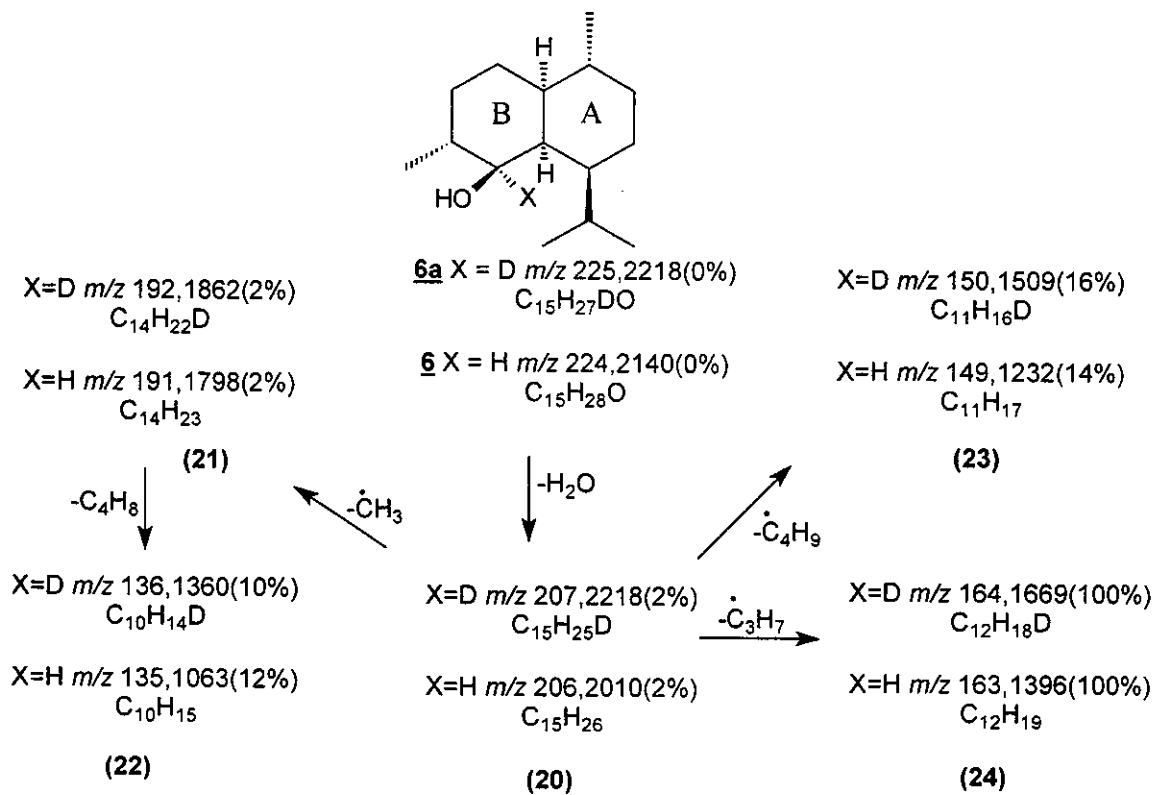
No composto dideuterado 5a quatro dos fragmentos analisados são provenientes do íon molecular de *m/z* 224. O fragmento de *m/z* 181(18) é originado pela clivagem  $\alpha$  à carbonila C<sub>1</sub>-C<sub>1a</sub> com subsequente formação da dupla ligação endocíclica (C<sub>1a</sub>-C<sub>2</sub>) seguida de eliminação do radical isopropila. Por outro

lado, seguindo ainda o mecanismo da clivagem  $\alpha$  C<sub>1</sub>-C<sub>1a</sub> mas agora com formação de um ciclobutano entre as ligações C<sub>4</sub>-C<sub>5</sub>, podemos propor uma transferência de hidrogênio[1,4-H] e posteriormente a formação de uma dupla ligação endocíclica com a eliminação concomitante do radical 3-metilbutila formando então o fragmento de *m/z* 153 (**19**). O fragmento de *m/z* 140 (**16**) também é resultante do íon molecular (*m/z* 224) pela perda de C<sub>6</sub>H<sub>12</sub>. A formação do íon de *m/z* 113 (**17**) é explicado por um rearranjo do tipo McLafferty onde ocorre a migração do hidrogênio metínico do grupo isopropila, com subsequente quebra da ligação C<sub>1a</sub>-C<sub>2</sub> e eliminação do radical C<sub>8</sub>H<sub>15</sub> formando o íon de *m/z* 113. Sugere-se que a força motriz desse caminho de fragmentação seja a estabilidade do íon formado. A formação do íon de *m/z* 153 (**19**) também pode ocorrer pela eliminação de uma molécula neutra de etileno (CH<sub>2</sub>CH<sub>2</sub>) do fragmento de *m/z* 181 (**18**).

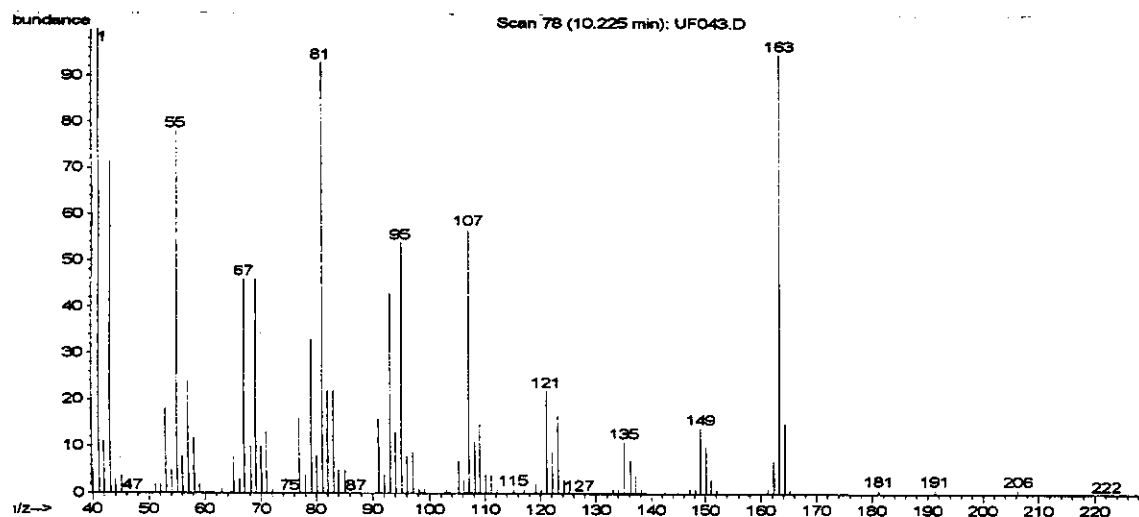
**Esquema 22** Proposta de fragmentação para (8S)-cetona de Quinghaosu **5** e (8S)-cetona de Quinghaosu dideuterada **5a**



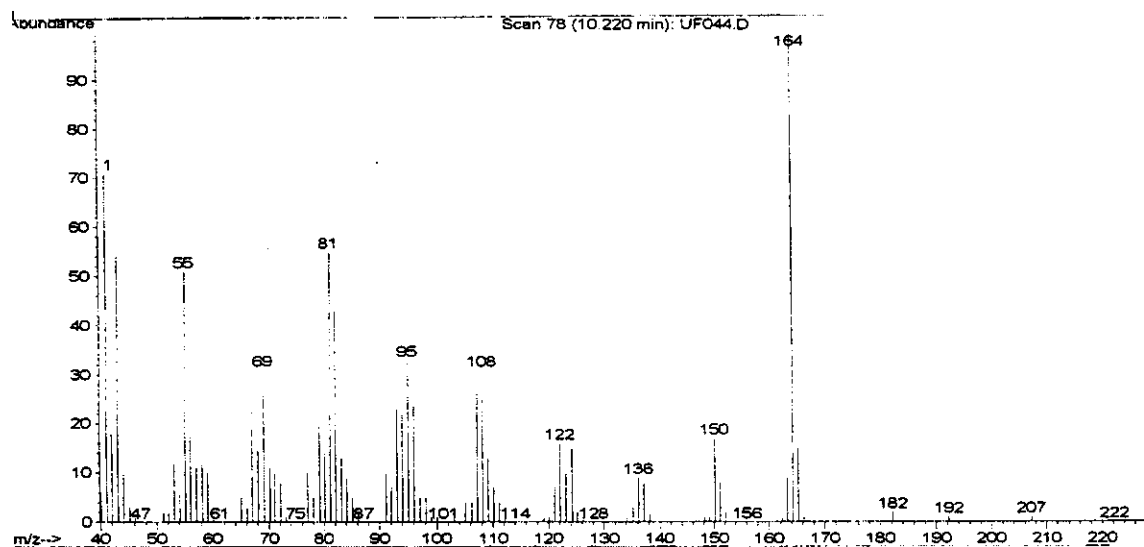
**3.3.2.5 ÁLCOOL DE QUINGHAOSU** A origem dos principais fragmentos do álcool de Quinghaosu **6** e álcool de Quinghaosu monodeuterado **6a** é mostrada no esquema abaixo.



**Esquema 23** Origem dos fragmentos analisados do álcool de Quinghaosu **6** e álcool de Quinghaosu monodeuterado **6a**



**Figura 30** Espectro de massas do álcool de Quinghaosu 6 (70 eV)

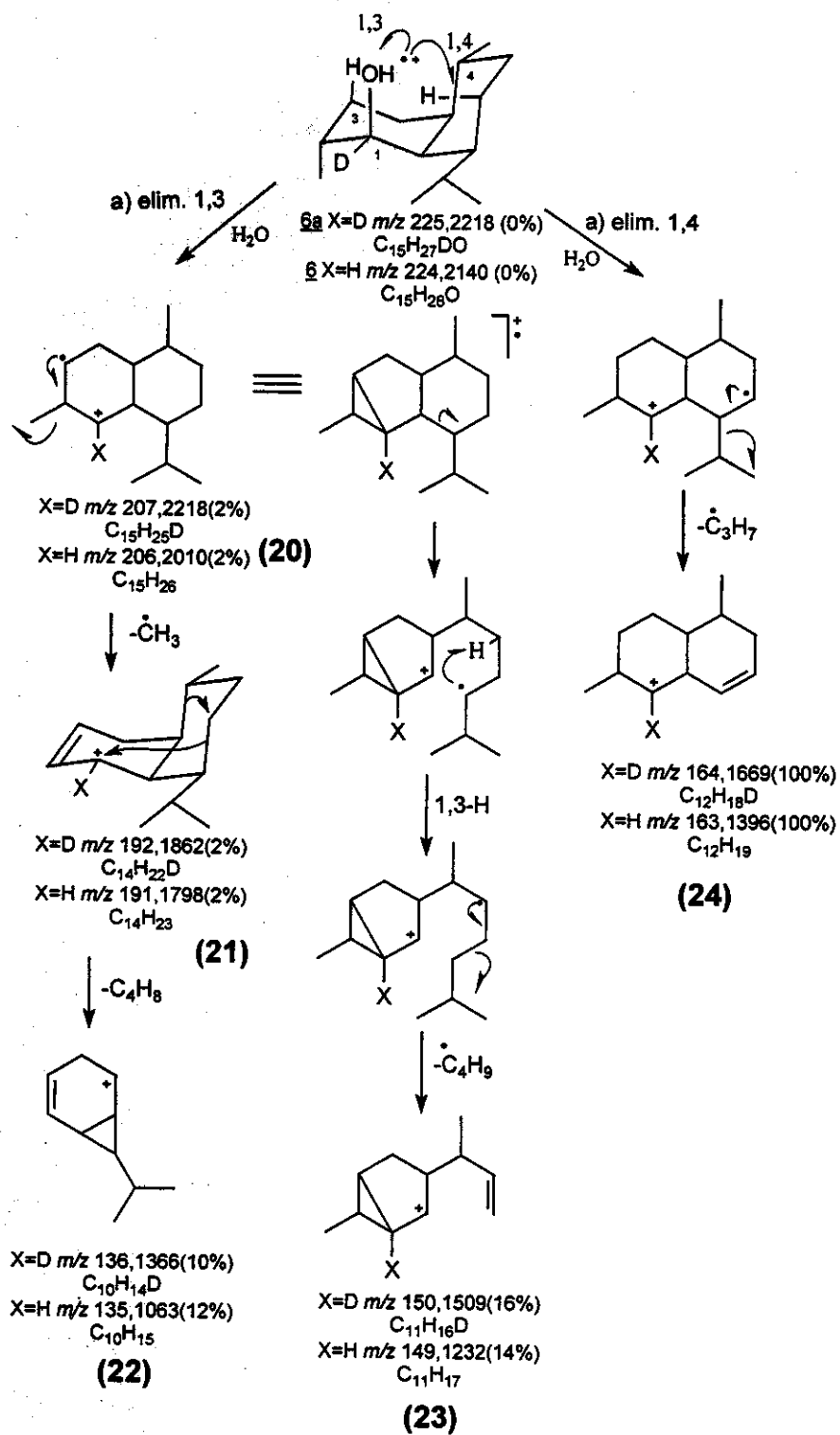


**Figura 31** Espectro de massas do álcool de Quinghaosu 6a (70 eV)

O álcool de Quinghaosu monodeuterado 6a apresenta como pico base o íon de  $m/z$  164 (24). Sua formação pode ser explicada através da eliminação sequencial de uma molécula de água (do tipo 1,4) com a participação de  $\text{H}_3$ , e do radical isopropila ( $\text{C}_3\text{H}_7$ ).

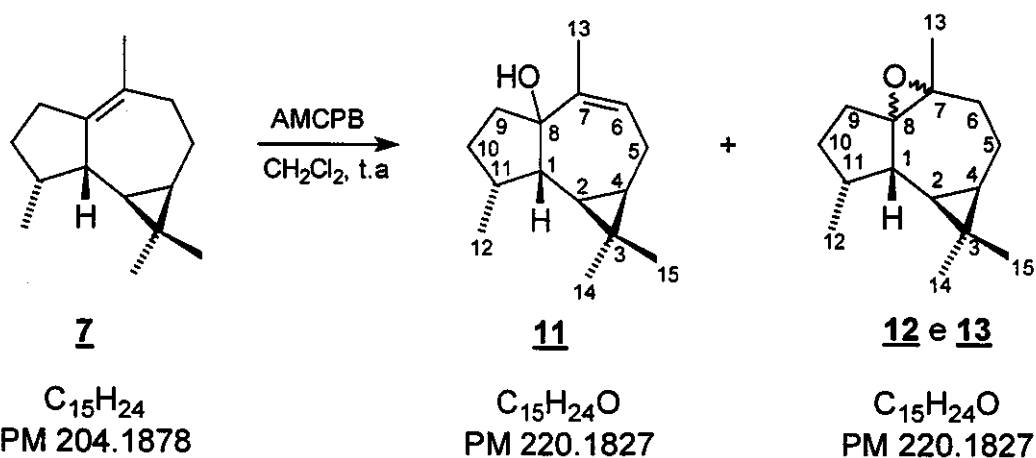
O íon de  $m/z$  207 (**20**) é oriundo do íon molecular através de eliminação do tipo 1,3 de uma molécula de água com participação de H-7. Esse fragmento através de perda de um radical metila forma o cátion de  $m/z$  192 (**21**). Quando no fragmento de  $m/z$  207 (**20**) ocorre a quebra da ligação C<sub>1a</sub>-C<sub>2</sub> seguida por uma transferência de hidrogênio [1,3-H] ocorre a eliminação do radical 2-metilpropil com formação da espécie catiônica de  $m/z$  150 (**23**). O fragmento de  $m/z$  192 (**21**) perde a espécie neutra C<sub>4</sub>H<sub>8</sub> formando o cátion de  $m/z$  136 (**22**).

**Esquema 24** Proposta de fragmentação para o álcool de Quinghaosu **6** e o álcool de Quinghaosu monodeuterado **6a**



4 SÍNTESSES

#### **4.1 Obtenção do álcool alílico 11 e epóxidos 12 e 13**



Uma mistura de (+)-ledeno 7 (240,0 mg, 1,17 mmol) e NaHCO<sub>3</sub> (147,0 mg, 1,76 mmol) em CH<sub>2</sub>Cl<sub>2</sub>, foi mantida sob agitação, a temperatura ambiente, durante 5 minutos e então AMCPB (57-86%; foi considerado 60%) (336,0 mg, 1,17 mmol) foi lentamente adicionado. Após 1h em agitação, adicionou-se uma solução aquosa de Na<sub>2</sub>SO<sub>3</sub> (10%). A fase orgânica foi separada e lavada com uma solução de NaHCO<sub>3</sub> (10%), solução aquosa saturada de NaCl, água e foi seca sobre Na<sub>2</sub>SO<sub>4</sub> anidro. O solvente foi evaporado em evaporador rotativo, obtendo-se 278,90 mg de um óleo amarelo que foi cromatografado em coluna com sílica-gel (230-400 mesh, 13,0 x 1,2 cm), empacotada com hexano e eluída com hexano/acetato de etila (98:2). Obteve-se os epóxidos 12 e 13 como uma mistura de isômeros, na proporção de 2:1(RMN de <sup>1</sup>H) (169,84 mg, 0,772 mmol, 66%) e o álcool alílico 11 (69,50 mg, 0,313 mmol, 27%).

#### **Epóxidos 12 e 13 (dados para o composto majoritário na mistura)**

$R_f = 0,41$  ( valor para os dois epóxidos em hexano/acetato de etila, 80:20)

**EM (70 eV), m/z (% na mistura):** íon molecular 220 (5), 205 (40), 187 (10), 177 (43), 149 (22), 107 (55), 43 (100).

**RMN de  $^1\text{H}$  (300 MHz,  $\text{CDCl}_3/\text{TMS}$ )**  $\delta$ : 0,96 (s, 3H, H-14 ou 15)), 0,98 (s, 3H, H-15 ou H-12), 1,01 (d, 3H, H-12,  $J = 8,0$  Hz), 1,25 (s, 3H, H-13), 2,22-2,38 (m, 1H, H-11).

**RMN de  $^{13}\text{C}$  (75,5 MHz,  $\text{CDCl}_3/\text{TMS}$ )**  $\delta$ : 15,02 ( $\text{CH}_3$ , C-12 ou C-15), 15,15 ( $\text{CH}_3$ , C-15 ou C-12), 19,13 ( $\text{CH}_2$ , C-5), 17,77 ou 19,18 (C 4°, C-3), 23,82 (CH, C-2 ou C-4), 24,42 ( $\text{CH}_3$ , C-13), 26,71 (CH, C-4 ou C-2), 28,13 ( $\text{CH}_3$ , C-14), 31,03 ( $\text{CH}_2$ , C-9), 31,64 ( $\text{CH}_2$ , C-10), 36,04 (CH, C-11), 35,61 ( $\text{CH}_2$ , C-6), 44,52 (CH, C-1), 62,93 (C 4°, C-7), 79,03 (C-8).

#### Dados de RMN de $^{13}\text{C}$ para o isômero minoritário na mistura de epóxidos

**RMN de  $^{13}\text{C}$  (75,5 MHz,  $\text{CDCl}_3/\text{TMS}$ )**  $\delta$ : 15,00 ( $\text{CH}_3$ , C-12 ou C-15), 15,60 ( $\text{CH}_3$ , C-15 ou C-12), 17,77 ou 19,18 (C 4°, C-3), 21,68 ( $\text{CH}_2$ , C-5), 21,96 (CH, C-2 ou C-4), 24,02 (CH, C-4 ou C-2), 24,73 ( $\text{CH}_3$ , C-13), 28,46 ( $\text{CH}_3$ , C-14), 29,92 ( $\text{CH}_2$ , C-9), 31,07 ( $\text{CH}_2$ , C-10), 32,88 ( $\text{CH}_2$ , C-6), 36,44 (CH, C-11), 41,56 (CH, C-1), 60,70 (C 4°, C-7), 73,67 (C-8).

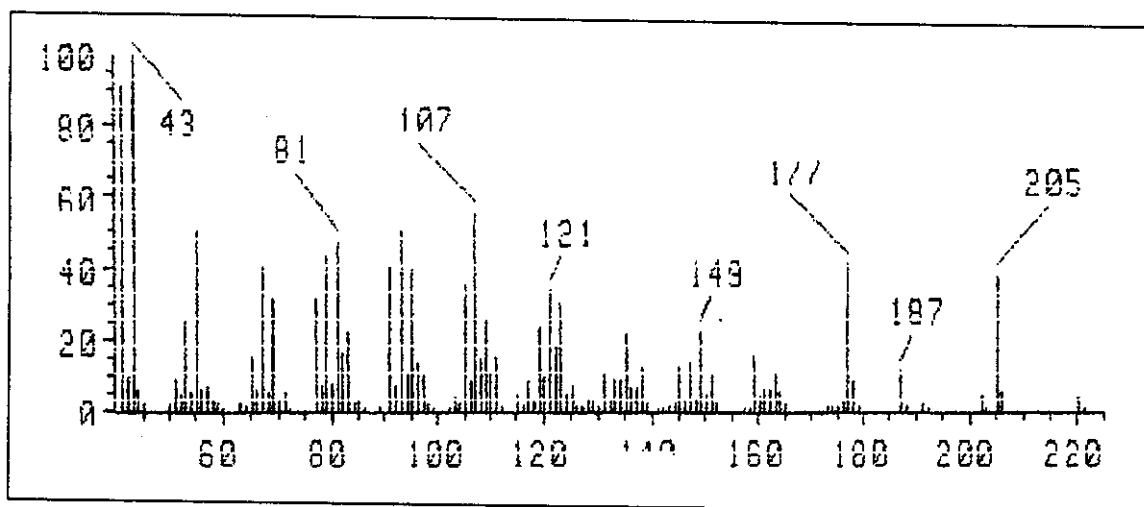
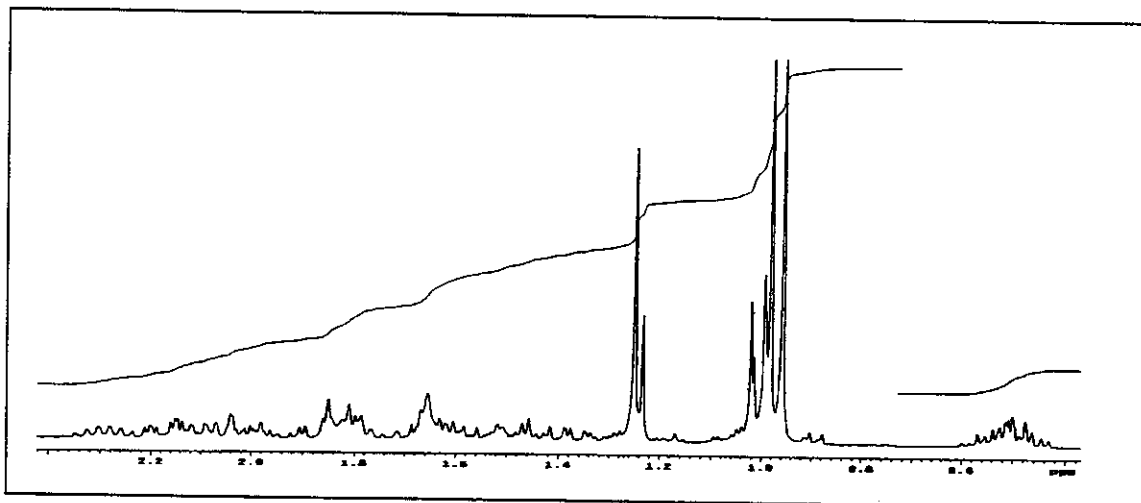
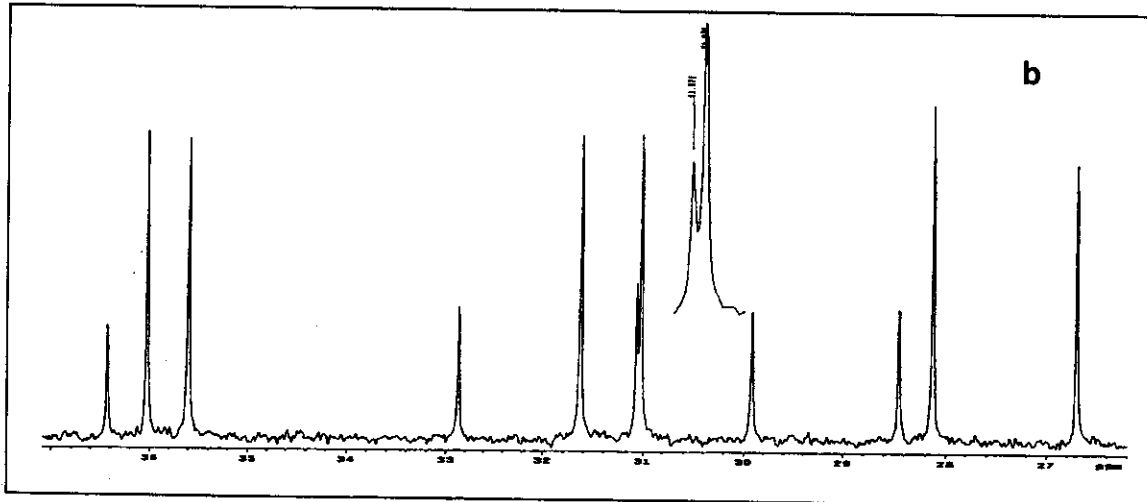
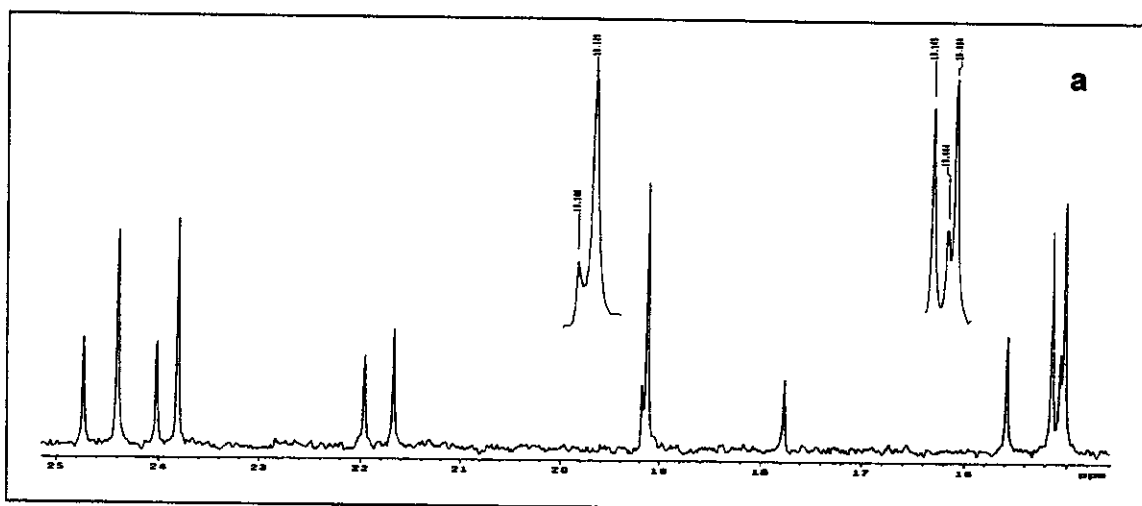
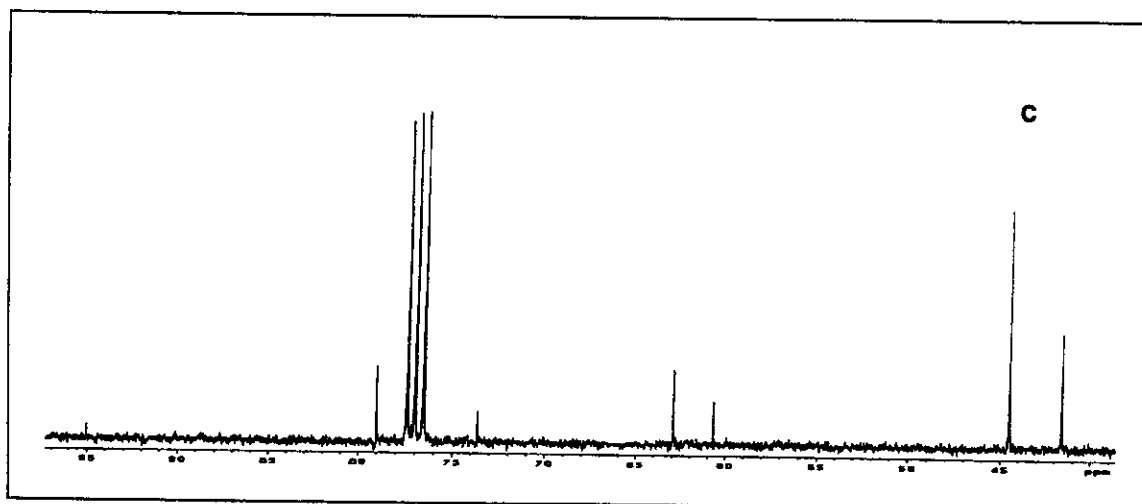


Figura 32 Espectro de massas (70 eV) da mistura de epóxidos 12 e 13

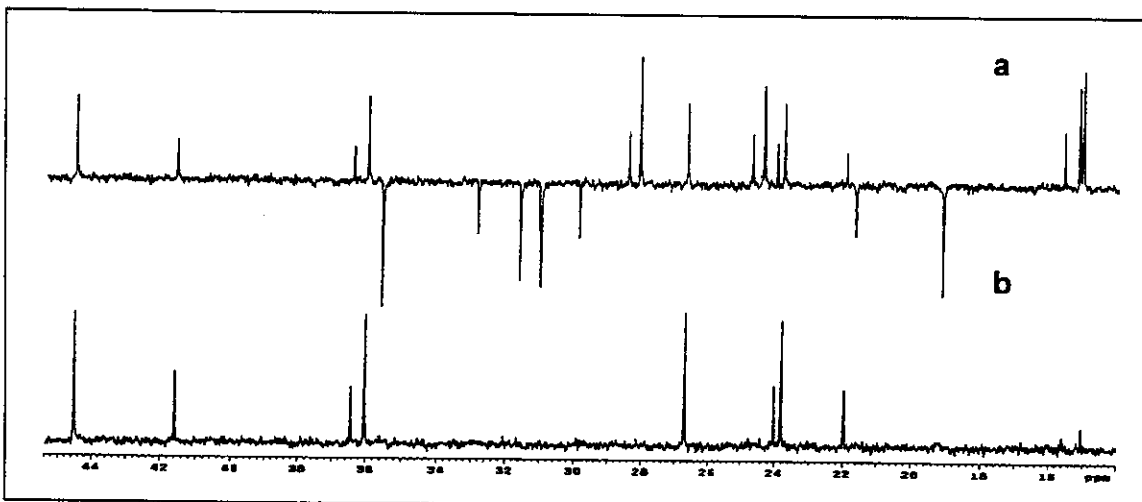


**Figura 33** Espectro de RMN de  $^1\text{H}$  (300 MHz,  $\text{CDCl}_3/\text{TMS}$ ) da mistura de epóxidos **12** e **13**





**Figura 34** Espectro de RMN de  $^{13}\text{C}$  { $^1\text{H}$ } (75,5 MHz,  $\text{CDCl}_3/\text{TMS}$ ) da mistura de epóxidos **12** e **13**: a) 15-25 ppm; b) 26-37 ppm; c) 44-95 ppm.



**Figura 35** Espectro de RMN de  $^{13}\text{C}$  { $^1\text{H}$ } (a) DEPT 135 b) DEPT 90) da mistura de epóxidos **12** e **13**

**Dados para o composto 11**

$R_f = 0,34$  (hexano/acetato de etila 80:20)

**EM (70 eV), m/z (%):** íon molecular 220 (8), 202 (20), 187 (12), 159 (42), 145 (20), 105 (22), 43 (100)

**RMN de  $^1\text{H}$  (300 MHz,  $\text{CDCl}_3/\text{TMS}$ )** atribuição parcial dos sinais de  $^1\text{H}$   $\delta$ : 1,02 (s, 3H, H-15), 1,06 (s, 3H, H-14), 1,07 (d, 3H, H-12,  $J = 6,6$  Hz), 1,45 (s, 3H, H-13), 5,51 (s(l), 1H, H-6)

**RMN de  $^{13}\text{C}$  (75,5 MHz,  $\text{CDCl}_3/\text{TMS}$ )**  $\delta$ : 15,18 ( $\text{CH}_3$ , C-15), 15,83 ( $\text{CH}_3$ , C-12), 19,02 ( $\text{CH}_2$ , C-5), 19,68 (C, C-3), 24,63 (CH, C-4), 27,58 (CH, C-2), 28,49 ( $\text{CH}_3$ , C-13 ou C-14), 29,59 ( $\text{CH}_3$ , C-13 ou C-14), 37,43 ( $\text{CH}_2$ , C-9 ou C-10), 38,02 (CH, C-11), 42,00 ( $\text{CH}_2$ , C-9), 43,38 (CH, C-1), 71,49 (C, C-8), 122,72 (CH, C-6), 154,49 (C, C-7).

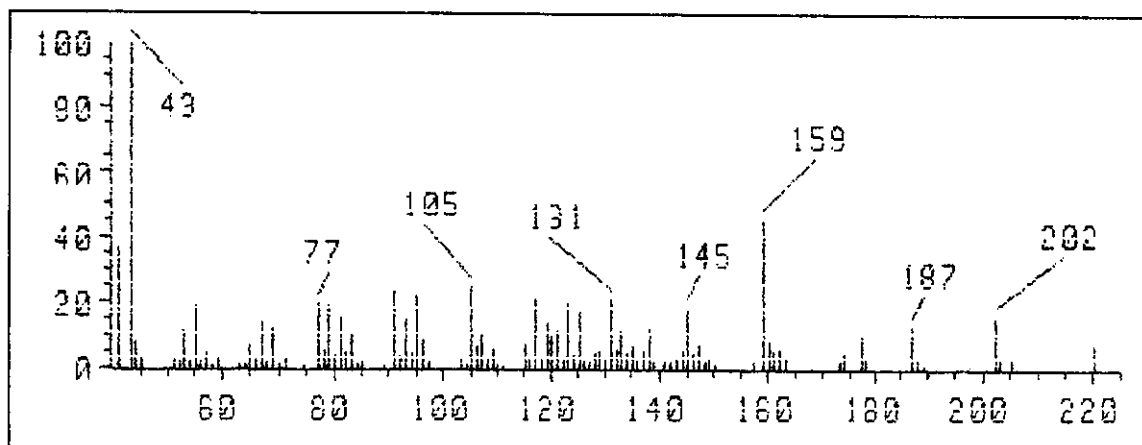
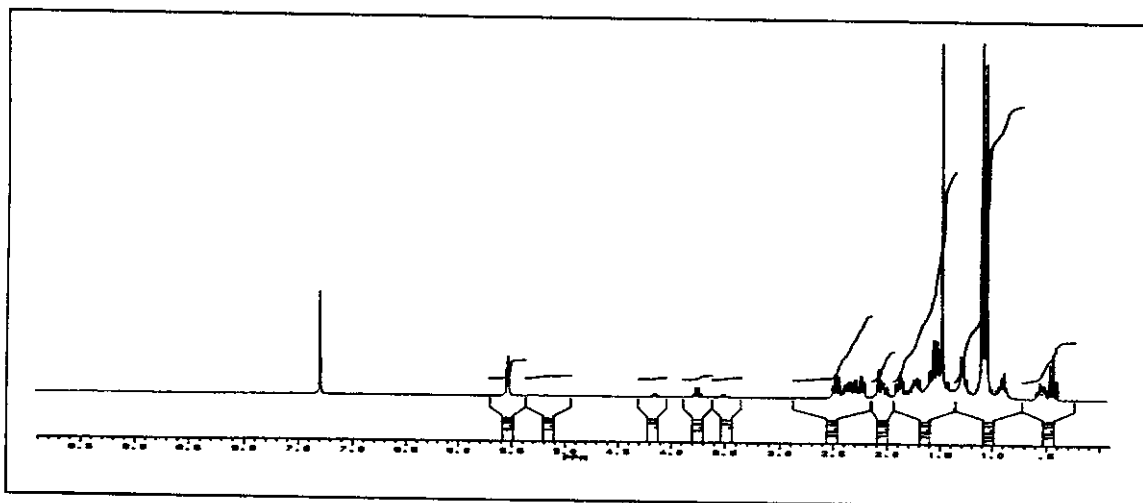
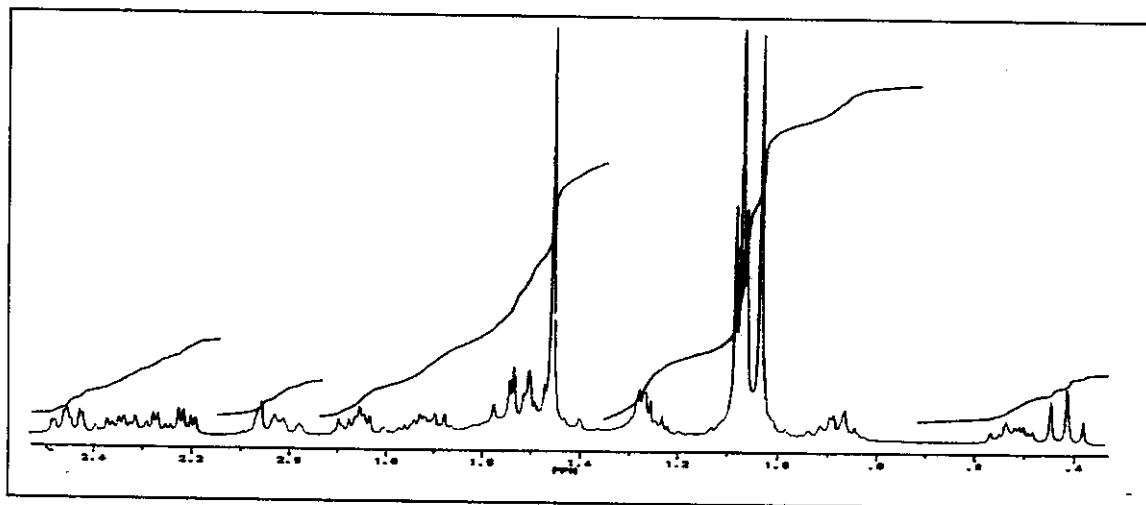


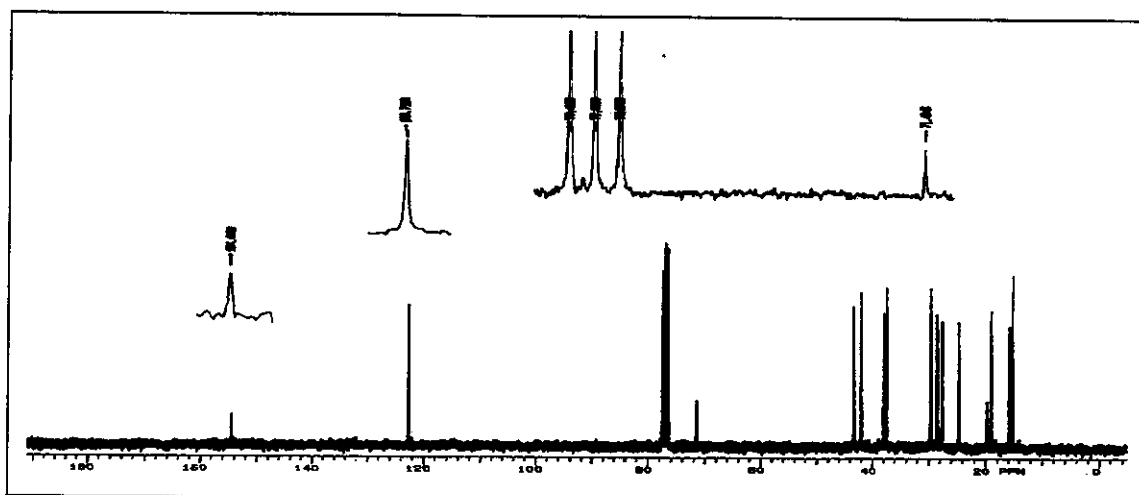
Figura 36 Espectro de massas (70 eV) do álcool 11



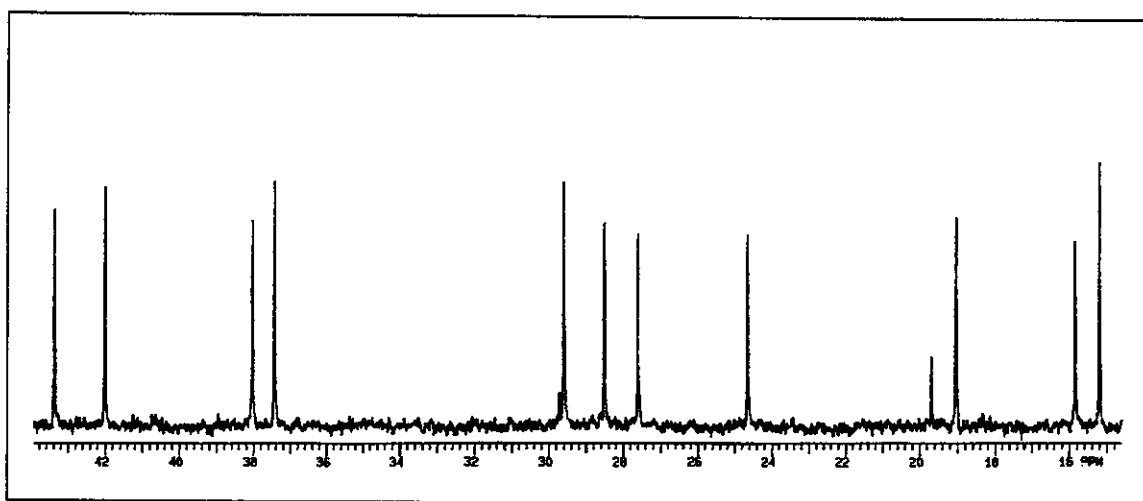
**Figura 37** Espectro de RMN de  $^1\text{H}$  (300 MHz,  $\text{CDCl}_3/\text{TMS}$ ) do álcool **11**



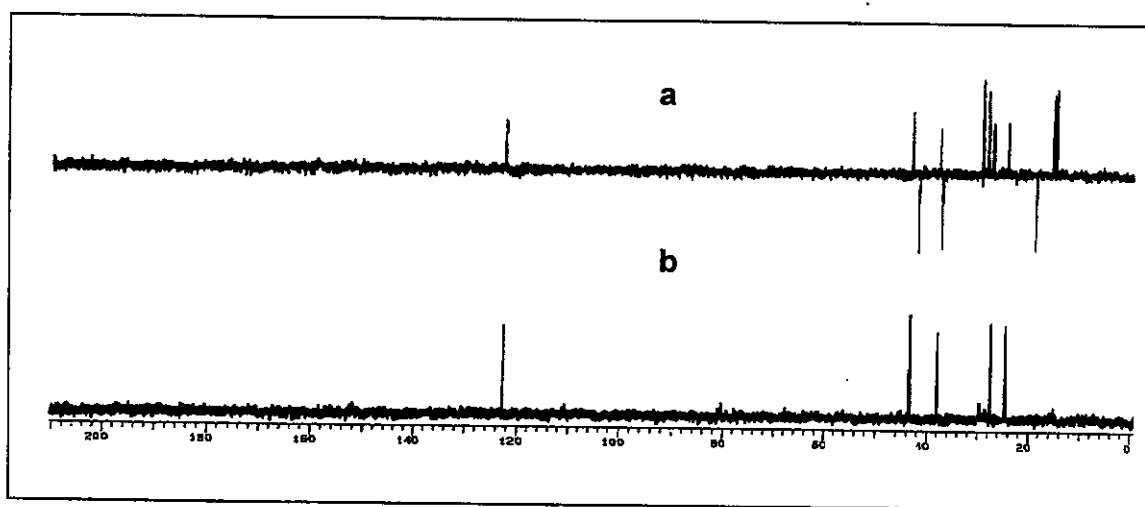
**Figura 38** Expansão do espectro de RMN de  $^1\text{H}$  do álcool **11** (0,3 a 2,5 ppm)



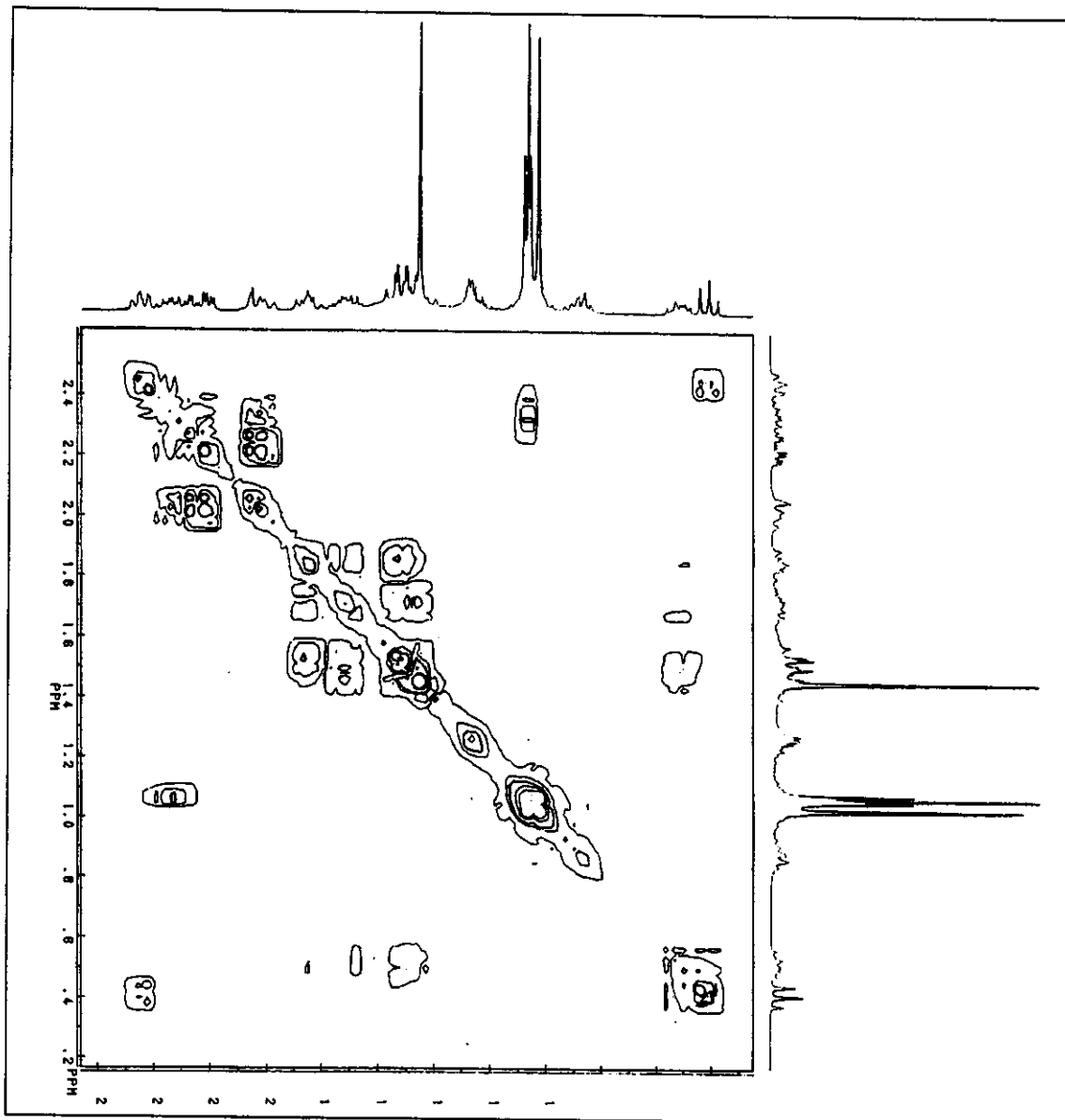
**Figura 39** Espectro de RMN de  $^{13}\text{C}$  { $^1\text{H}$ } (75,5 MHz,  $\text{CDCl}_3/\text{TMS}$ ) do álcool **11**



**Figura 40** Expansão do espectro de RMN de  $^{13}\text{C}$  { $^1\text{H}$ } do álcool **11** (15-43 ppm)

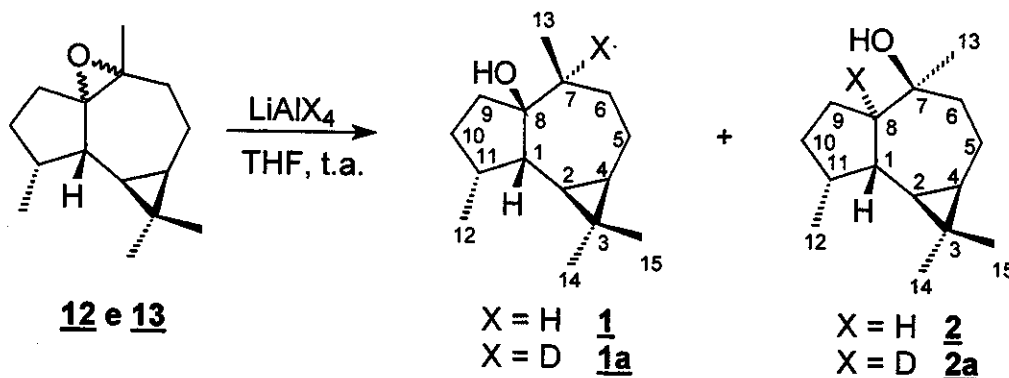


**Figura 41** Espectro de RMN  $^{13}\text{C}$  { $^1\text{H}$ } ( a) DEPT 135 b) DEPT 90) do álcool 11



**Figura 42** Espectro de RMN de 2D de correlação  $^1\text{H}, ^1\text{H}$  (COSY) do álcool 11

#### 4.2 Obtenção do palustrol 1 e 1a e epi-globulol 2 e 2a



##### 4.2.1 Síntese do palustrol 1 e epi-globulol 2

Uma solução da mistura dos epóxidos 12 e 13 (120,0 mg, 0,545 mmol), em THF anidro, foi mantida em agitação a temperatura ambiente durante 5 minutos. Em seguida, cuidadosamente, foi adicionado LiAlH<sub>4</sub> (excesso) e a reação colocada em refluxo durante a noite. Após esse tempo, a mistura reacional foi resfriada a 0°C e então foi adicionado gotas de uma solução de NaOH 3 mol/L e água. Após filtração em uma fina camada de celite, a fase orgânica foi seca sobre Na<sub>2</sub>SO<sub>4</sub> anidro, filtrada e evaporada em evaporador rotativo. Obteve-se um óleo amarelo (122,0 mg) que foi cromatografado em coluna com sílica (230-400 mesh, 13,0 x 1,2 cm), empacotada com hexano/acetato de etila (98,5/1,5) e eluída com esse mesmo sistema de solventes. Obteve-se assim o palustrol 1 ( 26,61 mg, 0,120 mmol, 22%) e o epi-globulol 2 ( 55,65 mg, 0,250 mmol, 49%).

Dados para o palustrol 1

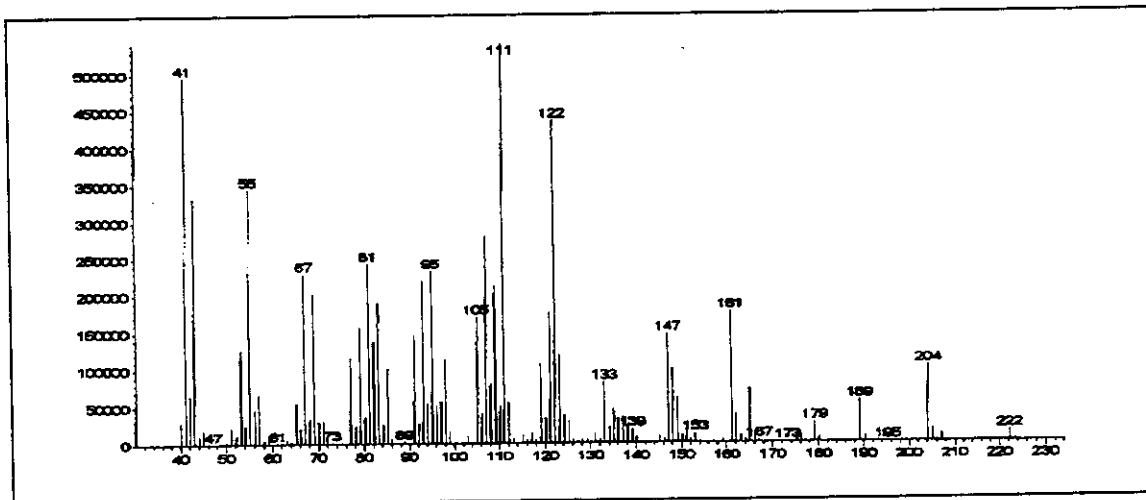
R<sub>f</sub> = 0,59 (hexano/acetato de etila, 80/20)

EMAR: calculado: 222,1984 encontrado: 222,2039

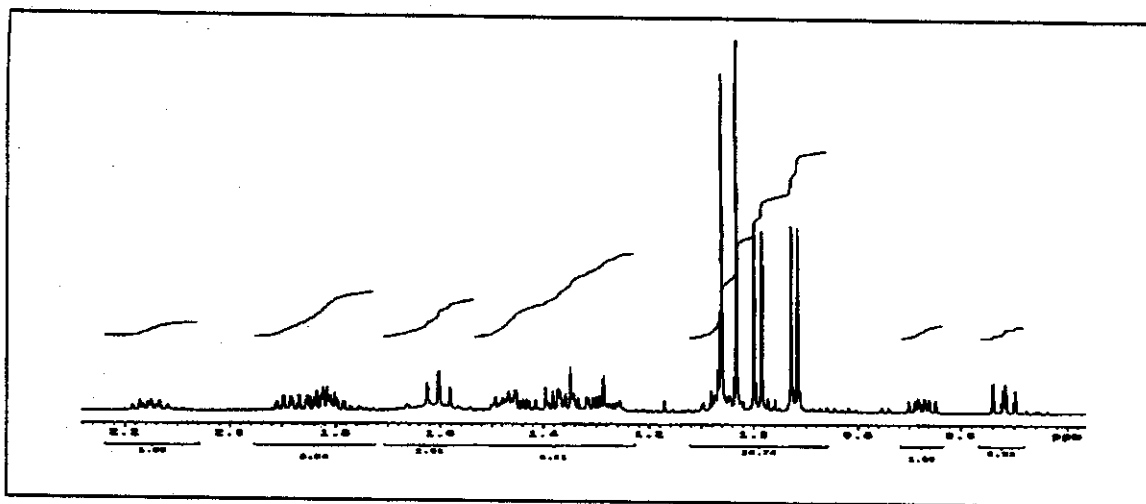
**EM (70 eV), m/z (%):** íon molecular 222 (7), (204 (40), 189 (12), 179 (9), 162 (36), 147 (27), 122 (90), 111 (100).

**RMN de  $^1\text{H}$  (500 MHz,  $\text{CDCl}_3/\text{TMS}$ )**  $\delta$ : 0,52 (dd, 1H, H-2,  $J = 9,0$  e  $J = 11,0$ ), 0,66 (ddd, 1H, H-4,  $J = 6,3$ ,  $J = 9,0$  e  $J = 11,0$ ), 0,92 (d, 3H, H-13,  $J = 6,6$ ), 0,99 (d, 3H, H-12,  $J = 7,3$ ), 1,03 (s, 3H, H-15), 1,06 (s, 3H, H-14), 1,60 (falso tripleto , 1H, H-1,  $J = 11,0$ ), 2,07-2,23 (m, 1H, H-11).

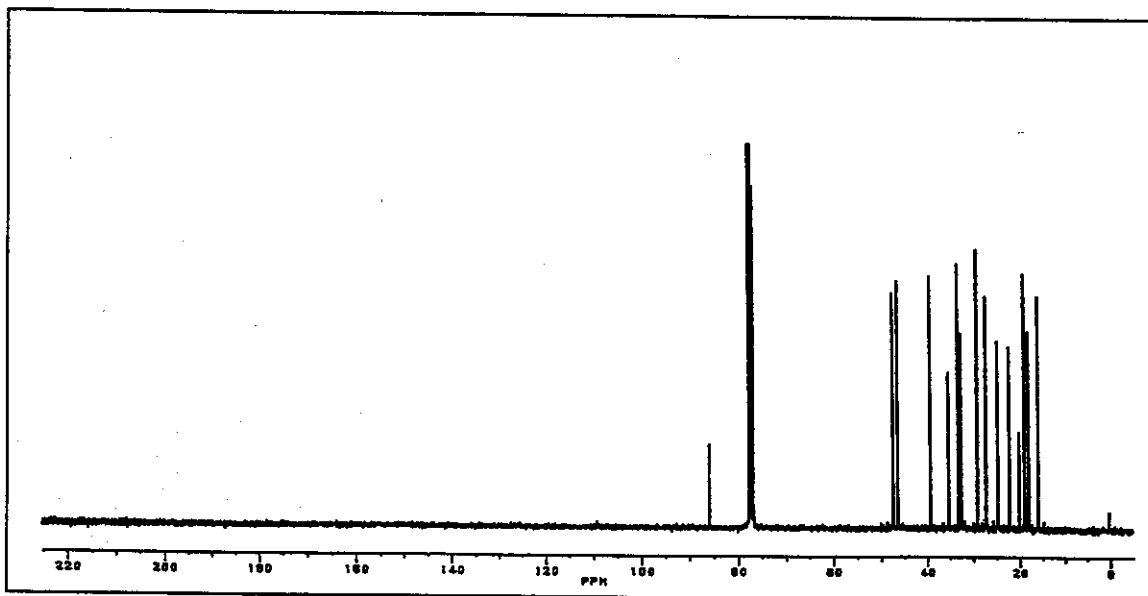
**RMN de  $^{13}\text{C}$  (75,5 MHz,  $\text{CDCl}_3/\text{TMS}$ )**  $\delta$ : 15,60 ( $\text{CH}_3$ , C-15), 17,70 ( $\text{CH}_3$ , C-12), 18,64 ( $\text{CH}_3$ , C-13), 19,85 (C, C-3), 21,94 (CH, C-2), 24,47 ( $\text{CH}_2$ , C-5), 27,04 (CH, C-4), 28,88 ( $\text{CH}_3$ , C-14), 32,25 ( $\text{CH}_2$ , C-10), 32,82 ( $\text{CH}_2$ , C-6), 34,94 (CH, C-11), 38,87 ( $\text{CH}_2$ , C-9), 46,12 (CH, C-7), 47,15 (CH, C-1), 85,64 (C, C-8).



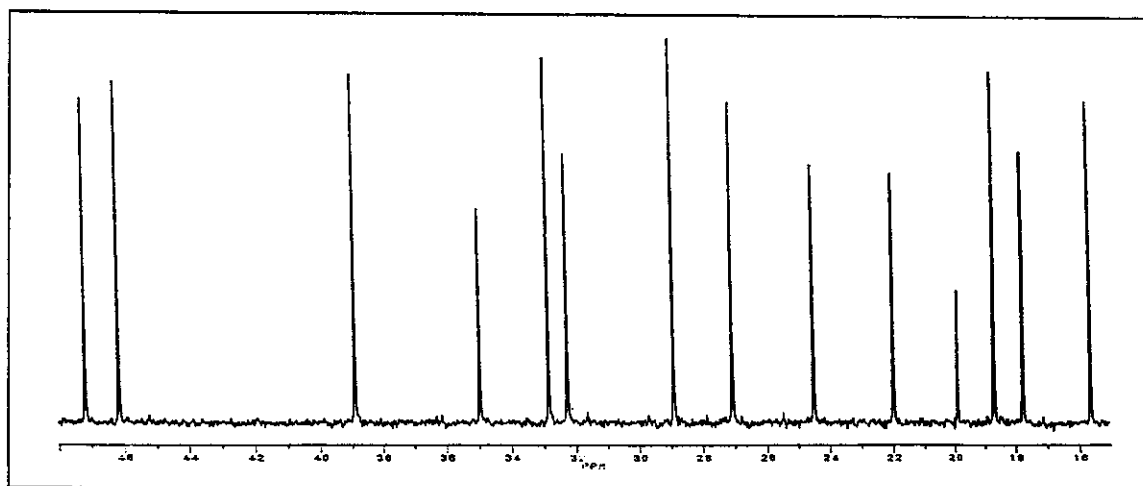
**Figura 43** Espectro de massas (70 eV) do palustrol **1**



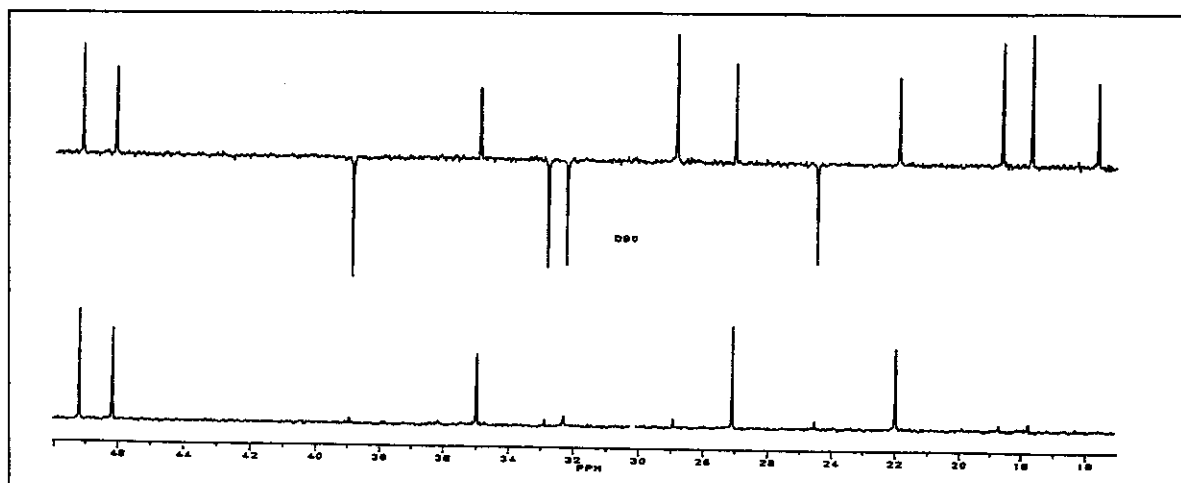
**Figura 44** Espectro de RMN de  $^1\text{H}$  (500 MHz,  $\text{CDCl}_3/\text{TMS}$ ) do palustrol **1** (0,5-2,3 ppm)



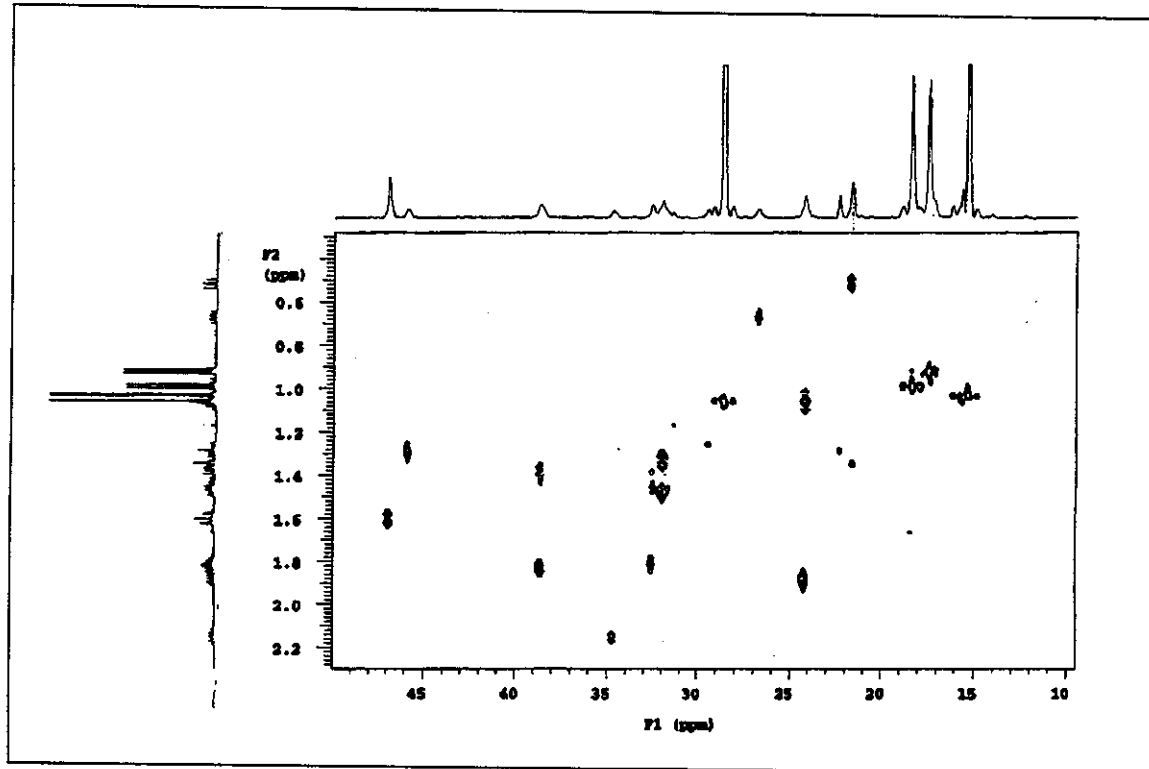
**Figura 45** Espectro de RMN de  $^{13}\text{C}$  { $^1\text{H}$ } (75,5 MHz,  $\text{CDCl}_3/\text{TMS}$ ) do palustrol 1



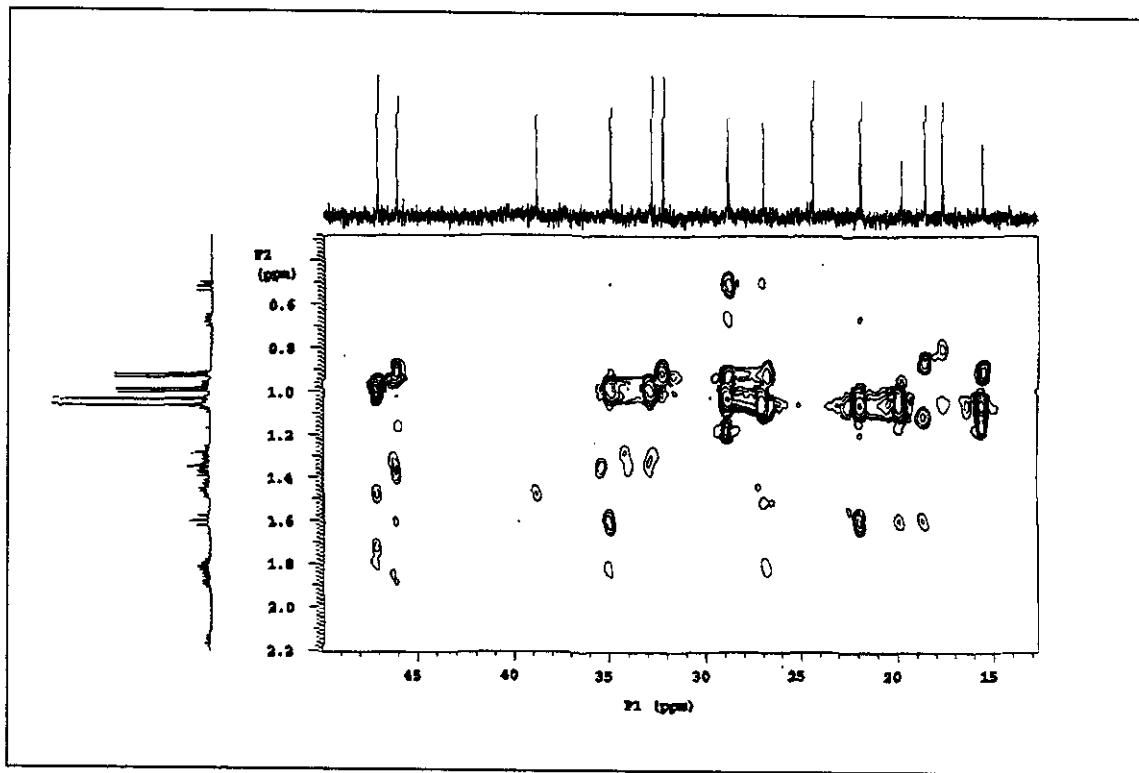
**Figura 46** Expansão do espectro de RMN de  $^{13}\text{C}$   $\{^1\text{H}\}$  do palustrol 1 (5-50 ppm)



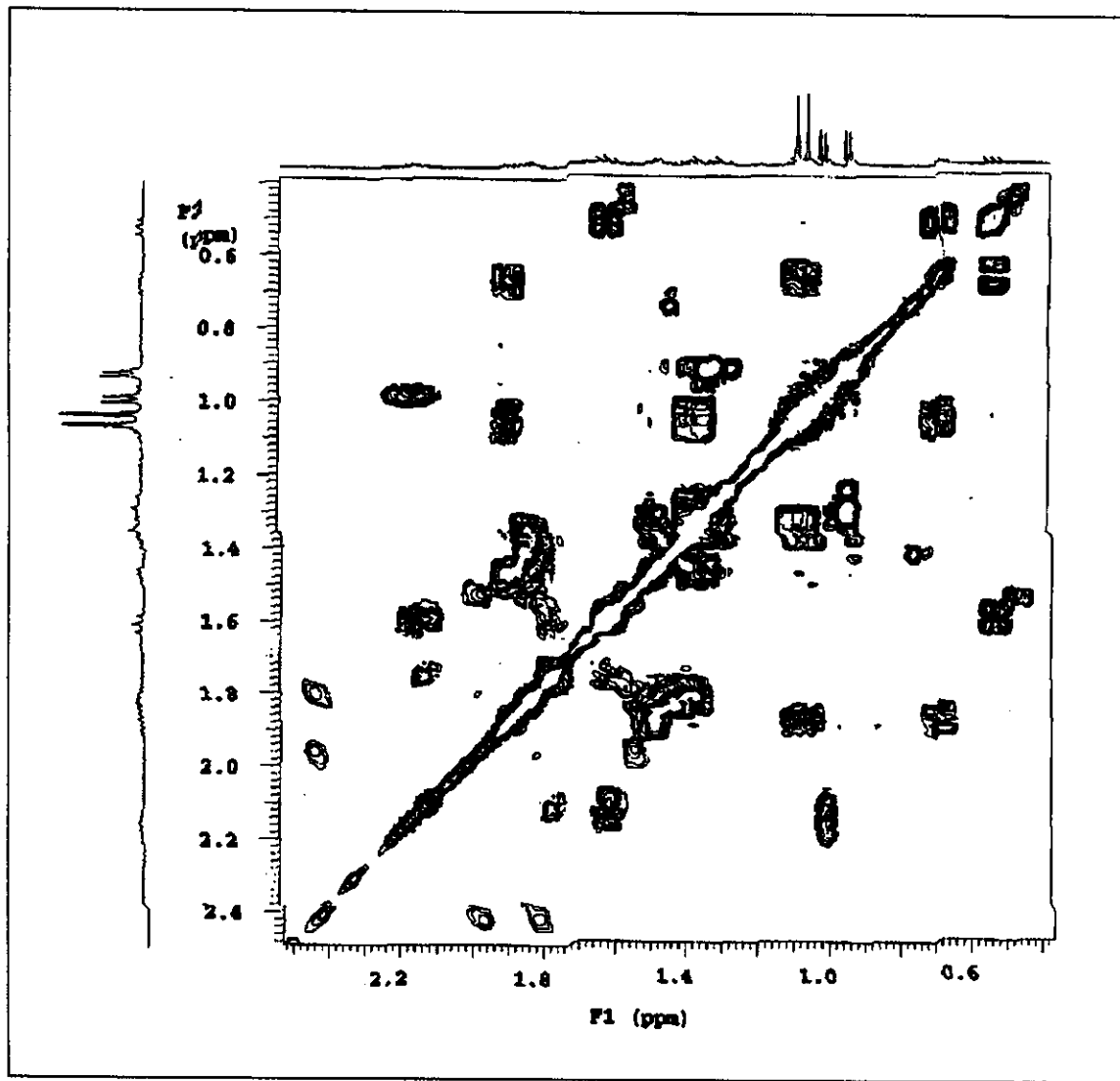
**Figura 47** Espectro de RMN  $^{13}\text{C}$   $\{^1\text{H}\}$  (a) DEPT 135 b) DEPT 90) do palustrol 1



**Figura 48** Mapa de contorno do espectro de RMN de 2D, correlação  $^{13}\text{C}, ^1\text{H}$  (HMQC) do palustrol **1**



**Figura 49** Mapa de contorno do espectro de RMN de 2D, correlação  $^{13}\text{C}, ^1\text{H}$  (HMBC) do palustrol **1**



**Figura 50** Espectro de RMN de 2D de correlação  $^1\text{H}, ^1\text{H}$  (COSY) do palustrol **1**

**Dados para o epi-globulo **2****

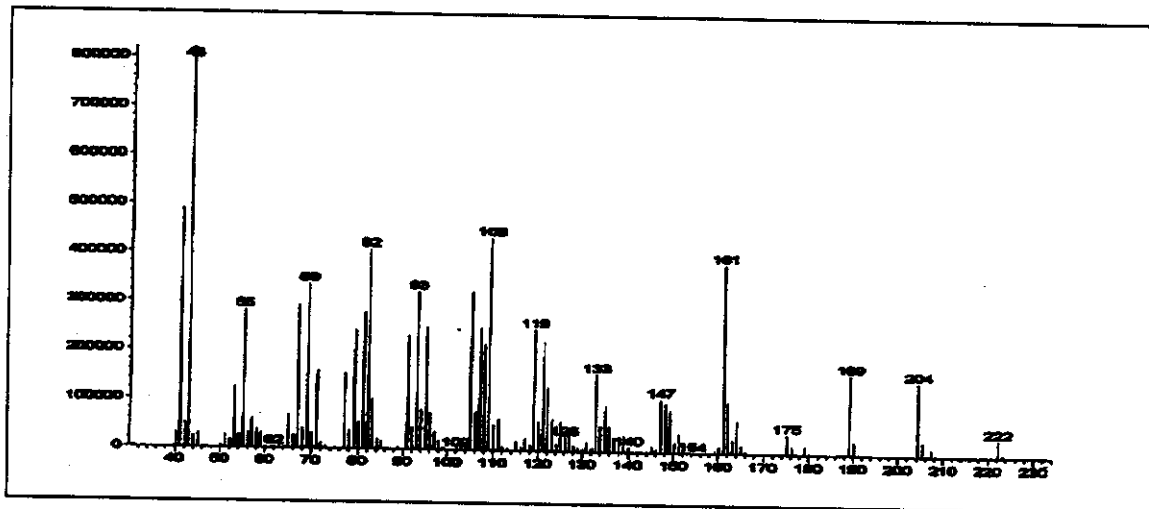
**R<sub>f</sub>** = 0,50 (hexano/acetato de etila, 80:20)

**EMAR:** calculado: 222,1984      encontrado: 222,1980

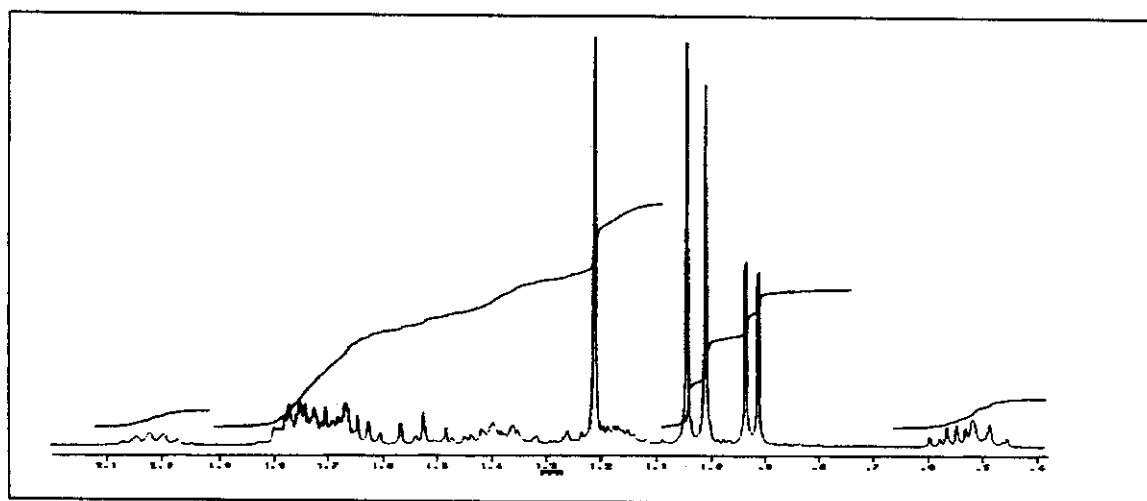
**EM (70 eV) m/z (%):** íon molecular 222 (5), 204 (20), 189 (22), 175 (7), 161 (50), 109 (58), 82 (52), 69 (45), 55 (38), 43 (100).

**RMN de  $^1\text{H}$  (300 MHz,  $\text{CDCl}_3/\text{TMS}$ )** atribuição parcial  $\delta$ : 0,40-0,60 (m, 2H, H-2 e H-4), 0,92 (d, 3H, H-12,  $J = 7,0$ ), 1,00 (s, 3H, H-15), 1,04 (s, 3H, H-14), 1,20 (s, 3H, H-13), 1,92-2,10 (m, 1H, H-11).

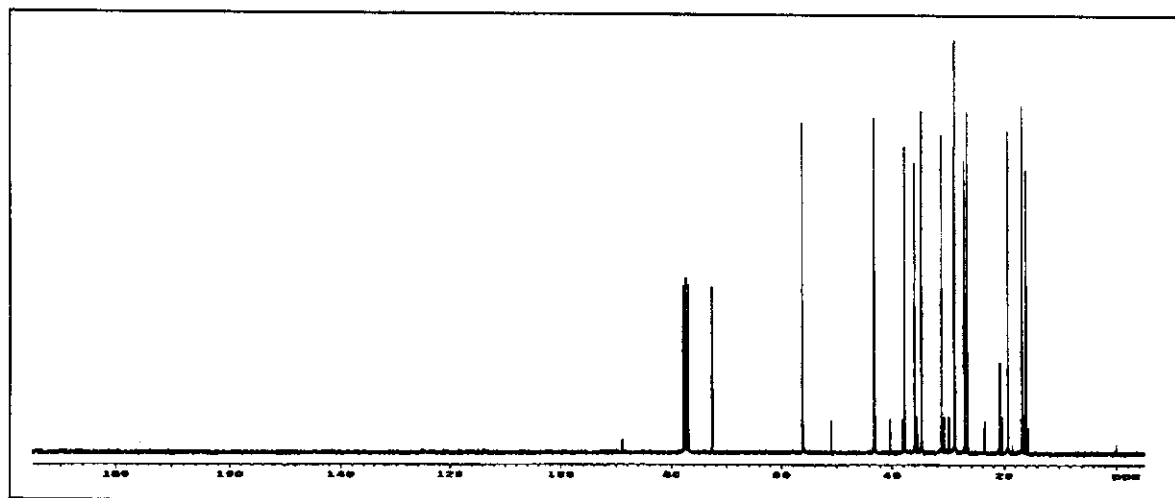
**RMN de  $^{13}\text{C}$  (75,5 MHz,  $\text{CDCl}_3/\text{TMS}$ )**  $\delta$ : 15,93 ( $\text{CH}_3$ , C-12 ou C-15), 16,67 ( $\text{CH}_3$ , C-12 ou C-15), 19,24 ( $\text{CH}_2$ , C-5), 20,68 (C, C-3), 26,70 ( $\text{CH}_2$ , C-9), 27,18 (CH, C-4), 28,90 ( $\text{CH}_3$ , C-14), 28,97 (CH, C-2), 31,27 ( $\text{CH}_3$ , C-13), 34,77 ( $\text{CH}_2$ , C-10), 35,91 (CH, C-11), 37,69 (CH, C-1), 43,04 ( $\text{CH}_2$ , C-6), 56,14 (CH, C-8), 72,61 (C, C-7).



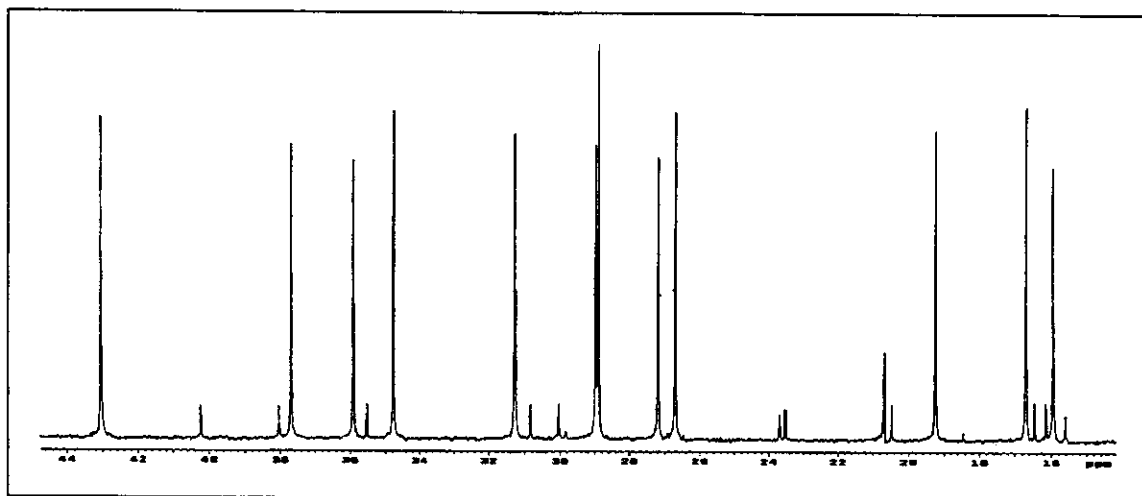
**Figura 51** Espectro de massas (70 eV) do *epi*-globulol 2



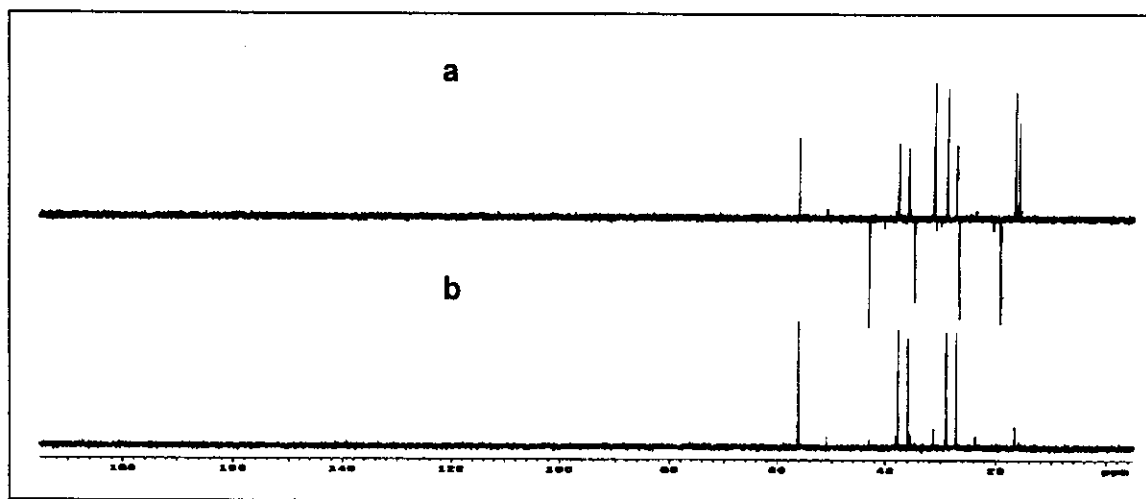
**Figura 52** Espectro de RMN de  $^1\text{H}$  (300 MHz,  $\text{CDCl}_3/\text{TMS}$ ) do *epi*-globulol **2** (0,4-2,2 ppm)



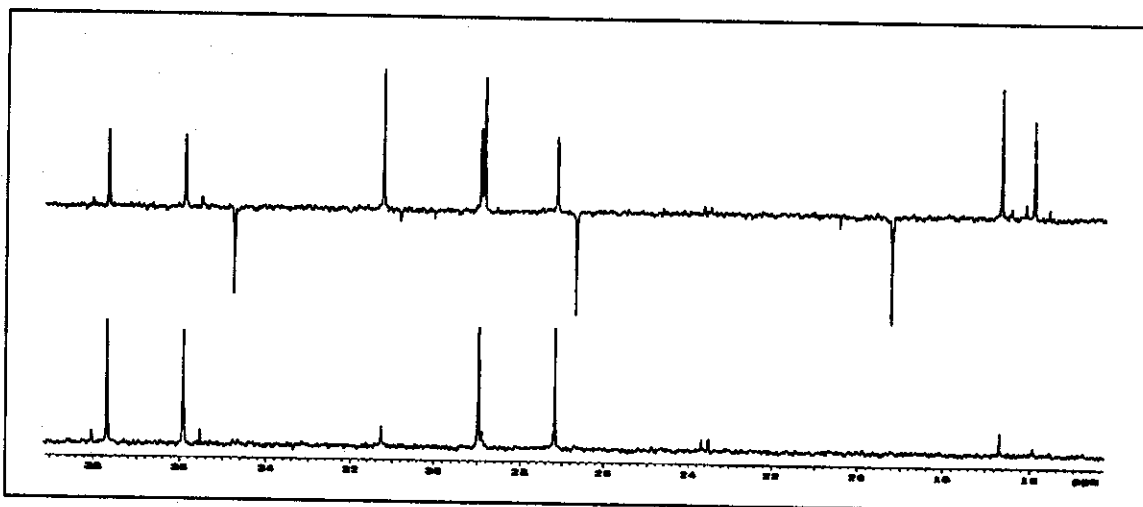
**Figura 53** Espectro de RMN de  $^{13}\text{C}$  { $^1\text{H}$ } (75,5 MHz,  $\text{CDCl}_3/\text{TMS}$ ) do *epi*-globulol **2**



**Figura 54** Expansão do espectro de RMN de  $^{13}\text{C}$   $\{^1\text{H}\}$  do *epi*-globulol **2** (15-44 ppm)



**Figura 55** Espectro de RMN  $^{13}\text{C}$   $\{^1\text{H}\}$  (a) DEPT 135 (b) DEPT 90) do *epi*-globulol **2**



**Figura 56** Expansão do espectro de RMN  $^{13}\text{C}$  { $^1\text{H}$ } (a) DEPT 135 b) DEPT 90) do *epi*-globulol **2** (14-39 ppm)

#### 4.2.2 Síntese do palustrol **1a** e *epi*-globulol **2a**

Uma solução da mistura dos epóxidos **12** e **13** (87,0 mg, 0,395 mmol), em THF anidro, foi deixada em agitação a temperatura ambiente durante 5 minutos. Em seguida, foi adicionado LiAlD<sub>4</sub> (excesso) cuidadosamente e a reação foi aquecida a refluxo durante a noite. Após esse tempo, o conteúdo reacional foi resfriado a 0°C e então foi adicionado gotas de uma solução de NaOH 3 mol/L e água. Após filtração em uma fina camada de celite, a fase orgânica foi seca sobre Na<sub>2</sub>SO<sub>4</sub> anidro, filtrada e evaporada em evaporador rotativo. Obteve-se um óleo amarelo, que foi cromatografado em coluna com sílica (230-400 mesh, 13,0 x 1,2 cm), empacotada com hexano/acetato de etila (98,5/1,5) e eluída com esse mesmo sistema de solventes. Obteve-se assim, o palustrol-D<sub>1</sub> **1a** (14,0 mg, 0,063 mmol, 16%) e o *epi*-globulol-D<sub>1</sub> **2a** (28,0 mg, 0,126 mmol, 31,90%).

**Dados para o palustrol **1a**:**

R<sub>f</sub> = 0,50 (hexano/acetato de etila 80:20)

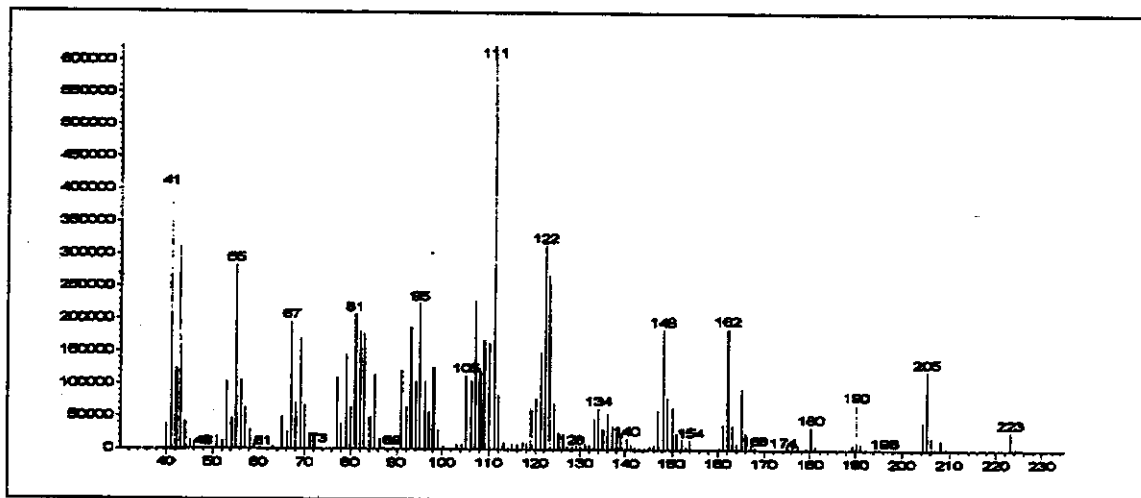
EMAR: calculado: 223,2046

encontrado: 223,2064

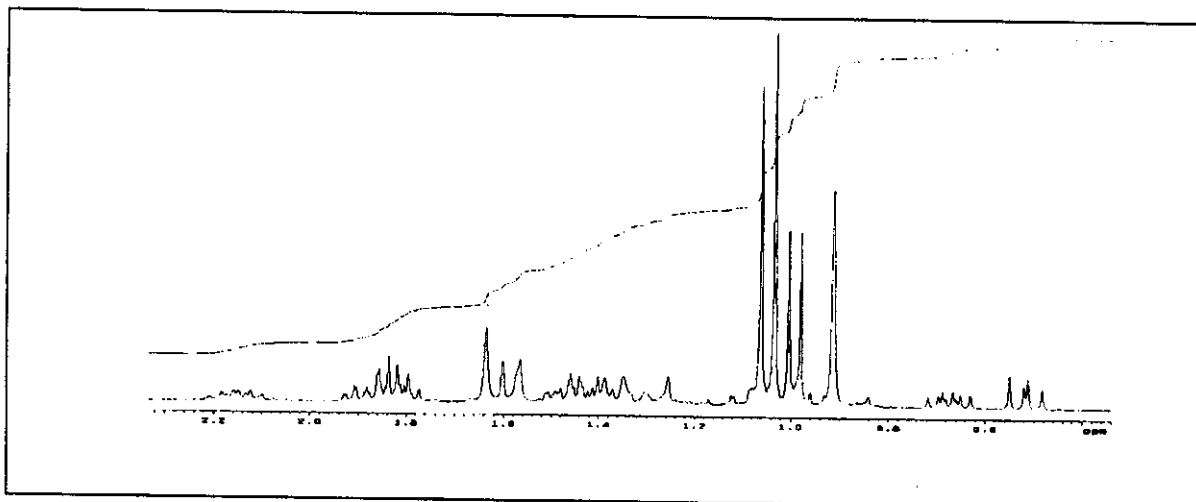
**EM (70 eV) m/z (%):** íon molecular 223 (15), 205 (46), 190 (21), 180 (10), 162 (40), 148 (38), 122 (60), 111 (100).

**RMN de  $^1\text{H}$  (500 MHz,  $\text{CDCl}_3/\text{TMS}$ )**  $\delta$ : 0,52 (dd, 1H, H-2,  $J = 9,0$  e  $J = 11,0$ ), 0,67 (ddd, 1H, H-4,  $J = 6,3$ ,  $J = 9,0$ ,  $J = 11,0$ ), 0,91 (s(l), 3H, H-13), 0,99 (d, 3H, H-12,  $J = 7,3$ ), 1,03 (s, 3H, H-15), 1,06 (s, 3H, H-14), 1,60 (falso tripleto , 1H, H-1,  $J = 11,0$ ), 2,07-2,23 (m, 1H, H-11).

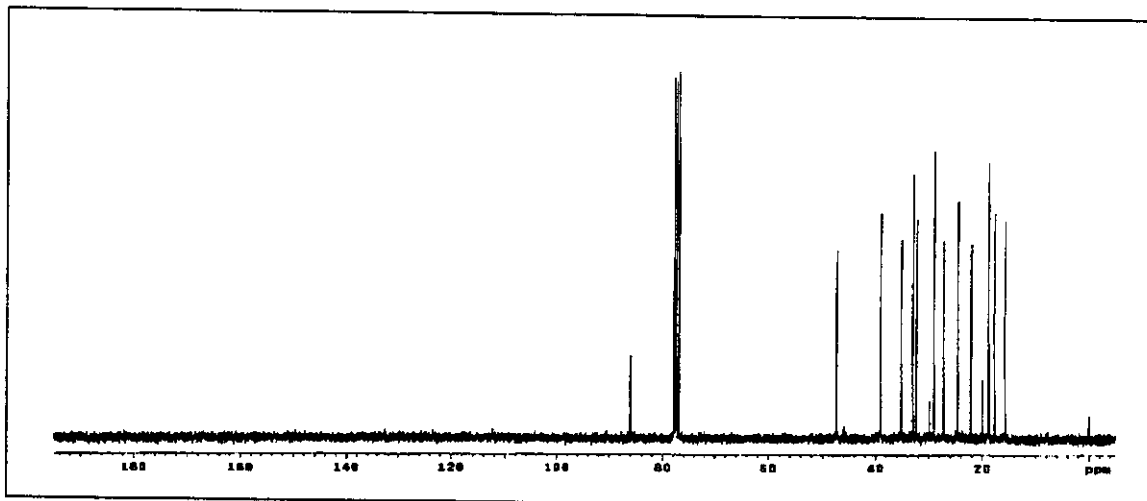
**RMN de  $^{13}\text{C}$  (75,5 MHz,  $\text{CDCl}_3/\text{TMS}$ )**  $\delta$ : 15,60 ( $\text{CH}_3$ , C-15), 17,70 ( $\text{CH}_3$ , C-12), 18,64 ( $\text{CH}_3$ , C-13), 19,85 (C, C-3), 21,94 (CH, C-2), 24,47 ( $\text{CH}_2$ , C-5), 27,04 (CH, C-4), 28,88 ( $\text{CH}_3$ , C-14), 32,25 ( $\text{CH}_2$ , C-10), 32,82 ( $\text{CH}_2$ , C-6), 34,94 (CH, C-11), 38,87 ( $\text{CH}_2$ , C-9), 46,12 (CH, C-7), 47,15 (CH, C-1), 85,64 (C, C-8).



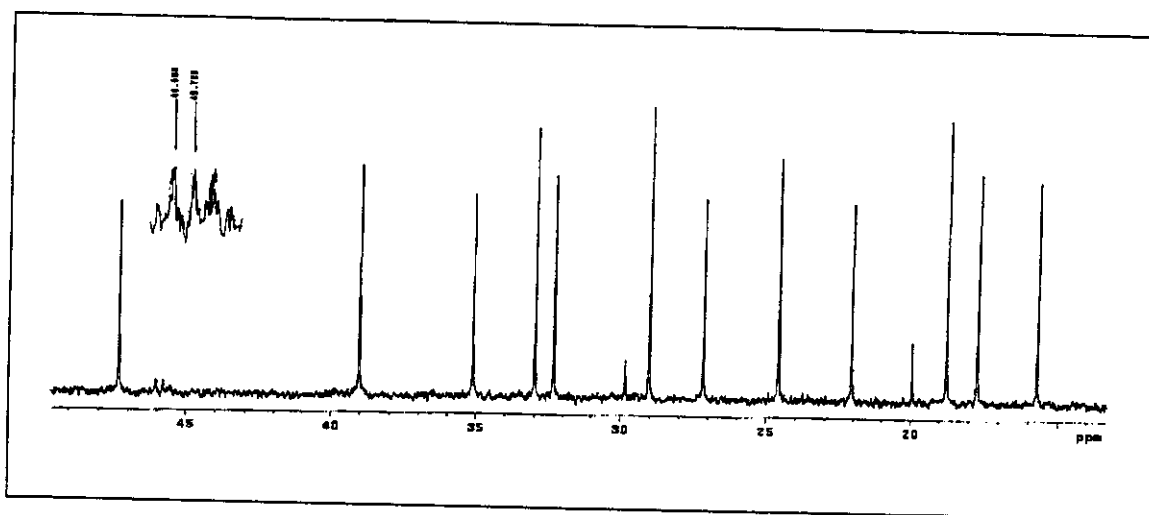
**Figura 57** Espectro de massas (70 eV) do palustrol-D<sub>1</sub> 1a



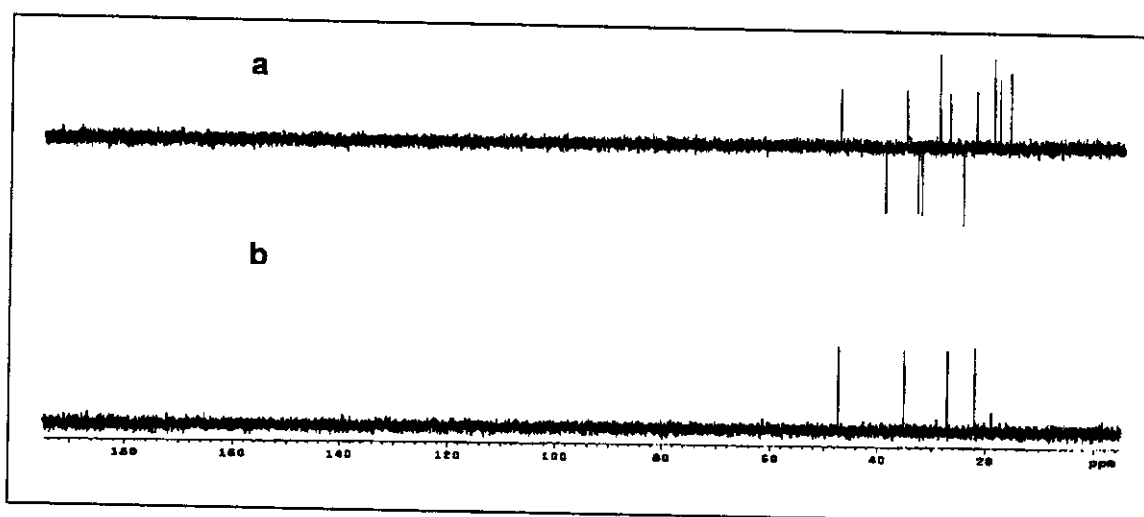
**Figura 58** Espectro de RMN de  $^1\text{H}$  (300 MHz,  $\text{CDCl}_3/\text{TMS}$ ) do palustrol-D<sub>1</sub> **1a** (0,3-2,3 ppm)



**Figura 59** Espectro de RMN de  $^{13}\text{C}$  { $^1\text{H}$ } (75,5 MHz,  $\text{CDCl}_3/\text{TMS}$ ) do palustrol-D<sub>1</sub> **1a**



**Figura 60** Expansão do espectro de RMN de  $^{13}\text{C}$  { $^1\text{H}$ } (75,5 MHz,  $\text{CDCl}_3/\text{TMS}$ ) do palustrol-D<sub>1</sub> **1a** (14-49 ppm)



**Figura 61** Espectro de RMN  $^{13}\text{C}$  { $^1\text{H}$ } (a) DEPT 135 b) DEPT 90) do palustrol **1a**

#### Dados para o *epi*-globulol **2a**

$R_f = 0,50$  (hexano/acetato de etila 80:20)

**EMAR:** calculado: 222,2046 encontrado: 223,2061

**EM (70 eV) m/z (%):** íon molecular 223 (4), 205 (19), 190 (20), 176 (2), 162 (44), 109 (56), 82 (58), 69 (40), 55 (28), 43 (100).

**RMN de  $^1\text{H}$  (300 MHz,  $\text{CDCl}_3/\text{TMS}$ )** atribuição parcial de  $^1\text{H}$   $\delta$ : 0,40-0,60 (m, 2H, H-2 e H-4), 0,92 (d, 3H, H-12,  $J = 6,96$ ), 1,00 (s, 3H, H-15), 1,04 (s, 3H, H-14), 1,20 (s, (3H, H-13), 1,92-2,10 (m, 1H, H-11).

**RMN de  $^{13}\text{C}$  (75,5 MHz,  $\text{CDCl}_3/\text{TMS}$ )**  $\delta$ : 15,93 ( $\text{CH}_3$ , C-12 ou C-15), 16,66 ( $\text{CH}_3$ , C-12 ou C-15), 19,24 ( $\text{CH}_2$ , C-5), 20,68 (C, C-3), 26,60 ( $\text{CH}_2$ , C-9), 27,19 (CH, C-4), 28,90 ( $\text{CH}_3$ , C-14), 28,90 (CH, C-2), 31,25 ( $\text{CH}_3$ , C-13), 34,76 ( $\text{CH}_2$ , C-10), 35,93 (CH, C-11), 37,61 (CH, C-1), 43,03 ( $\text{CH}_2$ , C-6), 55,60 (CH, C-8), 72,57 (C, C-8).

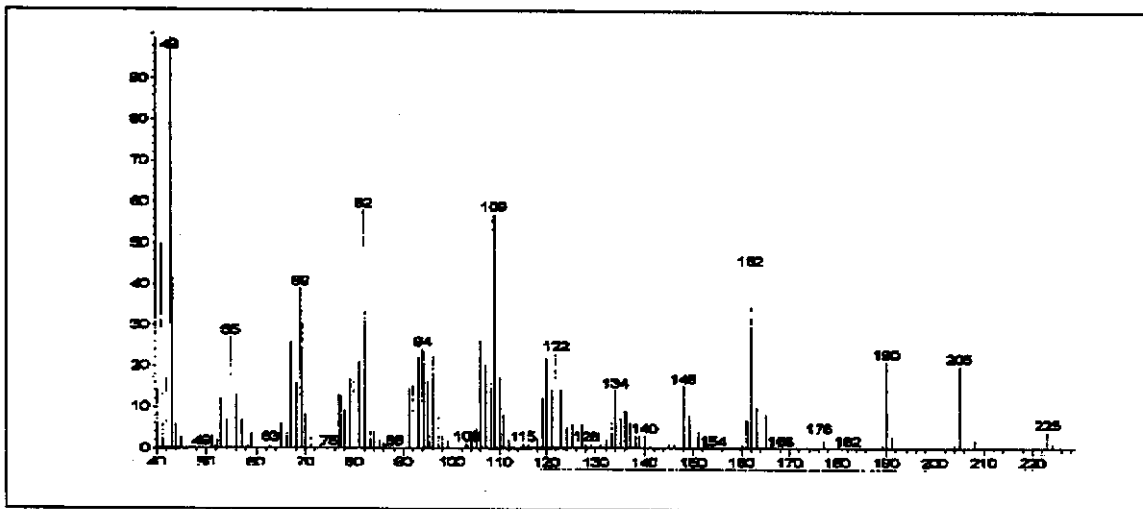


Figura 62 Espectro de massas (70eV) do epi-globulol-D<sub>1</sub> 2a

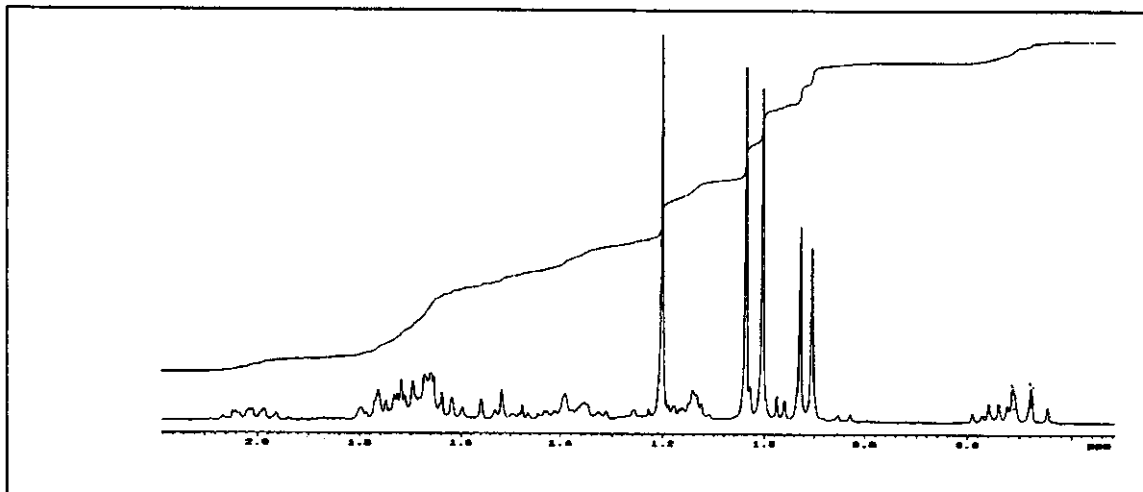
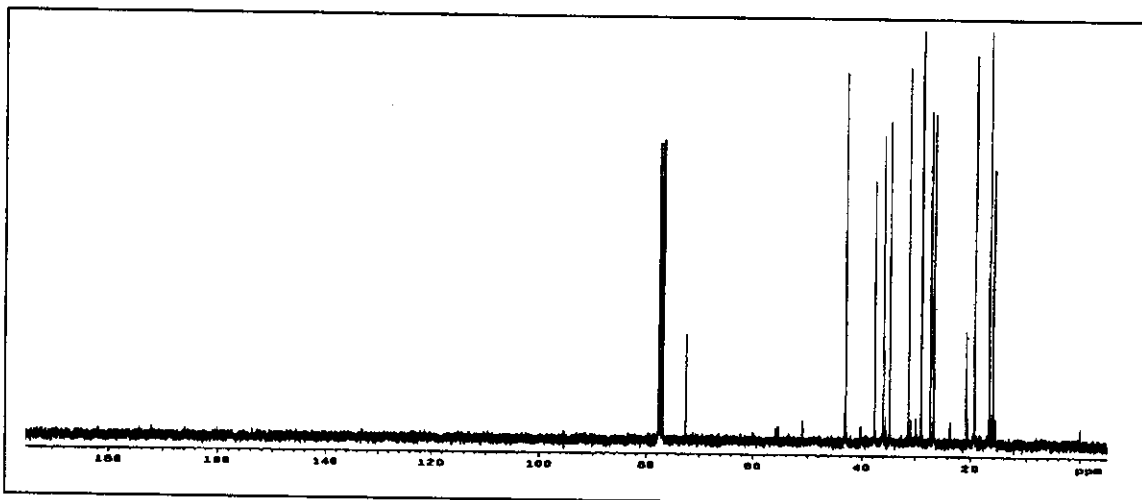
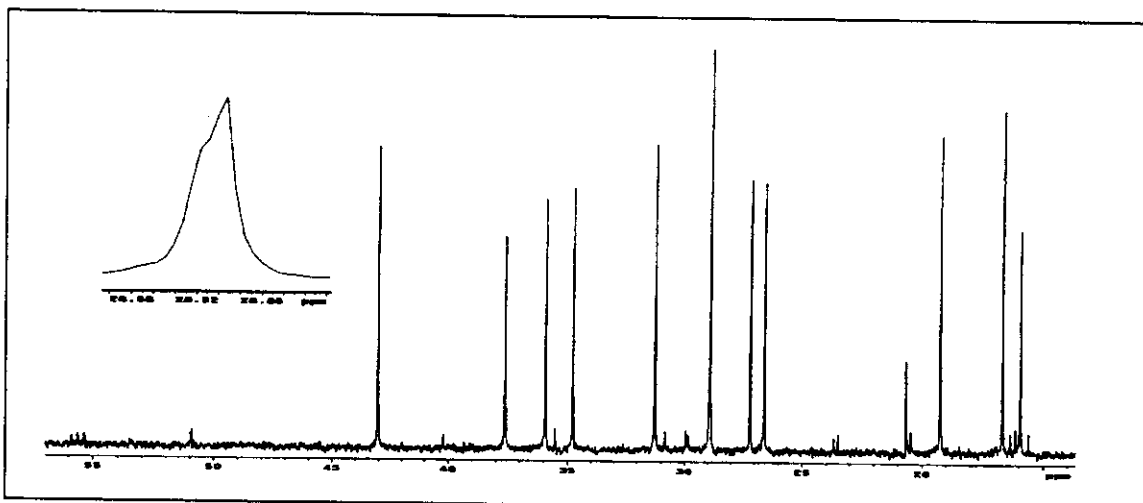


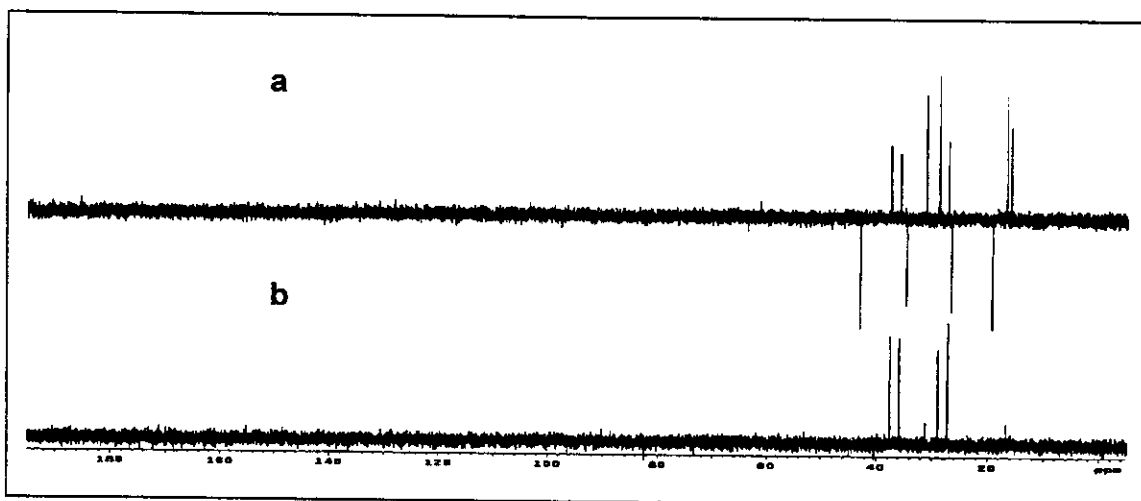
Figura 63 Espectro de RMN de  $^1\text{H}$  (300 MHz ) do epi-globulol-D<sub>1</sub> 2a (0,4-2,1 ppm)



**Figura 64** Espectro de RMN de  $^{13}\text{C}$  { $^1\text{H}$ } (75,5 MHz,  $\text{CDCl}_3/\text{TMS}$ ) do *epi*-globulol-D<sub>1</sub> **2a**



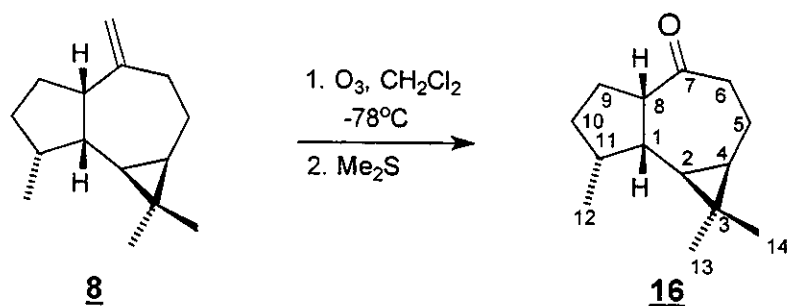
**Figura 65** Expansão do espectro de RMN de  $^{13}\text{C}$  { $^1\text{H}$ } (75,5 MHz) do *epi*-globulol-D<sub>1</sub> **2a** (15-57ppm)



**Figura 66** Espectro de RMN  $^{13}\text{C}$  { $^1\text{H}$ } (a) DEPT 135 b) DEPT 90) do *epi*-globulol 2a

#### 4.3 Síntese do *epi*-globulol-D<sub>3</sub> 3a à partir do *allo*-aromadendreno 8

##### 4.3.1 Síntese da *allo*-aromadendrona 16



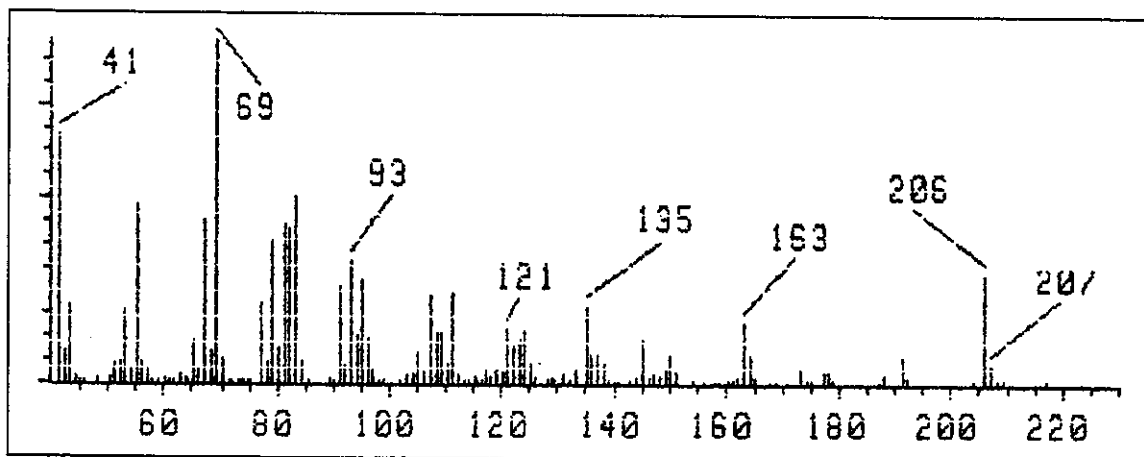
Em uma solução de (-)-*allo*-aromadendreno 8 (204,0 mg, 1,0 mmol) em  $\text{CH}_2\text{Cl}_2$  (30 mL) a  $-78^\circ\text{C}$ ,  $\text{O}_3$  foi borbulhado durante 40 minutos. Após a solução ter adquirido uma leve coloração azul,  $\text{N}_2$  foi borbulhado para retirarada do excesso de  $\text{O}_3$  e, em seguida,  $\text{Me}_2\text{S}$  (excesso) foi adicionado ao meio reacional que

permaneceu em agitação durante a noite. A fase orgânica foi lavada com água (3 x 30 mL) e seca sobre  $\text{Na}_2\text{SO}_4$  anidro. O solvente foi evaporado em evaporador rotativo, obtendo-se um óleo amarelo (225,0 mg) que foi cromatografado em coluna com sílica (230-400 mesh, 14,0 x 1,5 cm), utilizando-se como eluente hexano/acetato de etila (99:1). Obteve-se a *allo*-aromadendrona **16** (88,6 mg, 0,390 mmol, 43%) na forma de um sólido branco.

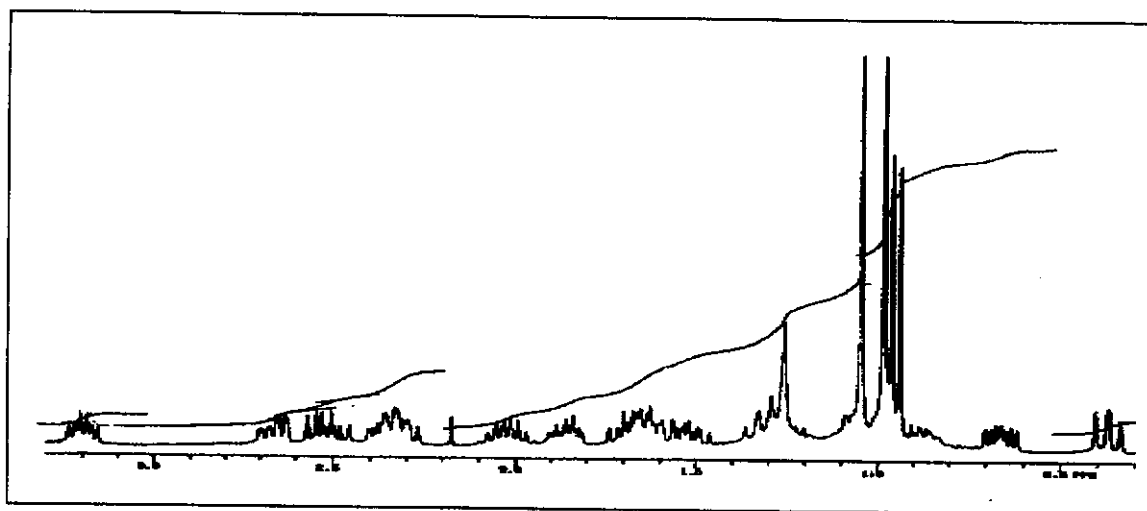
**EM (70 eV):**  $m/z$  (%) 206 (30), 163 (17), 135 (21), 93 (35), 69 (100), 55 (51), 43 (70).

**RMN de  $^1\text{H}$  (300 MHz,  $\text{CDCl}_3/\text{TMS}$ ):** atribuição parcial dos  $^1\text{H}$   $\delta$  0,37 (dd, 1H, H-2,  $J = 11,0$  e  $11,0$ ), 0,66 (ddd, 1H, H-4), 0,95 (d, 3H, H-12,  $J = 6,7$ ), 0,98 (s, 3H, H-14), 1,05 (s, 3H, H-13), 2,01 (m, 1H, H-11), 2,25-2,45 (m, 1H, H-1), 3,20 (dt, 1H, H-8,  $J = 5,4$  e  $9,5$ ).

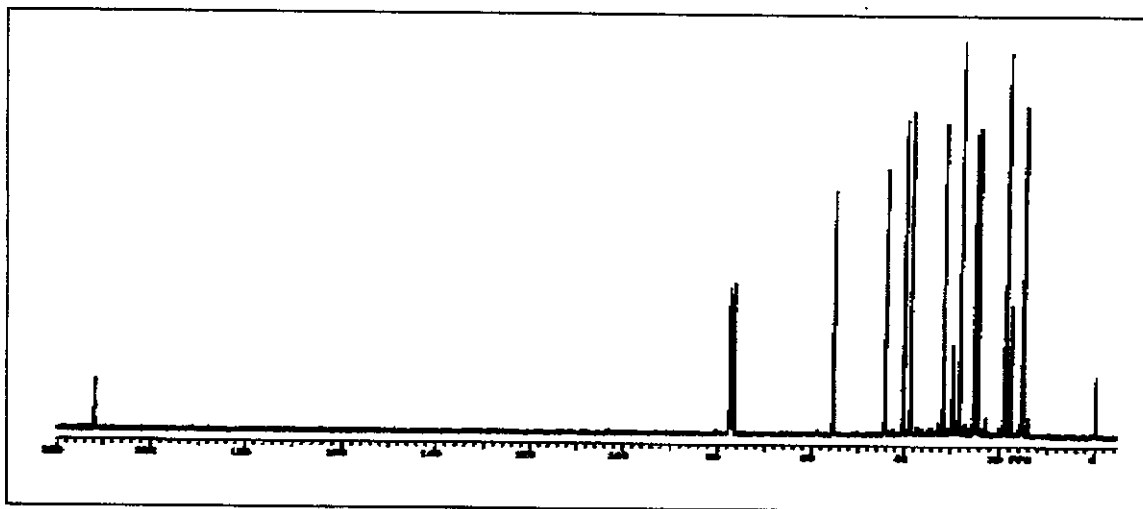
**RMN de  $^{13}\text{C}$  (75,5 MHz,  $\text{CDCl}_3/\text{TMS}$ ):**  $\delta$  15,10 ( $\text{CH}_3$ , C-12 ou C-14), 15,34 ( $\text{CH}_3$ , C-12 ou C-14), 17,75 (C, C-3), 18,84 ( $\text{CH}_2$ , C-5), 24,31 (CH, C-2), 24,43 ( $\text{CH}_2$ , C-9), 25,14 (CH, C-4), 28,16 ( $\text{CH}_3$ , C-13), 31,62 ( $\text{CH}_2$ , C-10), 38,82 (CH, C-11), 40,27 (CH, C-1), 44,21 ( $\text{CH}_2$ , C-6), 55,36 (CH, C-8), 211,83 (C=O, C-7).



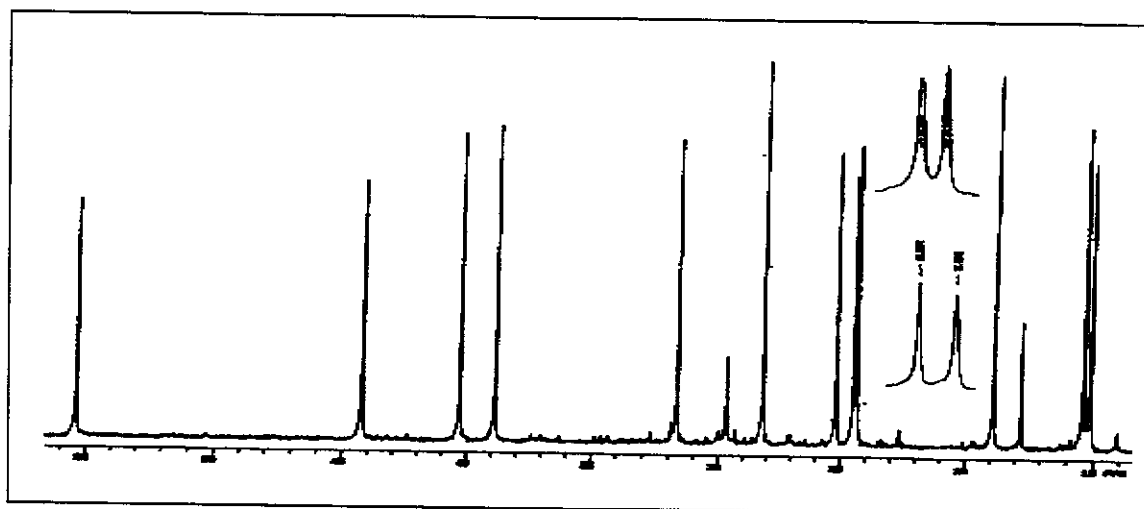
**Figura 67** Espectro de massas (70 eV) da *allo*-aromadendrona **16**



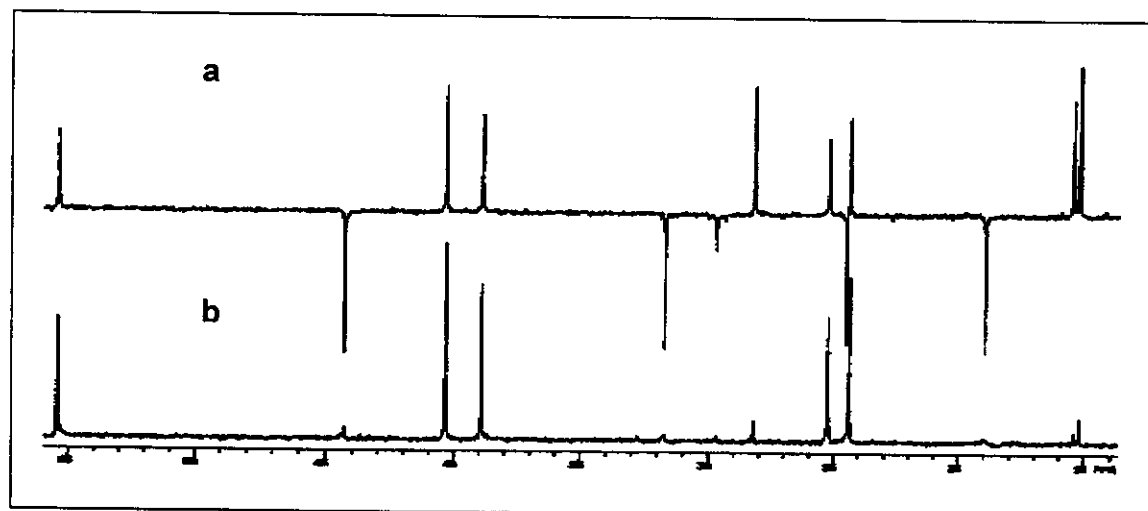
**Figura 68** Espectro de RMN de  $^1\text{H}$  (300 MHz,  $\text{CDCl}_3/\text{TMS}$ ) da *allo*-aromadendrona **16** (0,4-3,2)



**Figura 69** Espectro de RMN de  $^{13}\text{C}$  { $^1\text{H}$ } (75,5 MHz,  $\text{CDCl}_3/\text{TMS}$ ) da *allo*-aromadendrona **16**

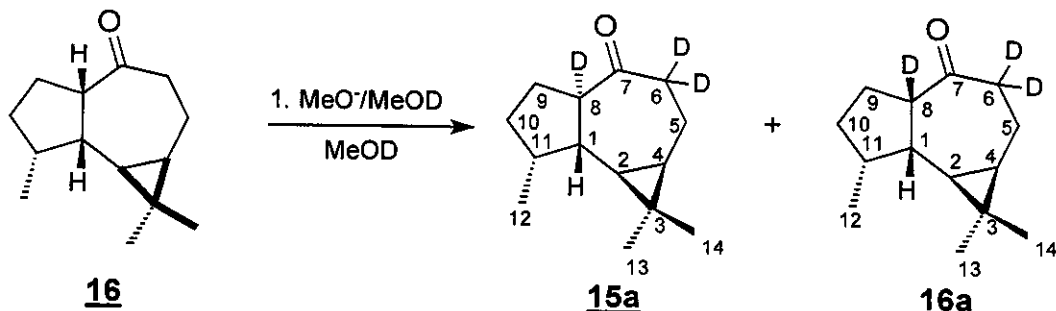


**Figura 70** Espectro de RMN de  $^{13}\text{C}$  { $^1\text{H}$ } (75,5 MHz,  $\text{CDCl}_3/\text{TMS}$ ) da *allo*-aromadendrona **16** (13 -57 ppm)



**Figura 71** Espectro de RMN  $^{13}\text{C}$  { $^1\text{H}$ } (a) DEPT 135 b) DEPT 90) da *allo*-aromadendrona **16** (14-56 ppm)

#### 4.3.2 Síntese da aromadendrona-D<sub>3</sub> 15a

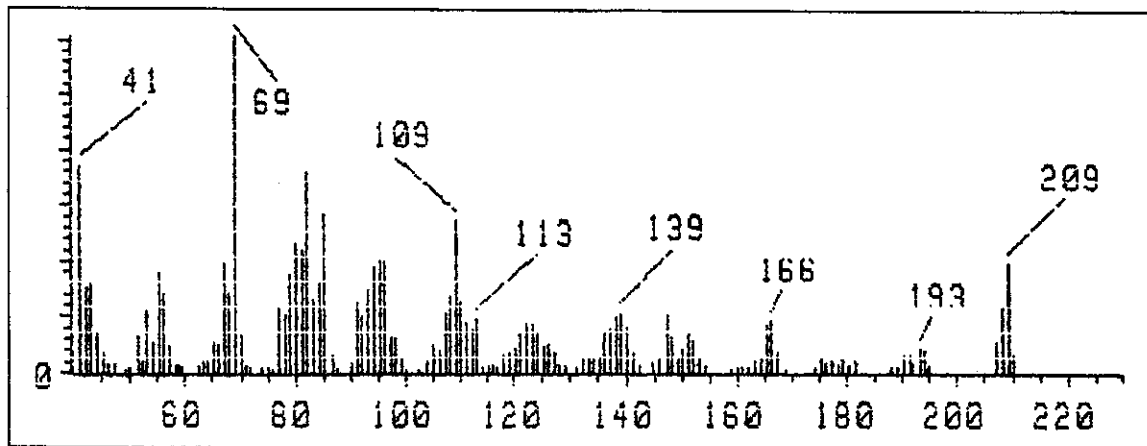


A uma solução de MeOD (0,5 ml) e sódio metálico (1,0 mg), sob atmosfera de argônio, foi adicionado uma solução de *allo*-aromadendrona 16 (14,5 mg, 0,066 mmol) em MeOD (1,0 mL). A reação permaneceu em agitação durante 8h e, após esse tempo, foi filtrada em uma coluna com sílica. Obteve-se um óleo amarelo claro (11,2 mg), onde foi verificado, através de análise por cromatografia gasosa, a presença de uma mistura da aromadendrona 15a e *allo*-aromadendrona 16a (8:2), devido a epimerização no centro terciário C-8.

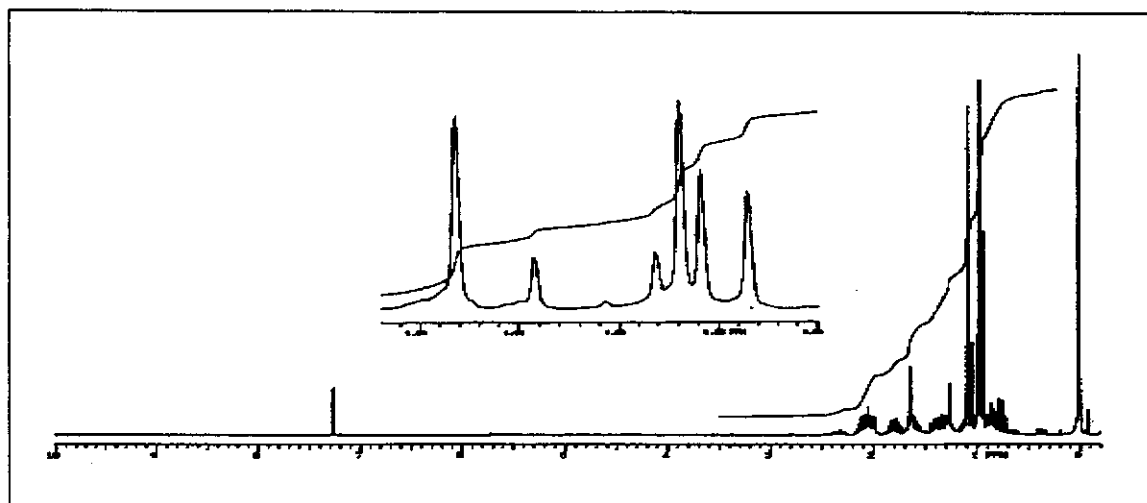
**EM (70 eV):** *m/z* (%) 209 (44), 194 (9), 166 (18), 153 (14), 69 (100), 41 (53).

**RMN de <sup>1</sup>H (300 MHz, CDCl<sub>3</sub>/TMS):** Atribuição parcial dos <sup>1</sup>H. δ 0,75 (dd, 1H, H-2, J = 10,5 e 10,8), 0,80-0,89 (ddd, H-4), 0,96 (d, 3H, H-12, J = 7,0), 0,97 (s, 3H, H-14), 1,08 (s, 3H, H-13), 2,06 (m, 1H, H-11).

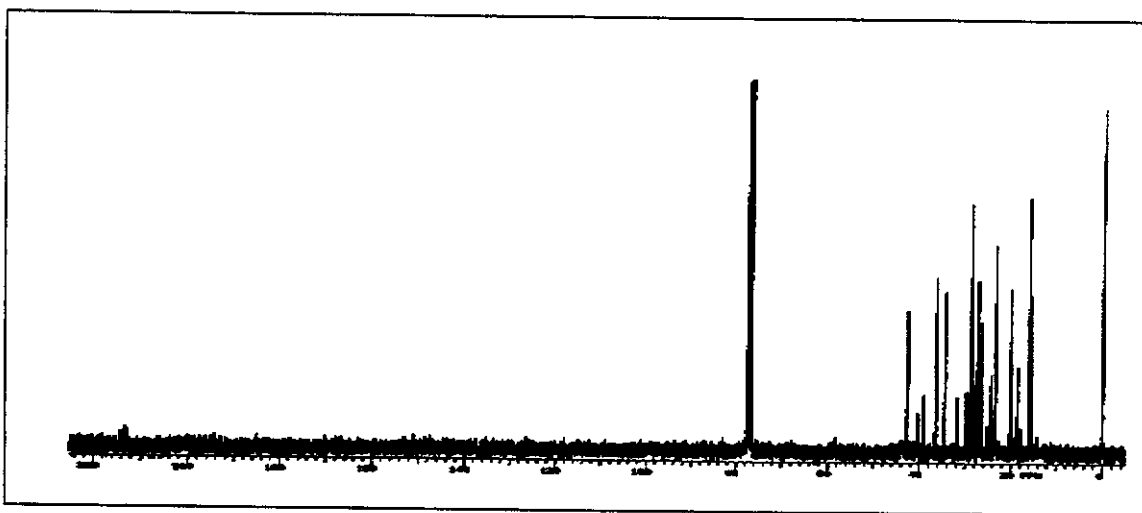
**RMN de <sup>13</sup>C (75,5 MHz, CDCl<sub>3</sub>/TMS):** δ 15,36 (CH<sub>3</sub>, C-14 ou C-12), 15,88 (CH<sub>3</sub>, C-14 ou C-12), 18,48 (C, C-3), 19,99 (CH<sub>2</sub>, C-5), 23,40 (CH<sub>2</sub>, C-9), 26,41 (CH-C-4), 27,15 (CH, C-2), 28,66 (CH<sub>3</sub>, C-13), 34,44 (CH<sub>2</sub>, C-10), 36,37 (CH, C-11), 42,50 (CH, C-1), 213,00 (C=O, C-7).



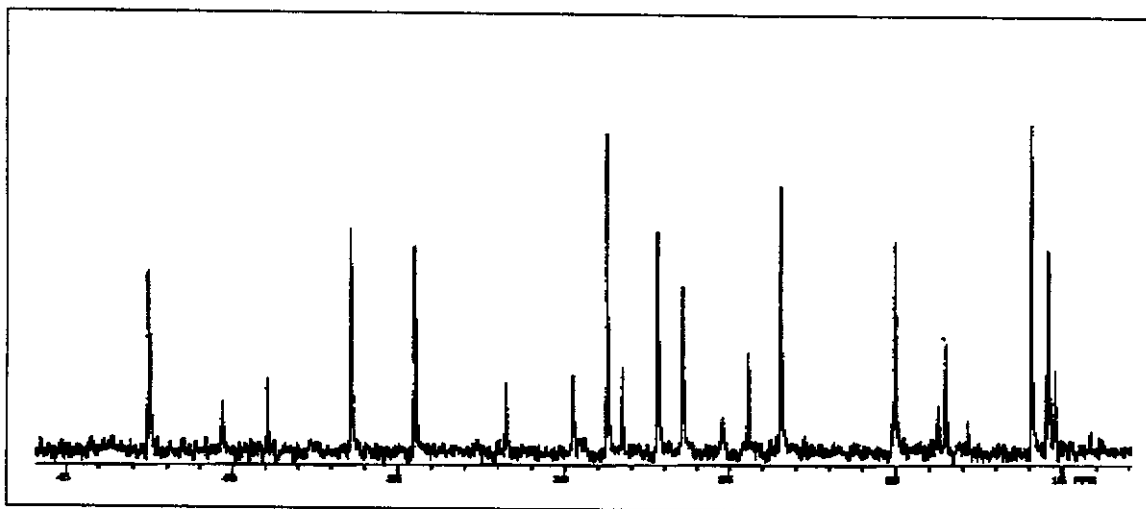
**Figura 72** Espectro de massas (70 eV) da aromadendrona-D<sub>3</sub> 15a



**Figura 73** Espectro de RMN de <sup>1</sup>H (300 MHz, CDCl<sub>3</sub>/TMS da aromadendrona-D<sub>3</sub> 15a



**Figura 74** Espectro de RMN de  $^{13}\text{C}$  { $^1\text{H}$ } (75,5 MHz,  $\text{CDCl}_3/\text{TMS}$ ) da aromadendrona-D<sub>3</sub> **15a**

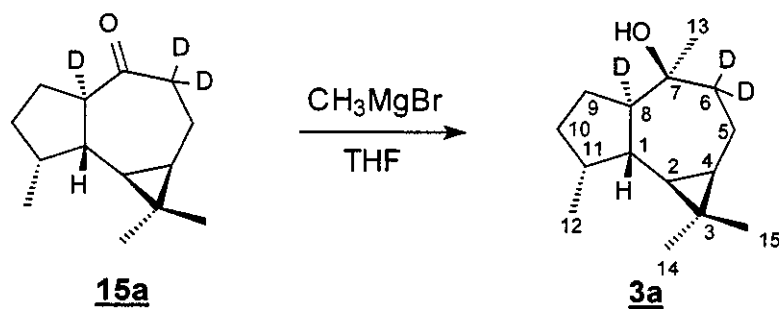


**Figura 75** Expansão do espectro de RMN de  $^{13}\text{C}$  { $^1\text{H}$ } da aromadendrona-D<sub>3</sub> **15a** (13-46 ppm)



**Figura 76** Espectro de RMN  $^{13}\text{C}$  { $^1\text{H}$ } (a) DEPT 135 b) DEPT 90) da aromadendrona-D<sub>3</sub> **15a**

#### 4.3.3 Síntese do *epi*-globulol-D<sub>3</sub> **3a**



A uma solução da mistura de isômeros da aromadendrona-D<sub>3</sub> **15a** e *allo*-aromadendrona-D<sub>3</sub> **16a** (8:2) (11,0 mg, 0,0488 mmol), em THF anidro (1,0 mL) e sob atmosfera de argônio, foi adicionado uma solução 1 mol/L de  $\text{CH}_3\text{MgBr}$  (0,1 mL, 0,10 mmol). Após 1h em agitação a temperatura ambiente, foi adicionado  $\text{H}_2\text{O}$  e a reação extraída com acetato de etila (3 x 2,0 mL). A fase orgânica foi seca

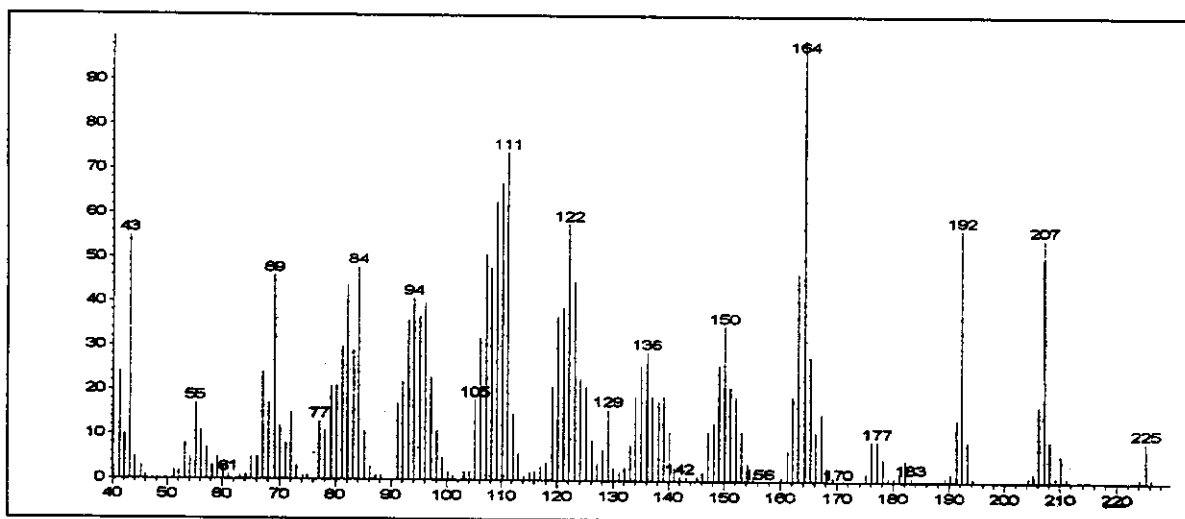
sobre  $\text{Na}_2\text{SO}_4$  anidro e o solvente evaporado em evaporador rotativo. Após análise por CG/EM, verificou-se a presença de 3 compostos, ambos com íon molecular de  $m/z$  225. Foi realizado uma separação em coluna cromatográfica utilizando-se sílica 230-400 mesh (7,0 X 1,0 cm) e como eluente uma mistura de hexano/acetato de etila (99:1) obtendo-se uma fração pura do *epi*-globulol-D<sub>3</sub> **3a** (7,3 mg, 0,0324 mmol, 66,39%) e uma fração impura (2,8 mg) que não foi identificada.

**EMAR:** calculado: 225,2172 encontrado: 225,2166

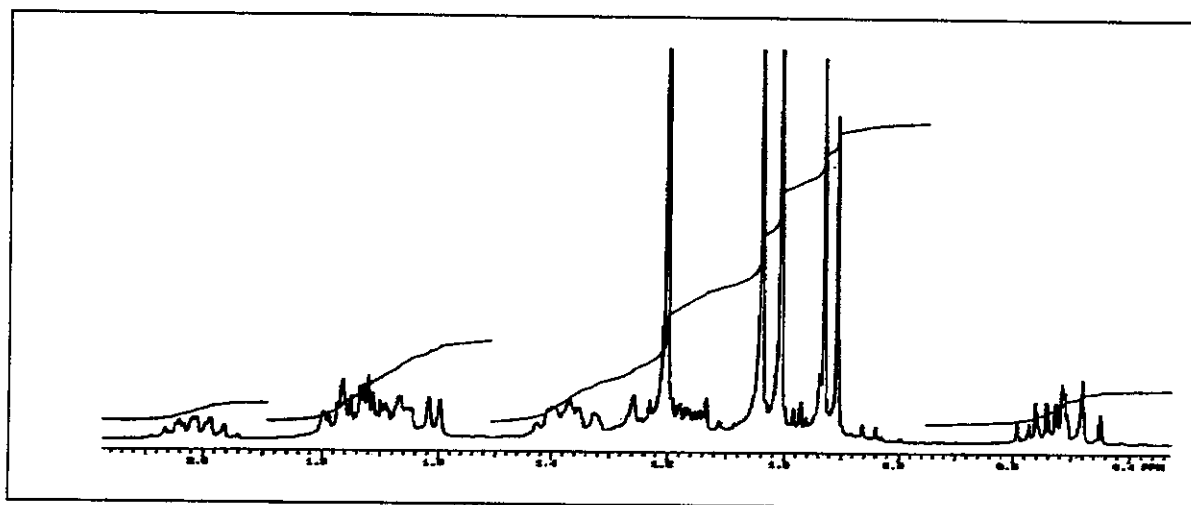
**EM (70 eV):**  $m/z$  (%) 225 (10), 207 (52), 192 (56), 164 (100), 150 (40), 122 (64), 111 (75), 69 (48), 43 (58).

**RMN de  $^1\text{H}$  (300 MHz,  $\text{CDCl}_3/\text{TMS}$ )** Atribuição parcial dos  $^1\text{H}$   $\delta$ : 0,42-0,60 (m, 2H, H-2 e H-4), 0,92 (d, 3H, H-12,  $J$  = 7,0), 1,00 (s, 3H, H-15), 1,04 (s, 3H, H-14), 1,20 (s, (3H, H-13), 1,92-2,10 (m, 1H, H-11).

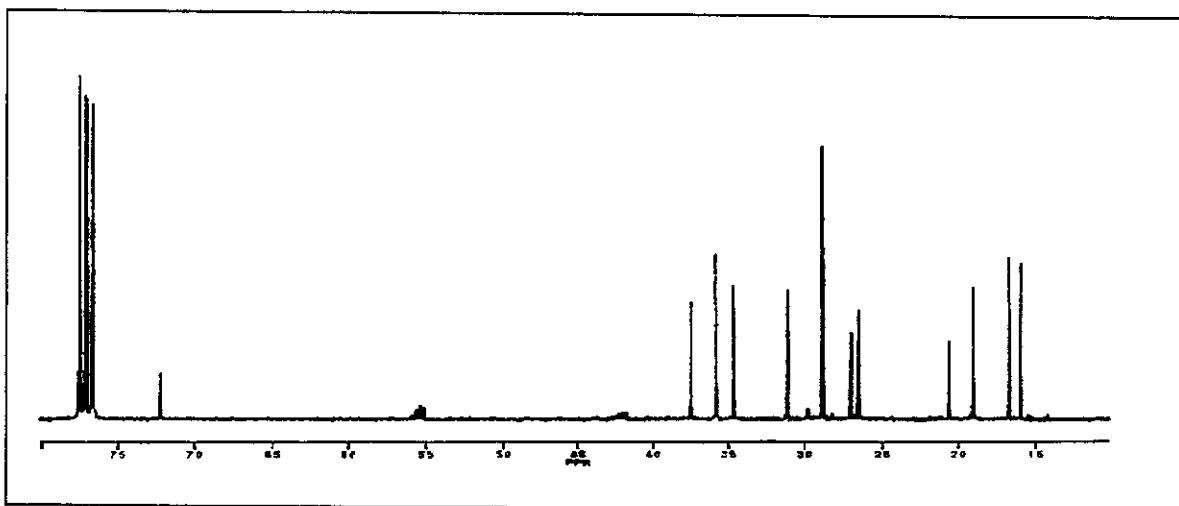
**RMN de  $^{13}\text{C}$  (75,5 MHz,  $\text{CDCl}_3/\text{TMS}$ )**  $\delta$ : 15,83 ( $\text{CH}_3$ , C-12 ou C-15), 16,57 ( $\text{CH}_3$ , C-12 ou C-15), 18,90 ( $\text{CH}_2$ , C-5), 20,54 (C, C-3), 26,42 ( $\text{CH}_2$ , C-9), 26,93 (CH, C-4), 28,74 ( $\text{CH}_3$ , C-14 e CH, C-2), 31,02 ( $\text{CH}_3$ , C-13), 34,58 ( $\text{CH}_2$ , C-10), 35,72 (CH, C-11), 37,39 (CH, C-1), 41,96 ( $\text{CD}_2$ , C-6), 55,30 (CD, C-8), 72,13 (C, C-7).



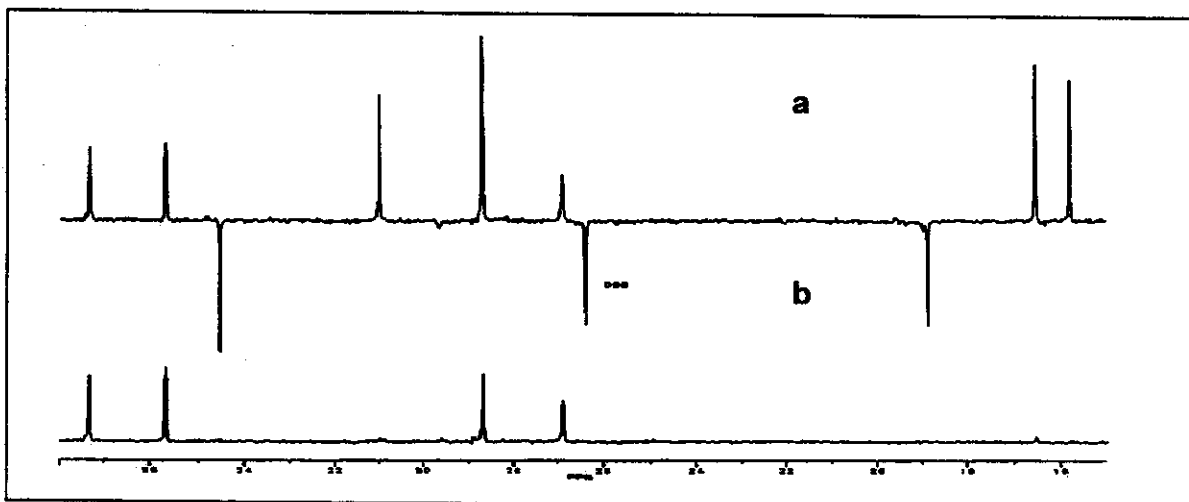
**Figura 77** Espectro de massas (70 eV) do *epi*-globulol-D<sub>3</sub> **3a**



**Figura 78** Espectro de RMN de  $^1\text{H}$  (300 MHz,  $\text{CDCl}_3/\text{TMS}$ ) do *epi*-globulol- $\text{D}_3$  3a



**Figura 79** Espectro de RMN de  $^{13}\text{C}$  { $^1\text{H}$ } (75,5 MHz,  $\text{CDCl}_3/\text{TMS}$ ) do *epi*-globulol- $\text{D}_3$  3a



**Figura 80** Espectro de RMN  $^{13}\text{C}$   $\{^1\text{H}\}$  (a) DEPT 135 b) DEPT 90) do epi-globulol-D<sub>3</sub> 3a

#### 4.4 Síntese do epi-globulol 2 á partir do (+)-aromadendreno 14

##### 4.4.1 Síntese da aromadendrona 15

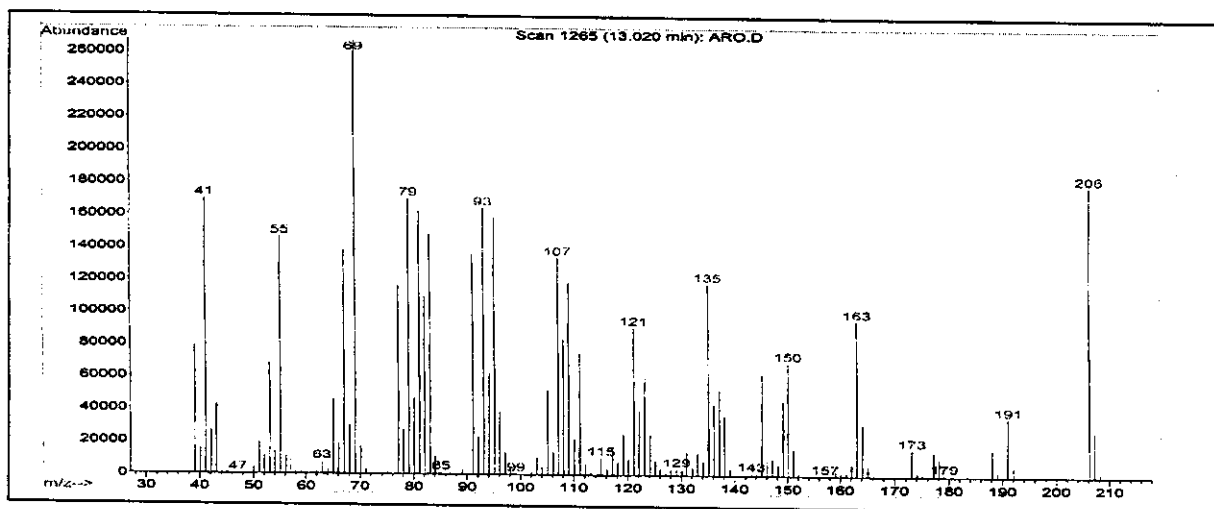
À uma solução de (+)-aromadendreno 14 (127,0 mg, 0,622 mmol) em  $\text{CH}_2\text{Cl}_2$  (30 mL), a -70°C, foi borbulhado  $\text{O}_3$  até a solução ter adquirido uma leve coloração azul (40 minutos). O excesso de  $\text{O}_3$  foi retirado passando-se uma corrente de  $\text{N}_2$ . Em seguida, foi adicionado  $\text{Me}_2\text{S}$  (excesso) e a mistura reacional permaneceu em agitação durante 2 h. A fase orgânica foi lavada com  $\text{H}_2\text{O}$  (3 x 10 mL) e seca sobre  $\text{Na}_2\text{SO}_4$  anidro. O solvente foi removido em evaporador rotativo, resultando um óleo amarelo-claro que foi cromatografado em coluna com sílica (230-400 mesh), sendo utilizado hexano puro seguido pelo sistema hexano/acetato de etila (95:5) como sistema eluente. Foram obtidos a aromadendrona 15 (49,5 mg, 0,242 mmol, 38,9% ) na forma de um sólido branco e uma mistura disatereoisomérica dos ozonídeos  $\alpha$  e  $\beta$  17 e 18 (14,4 mg, 0,057 mmol, 9,16% ), na forma de um óleo incolor.

**Dados para a aromadendrona 15**

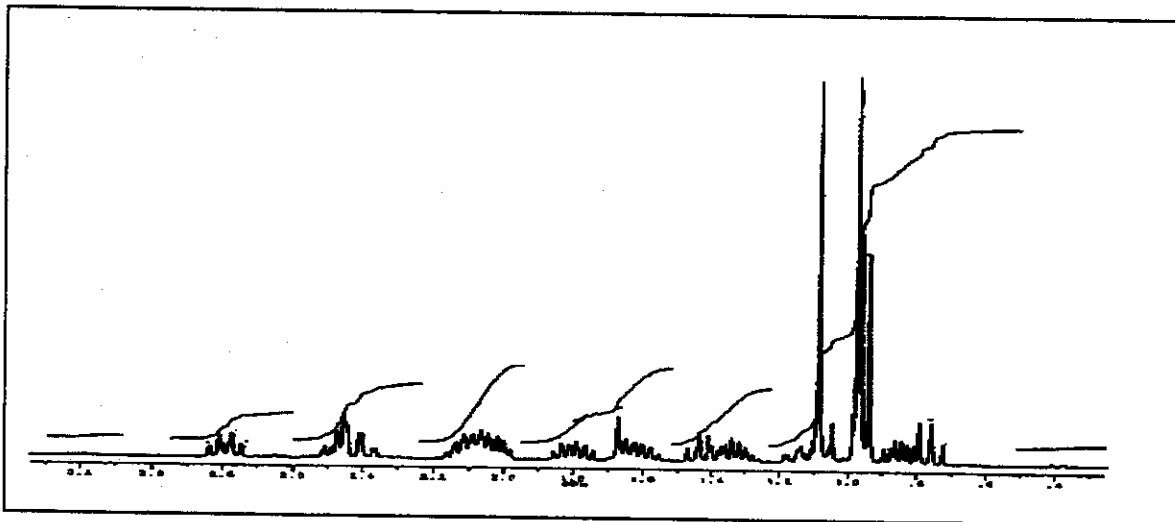
**EM (70 eV):**  $m/z$  (%) íon molecular 206 (66), 191 (13), 163 (33), 150 (24), 135 (43), 69 (100), 55 (61), 41 (65)

**RMN de  $^1\text{H}$  (300 MHz,  $\text{CDCl}_3/\text{TMS}$ ):**  $\delta$  0,76 (dd, 1H, H-2,  $J = 10,6$  e 9,4), 0,85 (ddd, 1H, H-4), 0,95 (d, 3H, H-12,  $J = 7,0$ ), 0,97 (s, 3H, H-14), 1,08 (s, 3H, H-13), 1,42 (dt, 1H, H-1,  $J = 10,8$  e 8,7), 2,10 (m, 1H, H-11), 2,30-2,55 (m, 2H, H-6), 2,79 (dt, 1H, H-8,  $J = 8,1$  e 12,7).

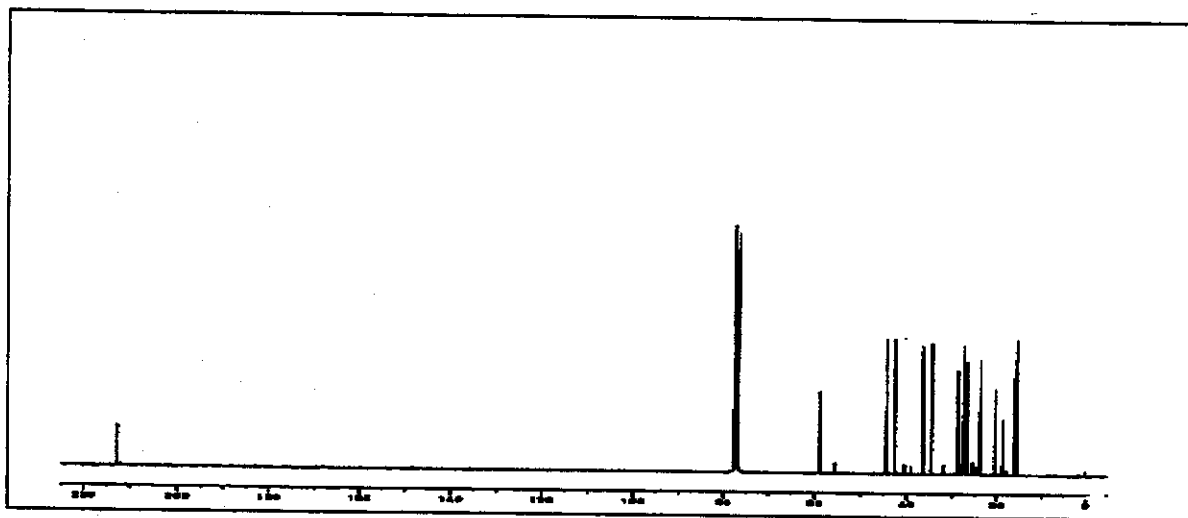
**RMN de  $^{13}\text{C}$  (75,5 MHz,  $\text{CDCl}_3/\text{TMS}$ ):**  $\delta$  15,32 ( $\text{CH}_3$ , C-14 ou C-12), 15,85 ( $\text{CH}_3$ , C-14 ou C-12), 18,48 (C, C-11), 20,12 ( $\text{CH}_2$ , C-5), 23,52 ( $\text{CH}_2$ , C-9), 26,44 (CH, C-4), 27,20 (CH, C-2), 28,62 ( $\text{CH}_3$ , C-13), 34,38 ( $\text{CH}_2$ , C-10), 36,31 (CH, C-11), 42,46 (CH, C-1), 44,23 ( $\text{CH}_2$ , C-6), 58,72 (CH, C-8), 212,71 (C=O, C-7).



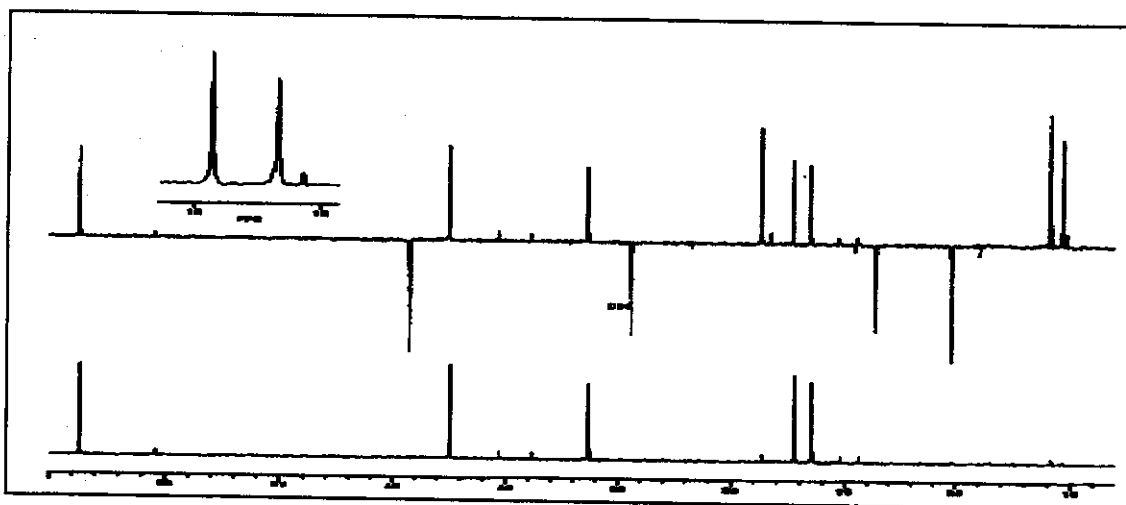
**Figura 81** Espectro de massas (70 eV) da aromadendrona 15



**Figura 82** Espectro de RMN de  $^1\text{H}$  (300 MHz,  $\text{CDCl}_3/\text{TMS}$ ) da aromadendrona 15



**Figura 83** Espectro de RMN de  $^{13}\text{C}$  { $^1\text{H}$ } (75,5 MHz,  $\text{CDCl}_3/\text{TMS}$ ) da aromadendrona 15



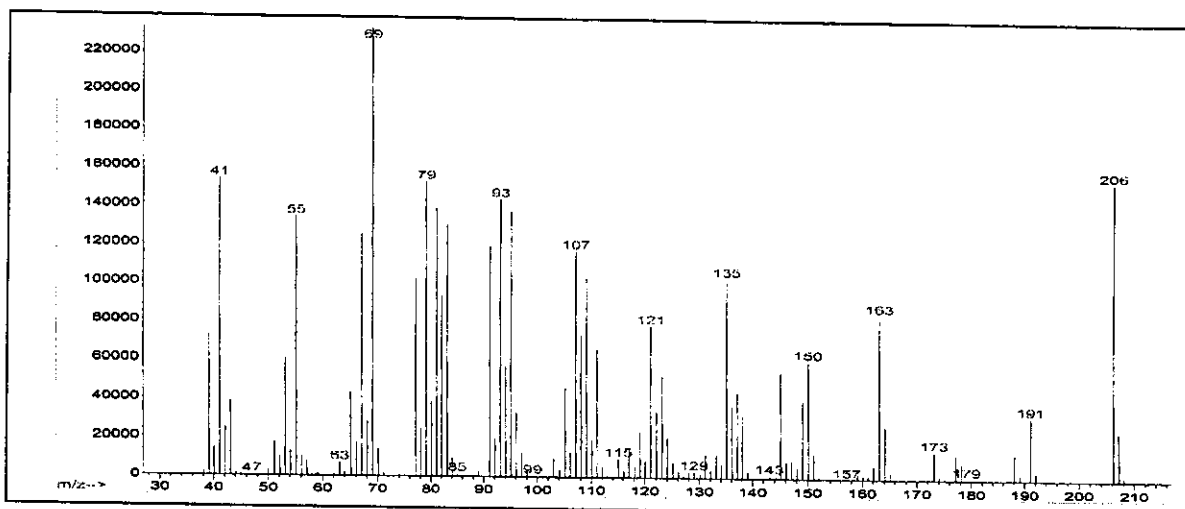
**Figura 84** Espectro de RMN  $^{13}\text{C}$  { $^1\text{H}$ } (a) DEPT 135 b) DEPT 90) da aromadendrona 15

**Dados para o ozonídeo majoritário na mistura:**

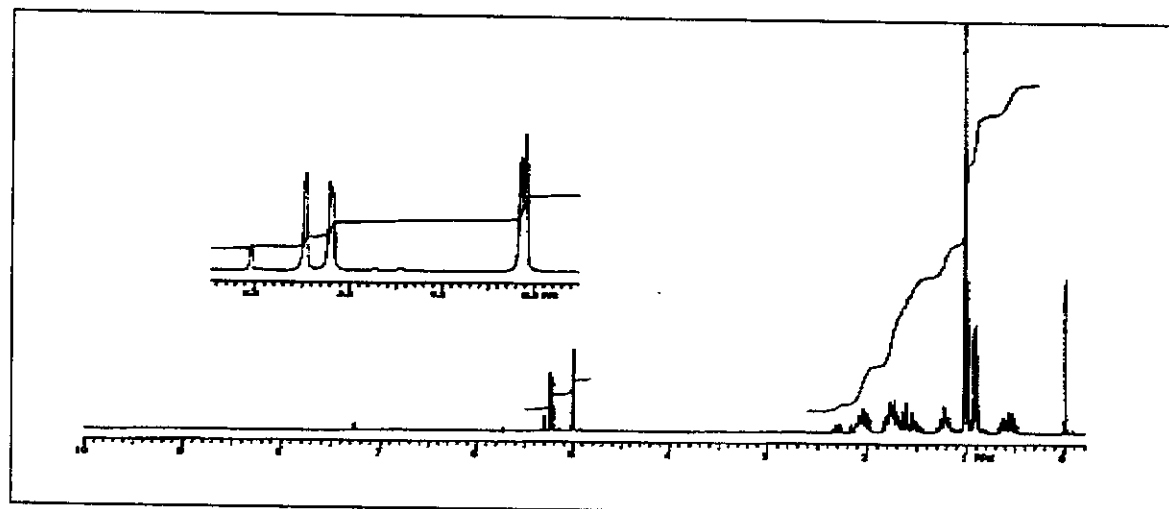
**EM (70eV):** m/z (%) íon molecular 206 (67), 191 (20), 163 (36), 150 (25), 135 (46), 69 (100), 55(58), 41 (67)

**RMN de  $^1\text{H}$  (300 MHz,  $\text{CDCl}_3/\text{TMS}$ ):** atribuição parcial de  $^1\text{H}$   $\delta$  0,46 (m, 2H, H-2 e H-4), 0,90 (d, 3H, H-12,  $J$  = 7,1), 0,99 (s, 3H, H-15), 1,01 (s, 3H, H-14), 1,96-2,12 (m, 1H, H-11), 2,24-2,38 (dt, 1H, H-8).

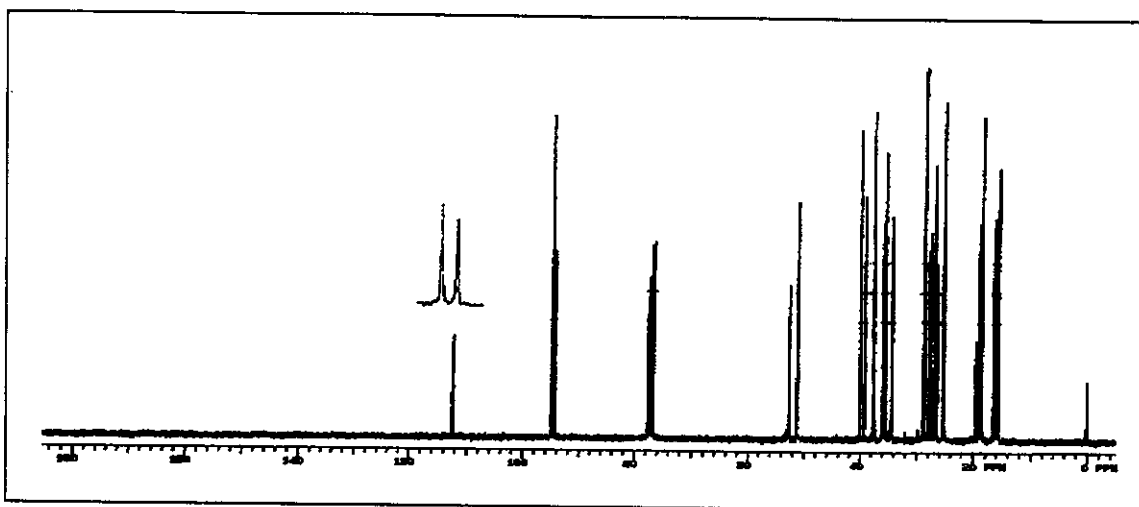
**RMN de  $^{13}\text{C}$  (75,5 MHz,  $\text{CDCl}_3/\text{TMS}$ ):**  $\delta$  15,55 ( $\text{CH}_3$ , C-15), 15,99 ( $\text{CH}_3$ , C-12), 18,87 ( $\text{CH}_2$ , C-5), 19,47 (C, C-3), 25,08 ( $\text{CH}_2$ , C-9), 26,37 (CH, C-4), 27,82 (CH, C-2), 28,67 ( $\text{CH}_3$ , C-14), 34,25 ( $\text{CH}_2$ , C-10), 35,90 (CH, C-11), 37,46 ( $\text{CH}_2$ , C-6), 39,23 (CH, C1), 52,61 (CH, C-7), 94,25 ( $\text{CH}_2$ , C-13), 112,18 (C, C-7).

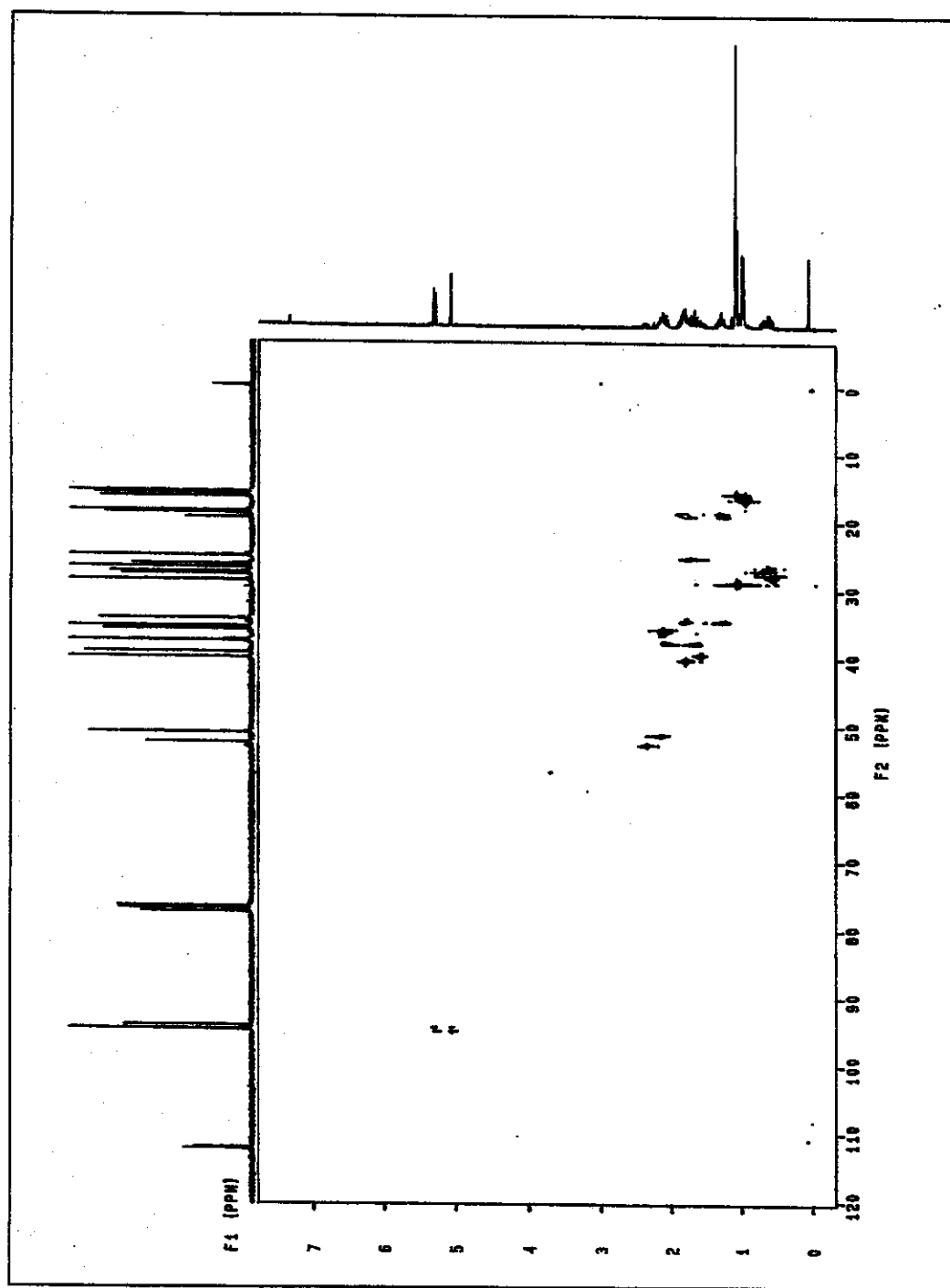


**Figura 85** Espectro de massas (70 eV) da mistura de ozonídeos 17 e 18

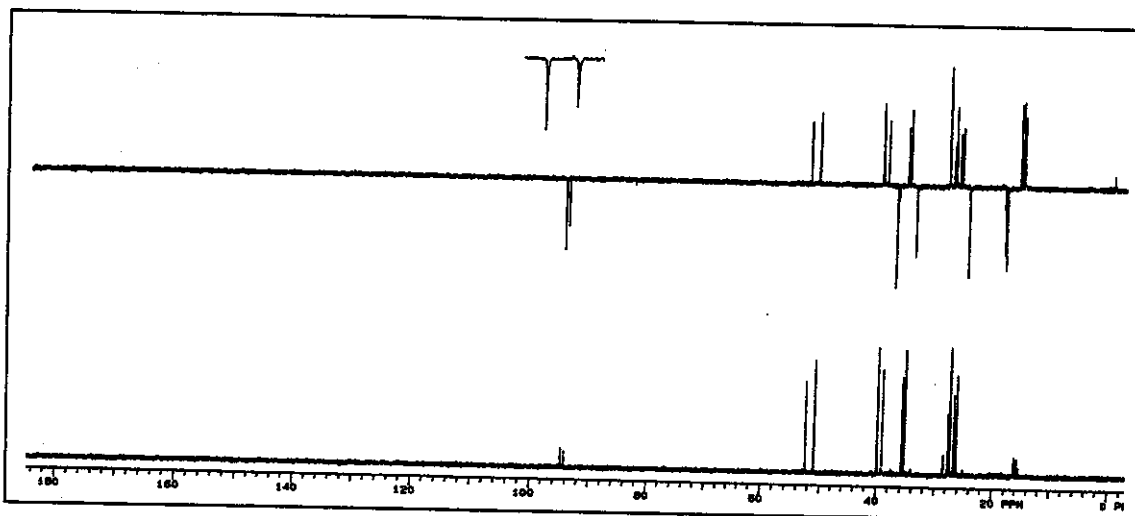


**Figura 86** Espectro de RMN de <sup>1</sup>H (300 MHz, CDCl<sub>3</sub>/TMS) da mistura dos ozonídeos 17 e 18

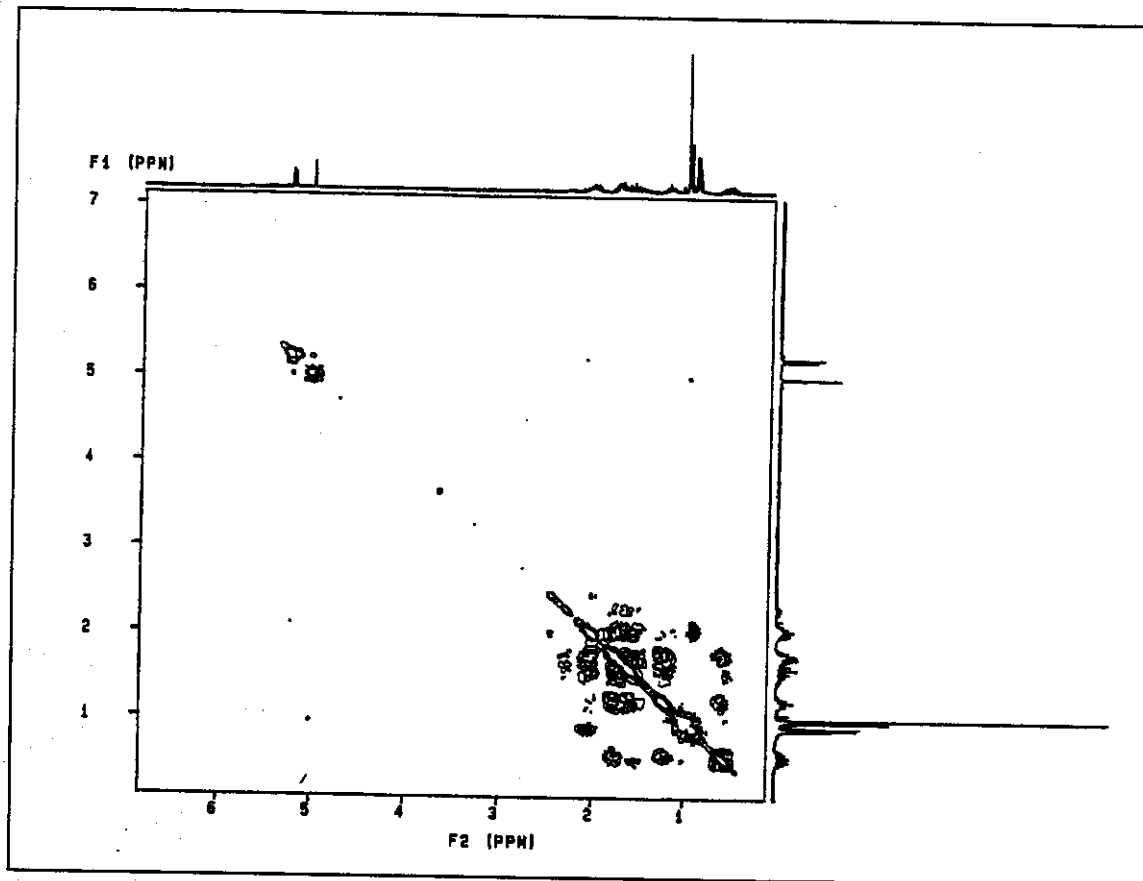




**Figura 88** Mapa de contorno do espectro de RMN de 2D de correlação direta dos deslocamentos químicos de  $^{13}\text{C}$  (75,5 MHz) e  $^1\text{H}$  (300 MHz) – HMQC da mistura dos ozonídeos 17 e 18

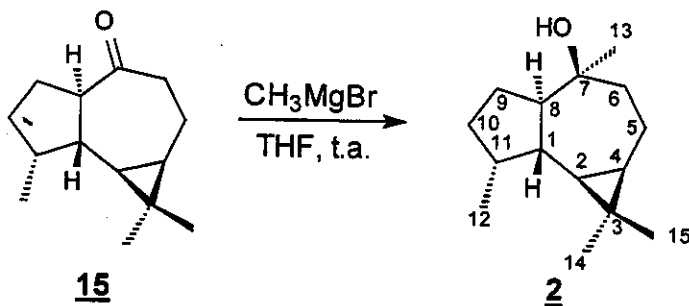


**Figura 89** Espectro de RMN  $^{13}\text{C}$  { $^1\text{H}$ } (a) DEPT 135 b) DEPT 90) da mistura dos ozonídeos 17 e 18



**Figura 90** Espectro de RMN de 2D de correlação  $^1\text{H}$ , $^1\text{H}$  (COSY) da mistura dos ozonídeos 17 e 18

#### 4.4.2 Síntese do epi-globulol 2 à partir da aromadendrona 15



A uma solução de aromadendrona 15 (25,0 mg, 0,1213 mmol), em THF anidro (2,0 mL), sob atmosfera de argônio e agitação, foi adicionado uma solução 1mol/L de  $\text{CH}_3\text{MgBr}$  (0,2 mL) e mantido em agitação durante 2h. Após, foi adicionado  $\text{H}_2\text{O}$  (3,0 mL), a reação extraída com acetato de etila ( $3 \times 5,0$  mL) e as fases orgânicas reunidas e secas sobre  $\text{Na}_2\text{SO}_4$  anidro. Após evaporação do solvente em evaporador rotativo, foram obtidos 27,0 mg de um óleo amarelo que foi cromatografado em coluna com sílica (230-400 mesh, 14,0 x 1,5 cm) fornecendo o epi-globulol 2 (17,0 mg, 0,0766, 63%). Os dados de RMN de  $^1\text{H}$ , RMN de  $^{13}\text{C}$  e EM estão de acordo com os obtidos anteriormente (Figuras 52 e 53, págs. 94 e 95).

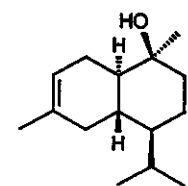
**EM (70eV):**  $m/z$  (%) íon molecular 222 (6), 204 (32), 189 (33), 175 (10), 161 (84), 109 (95), 43 (100).

**RMN de  $^1\text{H}$  (300 MHz,  $\text{CDCl}_3/\text{TMS}$ ):**  $\delta$  0,42-0,60 (m, 2H, H-2 e H-4), 0,92 (d, 3H, H-12,  $J = 7,0$ ), 1,00 (s, 3H, H-15), 1,04 (s, 3H, H-14), 1,20 (s, 3H, H-13), 1,92-2,10 (m, 1H, H-11).

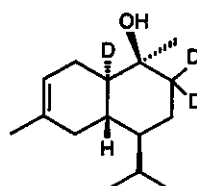
**RMN de  $^{13}\text{C}$  (75,5 MHz,  $\text{CDCl}_3/\text{TMS}$ ):**  $\delta$  15,85 ( $\text{CH}_3$ , C-12 ou C-15), 16,58 ( $\text{CH}_3$ , C-12 ou C-15), 19,11 ( $\text{CH}_2$ , C-5), 20,56 ( $\text{C}^4$ , C-3), 26,56 ( $\text{CH}_2$ , C-9), 26,99 (CH, C-

4), 28,74 (CH<sub>3</sub>, C-14), 28,79 (CH, C-2), 31,11 (CH<sub>3</sub>, C-13), 34,59 (CH<sub>2</sub>, C-10), 35,71 (CH, C-11), 37,48 (CH, C-1), 42,81 (CH<sub>2</sub>, C-6), 55,86 (CH, C-8), 72,30 (C4°, C-7).

#### 4.5 Síntese do ( $\pm$ )-cadinol axial **4** e **4a**

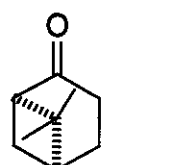


**4**  
( $\pm$ )-cadinol axial



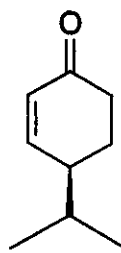
**4a**  
( $\pm$ )-cadinol axial-D<sub>3</sub>

##### 4.5.1 Síntese da ( $\pm$ )-criptona **20**



**19**  
C<sub>9</sub>H<sub>14</sub>O  
PM 138.1045

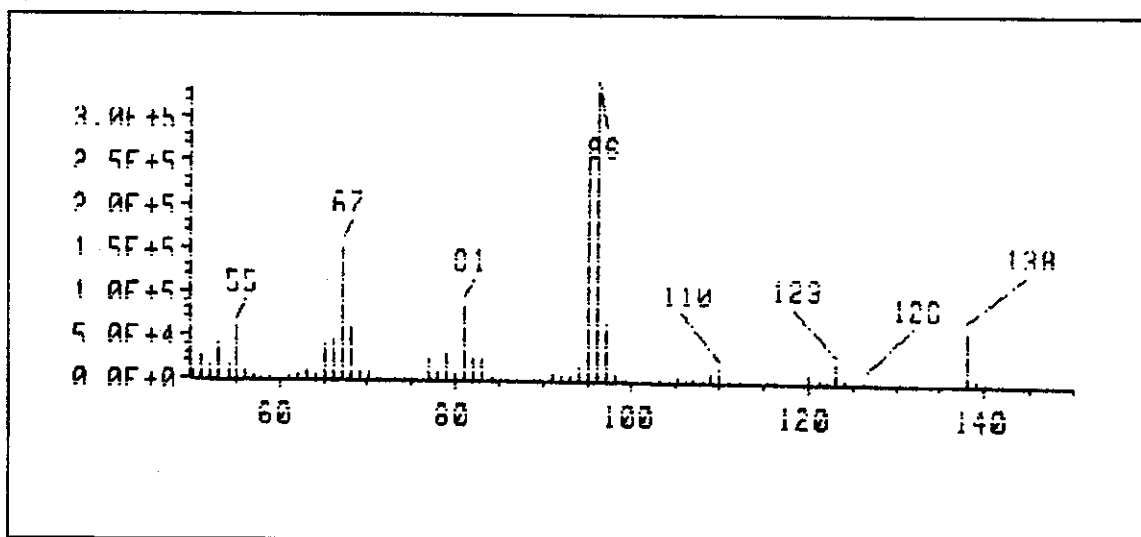
AlCl<sub>3</sub>  
CH<sub>2</sub>Cl<sub>2</sub>, 0°C  
82%



**20**  
C<sub>9</sub>H<sub>14</sub>O  
PM 138.1045

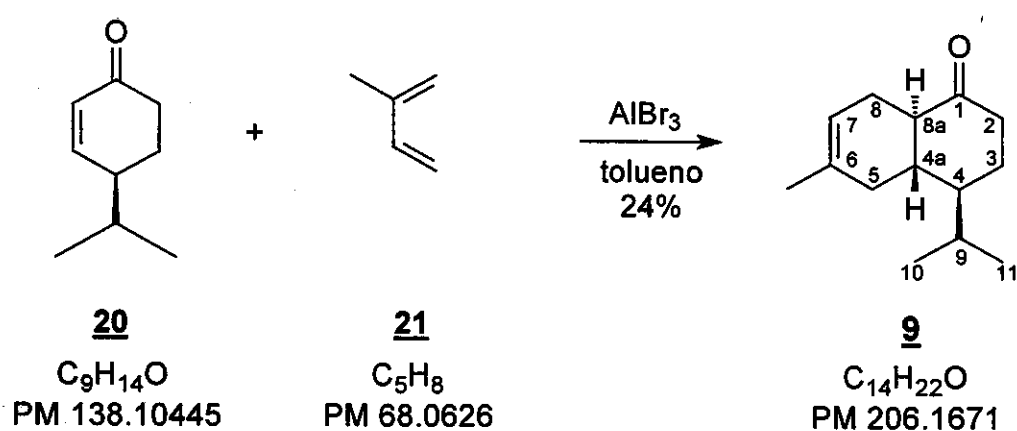
À uma solução de 424,0 mg (3,072 mmol) de ( $\pm$ )-nopinona **19** em CH<sub>2</sub>Cl<sub>2</sub>, sob atmosfera de argônio e a 0°C, foi adicionado 823,0 mg (6,15 mmol) de AlCl<sub>3</sub>. Após 2 h em agitação o conteúdo reacional foi vertido sobre gelo e extraído com CH<sub>2</sub>Cl<sub>2</sub> (3 x 10 mL). As fases orgânicas foram combinadas, secas sobre Na<sub>2</sub>SO<sub>4</sub> anidro e o solvente foi evaporado em evaporador rotativo. Obteve-se um óleo amarelo, que foi purificado em coluna com sílica (230-400 mesh) utilizando-se como eluente uma mistura de hexano/acetato de etila (95:5). Foi obtido 350,0 mg (2,53 mmol, 82,48%) de ( $\pm$ )-criptona **20** que foi identificada através de CG/EM e comparação com padrão existente no laboratório.

**EM (70eV): *m/z* (%) ion molecular 138 (25), 123 (5), 120 (2), 110 (3), 96 (100), 95 (85), 81 (23), 67 (45), 55 (15).**



**Figura 91 Espectro de massas (70 eV) da ( $\pm$ )-criprona **20****

#### 4.5.2 Síntese da ( $\pm$ )-*trans*-octalona **9**



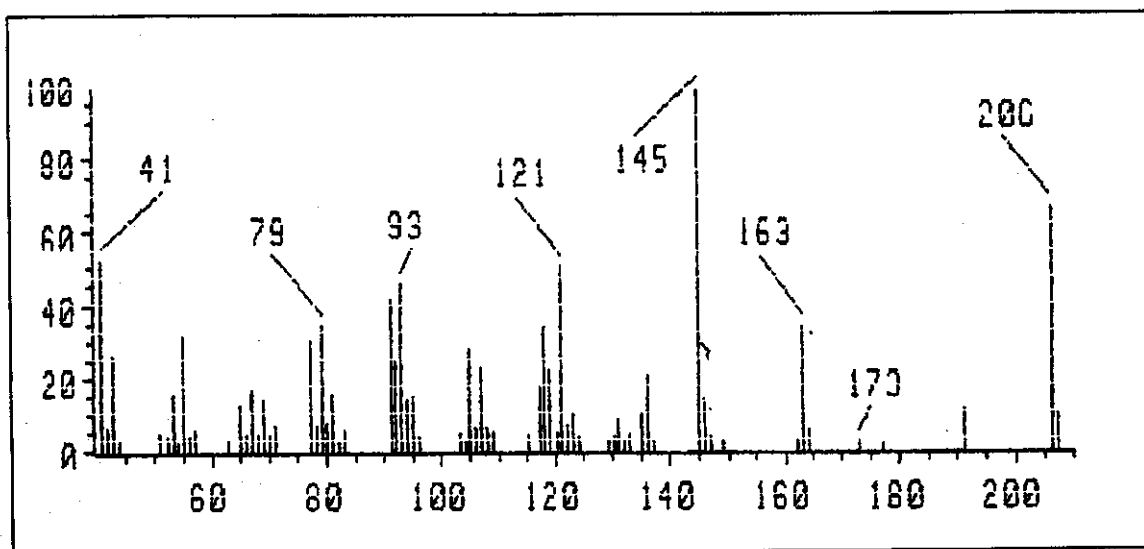
A uma solução de  $AlBr_3$  (1,0 g, 3,76 mmol) em tolueno anidro (60 mL), a 0°C, foi adicionado, lentamente e sob agitação, uma solução de criptona **20** (971,0 mg, 7,04 mmol) em tolueno anidro (10 mL). Após 40 minutos, foi adicionado uma solução de isopreno (13 mL, 22,15 mmol) em tolueno (10 mL), permanecendo a reação em agitação durante 12 h a 60°C. A mistura reacional foi vertida sobre gelo

e água e extraída com éter etílico ( $3 \times 10$  mL). As fases orgânicas foram reunidas, lavadas com uma solução de  $\text{NaHCO}_3$  10%, secas sobre  $\text{Na}_2\text{SO}_4$  anidro e filtradas. Após evaporação do solvente em evaporador rotativo, obteve-se um óleo escuro que foi destilado a pressão reduzida, obtendo-se a ( $\pm$ )-*trans*-octalona **9** (358,0 mg, 1,74 mmol, 24,72 %), que foi identificada através de seus dados espectroscópicos.

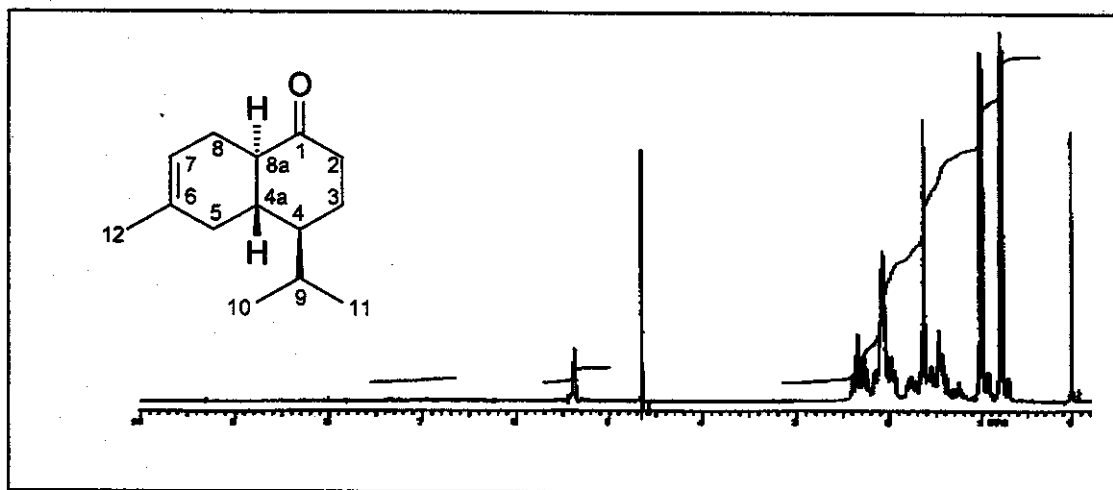
**EM (70eV):**  $m/z$  (%) ion molecular 206 (65), 163 (32), 145 (100), 121 (51), 79 (32), 41 (51).

**RMN de  $^1\text{H}$  (300 MHz,  $\text{CCl}_4/\text{TMS}$ ):**  $\delta$  0,77 (d, 3H, H-10,  $J = 7,0$  Hz), 1,0 (d, 3H, H-11,  $J = 7,0$  Hz), 1,63 (s, 3H, H-12), 2,10-2,44 (m, 2H, H-2), 5,38 (s<sub>(l)</sub>, 1H, H-7).

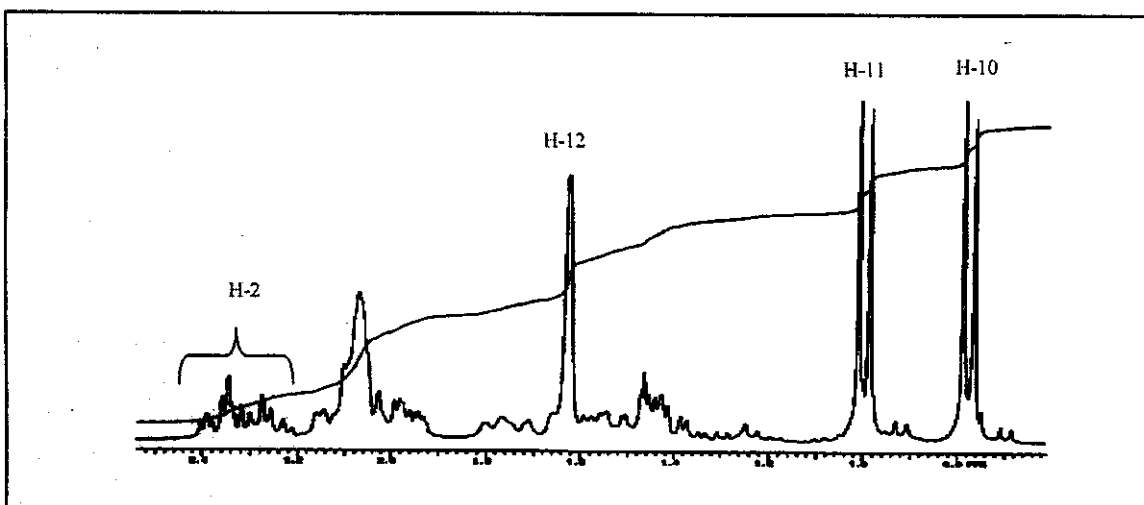
**RMN de  $^{13}\text{C}$  (75,5 MHz,  $\text{CCl}_4/\text{TMS}$ ):**  $\delta$  14,92 ( $\text{CH}_3$ , C-11), 21,72 ( $\text{CH}_3$ , C-10), 23,34 ( $\text{CH}_3$ , C-12), 24,43 ( $\text{CH}_2$ , C-8), 24,96 ( $\text{CH}_2$ , C-3), 26,03 (CH, C-9), 35,92 ( $\text{CH}_2$ , C-5), 40,81 ( $\text{CH}_2$ , C-2), 41,37 (CH, C-4a), 47,81 (CH, C-4), 48,93 (CH, C-8a), 120,38 (CH, C-7), 131,07 (C, C-6), 207,80 (C =O, C-1).



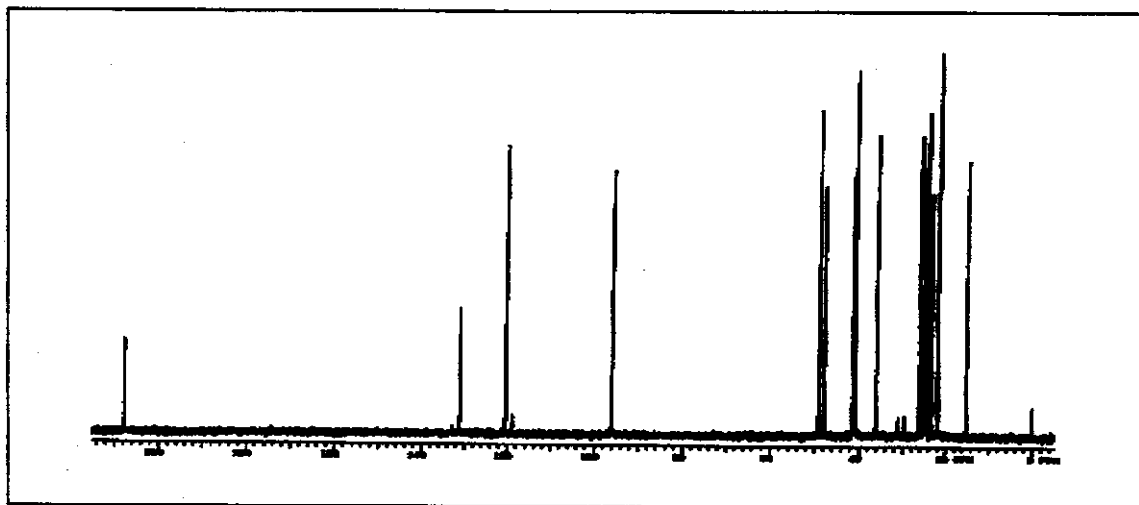
**Figura 92** Espetro de massas (70 eV) da ( $\pm$ )-*trans*-octalona **9**



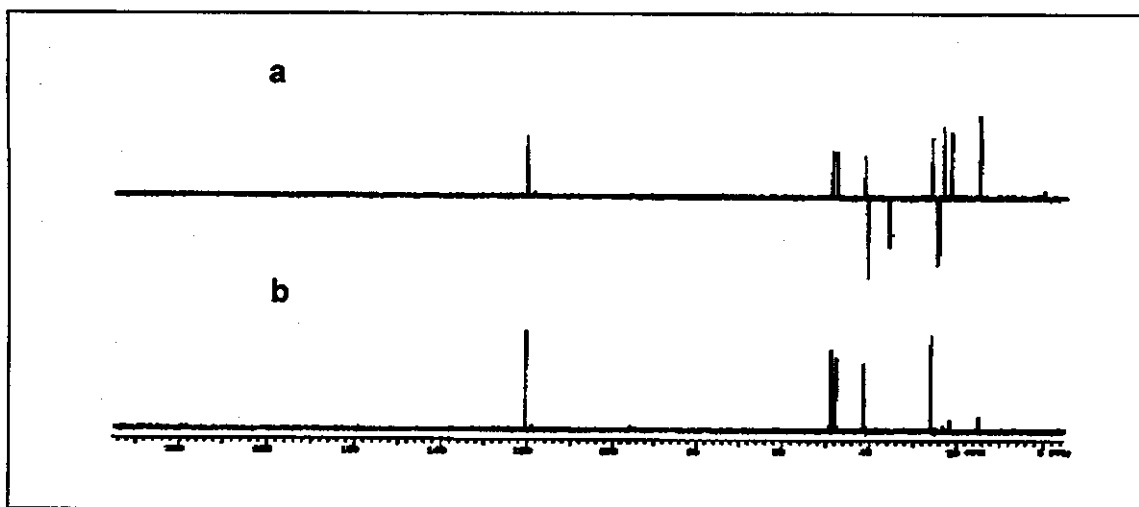
**Figura 93** Espectro de RMN de  $^1\text{H}$  (300 MHz,  $\text{CCl}_4/\text{TMS}$ ) da  $(\pm)$ -*trans*-octalona **9**



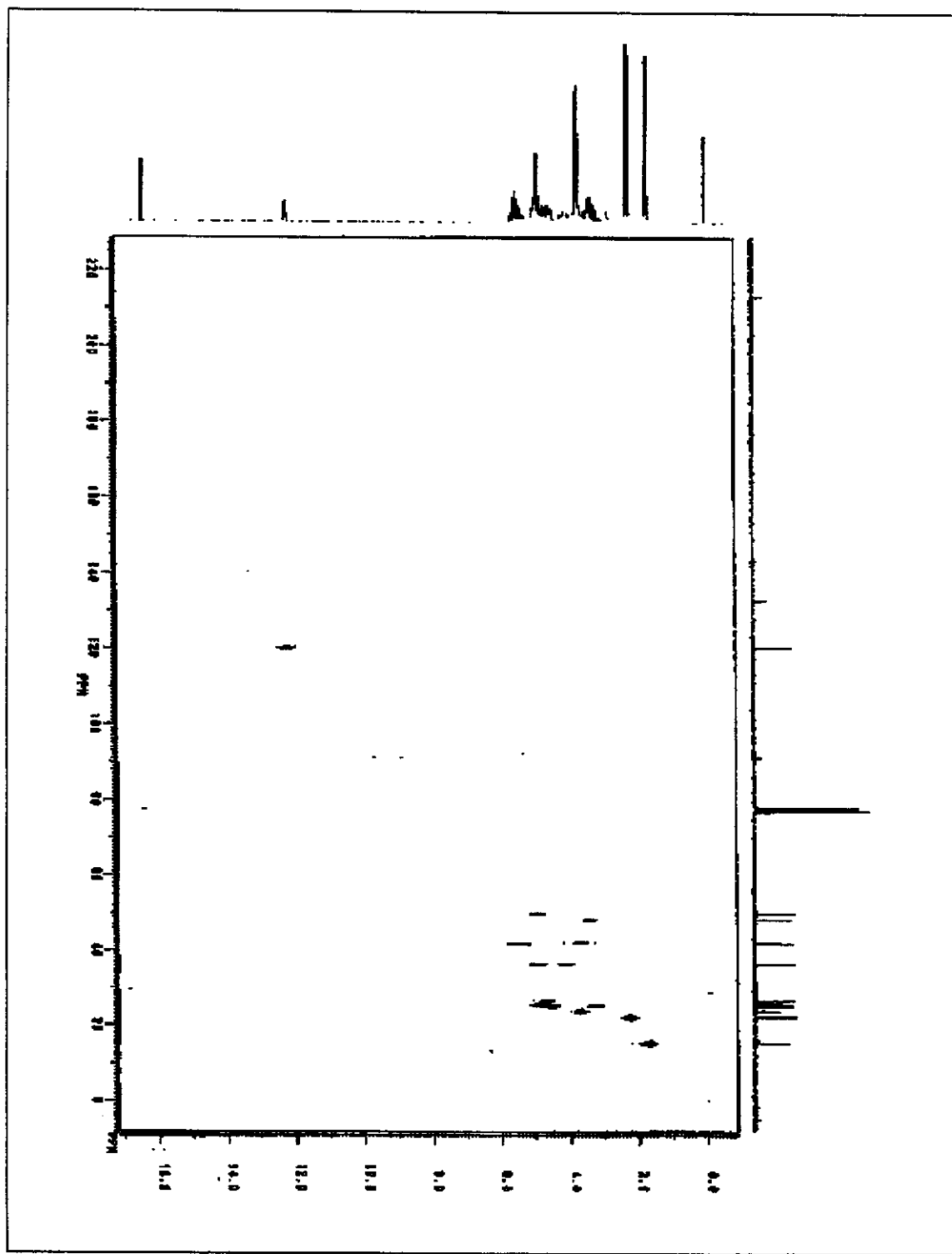
**Figura 94** Expansão do Espectro de RMN de  $^1\text{H}$  da  $(\pm)$ -*trans*-octalona **9** (0,6-2,5 ppm)



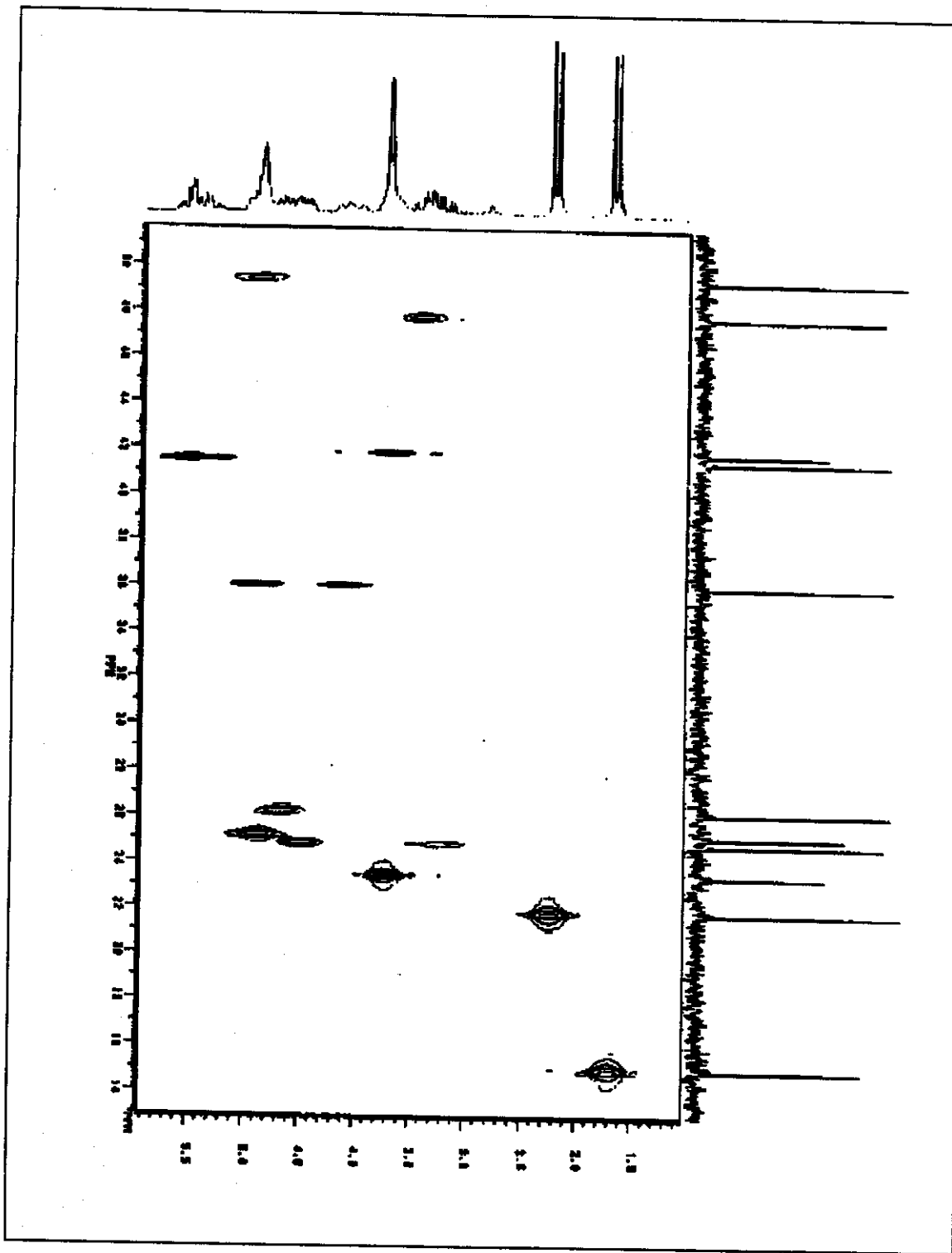
**Figura 95** Espectro RMN de  $^{13}\text{C}$  { $^1\text{H}$ } (75,5 MHz,  $\text{CCl}_4/\text{TMS}$ ) da ( $\pm$ )-*trans*-octalona **9**



**Figura 96** Espectro de RMN  $^{13}\text{C}$  { $^1\text{H}$ } (a) DEPT 135 b) DEPT 90) da ( $\pm$ )-*trans*-octalona **9**

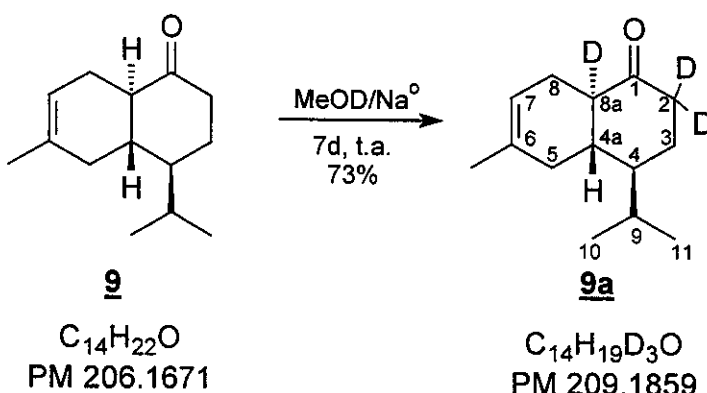


**Figura 97** Mapa de contorno do Espectro de RMN de 2D de correlação direta dos deslocamentos químicos de <sup>13</sup>C (75,5 MHz) e <sup>1</sup>H (300 MHz) - HETCOR da ( $\pm$ )-*trans*-octalona **9**



**Figura 98** Expansão do mapa de contorno do Espectro de RMN de 2D de correlação direta dos deslocamentos químicos de <sup>13</sup>C (75,5 MHz) e <sup>1</sup>H (300 MHz) -HETCOR da ( $\pm$ )-*trans*-octalona **9** (13-52 ppm)

#### 4.5.3 Reação de deuteração da ( $\pm$ )-*trans*-octalona 9

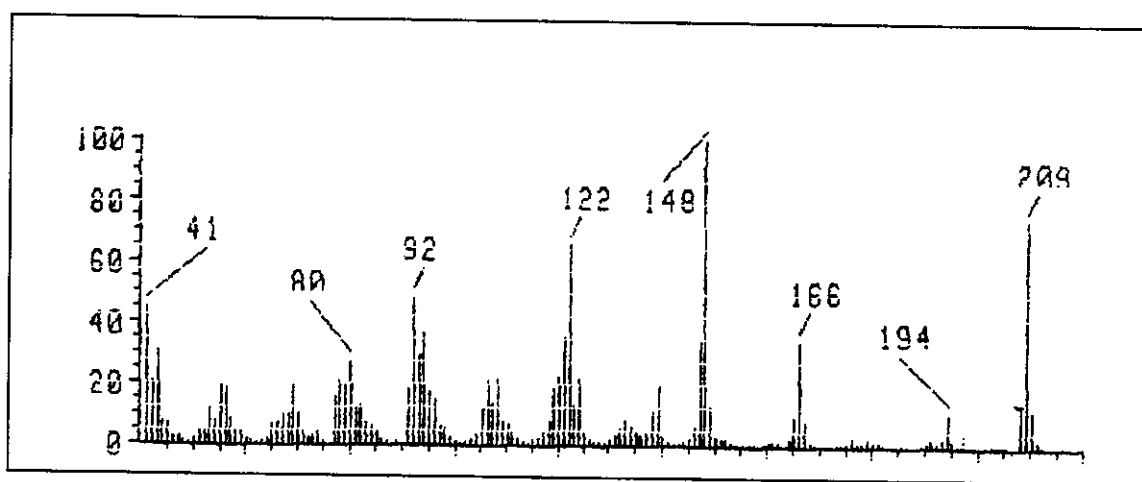


À uma solução de MeOD (0,5 mL) e sódio metálico (1,15 mg), a temperatura ambiente e sob atmosfera de argônio, foi adicionado uma solução de ( $\pm$ )-*trans*-octalona **9** (40,0 mg, 0,194 mmol) em MeOD (1,0 mL). A reação permaneceu em agitação durante 7 dias, sendo que o grau de deuteração foi monitorado através de CG/EM. O solvente foi removido em evaporador rotativo e o óleo resultante foi filtrado em uma pequena coluna com sílica (230-400 mesh), com auxílio de CH<sub>2</sub>Cl<sub>2</sub>. Após remoção do solvente, obteve-se a ( $\pm$ )-*trans*-octalona-D<sub>3</sub> **9a** (30,0 mg, 0,143 mmol, 73,71%) com a presença de traços da *cis*-octalona.

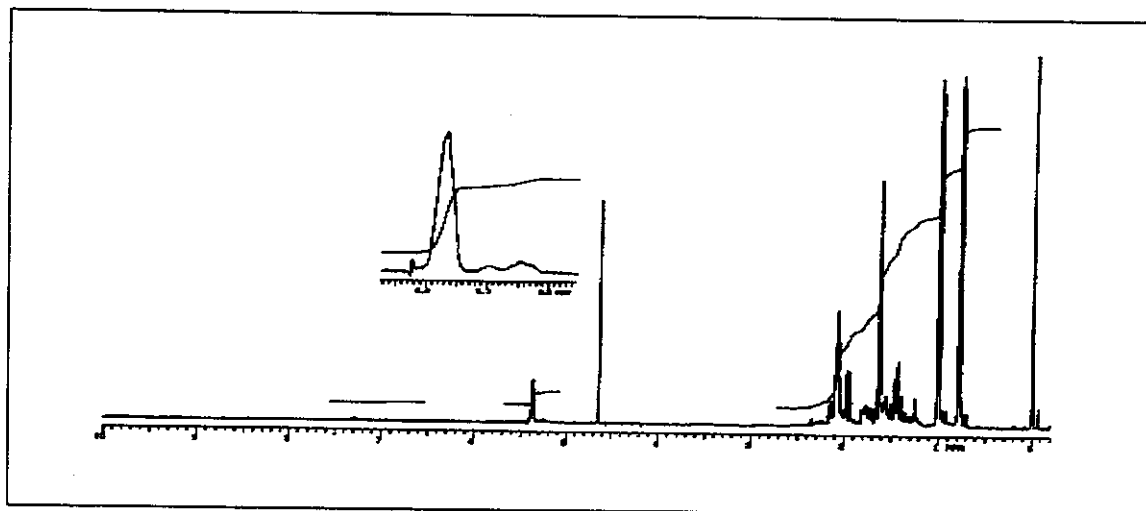
**EM (70 eV):**  $m/z$  (%) ion molecular 209 (70), 194 (7), 166 (28), 148 (100), 122 (56), 92 (44), 80 (23), 41 (42).

**RMN de  $^1\text{H}$  (300 MHz,  $\text{CCl}_4/\text{TMS}$ ):** atribuição parcial de  $^1\text{H}$   $\delta$  0,77 (d, 3H, H-10 ,  $J$  = 7,0 Hz), 1,0 (d, 3H, H-11 ,  $J$  = 7,0 Hz), 1,63 (s, 3H, H-12), 5,38 (s(l), 1H, H-7).

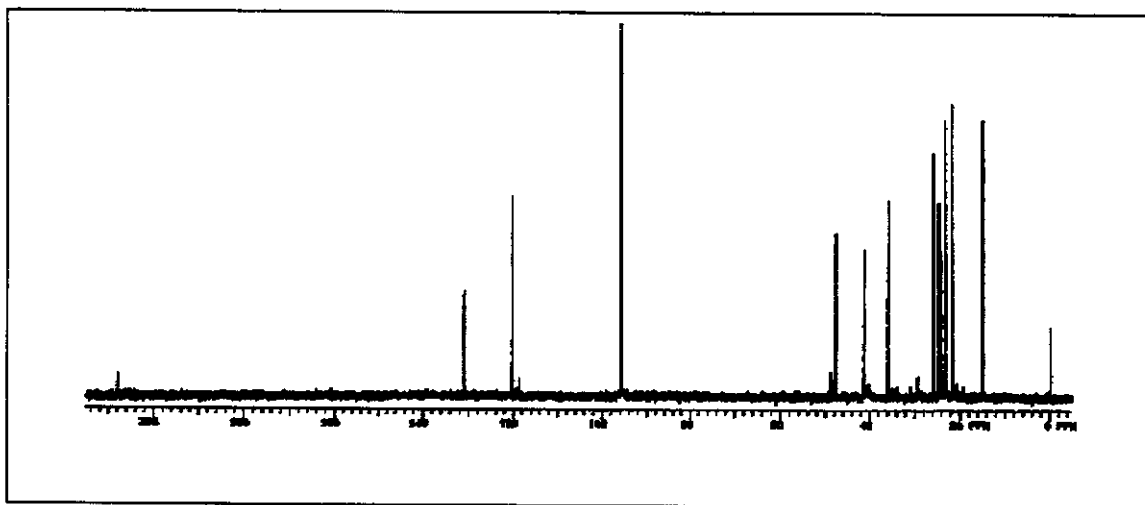
**RMN de  $^{13}\text{C}$  (75,5 MHz,  $\text{CCl}_4/\text{TMS}$ ):**  $\delta$  14,92 ( $\text{CH}_3$ , C-11), 21,73 ( $\text{CH}_3$ , C-10), 23,32 ( $\text{CH}_3$ , C-12), 24,28 ( $\text{CH}_2$ , C-8), 24,80 ( $\text{CH}_2$ , C-3), 26,03 ( $\text{CH}$ , C-9), 35,91 ( $\text{CH}_2$ , C-5), 41,33 ( $\text{CH}$ , C-4a), 47,81 ( $\text{CH}$ , C-4), 120,42 ( $\text{CH}$ , C-7), 131,02 (C, C-6), 207,90 (C=O, C-1).



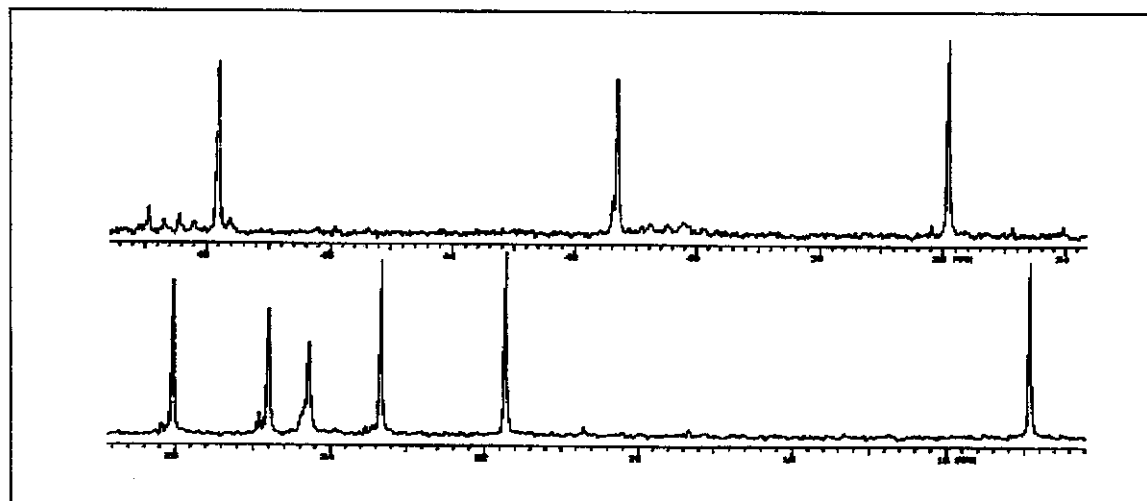
**Figura 99** Espectro de massas (70 eV) da ( $\pm$ )-*trans*-octalona-D<sub>3</sub> **9a**



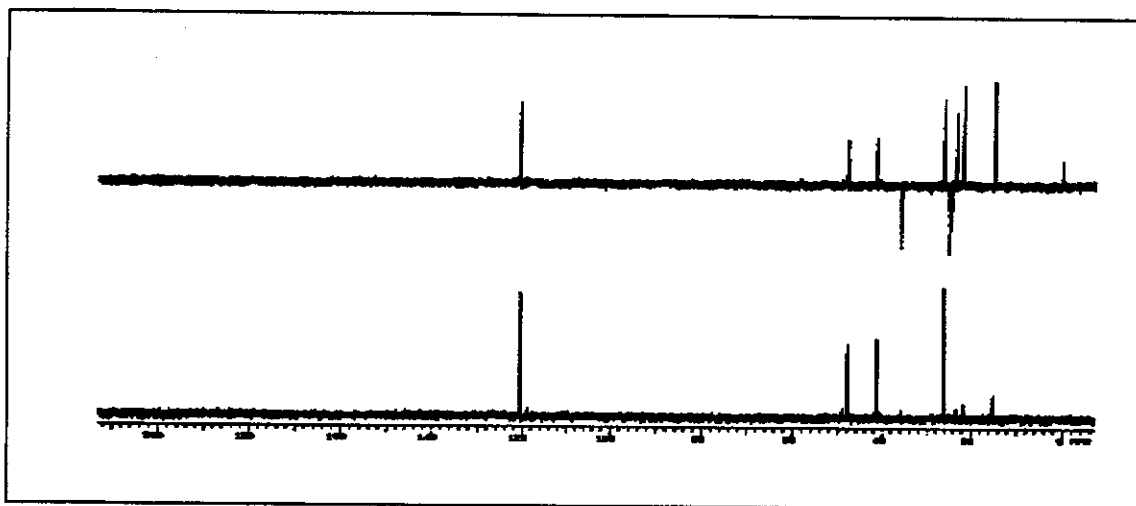
**Figura 100** Espectro de RMN de <sup>1</sup>H (300 MHz, CCl<sub>4</sub>/TMS) da ( $\pm$ )-*trans*-octalona-D<sub>3</sub> **9a**



**Figura 101** Espectro de RMN de  $^{13}\text{C}$  { $^1\text{H}$ } (75,5 MHz,  $\text{CCl}_4/\text{TMS}$ ) da ( $\pm$ )-*trans*-octalona-D<sub>3</sub> **9a**

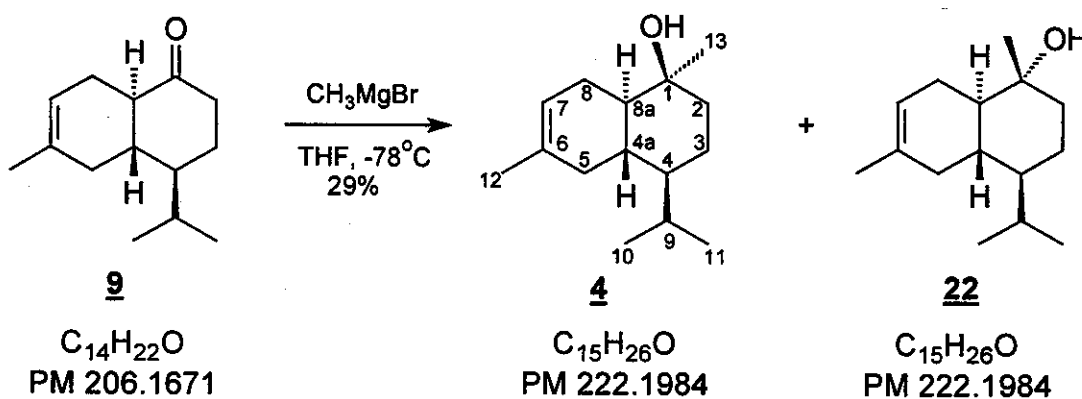


**Figura 102** Expansão do espectro de RMN de  $^{13}\text{C}$  { $^1\text{H}$ } da ( $\pm$ )-*trans*-octalona-D<sub>3</sub> **9a** (13-50 ppm)



**Figura 103** Espectro de RMN  $^{13}\text{C}$  { $^1\text{H}$ } (a) DEPT 135 b) DEPT 90) da ( $\pm$ )-*trans*-octalona-D<sub>3</sub> **9a**

#### 4.5.4 Reação da ( $\pm$ )-*trans*-octalona **9** com $\text{CH}_3\text{MgBr}$

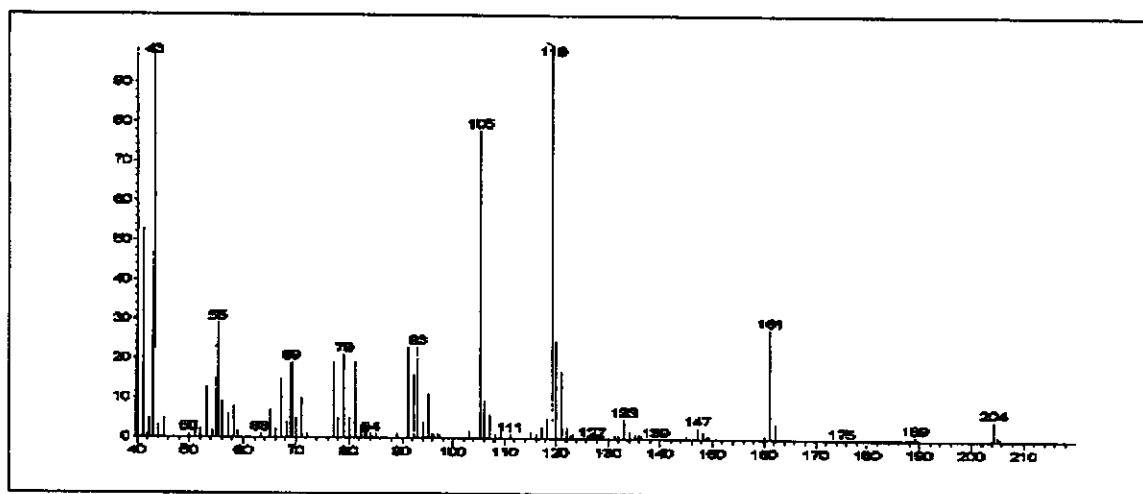


À uma solução de ( $\pm$ )-*trans*-octalona **9** (58,0 mg, 0,281 mmol), em THF anidro (5,0 mL), sob atmosfera de argônio e agitação a -78°C, foi adicionado uma solução de  $\text{CH}_3\text{MgBr}$  1,0 mol/L (excesso). A reação permaneceu em agitação durante a noite e, após, uma solução de  $\text{NH}_4\text{Cl}$  foi adicionada. A solução resultante foi extraída com éter etílico (3 X 10,0 mL), as fases orgânicas foram reunidas e secas sobre  $\text{Na}_2\text{SO}_4$  anidro. O solvente foi evaporado em evaporador rotativo e o óleo obtido, foi cromatografado em coluna com sílica (70-230 mesh, 15,0 X 1,5 cm), utilizando-se uma mistura de hexano/acetato de etila (99:1) como

eluente. Obteve-se o cadinol axial 4 puro, na forma de um óleo incolor (18,60 mg, 0,084 mmol, 29,89 %) e uma fração contendo o cadinol equatorial 22, sendo impossível obtê-lo de forma pura.

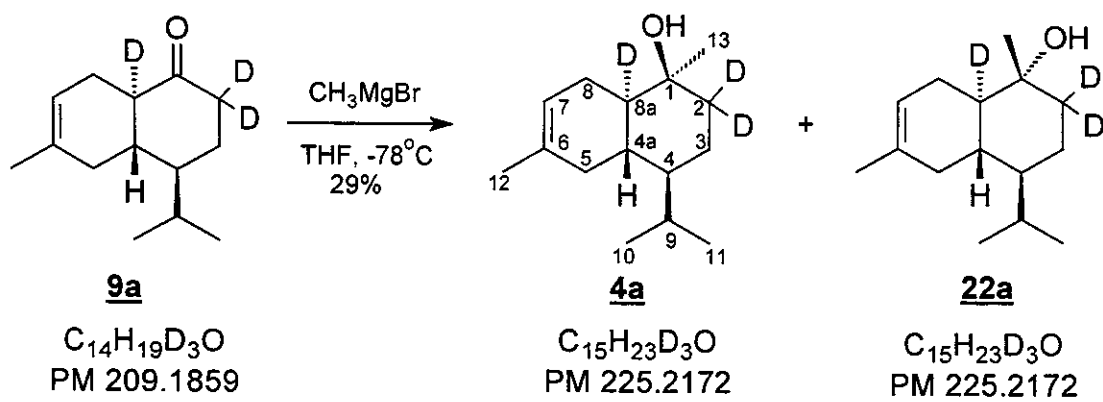
**EM (70 eV):**  $m/z$  (%) ion molecular 222 (0), 204 (7), 189 (2), 161 (28), 119 (100), 105 (78), 43 (98).

**EMAR:** calculado ( $M-H_2O$ ): 204,1878 encontrado ( $M-H_2O$ ): 204,1879



**Figura 104** Espectro de massas (70 eV) do cadinol axial 4

#### 4.5.5 Reação da ( $\pm$ )-trans-octalona 9a com CH<sub>3</sub>MgBr



À uma solução de ( $\pm$ )-*trans*-octalona **9a** (97,0 mg, 0,464 mmol), em THF anidro (10,0 mL), sob atmosfera de argônio e agitação a -78°C, foi adicionado uma

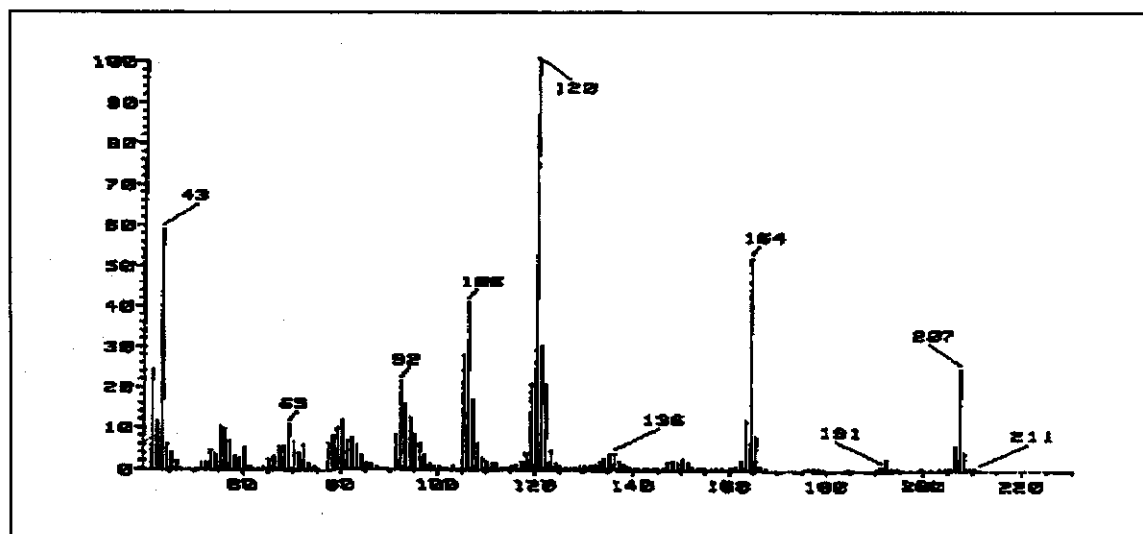
solução de  $\text{CH}_3\text{MgBr}$  1,0 mol/L (excesso). O conteúdo reacional permaneceu em agitação 2h e então, uma solução de  $\text{NH}_4\text{Cl}$  foi lentamente adicionada. A solução resultante foi extraída com éter etílico (3 X 15,0 mL), as fases orgânicas foram reunidas e secas sobre  $\text{Na}_2\text{SO}_4$  anidro. O solvente, após filtração, foi evaporado em evaporador rotativo e o óleo resultante foi cromatografado em coluna com sílica (70-230 mesh, 22,0 X 1,5 cm), sendo utilizado uma mistura de hexano/acetato de etila (99:2) como eluente. O cadinol axial 4a foi obtido na forma de um óleo incolor (31,0 mg, 0,138 mmol, 29,74 %). Foi também obtido uma fração contendo o cadinol equatorial 22a, sendo impossível de obtê-lo de forma pura.

**EMAR:** calculado ( $\text{M}-\text{H}_2\text{O}$ ): 207,2066 encontrado ( $\text{M}-\text{H}_2\text{O}$ ): 207,1919

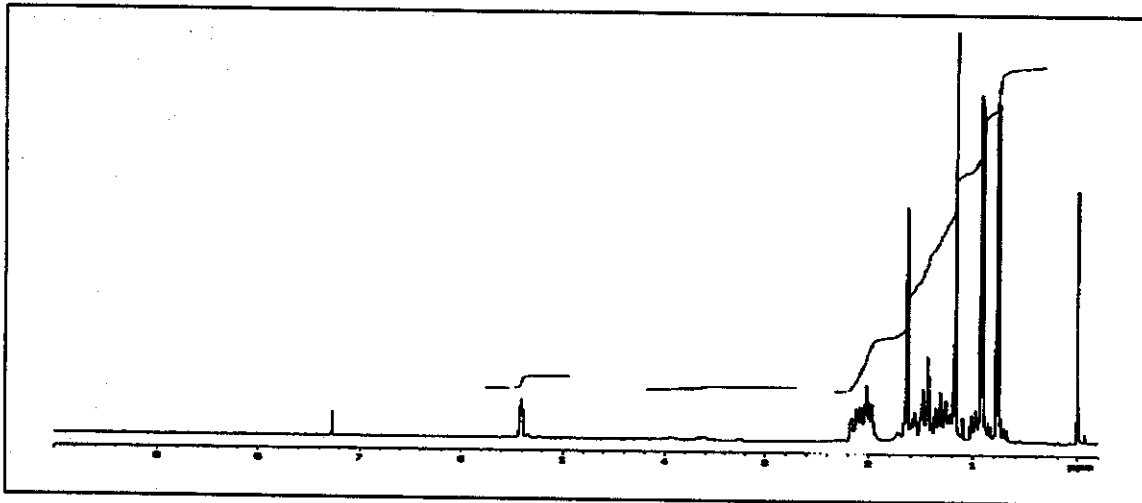
**EM (70 eV):**  $m/z$  (%) ion molecular 225 (0), 207 (24), 192 (2), 164 (52), 120 (100), 106 (45), 92 (25), 43 (59).

**RMN de  $^1\text{H}$  (300 MHz,  $\text{CDI}_3/\text{TMS}$ ):**  $\delta$  0,77 (d, 3H, H-10,  $J = 7,0$  Hz), 0,92 (d, 3H, H-11,  $J = 7,0$  Hz), 1,17 (s, 3H, H-13), 1,64 (s(l), 3H, H-12), 5,41 (s(l), 1H, H-7).

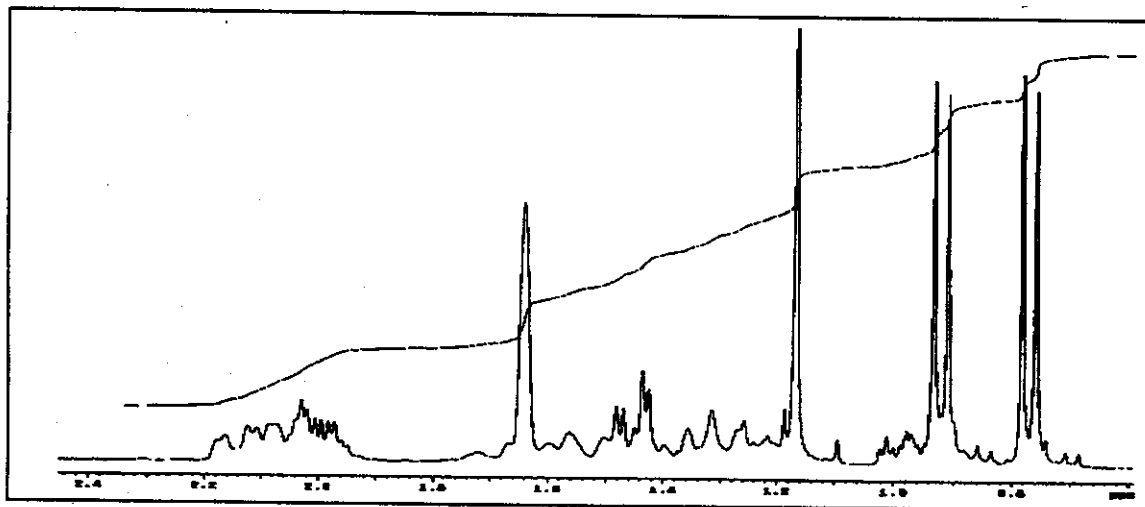
**RMN de  $^{13}\text{C}$  (75,5 MHz,  $\text{CDCl}_3/\text{TMS}$ ):**  $\delta$  15,23 ( $\text{CH}_3$ , C-11), 18,69 ( $\text{CH}_2$ , C-3), 21,74 ( $\text{CH}_3$ , C-10), 23,56 ( $\text{CH}_3$ , C-12), 25,24 ( $\text{CH}_2$ , C-8), 26,33 (CH, C-9), 28,55 ( $\text{CH}_3$ , C-13), 34,54 (CH, C-4a), 35,70 ( $\text{CH}_2$ , C-5), 48,96 (CH, C-4), 70,48 (C, C-1), 120,72 (CH, C-7), 133,05 (C, C-6).



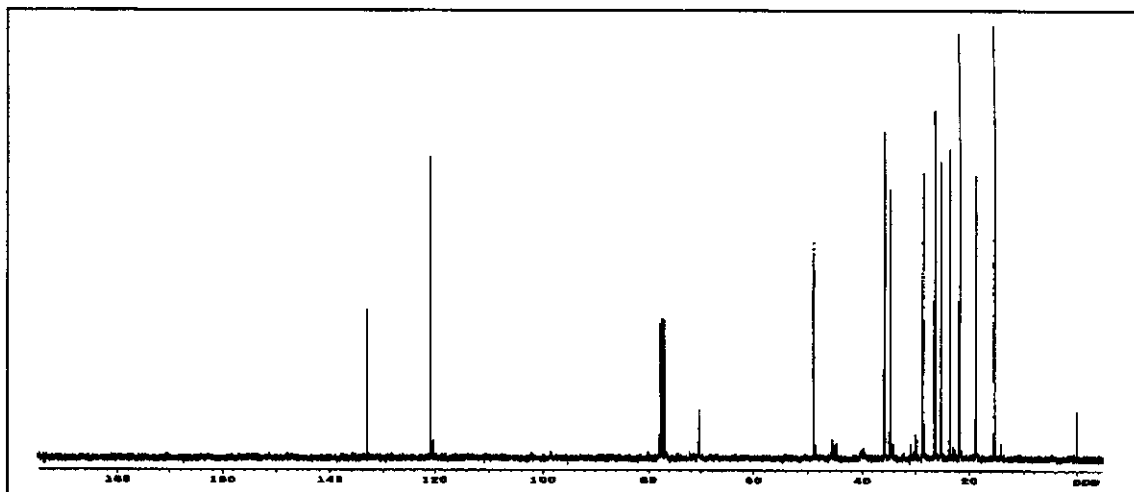
**Figura 105** Espectro de massas (70 eV) do cadinol axial-D<sub>3</sub> 4a



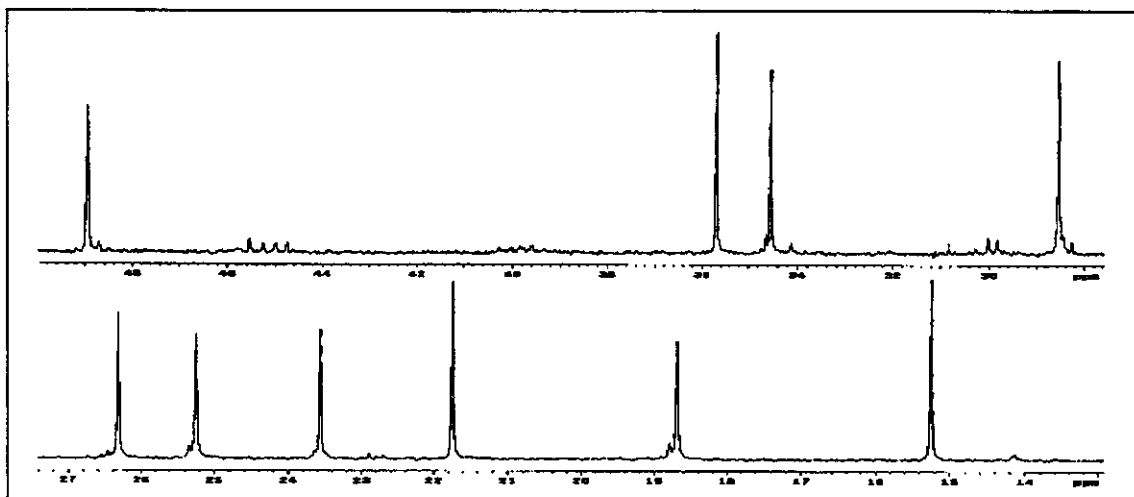
**Figura 106** Espectro de RMN de  $^1\text{H}$  (300 MHz,  $\text{CDCl}_3/\text{TMS}$ ) do cadinol axial-D<sub>3</sub> **4a**



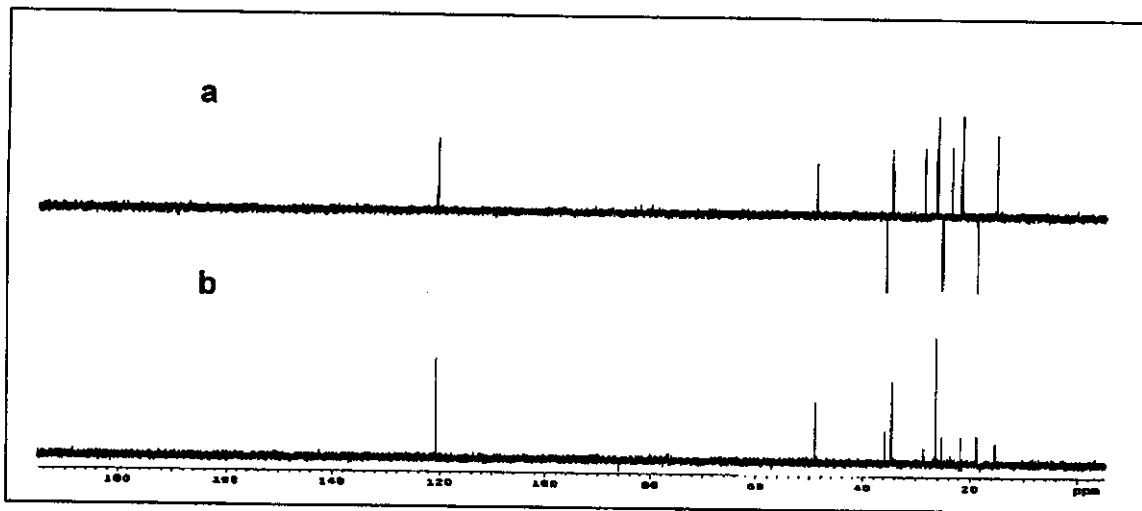
**Figura 107** Expansão do espectro de RMN de  $^1\text{H}$  (300 MHz,  $\text{CDCl}_3/\text{TMS}$ ) do cadinol axial **4a** (0,0 - 2,4 ppm)



**Figura 108** Espectro de RMN de  $^{13}\text{C}$  { $^1\text{H}$ } (75,5 MHz,  $\text{CDCl}_3/\text{TMS}$ ) do cadinol axial- $\text{D}_3$  **4a**



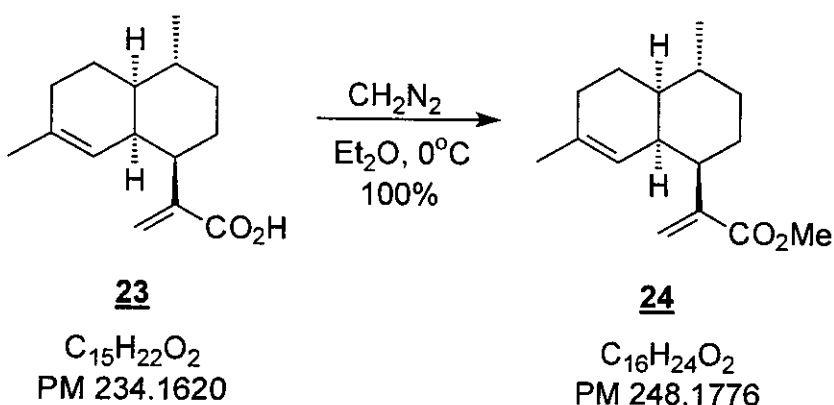
**Figura 109** Expansão do espectro de RMN de  $^{13}\text{C}$  { $^1\text{H}$ } (75,5 MHz,  $\text{CDCl}_3/\text{TMS}$ ) do cadinol axial **4a** (13-50 ppm)



**Figura 110** Espectro de RMN  $^{13}\text{C}$  { $^1\text{H}$ } (a) DEPT 135 b) DEPT 90) do cadinol axial-D<sub>3</sub> 4a

4.6 Síntese de amorfano derivados do ácido artemisinínico 23

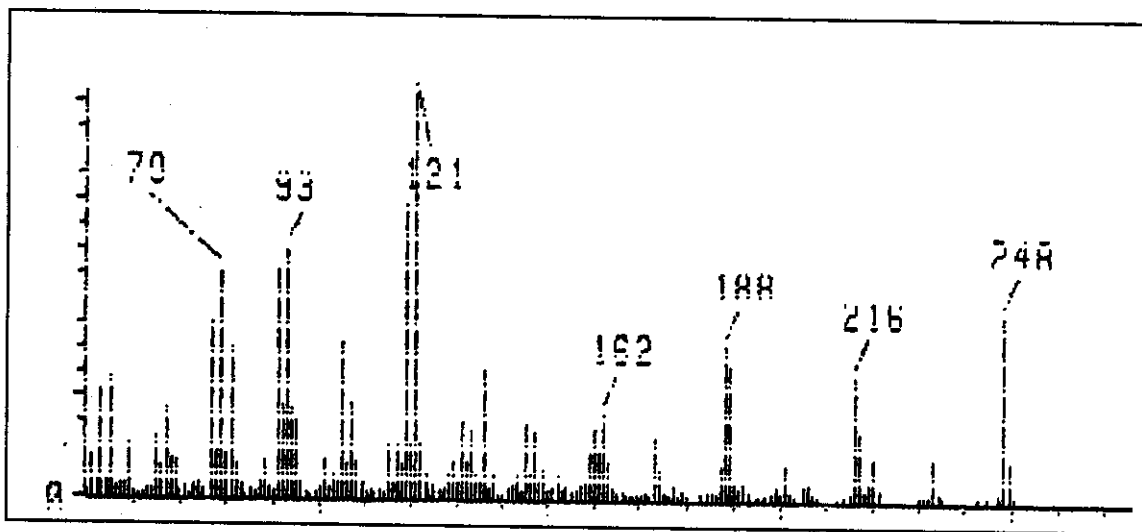
#### 4.6.1 Esterificação do ácido artemisinínico 23



À uma solução de ácido artemisinínico 23 (500 mg, 2,135 mmol) em éter etílico (40 mL) a 0°C, adicionou-se lentamente uma solução de diazometano CH<sub>2</sub>N<sub>2</sub>) até o desaparecimento da coloração amarelada. A reação foi monitorada por cromatografia em camada delgada (CCD) e a adição cessou com o desaparecimento do ácido artemisinínico 23. O solvente orgânico foi evaporado em evaporador rotativo obtendo-se 540 mg (2,176 mmol, 100 %) do composto 24 que foi identificado através de CG/EM e comparação com padrão.

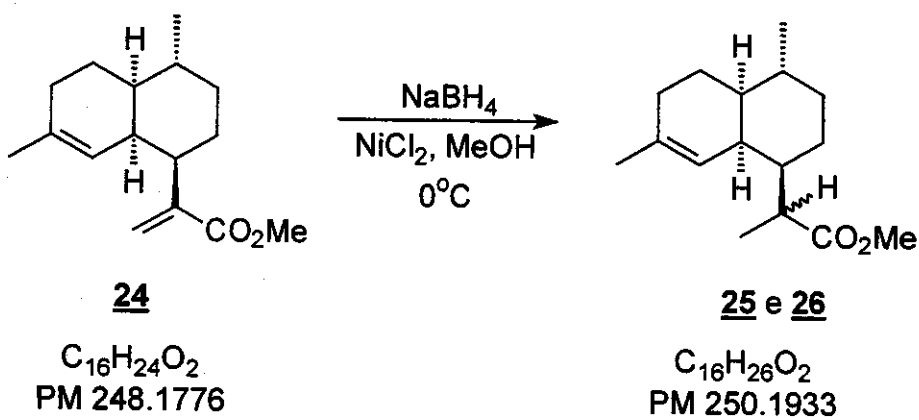
**EMAR:** calculado: 224,2109 encontrado: 224,2105

**EM (70 eV) *m/z* (%):** ion molecular 248 (19), 216 (14), 188 (17), 162 (16), 136 (24), 121 (100), 93 (63), 79 (35).



**Figura 111** Espectro de massas (70 eV) da substância 24

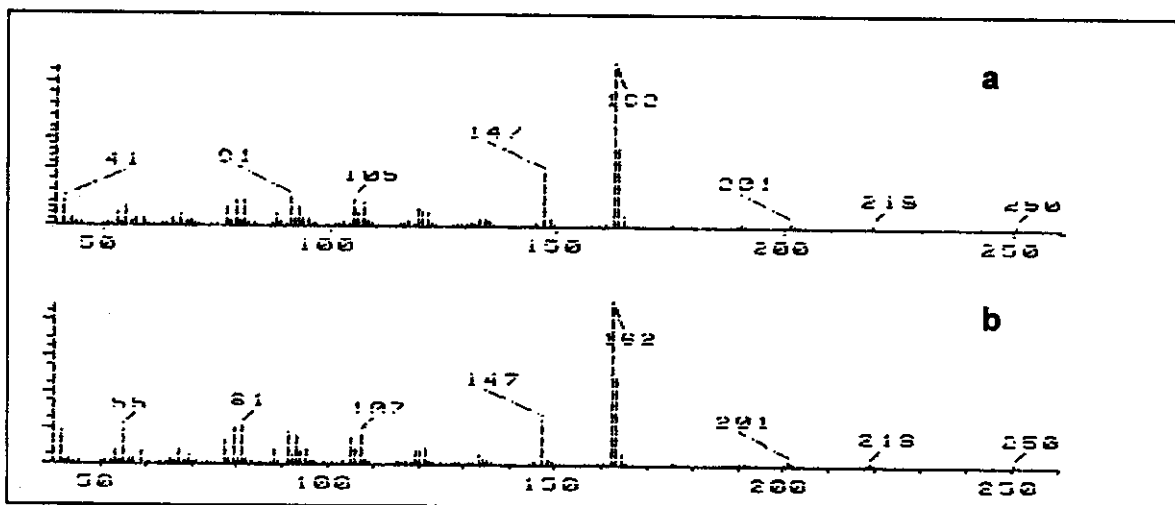
#### 4.6.2 Redução da dupla ligação exocíclica do éster metílico 24



A uma solução da substância 24 (520,0 mg, 2,10 mmol) em MeOH (30,0 mL), 0°C e agitação, adicionou-se NiCl<sub>2</sub> (17,7mg, 0,13 mmol). Após 15 minutos em agitação, lentamente foi adicionado NaBH<sub>4</sub> (240,0 mg, 6,31 mmol) deixando-se em agitação durante 4h a temperatura ambiente. Ao conteúdo reacional foi adicionado HCl 1N até ficar branco e após, extraiu-se com éter etílico (3 x 20,0 mL). As frações orgânicas foram reunidas e secas sobre Na<sub>2</sub>SO<sub>4</sub> anidro. O solvente foi evaporado em evaporador rotativo obtendo-se um óleo amarelo (540,0 mg) que foi

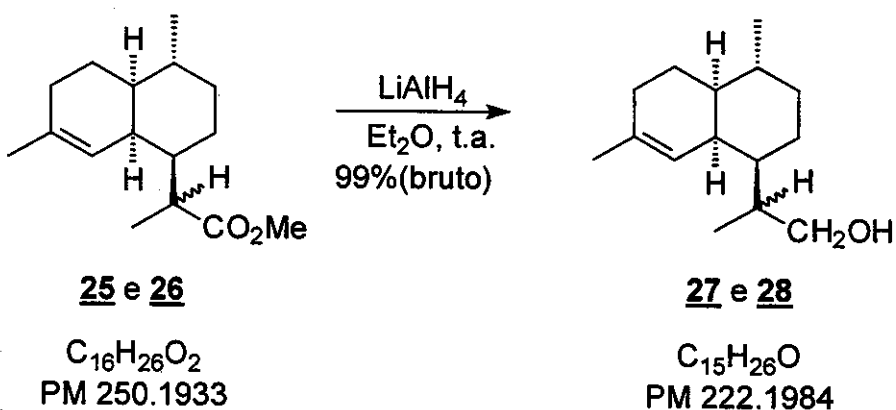
identificado, através de CG/EM e comparação com padrão, como sendo uma mistura dos diastereoisômeros 25 e 26 na proporção de 30:70 (CG).

**EM (70 eV) m/z (%):** Íon molecular 250 (15), 162 (100), 147 (18), 91 (15), 81 (17), 55 (18).



**Figura 112** Espectro de massas dos diastereoisômeros 25 e 26. a) éster com menor tempo de retenção (30%); b) éster com maior tempo de retenção (70%)

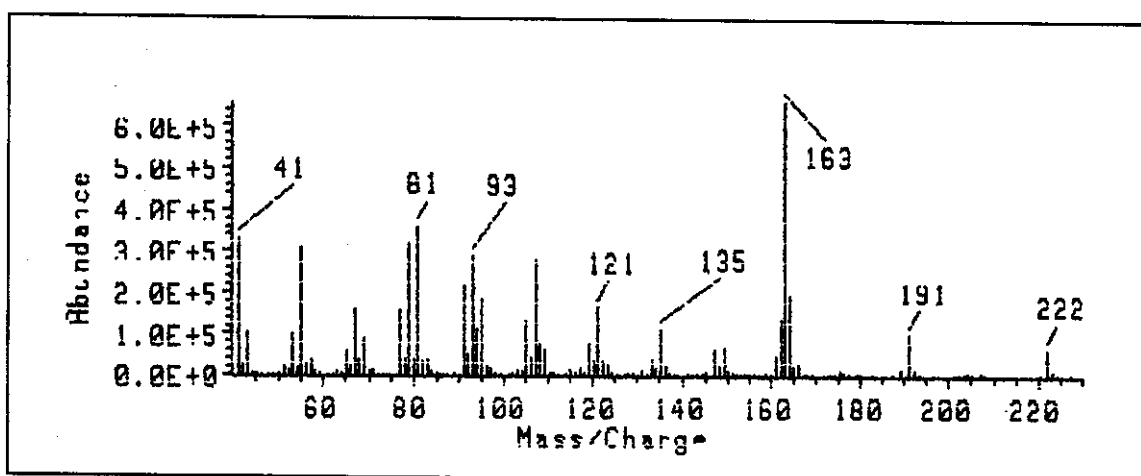
#### 4.6.3 Redução dos ésteres 25 e 26 para os álcoois 27 e 28



A uma solução da mistura dos compostos 25 e 26 (500,0 mg, 2,0 mmol) em éter etílico anidro, sob atmosfera de argônio à temperatura ambiente, lentamente foi adicionado LiAlH<sub>4</sub> (151,8 mg). Após 4h de reação, o excesso de LiAlH<sub>4</sub> foi

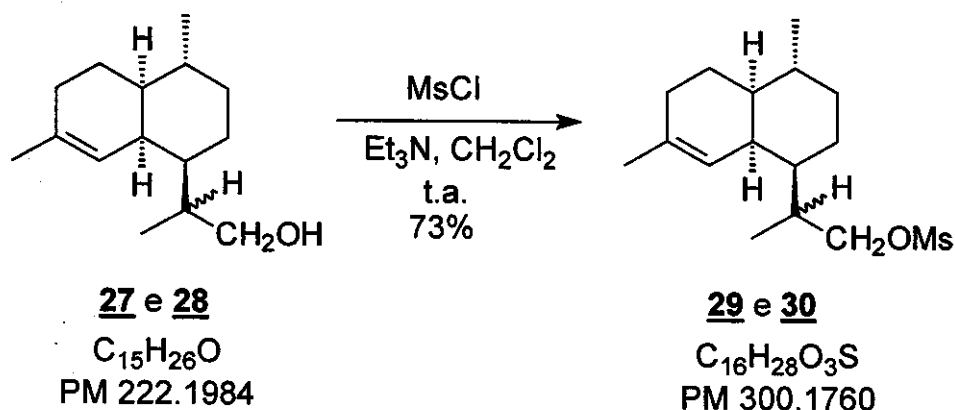
destruído adicionando-se gotas de uma solução de NaOH 3 mol/L e água. A mistura reacional foi filtrada sobre celite, a fase orgânica lavada com H<sub>2</sub>O (3 x 10,0 mL) e após seca sobre Na<sub>2</sub>SO<sub>4</sub> anidro. Após evaporação do solvente em evaporador rotativo obteve-se um óleo amarelo (440,0 mg, 1,98 mmol, 99 % (bruto)) onde através de CG/EM foi identificado uma mistura de difícil separação dos diastereoisômeros do composto 27 e 28.

**EM (70 eV) m/z (%):** íon molecular 222 (7), 191 (11), 163 (100), 107 (45), 81 (60).



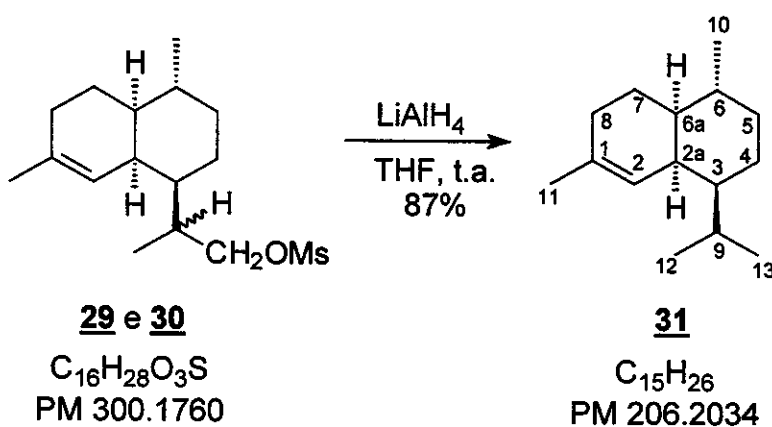
**Figura 113 Espectro de massas (70 eV) dos compostos 27 e 28**

#### 4.6.4 Reação de mesilação dos compostos 27 e 28



A uma solução dos compostos **27** e **28** (440,0 mg, 1,98 mmol) em  $\text{CH}_2\text{Cl}_2$  a 0°C, adicionou-se trietilamina (0,3 mL, 2,16 mmol) e após cloreto de mesila (0,17 mL, 2,20 mmol). Após 2 h em agitação, a mistura reacional foi vertida sobre gelo e então foi adicionado HCl 10% (4,0 mL). A reação foi extraída com  $\text{CH}_2\text{Cl}_2$  ( $3 \times 10,0$  mL), lavada com solução saturada de  $\text{NaHCO}_3$  e após com água. A fase orgânica foi seca sobre  $\text{Na}_2\text{SO}_4$  anidro e o solvente evaporado em evaporador rotativo, obtendo-se um óleo amarelo (434,0 mg, 1,45 mmol, 73% bruto) que foi utilizado posteriormente na redução com  $\text{LiAlH}_4$  para obtenção do hidrocarboneto **31**.

#### 4.6.5 Reação de redução com LiAlH<sub>4</sub> dos compostos 29 e 30

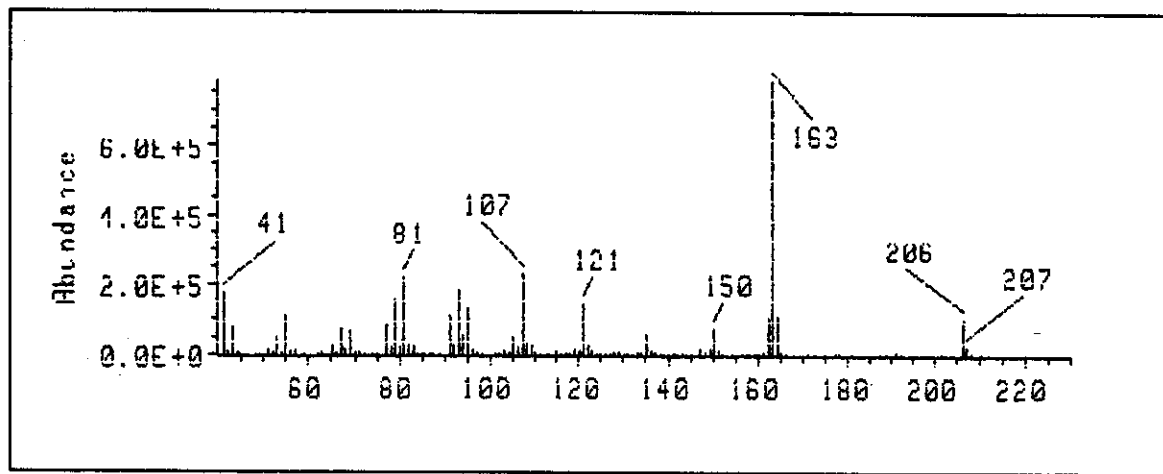


A uma solução dos compostos 29 e 30 (434,0 mg, 1,45 mmol) em THF anidro à temperatura ambiente e sob atmosfera de argônio, lentamente foi adicionado LiAlH<sub>4</sub> (132,0 mg, 3,47 mmol) deixando-se em agitação durante 8h. O excesso de LiAlH<sub>4</sub> foi destruído com adição de gotas NaOH 3 mol/L e água e após, o conteúdo reacional foi filtrado sobre celite com auxílio de éter etílico. A fase orgânica foi lavada com água e após seca sobre Na<sub>2</sub>SO<sub>4</sub> anidro. O solvente foi evaporado em evaporador rotativo obtendo-se um óleo amarelo (358,0 mg) que foi cromatografado em coluna com sílica (230-400 mesh), sendo utilizado como eluente uma mistura de hexano/acetato de etila (99,5:0,5). Obteve-se o composto 31 (261,0 mg, 1,27 mmol, 87 %; 60% baseado no ácido artemisinínico de partida) na forma de um óleo incolor.

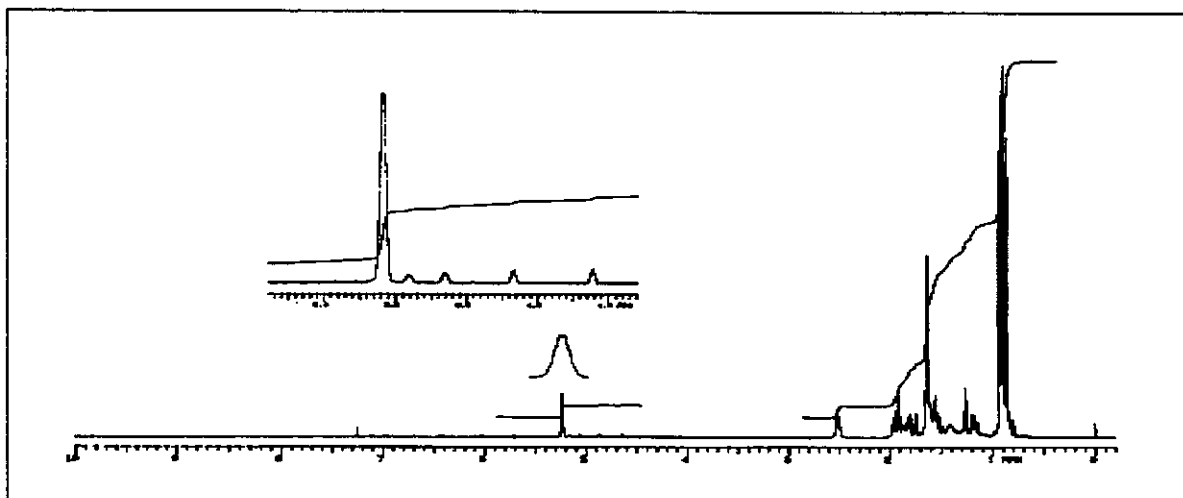
**EM (70 eV):**  $m/z$  (%) ion molecular 206(12), 163 (100), 150 (8), 121 (20), 107 (30)

**RMN de  $^1\text{H}$  (300 MHz,  $\text{CDCl}_3/\text{TMS}$ ):**  $\delta$  0,86 (d, H-10,  $J = 6,5$  Hz), 0,89 (d, H-13,  $J = 6,8$  Hz), 0,92 (d, H-12,  $J = 7,3$  Hz), 1,62 (m, H-11), 5,20 (m, H-2)

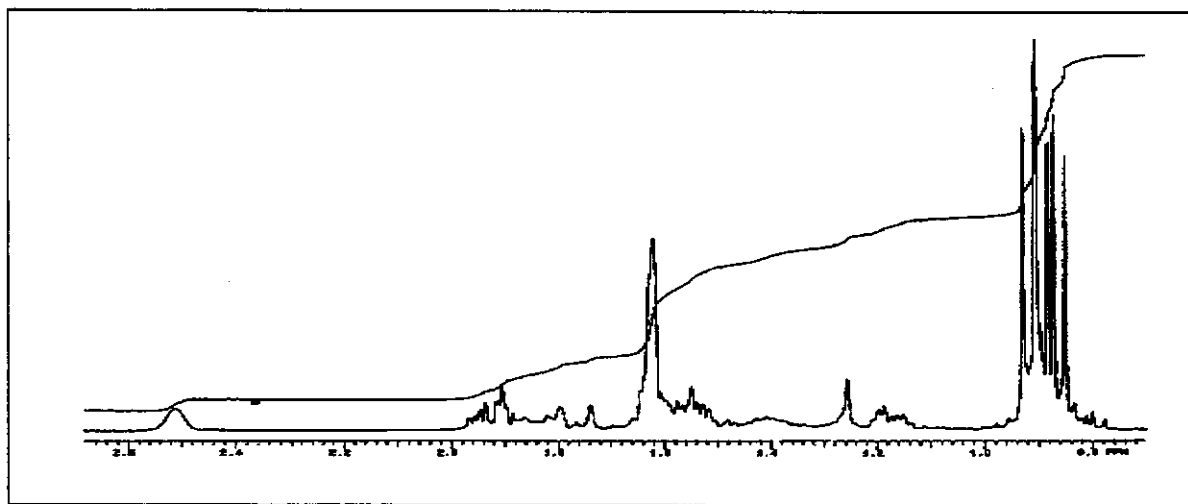
**RMN de  $^{13}\text{C}$  (75,5 MHz,  $\text{CDCl}_3/\text{TMS}$ ):**  $\delta$  19,90 ( $\text{CH}_3$ , C-12), 20,71 ( $\text{CH}_3$ , C-10), 21,76 ( $\text{CH}_3$ , C-13), 23,86 ( $\text{CH}_3$ , C-11), 25,91( $\text{CH}_2$ , C-4), 26,50 ( $\text{CH}_2$ , C-8), 26,74 ( $\text{CH}_2$ , C-7), 27,71 (CH, C-9), 28,80 (CH, C-6), 35,96 ( $\text{CH}_2$ , C-5), 37,94 (CH, C-2a), 42,14 (CH, C-6a), 48,70 (CH, C-3), 121,20 (CH, C-2), 134,70 (C, C-1).



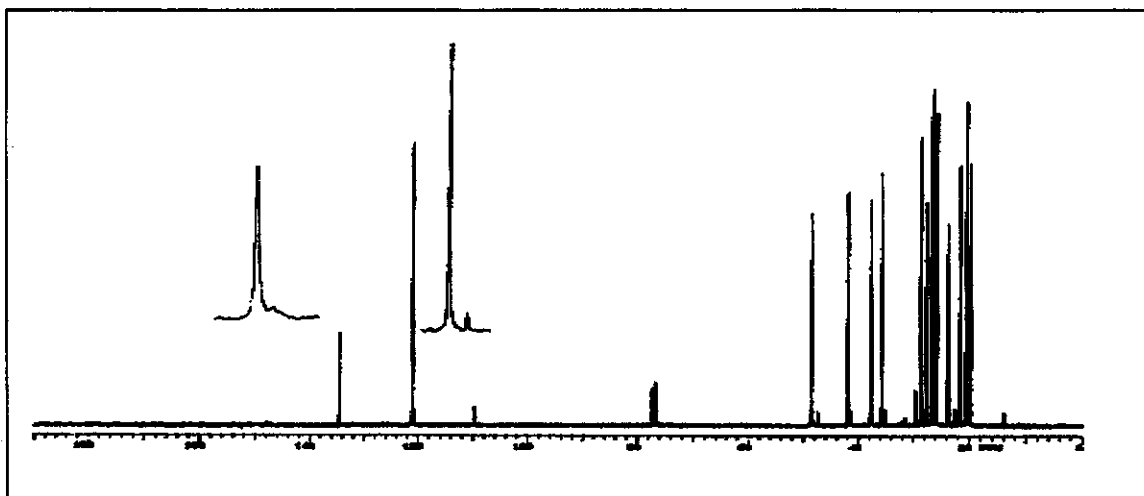
**Figura 114** Espectro de massas (70 eV) do composto 31



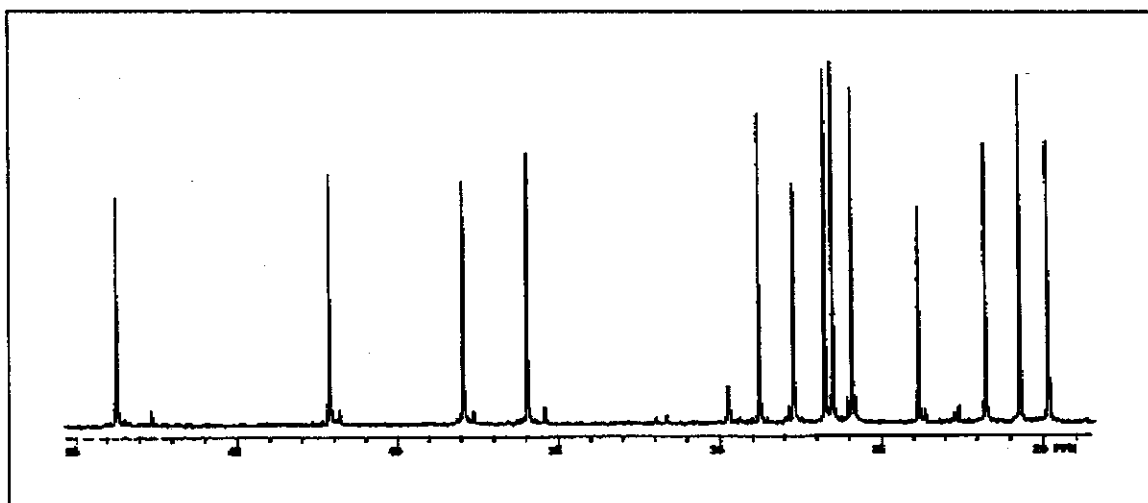
**Figura 115** Espectro de RMN de  $^1\text{H}$  (300 MHz,  $\text{CDCl}_3/\text{TMS}$ ) do composto 31



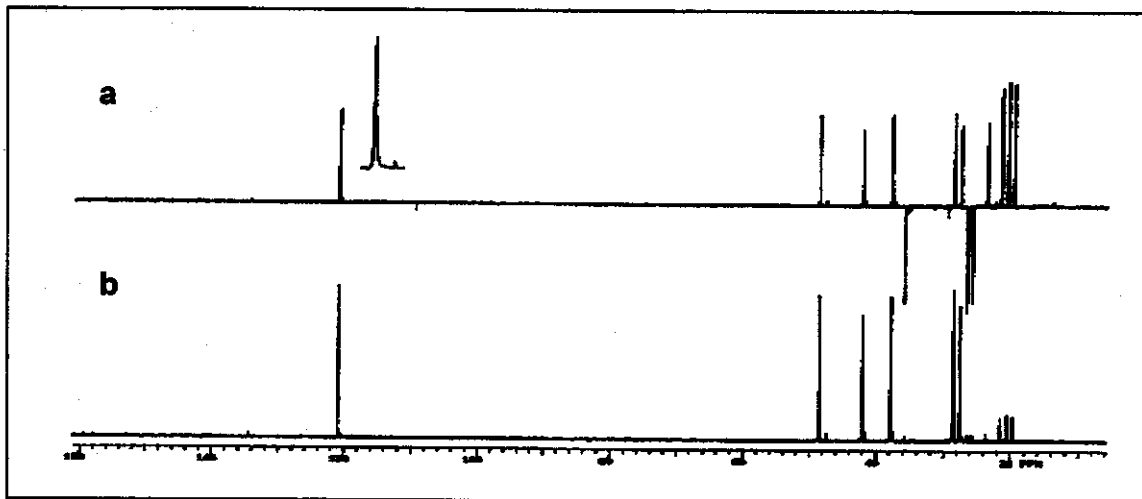
**Figura 116** Expansão do espectro de RMN de  $^1\text{H}$  (300 MHz,  $\text{CDCl}_3/\text{TMS}$ ) do composto 31 (0,7-2,7 ppm)



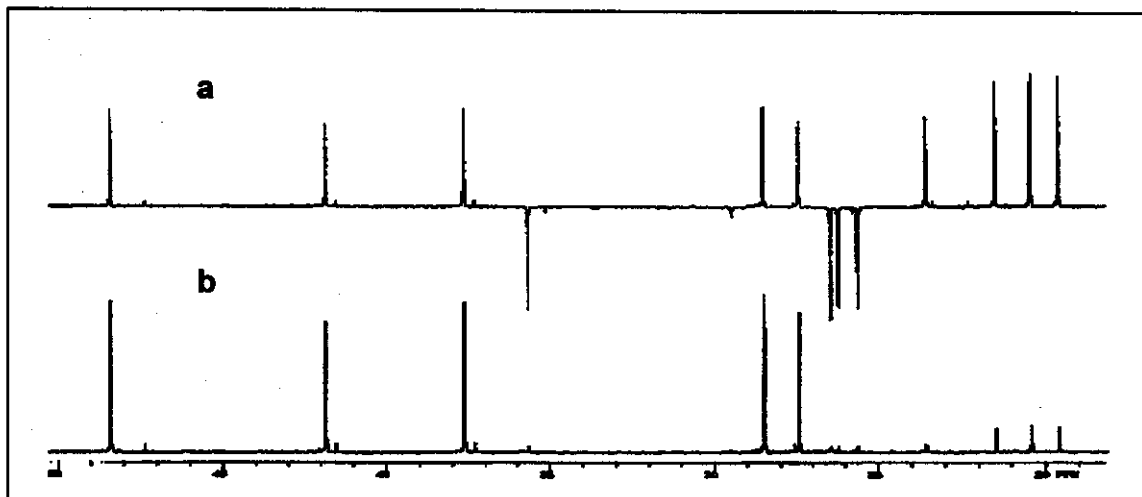
**Figura 117** Espectro de RMN  $^{13}\text{C}$  { $^1\text{H}$ } (75,5 MHz,  $\text{CDCl}_3/\text{TMS}$  do composto 31)



**Figura 118** Expansão do espectro de RMN  $^{13}\text{C}$  { $^1\text{H}$ } (75,5 MHz,  $\text{CDCl}_3/\text{TMS}$  do composto **31** (19-50 ppm))

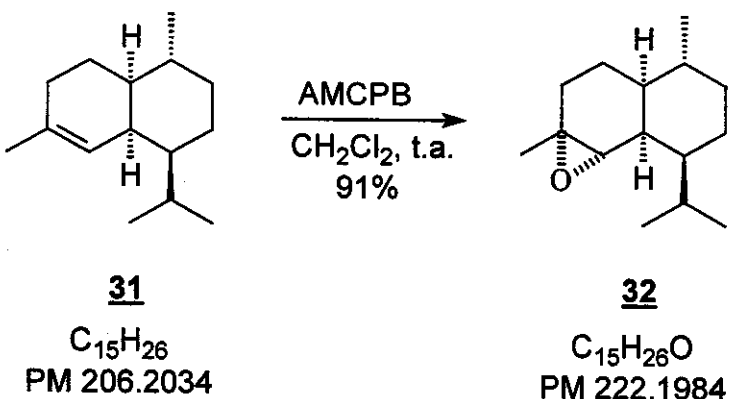


**Figura 119** Espectro de RMN de  $^{13}\text{C}$  { $^1\text{H}$ } (75,5 MHz,  $\text{CDCl}_3/\text{TMS}$ ) (a) DEPT 135; b) DEPT 90 do composto 31



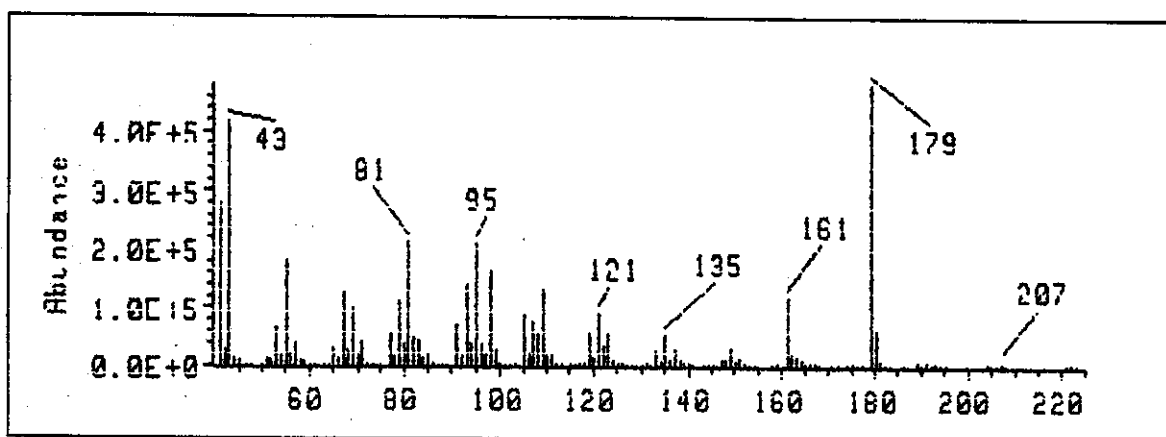
**Figura 120** Expansão do espectro de RMN de  $^{13}\text{C}$  { $^1\text{H}$ } (75,5 MHz,  $\text{CDCl}_3/\text{TMS}$ ) (a) DEPT135; b) DEPT 90 (19-50 ppm) de 31

#### 4.6.6 Reação de epoxidação do composto 31



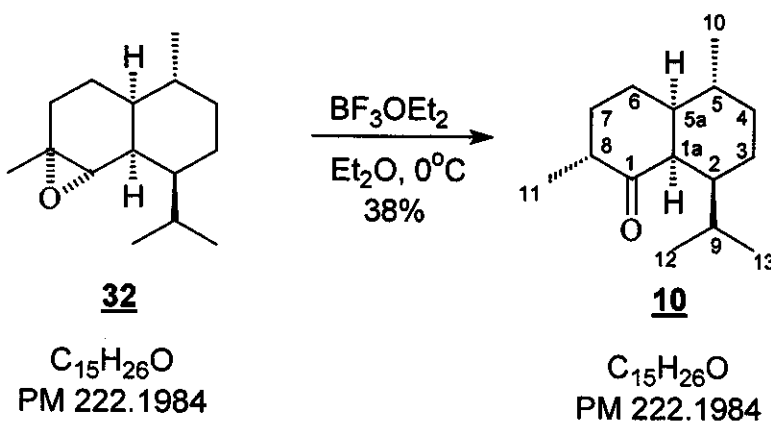
À uma solução do composto 31 (170,0 mg, 0,825 mmol) em  $\text{CH}_2\text{Cl}_2$  (20 mL) adicionou-se AMCPB (315,0 mg, 1,831mmol), deixando-se em agitação a temperatura ambiente durante 4h. Após esse tempo, a fase orgânica foi lavada com uma solução de NaOH 1mol/L, água, seca sobre  $\text{Na}_2\text{SO}_4$  anidro, filtrada e o solvente evaporado em evaporador rotativo. Obteve-se um óleo amarelo-claro (168,0 mg, 0,756 mmol, 91% bruto) onde foi identificado o epóxido 32, através de CG/EM, que foi utilizado sem prévia purificação no passo seguinte de síntese para obtenção da cetona de Quinghaosu 10.

**EM (70 eV):  $m/z$  (%) ion molecular 222 (1), 179 (100), 161 (20), 95 (40), 41 (92)**



**Figura 121** Espectro de massas (70 eV) do composto 32

#### 4.6.7 Reação para obtenção da cetona 10

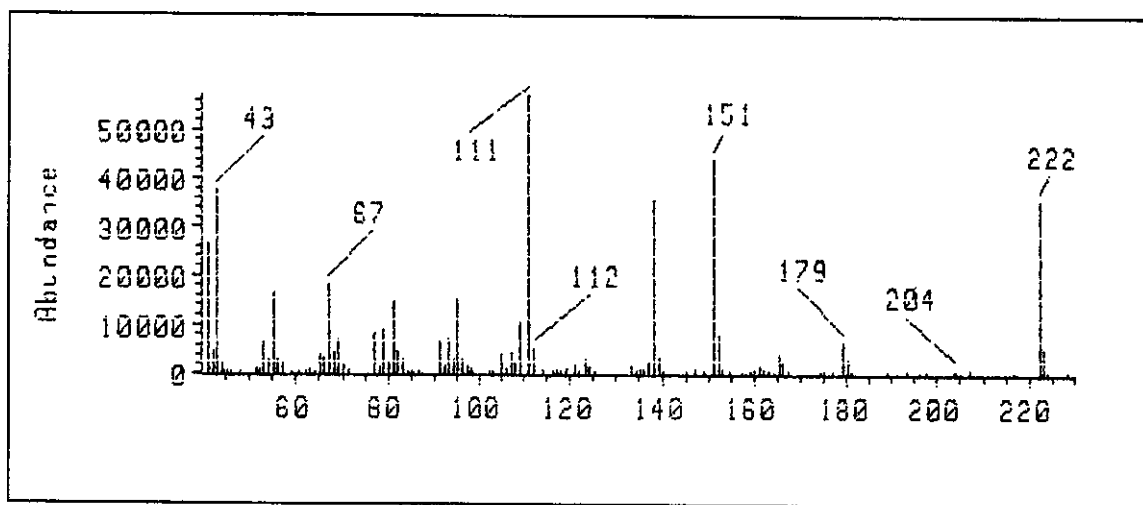


À uma solução do composto 32 (168,0 mg, 0,756 mmol (bruto)) em éter etílico (10 mL) a 0°C e agitação, adicionou-se lentamente  $\text{BF}_3(\text{OEt})_2$  (2,4 mL) deixando-se em agitação 18 h à temperatura ambiente. Após adição de água, a mistura reacional foi extraída com éter etílico ( $3 \times 10,0$  mL), as fases orgânicas reunidas e secas sobre  $\text{Na}_2\text{SO}_4$  anidro. Após evaporação do solvente, obteve-se um óleo preto (170,0 mg) que foi cromatografado em coluna com sílica (230-400 mesh) utilizando-se como eluente uma mistura de hexano/acetato de etila (99,5:0,5). Obteve-se a cetona 10 mas ainda de forma impura (contaminada pelo polímero formado na reação). Fez-se nova coluna utilizando-se as mesmas condições anteriores e obteve-se o composto 10 (59,0 mg, 0,286 mmol, 38%).

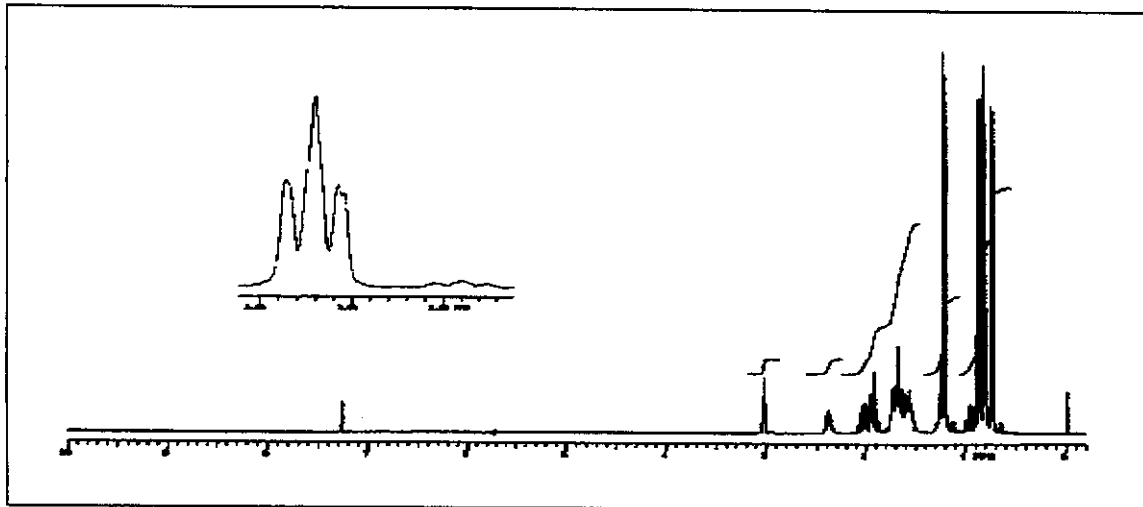
**EM (70 eV):**  $m/z$  (%) ion molecular 222 (65), 151 (80), 138 (66), 111 (100), 43 (66).

**RMN de  $^1\text{H}$  (300 MHz,  $\text{CDCl}_3/\text{TMS}$ ):**  $\delta$  0,73 (d, 3H, H-12,  $J = 6,7$  Hz), 0,80 (d, 3H, H-10,  $J = 6,4$  Hz), 0,86 (d, 3H, H-13,  $J = 6,6$  Hz), 1,20 (d, 3H, H-11,  $J = 7,4$  Hz), 1,97-2,10 (m, 1H, H-9), 2,3-2,45 (m, 1H, H-8), 3,01(t, 1H, H<sub>1a</sub>,  $J = 3,7$  Hz).

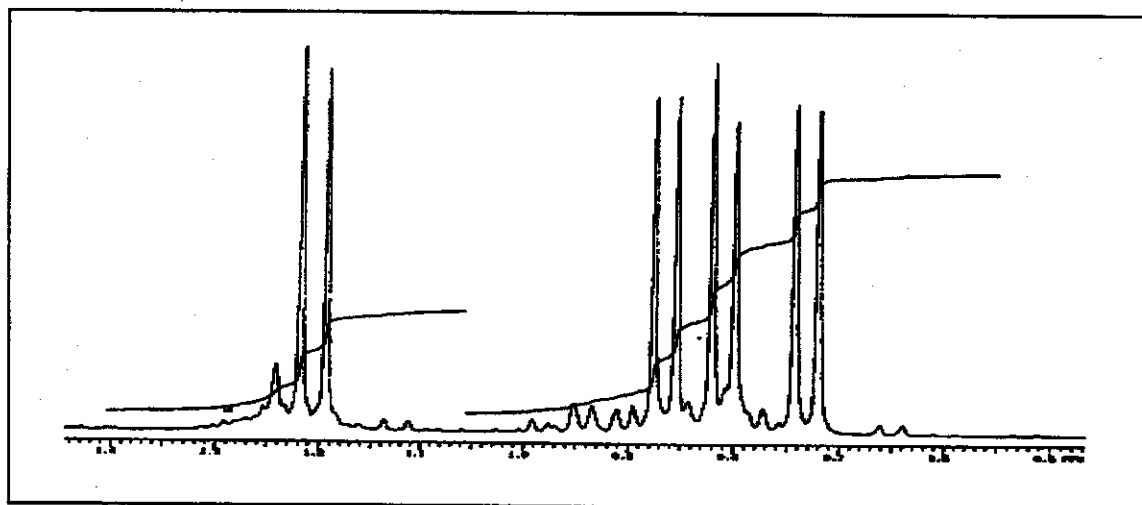
**RMN de  $^{13}\text{C}$  (75,5 MHz,  $\text{CDCl}_3/\text{TMS}$ ):**  $\delta$  17,59 ( $\text{CH}_3$ , C-11), 19,18 ( $\text{CH}_3$ , C-10), 20,92 ( $\text{CH}_3$ , C-12), 22,03 ( $\text{CH}_3$ , C-13), 23,22 ( $\text{CH}_2$ , C-6), 25,90 ( $\text{CH}_2$ , C-7), 28,39 ( $\text{CH}_2$ , C-3), 29,09 (CH, C-9), 30,86 (CH, C-5), 36,18 ( $\text{CH}_2$ , C-4), 46,31 (CH, C-8), 47,09 (CH, C-1a), 47,77 (CH, C-2), 48,70 (CH, C-5a), 216,89 (C=O, C-1).



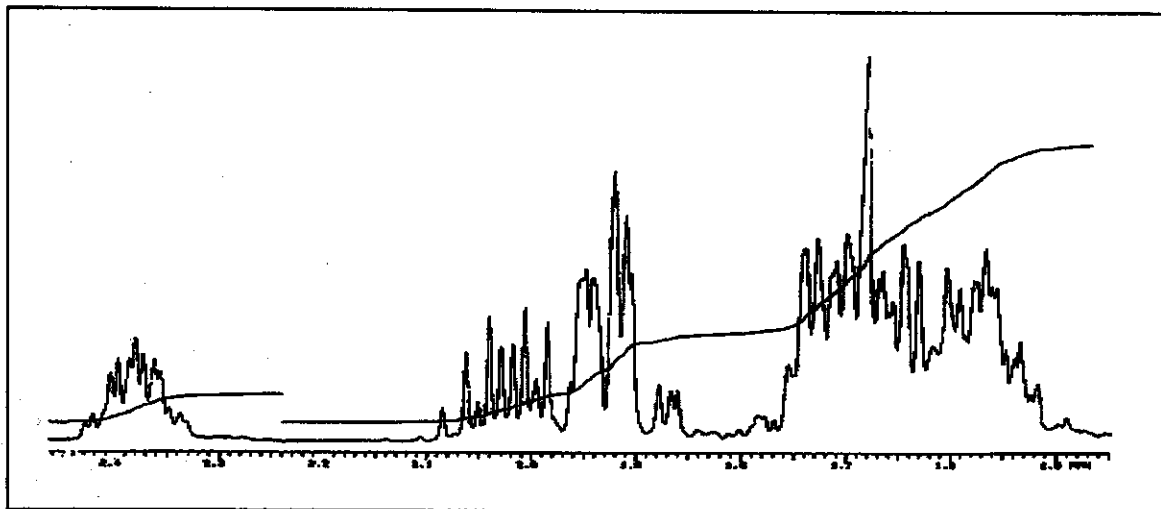
**Figura 122** Espectro de massas (70 eV) do composto **10**



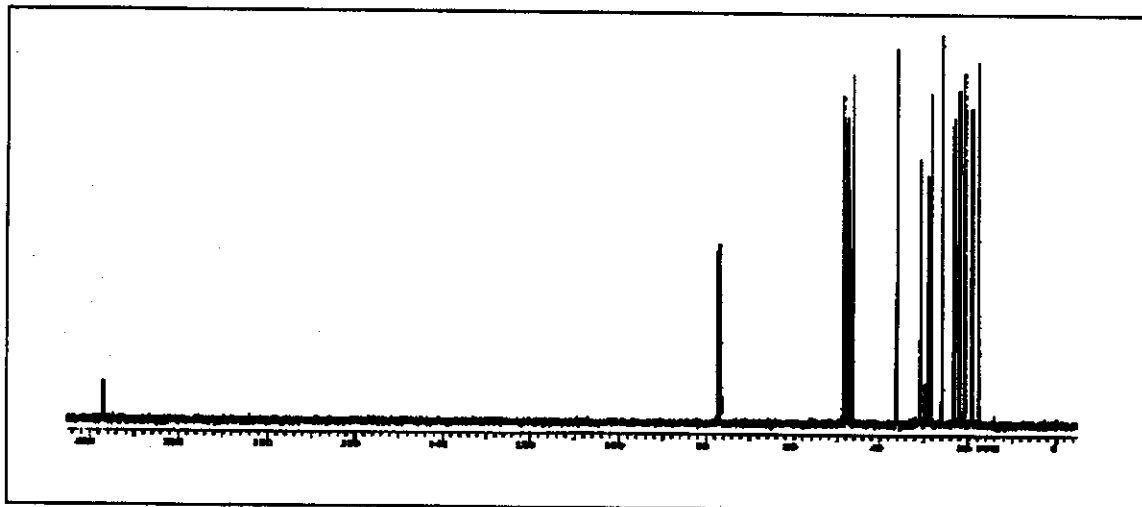
**Figura 123** Espectro de RMN de  $^1\text{H}$  (300 MHz,  $\text{CDCl}_3/\text{TMS}$ ) do composto **10**



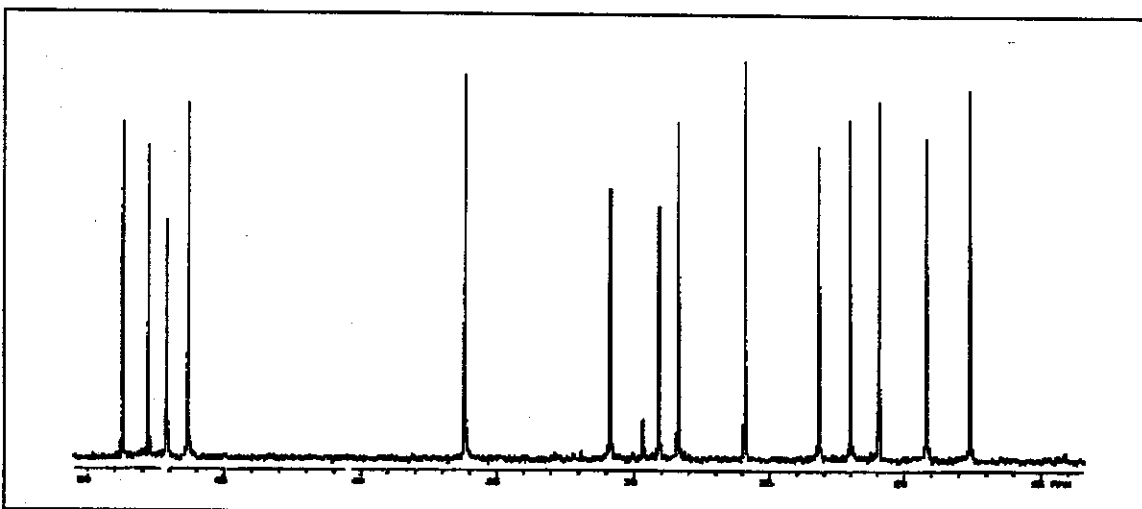
**Figura 124** Expansão do espectro de RMN de  $^1\text{H}$  (300 MHz,  $\text{CDCl}_3/\text{TMS}$ ) do composto 10 (0,45 - 1,45 ppm)



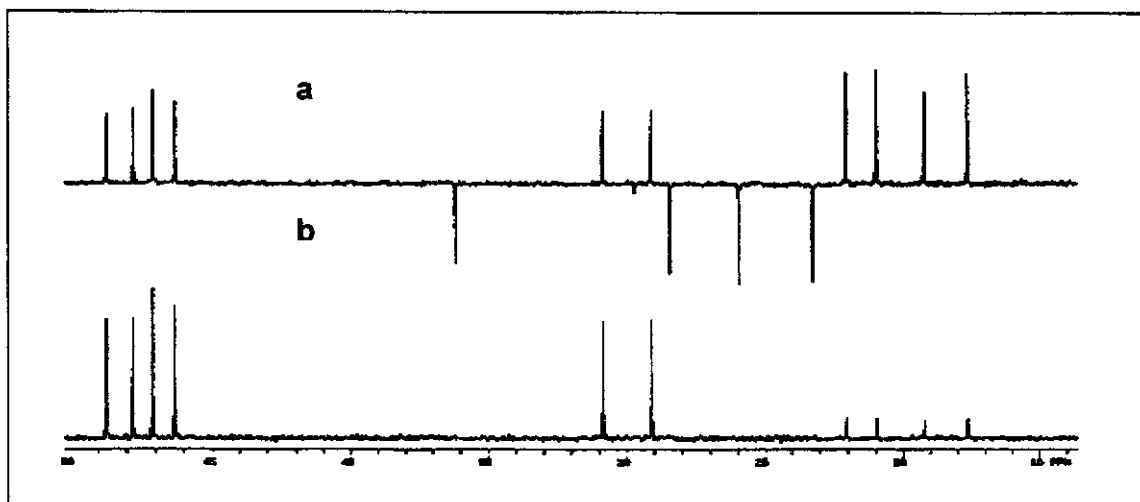
**Figura 125** Expansão do espectro de RMN de  $^1\text{H}$  (300 MHz,  $\text{CDCl}_3/\text{TMS}$ ) do composto 10 (1,45 - 2,45 ppm)



**Figura 126** Espectro de RMN de  $^{13}\text{C}$  {1H} (75,5 MHz,  $\text{CDCl}_3/\text{TMS}$ ) do composto **10**

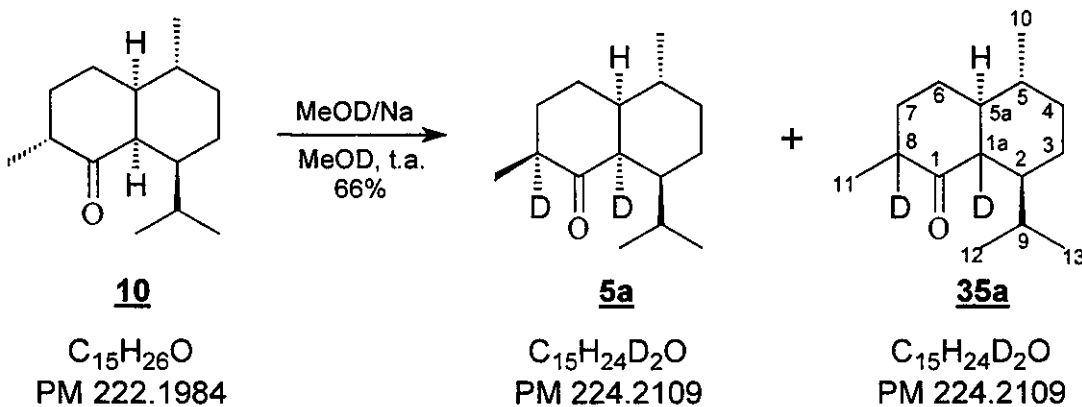


**Figura 127** Expansão do espectro de RMN de  $^{13}\text{C}$  (75,5 MHz,  $\text{CDCl}_3/\text{TMS}$ ) do composto **10** (14 – 50 ppm)



**Figura 128** Espectro de RMN de  $^{13}\text{C}$  { $^1\text{H}$ } (75,5 MHz,  $\text{CDCl}_3/\text{TMS}$ ) **(a)** DEPT 135; **(b)** DEPT 90 do composto **10** (14 – 50 ppm)

#### **4.6.8 Reação de deuteração da cetona 10**

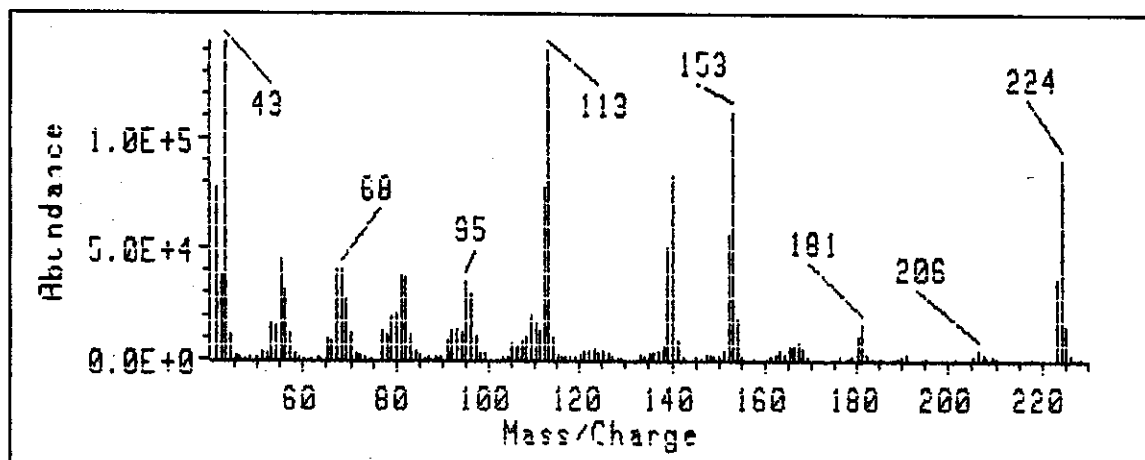


À uma solução de MeOD (0,5 mL) e sódio metálico (3,0 mg, 0,130 mmol), sob atmosfera de argônio, adicionou-se uma solução do composto **10** (27,0 mg, 0,121 mmol) em MeOD (1,0 mL). A reação permaneceu em agitação durante 10 dias e após, foi filtrada em uma pequena coluna com sílica (230-400 mesh).

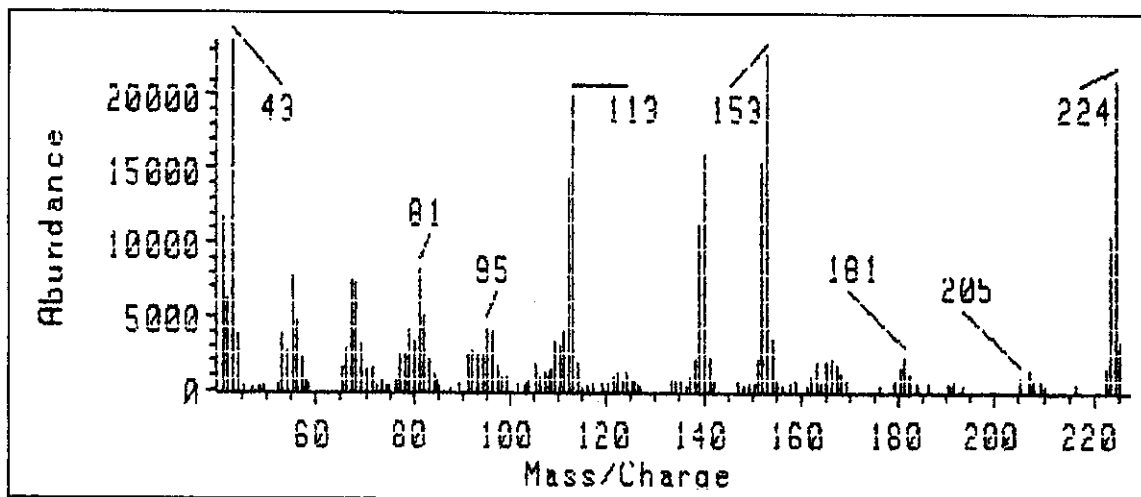
Obteve-se uma mistura dos diastereoisômeros 5a e 35a (18,0 mg, 0,080 mmol, 66 %) na proporção de 8:2 (CG/EM).

**EM (70 eV): *m/z* (%)** (composto com menor tempo de retenção e maior concentração na mistura) íon molecular 224 (81), 153 (83), 140 (60), 113 (90), 43 (100).

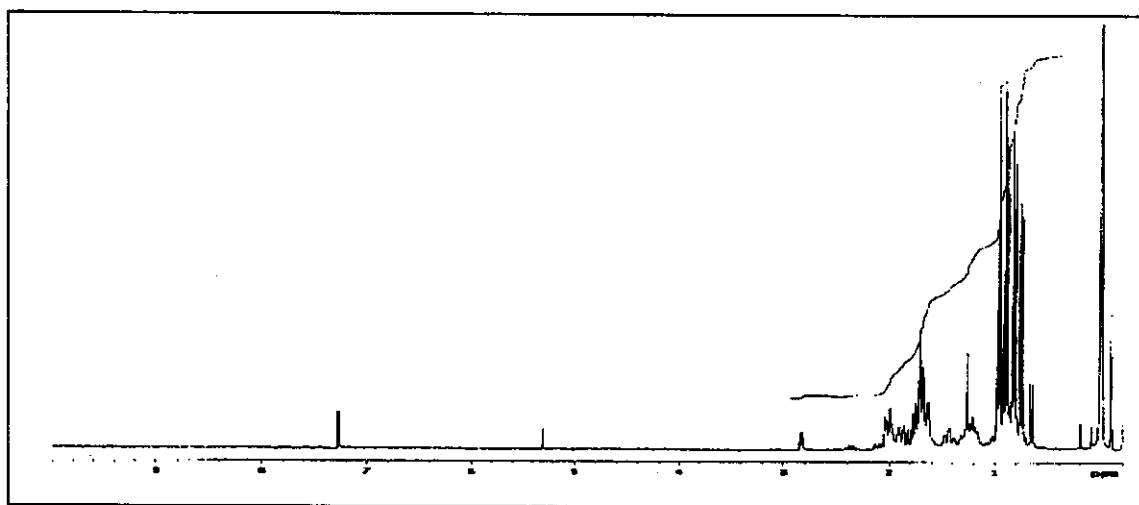
**EM (70 eV): *m/z* (%)** (composto com maior tempo de retenção e menor concentração na mistura) íon molecular 224 (84), 153 (100), 140 (72), 113 (86), 43 (93).



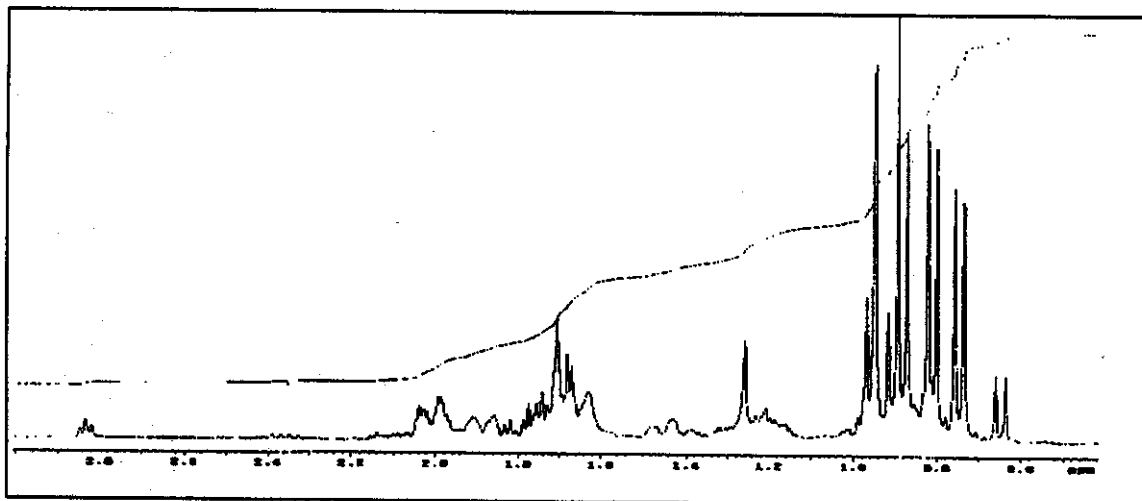
**Figura 129** Espectro de massas (70 eV) do composto 5a (menor tempo de retenção)



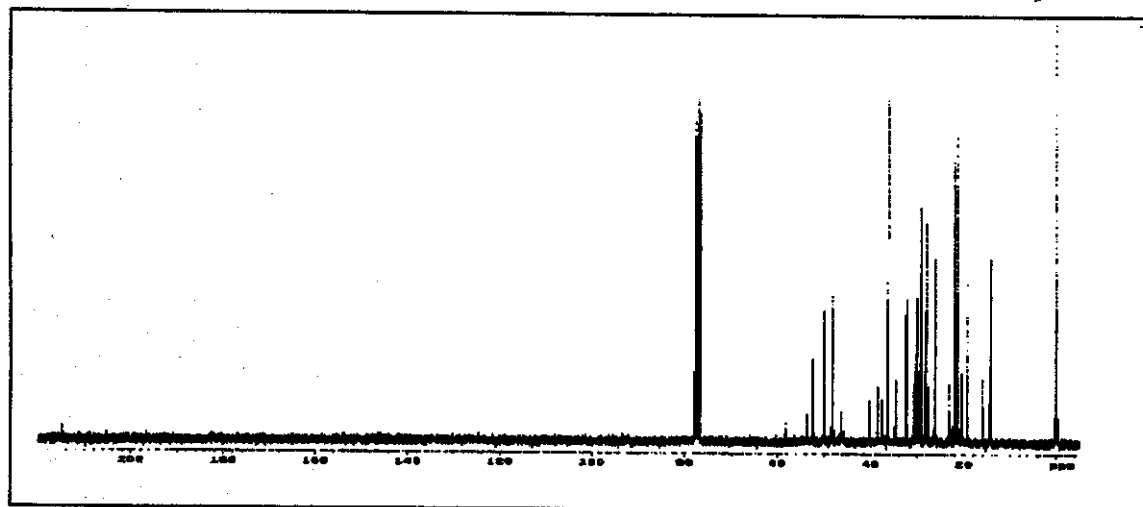
**Figura 130** Espectro de massas (70 eV) do composto 35a (maior tempo de retenção)



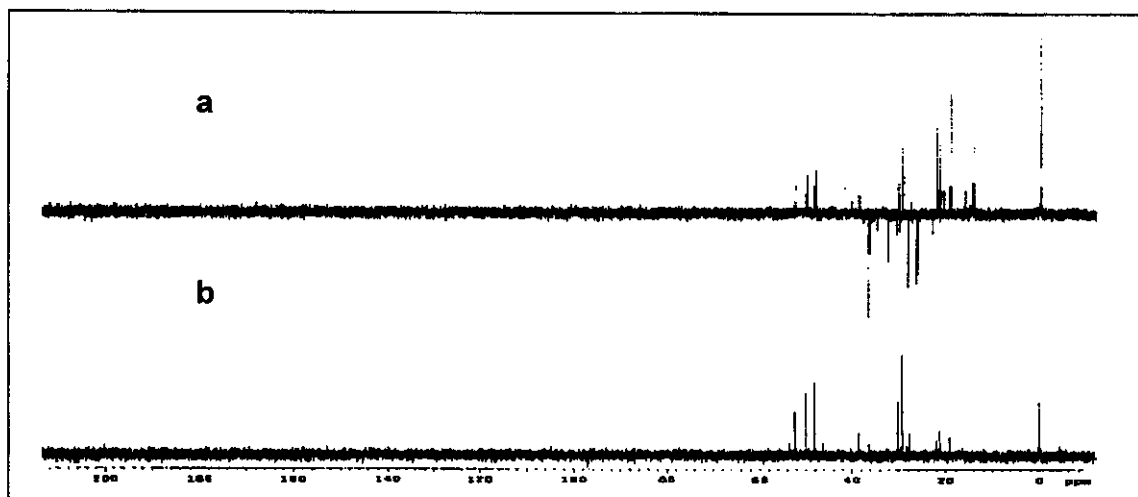
**Figura 131** Espectro de RMN de  $^1\text{H}$  (300 MHz,  $\text{CDCl}_3/\text{TMS}$ ) da mistura dos compostos 5a e 35a



**Figura 132** Expansão do espectro de RMN de  $^1\text{H}$  (300 MHz,  $\text{CDCl}_3/\text{TMS}$ ) da mistura dos compostos **5a** e **35a** (0,4-3,0 ppm)

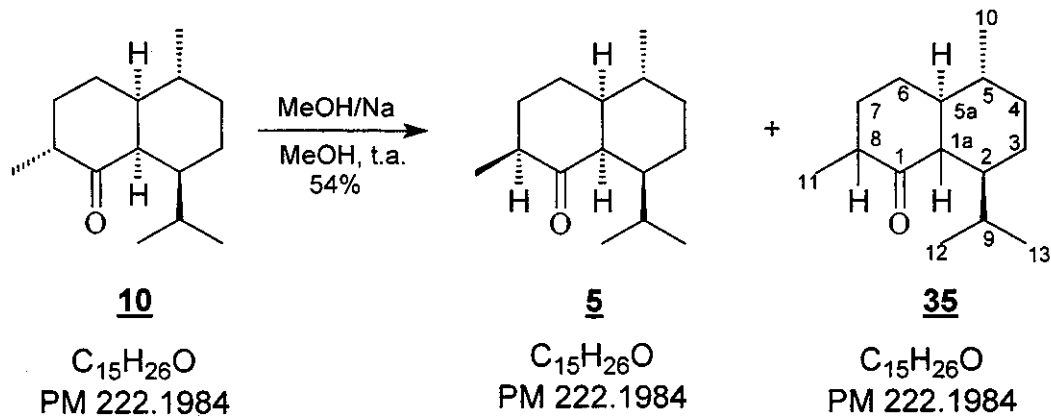


**Figura 133** Espectro de RMN de  $^{13}\text{C}$  { $^1\text{H}$ } (75,5 MHz,  $\text{CDCl}_3/\text{TMS}$ ) da mistura de **5a** e **35a**



**Figura 134** Espectro de RMN de  $^{13}\text{C}$  { $^1\text{H}$ } (75,5 MHz,  $\text{CDCl}_3/\text{TMS}$ ) (a) DEPT 135; b) DEPT 90 dos compostos **5a** e **35a**

#### 4.6.9 Reação do composto **10** com MeOH/Na



À uma solução de MeOH (0,5 mL) e sódio metálico (4,0 mg, 0,174 mmol), sob atmosfera de argônio, adicionou-se uma solução do composto **10** (32,0 mg, 0,144 mmol) em MeOH (1,0 mL). A reação permaneceu em agitação sob refluxo durante 20 horas e após, foi filtrada em uma pequena coluna com sílica (230-400

mesh) obtendo-se uma mistura dos diastereoisômeros **5** e **35a** (17,4 mg, 0,078 mmol, 54 %) na proporção de 60:40 (CG/EM). Essa mistura de compostos foi submetida a uma separação através de placa preparativa (CCP) (20 X 20 cm) sendo utilizado uma mistura de hexano/acetato de etila (97,5:2,5) como eluente. Obteve-se o composto **5** (10,0 mg) com 93% de pureza (CG/EM).

**EMAR:** calculado: 222,1984 encontrado: 222,1983

**EM (70 eV):** *m/z (%)* (composto com menor tempo de retenção e maior concentração na mistura) 222 (81), 151 (83), 138 (60), 111 (100), 43 (55).

**EM (70 eV):** *m/z (%)* (composto com maior tempo de retenção e menor concentração na mistura) 222 (84), 151 (100), 138 (72), 111 (88), 43 (67).

**Dados de RMN para o composto **5****

**RMN de  $^1\text{H}$  (300 MHz,  $\text{CDCl}_3/\text{TMS}$ ):**  $\delta$  0,78 (d, 3H, H-12,  $J = 6,6$  Hz), 0,80 (d, 3H, H-10,  $J = 6,6$  Hz), 0,88 (d, 3H, H-13,  $J = 6,6$  Hz), 0,96 (d, 3H, H-11,  $J = 6,6$  Hz), 1,96-2,06 (m, 1H, H-9), 2,30-2,45 (m, 1H, H-8), 2,83(falso triplete, 1H,  $\text{H}_{1\alpha}$ ,  $J = 4,2$  Hz.

**RMN de  $^{13}\text{C}$  (75,5 MHz,  $\text{CDCl}_3/\text{TMS}$ ):**  $\delta$  14,16 ( $\text{CH}_3$ , C-11), 18,87 ( $\text{CH}_3$ , C-10), 21,03 ( $\text{CH}_3$ , C-12), 21,68 ( $\text{CH}_3$ , C-13), 25,83 ( $\text{CH}_2$ , C-6), 27,80 ( $\text{CH}_2$ , C-3), 28,93 ( $\text{CH}_2$ , C-9), 29,84 (CH, C-5), 32,03 ( $\text{CH}_2$ , C-7), 36,03 ( $\text{CH}_2$ , C-4), 46,05 (CH, C-8), 47,91 (CH, C-2), 49,67 (CH, C-5a), 52,11 (CH, C-1a), 214,44 (C, C-1).

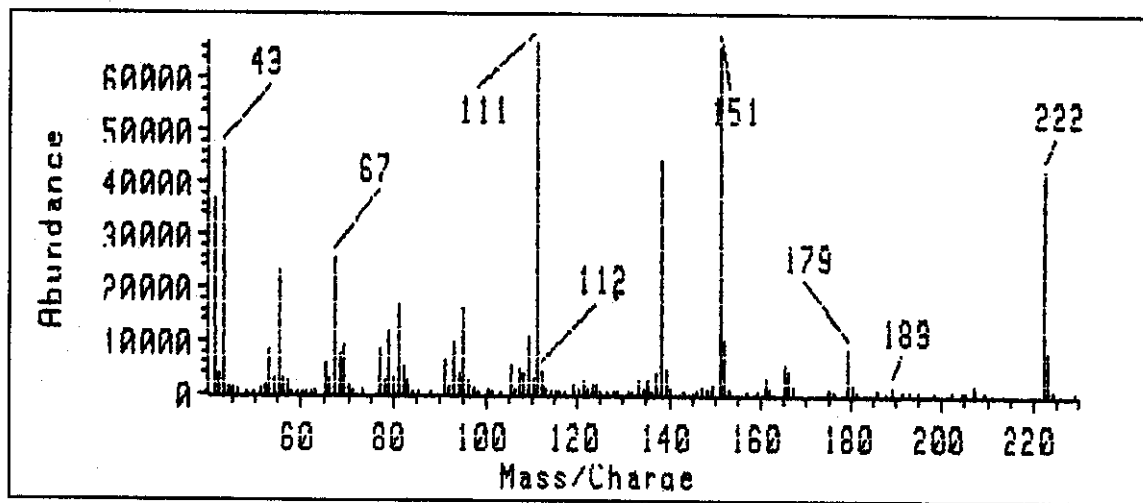


Figura 135 Espectro de massas (70 eV) do composto 5

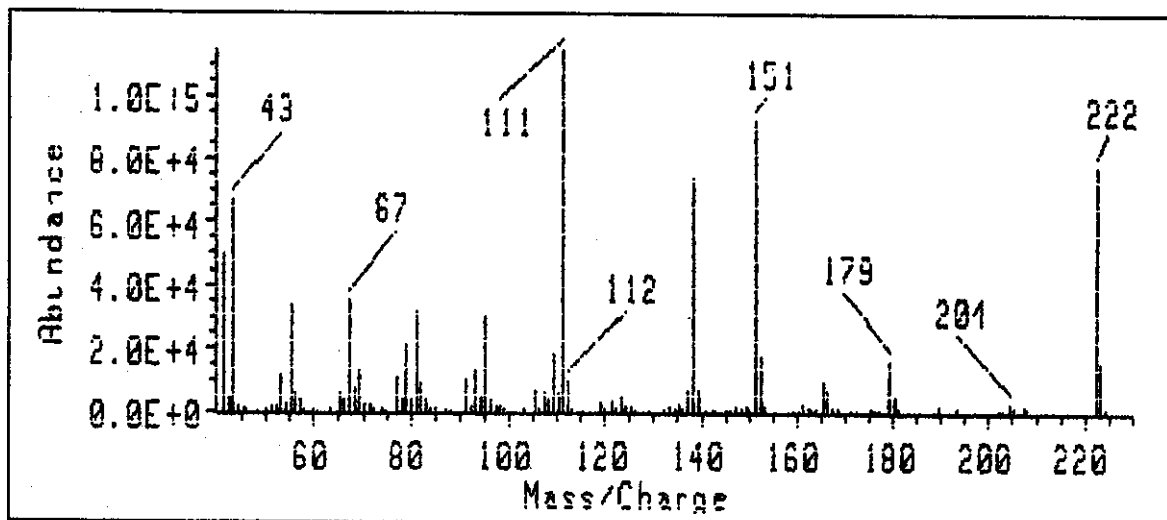
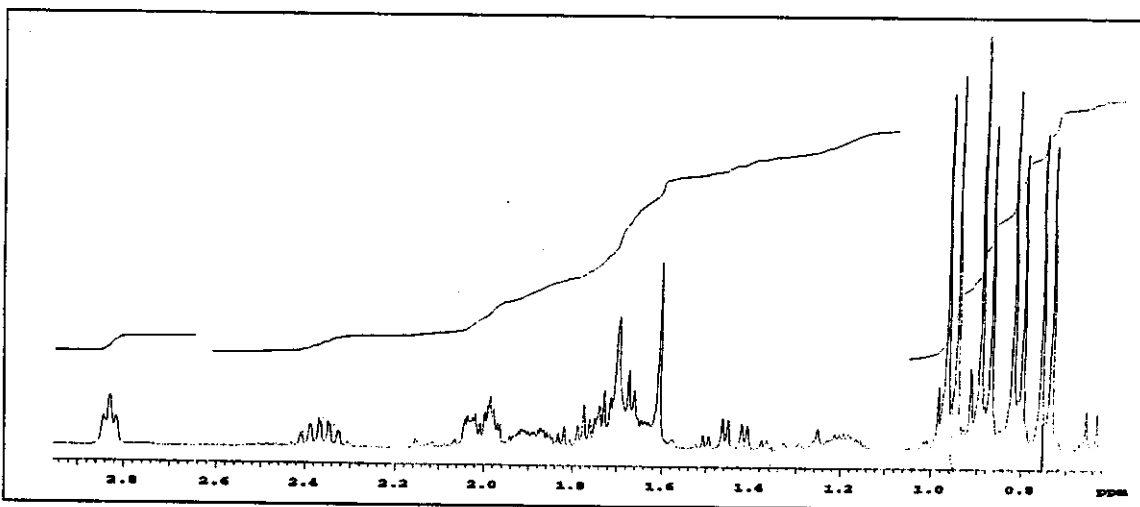
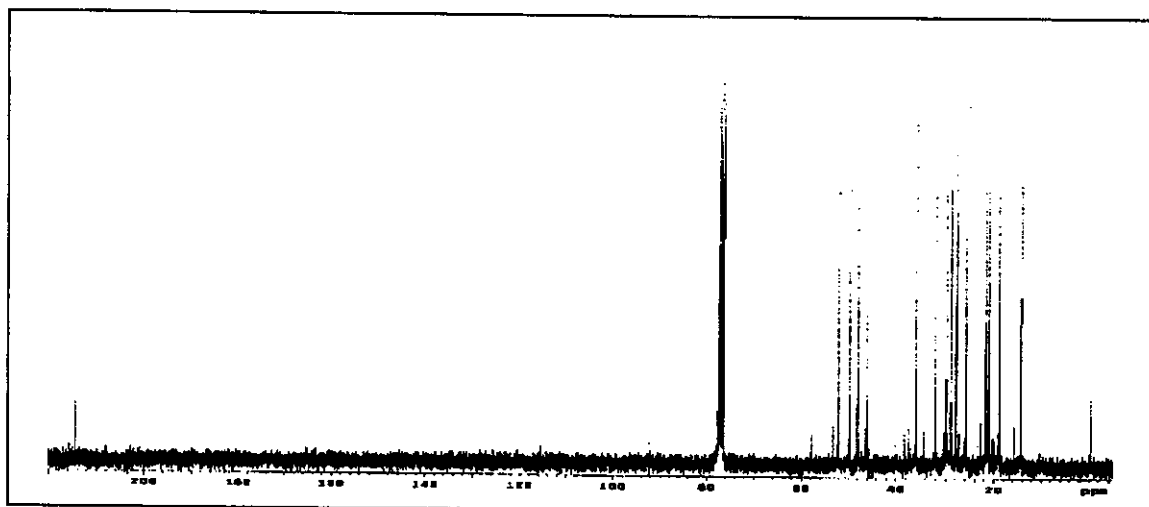


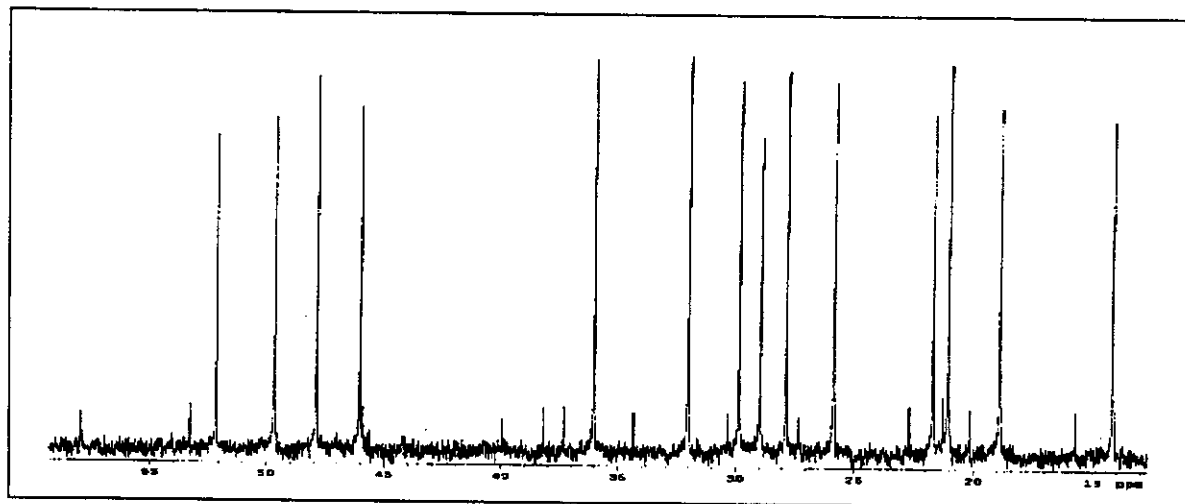
Figura 136 Espectro de massas (70 eV) do composto 35



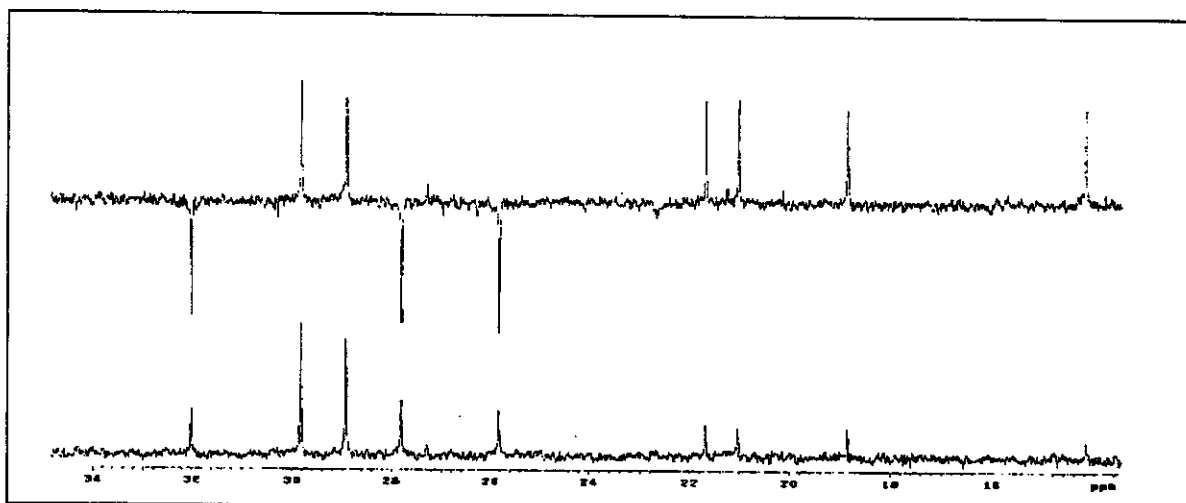
**Figura 137** Espectro de RMN de  $^1\text{H}$  (300 MHz,  $\text{CDCl}_3/\text{TMS}$ ) do composto 5



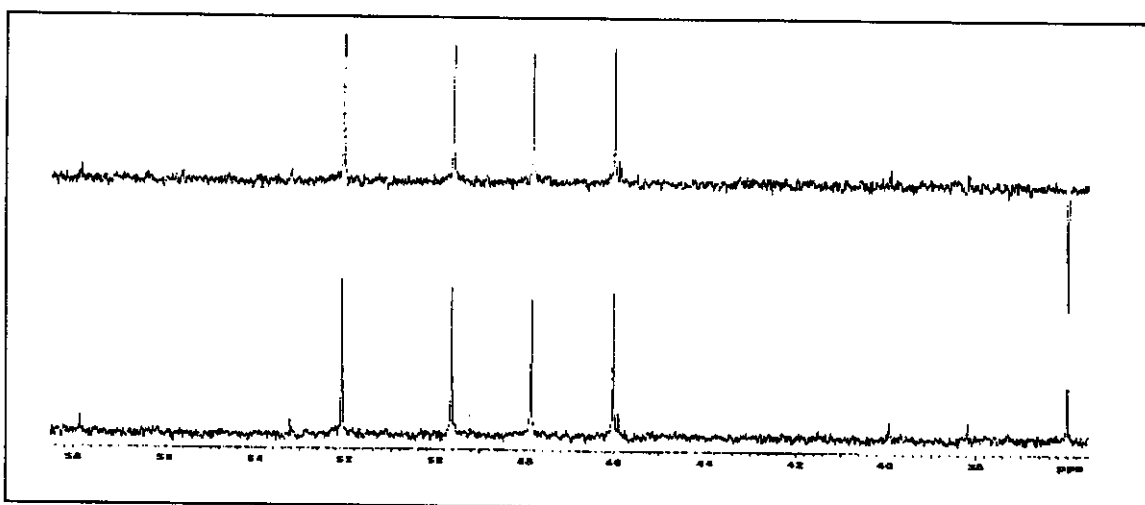
**Figura 138** Espectro de RMN de  $^{13}\text{C}$  { $^1\text{H}$ } (75,5 MHz,  $\text{CDCl}_3/\text{TMS}$ ) do composto 5



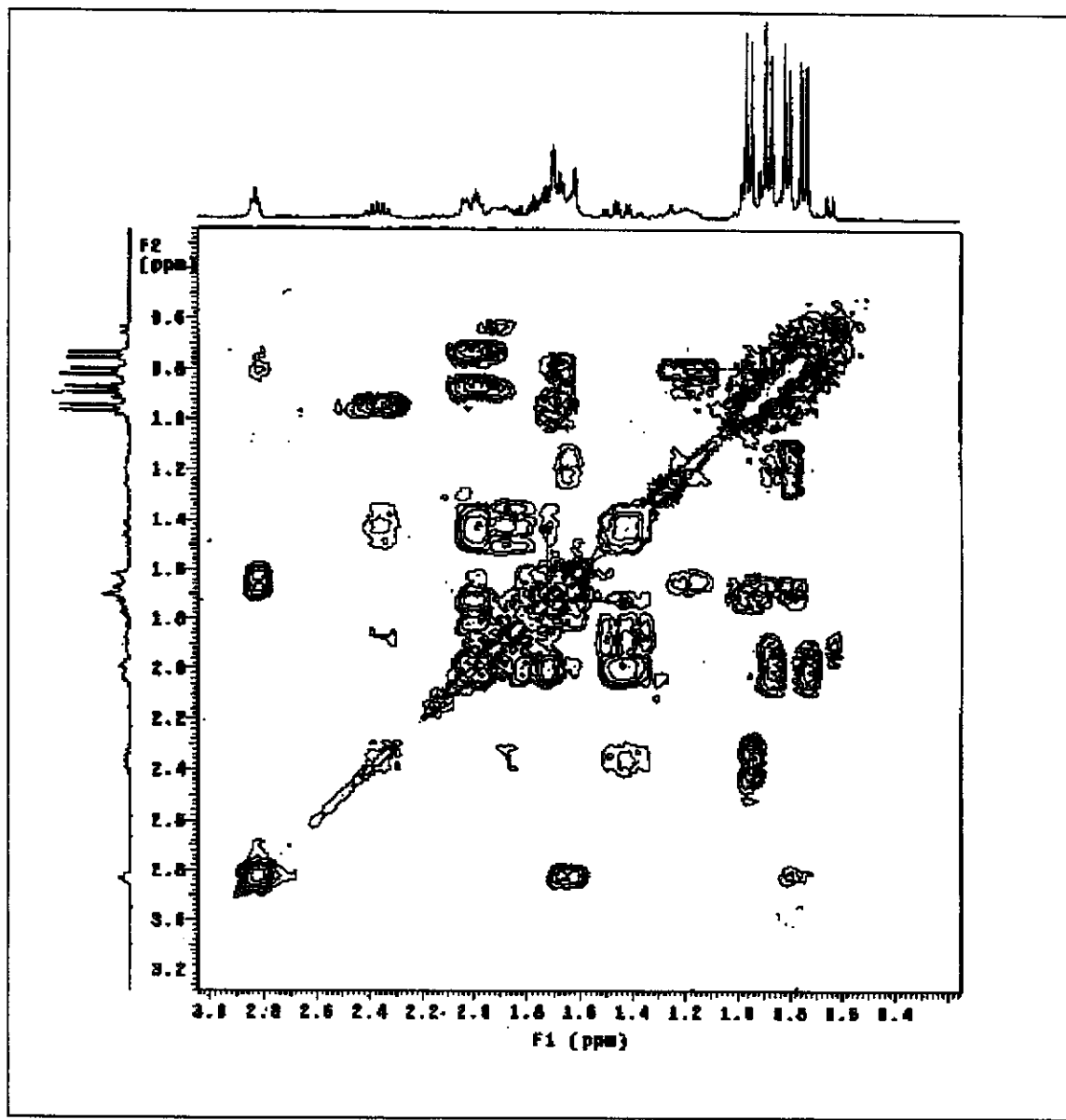
**Figura 139** Expansão do espectro de RMN de  $^{13}\text{C}$  { $^1\text{H}$ } (75,5 MHz,  $\text{CDCl}_3/\text{TMS}$ ) do composto **5** (13 – 59 ppm)



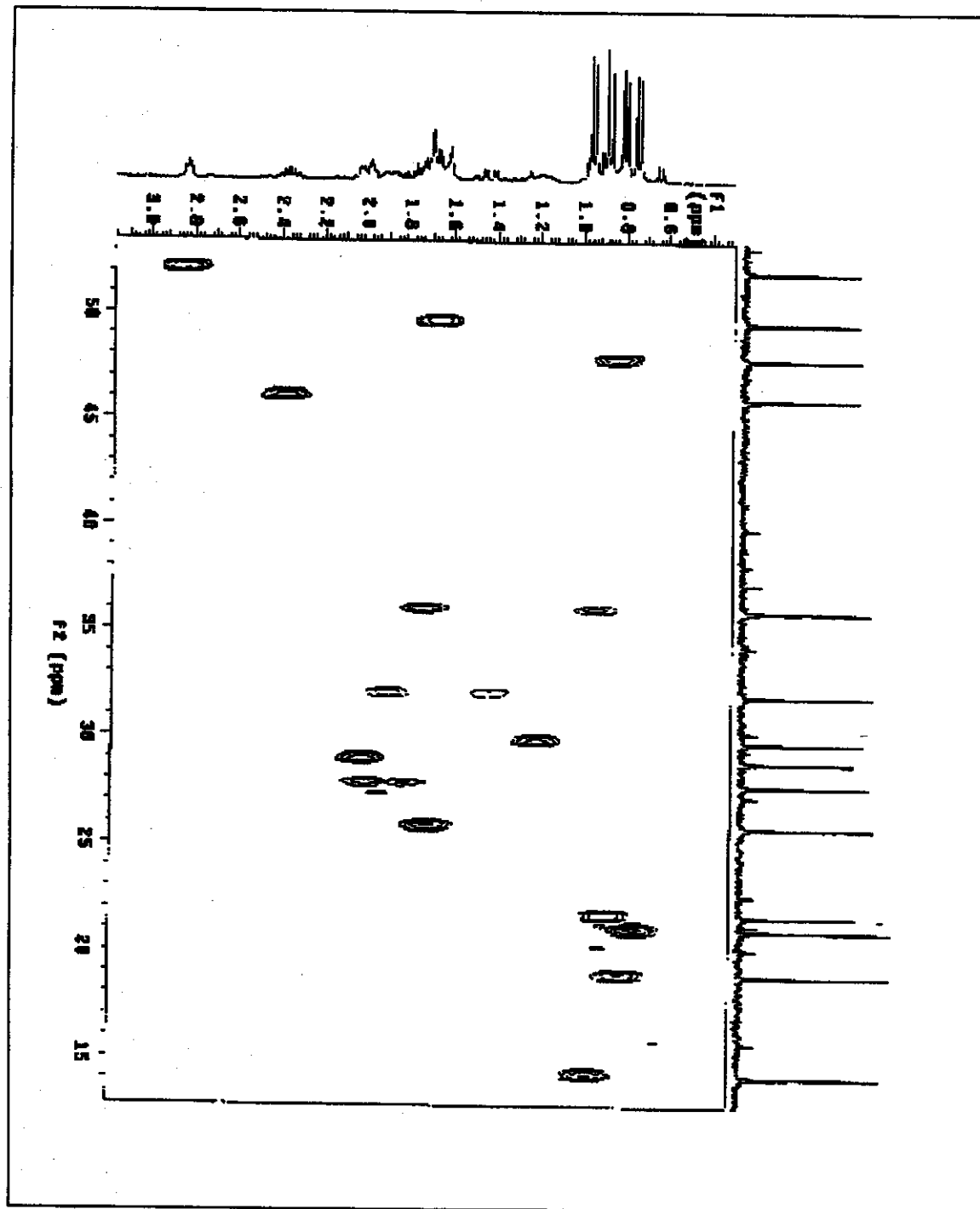
**Figura 140** Espectro de RMN de  $^{13}\text{C}$  { $^1\text{H}$ } (75,5 MHz,  $\text{CDCl}_3/\text{TMS}$ ) (a) DEPT 135; b) DEPT 90 do composto **5** (13-35 ppm)



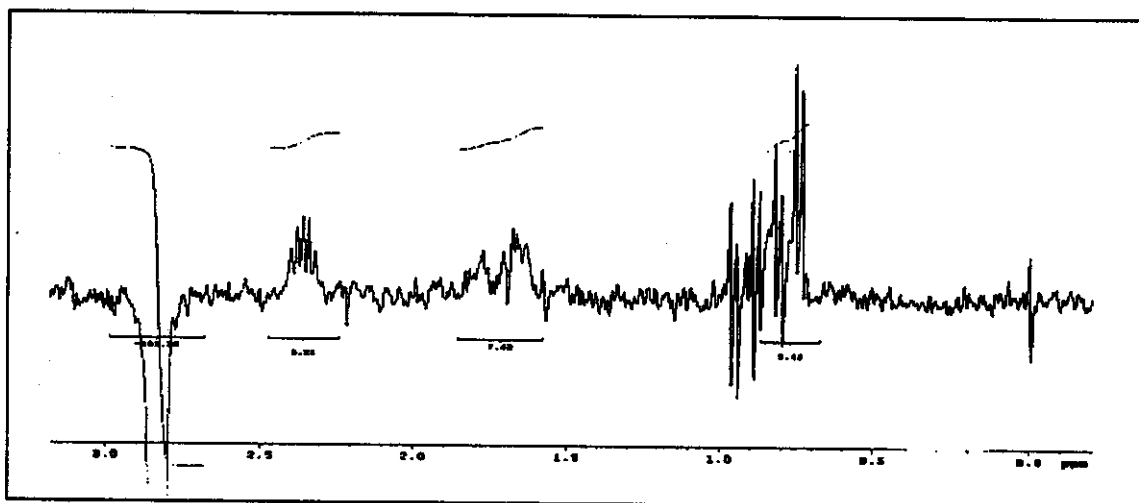
**Figura 141** Espectro de RMN de  $^{13}\text{C}$  { $^1\text{H}$ } (75,5 MHz,  $\text{CDCl}_3/\text{TMS}$ ) (a) DEPT 135; (b) DEPT 90) do composto 5 (36-59 ppm)



**Figura 142** Espectro de RMN de 2D de correlação  $^1\text{H}, ^1\text{H}$  (COSY) do composto **5**

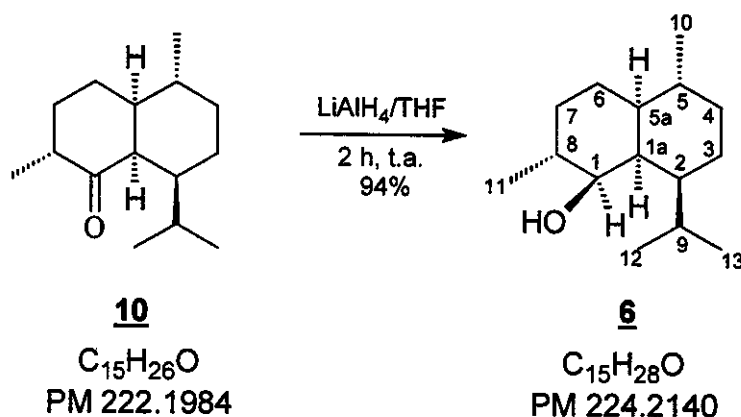


**Figura 143** Mapa de contorno do espectro de RMN de 2D de correlação dos deslocamentos químicos de  $^{13}\text{C}$  (75,5 MHz) e  $^1\text{H}$  (300 MHz) – (HMQC) do composto 5



**Figura 144** Espectro de RMN de  $^1\text{H}$ , diferença de NOE do composto 5

#### 4.6.10 Redução do composto 10 com LiAlH<sub>4</sub>



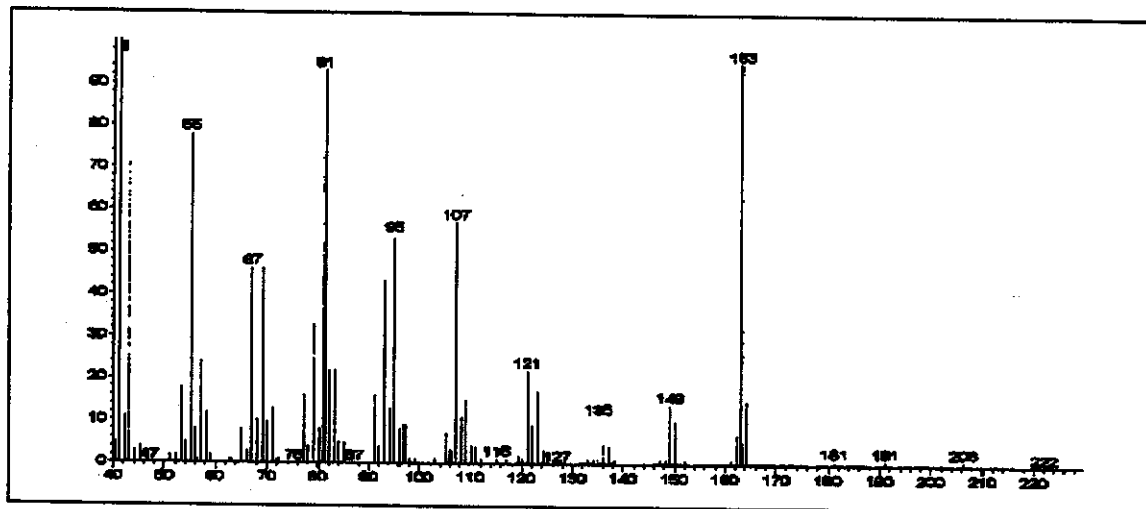
À uma solução do composto **10** (12,0 mg, 0,054 mmol) em THF anidro (3,0 mL), a temperatura ambiente e agitação, adicionou-se lentamente LiAlH<sub>4</sub> (excesso). Após 2 h, foi adicionado gotas de uma solução 3 mol/L de NaOH, a mistura reacional foi filtrada sobre celite e seca sobre Na<sub>2</sub>SO<sub>4</sub> anidro. Após filtração, o solvente foi evaporado em evaporador rotativo obtendo-se o composto **6** (11,3 mg, 0,051 mmol, 94%) na forma de um óleo amarelo-claro.

**EMAR:** calculado ( $M-H_2O$ ): 206,2034 encontrado ( $M-H_2O$ ): 206,2001

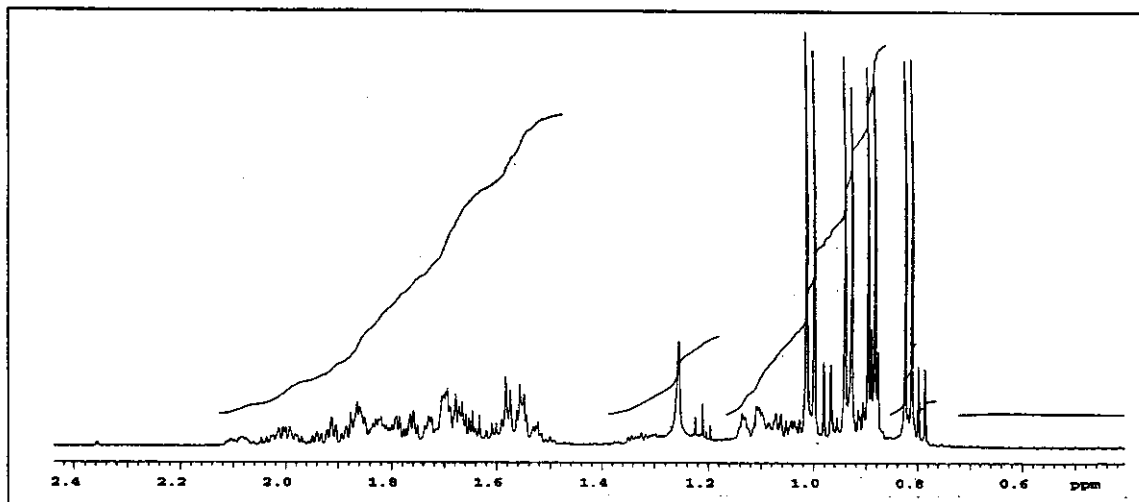
**EM (70 eV):**  $m/z$  (%) íon molecular 224 (0), 206 (2), 191 (2), 163 (100), 149 (14), 135 (12), 107 (57), 95 (54), 81 (93), 55 (78), 43 (74), 41 (98).

**RMN de  $^1\text{H}$  (300 MHz,  $\text{CDCl}_3/\text{TMS}$ ):**  $\delta$  0,82 (d, 3H, H-12,  $J = 6,6$  Hz), 0,89 (d, 3H, H-10,  $J = 6,6$  Hz), 0,93 (d, 3H, H-13,  $J = 6,6$  Hz), 1,00 (d, 3H, H-11,  $J = 7,3$  Hz), 3,86 (s(l), 1H, H-1).

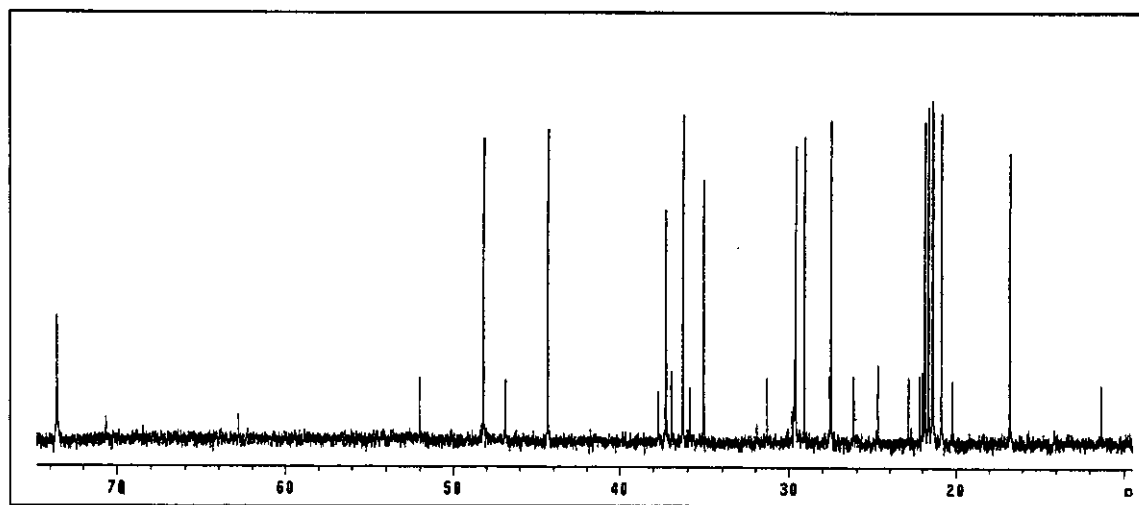
**RMN de  $^{13}\text{C}$  (75,5 MHz,  $\text{CDCl}_3/\text{TMS}$ ):**  $\delta$  16,81 ( $\text{CH}_3$ , C-11), 20,96 ( $\text{CH}_3$ , C-12), 21,46 ( $\text{CH}_2$ , C-7), 21,53 ( $\text{CH}_3$ , C-13), 21,75 ( $\text{CH}_3$ , C-10), 21,95 ( $\text{CH}_2$ , C-6), 27,64 ( $\text{CH}_2$ , C-3), 29,20 (CH, C-9), 29,71 (CH, C-5), 35,22 (CH, C-8), 36,43 ( $\text{CH}_2$ , C-4), 37,43 (CH, C-2), 44,55 (CH, C-1a), 48,36 (CH, C-5a), 73,86 (CH, C-1).



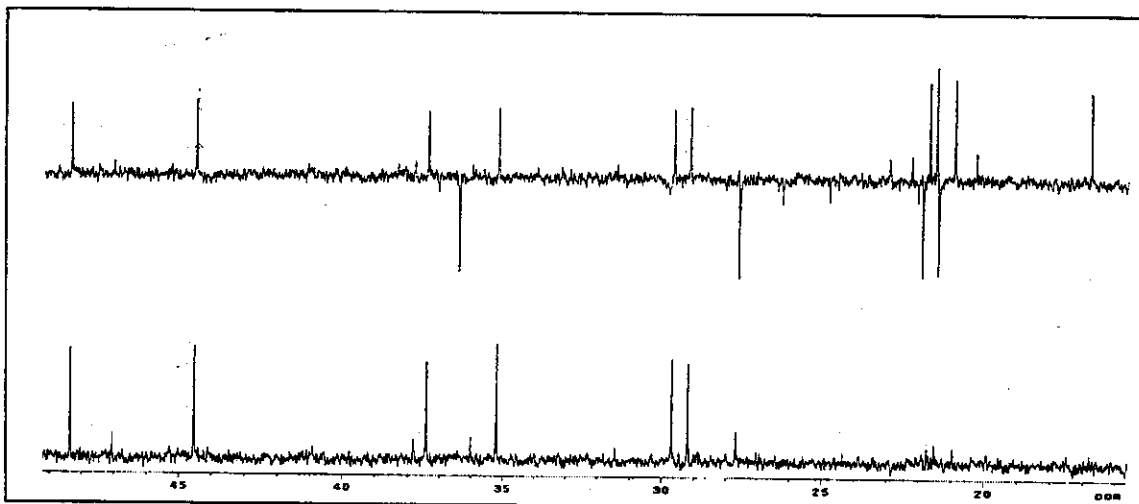
**Figura 145** Espectro de massas (70 eV) do composto 6



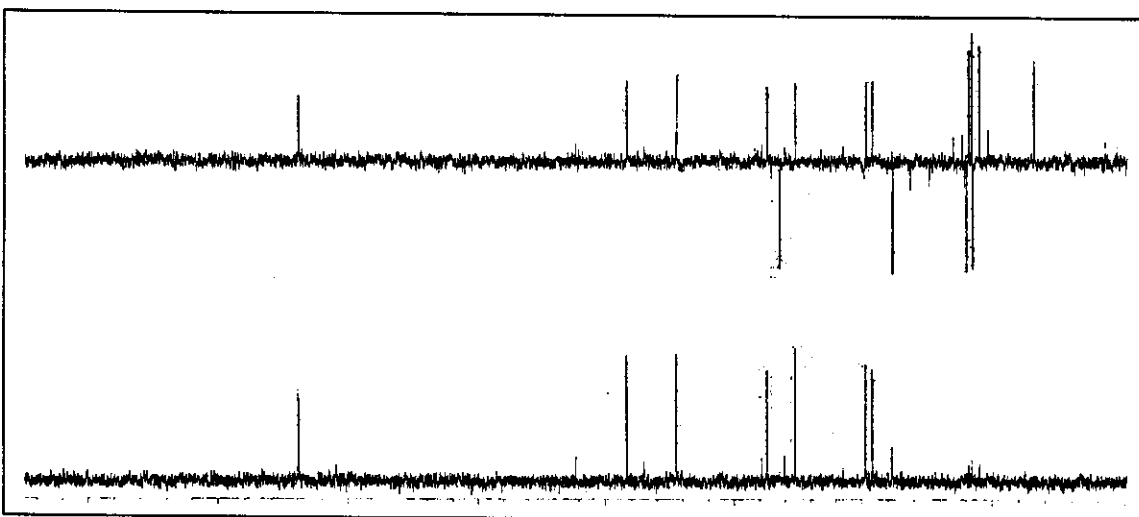
**Figura 146** Espectro de RMN de  $^1\text{H}$  (500 MHz,  $\text{CDCl}_3/\text{TMS}$ ) do composto **6**



**Figura 147** Espectro de RMN de  $^{13}\text{C}$  { $^1\text{H}$ } (500 MHz,  $\text{CDCl}_3/\text{TMS}$ ) do composto **32**

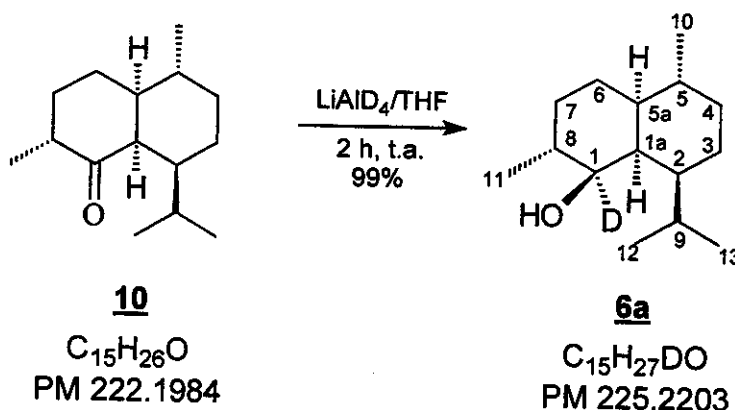


**Figura 148** Espectro de RMN de  $^{13}\text{C}$  { $^1\text{H}$ } (75,5 MHz,  $\text{CDCl}_3/\text{TMS}$ ) (a) DEPT 135; (b) DEPT 90) do composto **6**



**Figura 149** Expansão do espectro de RMN de  $^{13}\text{C}$  { $^1\text{H}$ } (75,5 MHz,  $\text{CDCl}_3/\text{TMS}$ ) (a) DEPT 135; (b) DEPT 90) do composto **5** (15-50 ppm)

#### 4.6.11 Redução do composto 10 com LiAlD<sub>4</sub>



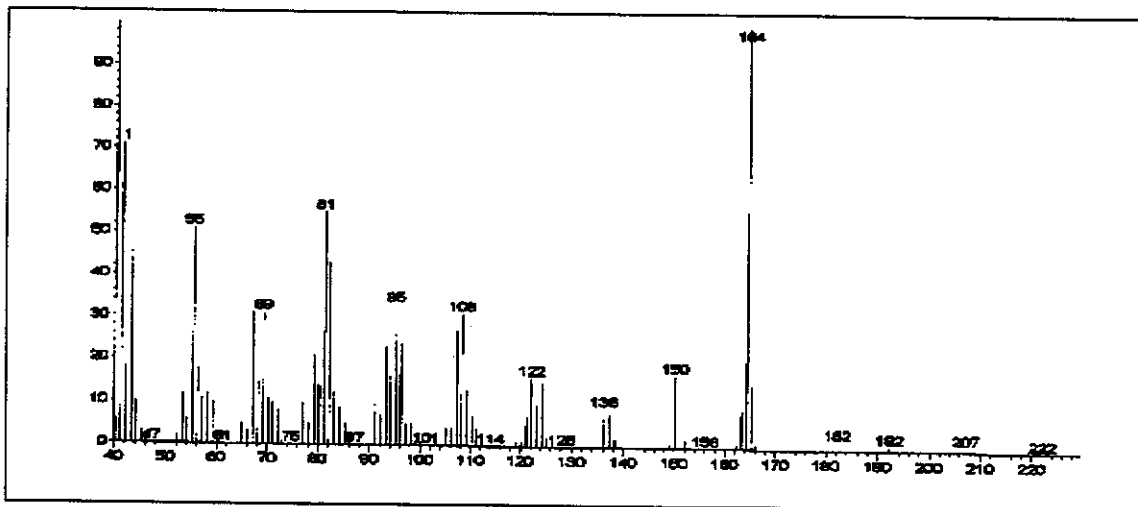
A uma solução do composto **10** (12,1 mg, 0,054 mmol) em THF anidro (3,0 mL), à temperatura ambiente e agitação, adicionou-se lentamente LiAlD<sub>4</sub> (excesso). Após 2 h, foi adicionado gotas de uma solução 3 mol/L de NaOH, a mistura reacional foi filtrada sobre celite e seca sobre Na<sub>2</sub>SO<sub>4</sub> anidro. Após filtração, o solvente foi evaporado em evaporador rotativo obtendo-se o composto **6a** (12,0 mg, 0,051 mmol, 99%) na forma de um óleo amarelo-claro.

**EMAR:** calculado (M-H<sub>2</sub>O): 207,2097 encontrado (M-H<sub>2</sub>O): 207,2218

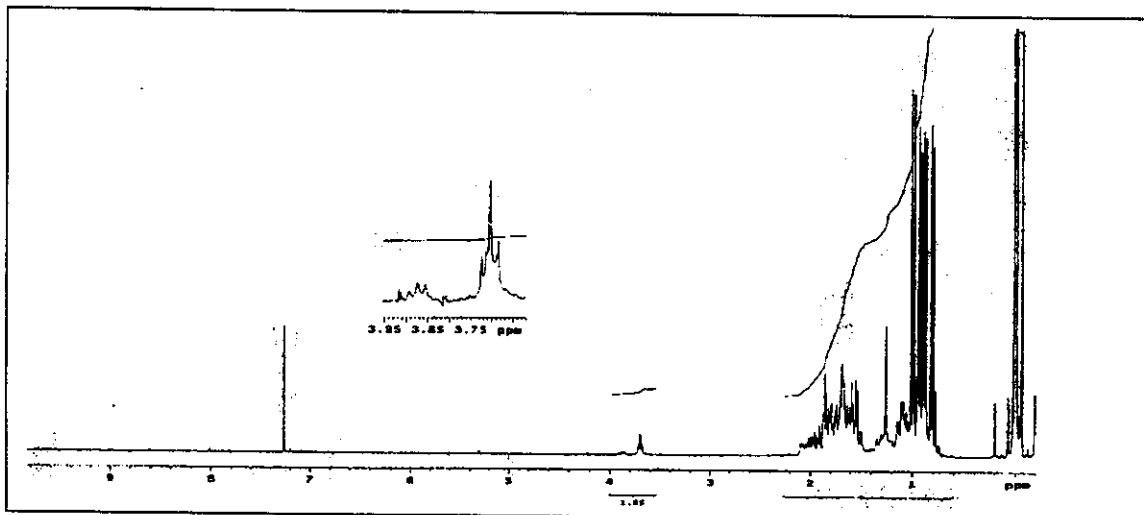
**EM (70 eV):** *m/z (%)* íon molecular 225 (0), 20 (1), 191 (1), 164 (100), 150 (17), 136 (8), 108 (32), 95 (34), 81 (54), 55 (52), 43 (54), 41 (72).

**RMN de <sup>1</sup>H (300 MHz, CDCl<sub>3</sub>/TMS):** δ 0,82 (d, 3H, H-12, J = 6,2 Hz), 0,89 (d, 3H, H-10, J = 6,2 Hz), 0,93 (d, 3H, H-13, J = 6,6 Hz), 1,00 (d, 3H, H-11, J = 7,0 Hz).

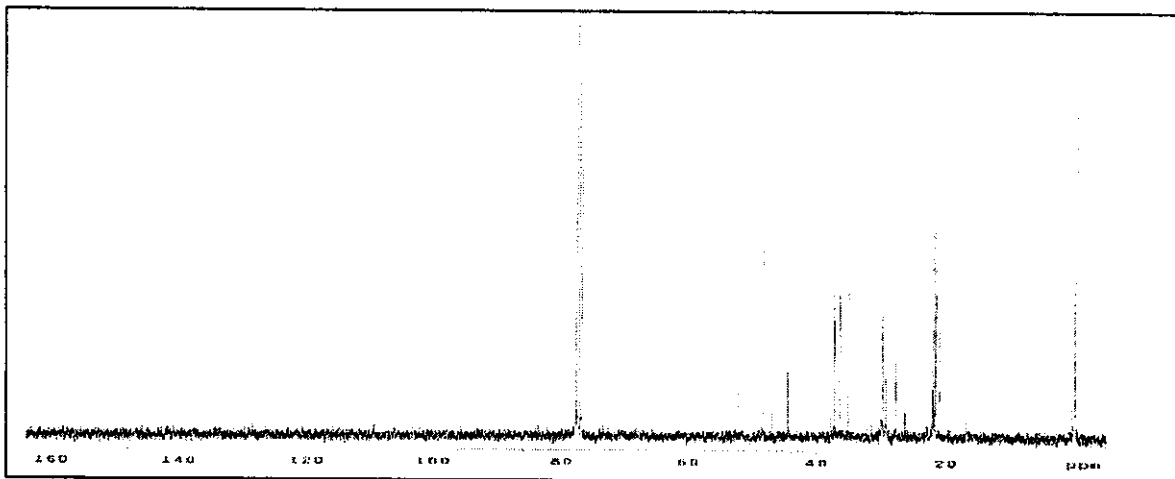
**RMN de <sup>13</sup>C (75,5 MHz, CDCl<sub>3</sub>/TMS):** δ 16,78 (CH<sub>3</sub>, C-11), 20,97 (CH<sub>3</sub>, C-12), 21,44 (CH<sub>2</sub>, C-7), 21,53 (CH<sub>3</sub>, C-13), 21,74 (CH<sub>3</sub>, C-10), 21,95 (CH<sub>2</sub>, C-6), 27,65 (CH<sub>2</sub>, C-3), 29,21 (CH, C-9), 29,72 (CH, C-5), 35,11 (CH, C-8), 36,42 (CH<sub>2</sub>, C-4), 37,31 (CH, C-2), 44,50 (CH, C-1a), 48,34 (CH, C-5a).



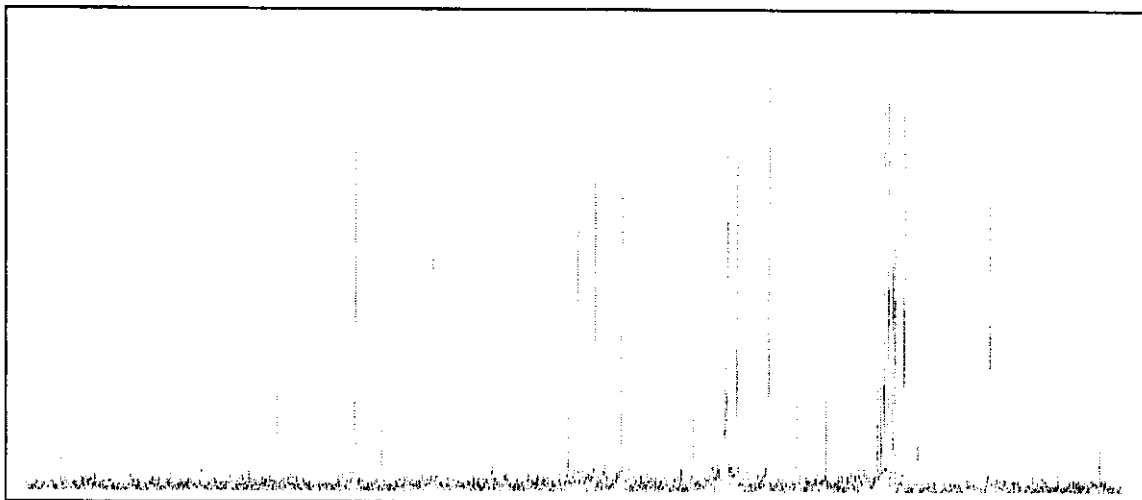
**Figura 150** Espectro de massas (70 eV) do composto **6a**



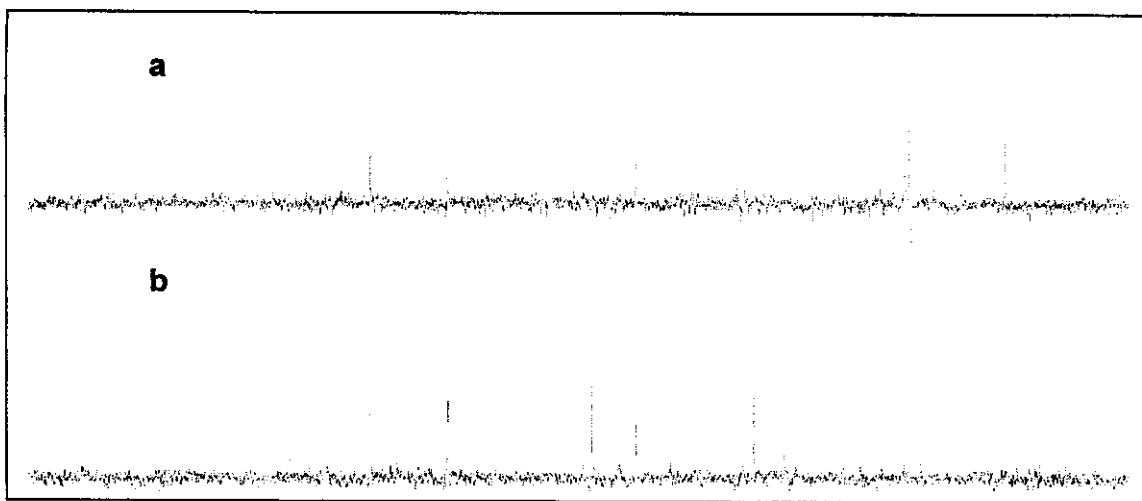
**Figura 151** Espectro de RMN de  $^1\text{H}$  (300 MHz,  $\text{CDCl}_3/\text{TMS}$ ) do composto **6a**



**Figura 152** Espectro de RMN de  $^{13}\text{C}$   $\{^1\text{H}\}$  (300 MHz,  $\text{CDCl}_3/\text{TMS}$ ) do composto 6a



**Figura 153** Expansão do Espectro de RMN de  $^{13}\text{C}$   $\{^1\text{H}\}$  (300 MHz,  $\text{CDCl}_3/\text{TMS}$ ) do composto 6a (10-65 ppm)



**Figura 154** Espectro de RMN de  $^{13}\text{C}$  { $^1\text{H}$ } (75,5 MHz,  $\text{CDCl}_3/\text{TMS}$ ) (a) DEPT 135; (b) DEPT 90) do composto 6a

## 5 Capítulo 3

### 5.1 APLICAÇÃO DE COMPLEXOS DE COBALTO NA TENTATIVA DE SÍNTESE DE SESQUITERPENOS COM ESQUELETOS DO TIPO TETRACICLO UNDECANO [6.3.0.0<sup>2,4</sup>.0<sup>1,7</sup>]

#### 5.2 CONSIDERAÇÕES GERAIS

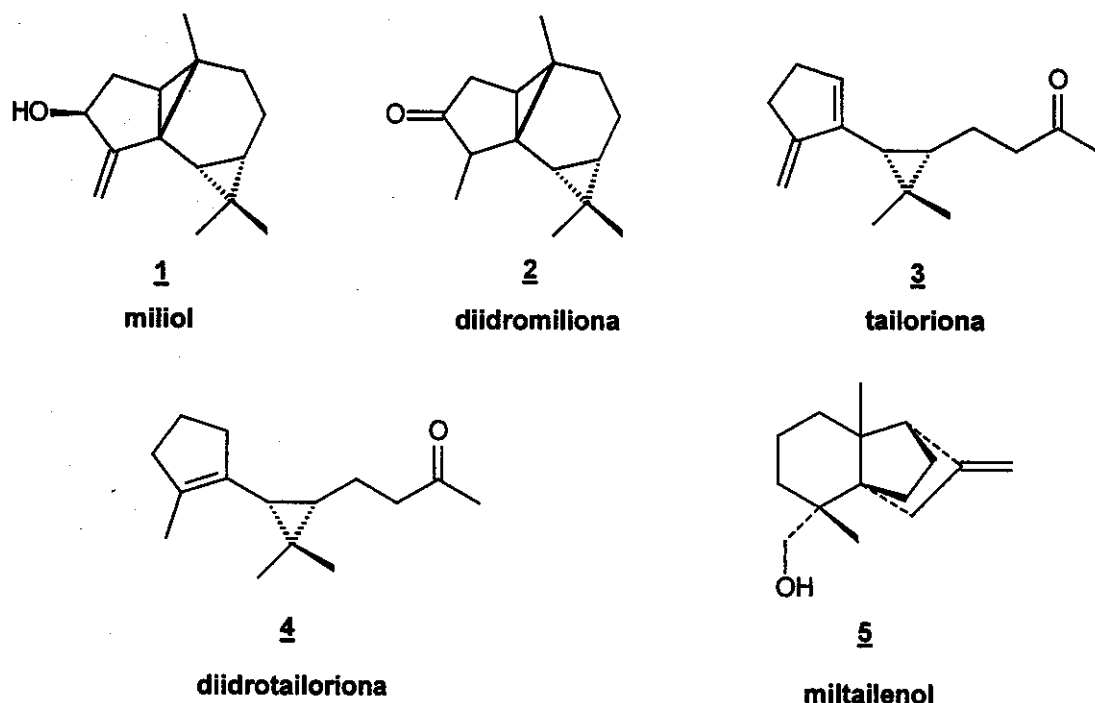
O crescente interesse na aplicação de metais de transição em reações orgânicas e na síntese de produtos naturais se deve à seletividade e reatividade particulares que não são encontradas em reações clássicas. Nesse projeto o foco principal é a reação de Pauson-Khand<sup>1</sup> modificada, envolvendo a inserção das espécies alcino-alceno-monóxido de carbono mediada por octacarbonil di-cobalto ((CO)<sub>8</sub>Co<sub>2</sub>) na presença de óxido de trimetilamina, levando à formação de derivados de ciclopentenonas. Estas e outras unidades contendo anéis de 5 membros estão presentes em muitos produtos naturais e como por exemplo a *nor-tailoriona*<sup>2</sup> encontrada na *Artemisia annua* cultivada no Brasil. Outras espécies onde encontramos esses derivados são as hepáticas (liverworts) que não são consideradas plantas vasculares nem algas mas taxonomicamente consideradas um estágio primitivo na evolução de plantas terrestres. Elas se desenvolvem de esporos e produzem, como metabólitos secundários, sesquiterpenos incomuns. *Mylia taylorii*<sup>3</sup> é um bom exemplo do que foi anteriormente citado, produzindo vários esqueletos sesquiterpênicos inéditos (Figura 1). Desses compostos, cabe citar que o (-)-miltailenol 5 (Figura 1), que apresenta três centros quaternários consecutivos, foi recentemente sintetizado de forma enantiosseletiva por Winterfeldt e colaboradores<sup>4</sup>. O composto 2 (Figura 1) é particularmente interessante pois apresenta um esqueleto tetracíclico pouco usual, de forma que sua obtenção por via sintética seria útil para sua identificação em óleos essenciais de outras plantas.

<sup>1</sup> P.L. Pauson, *Tetrahedron*, 1985, 41, 5855

<sup>2</sup> C.M. de Oliveira, V.L. Ferracini, M.A. Foglio, A. de Meijere and A.J. Marsaioli; *Tetrahedron Asymmetry*, 1997, 1833-1839

<sup>3</sup> A. Matsuo, S. Sato, M. Nakayama and S. Hayashi, *Tetrahedron Lett.*, 1974, 42, 3681

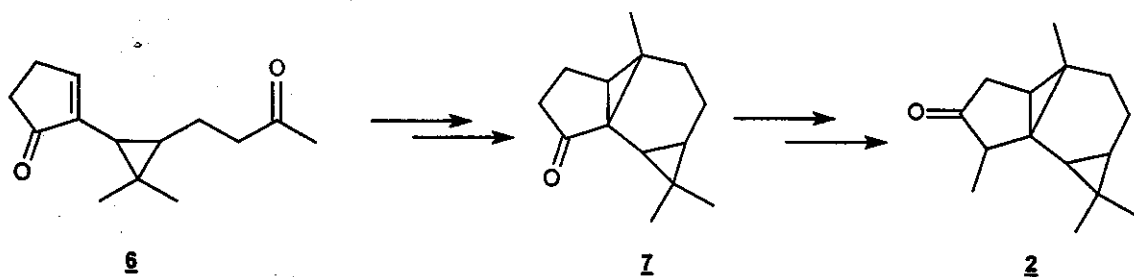
<sup>4</sup> S. Doye, T. Hotopp and E. Winterfeldt; *Chem. Commun.*, 1997, 1491-1492



**Figura 1** Compostos produzidos por *Mylia taylorii*<sup>3</sup>

### 5.3 OBJETIVO

O objetivo dessa etapa do projeto foi a obtenção do composto tetraciclico **2**, que poderia ser acessado à partir do intermediário pivô **6** (*nor-tailoriona*), previamente obtido através da metodologia de Pauson-Khand<sup>3</sup>.

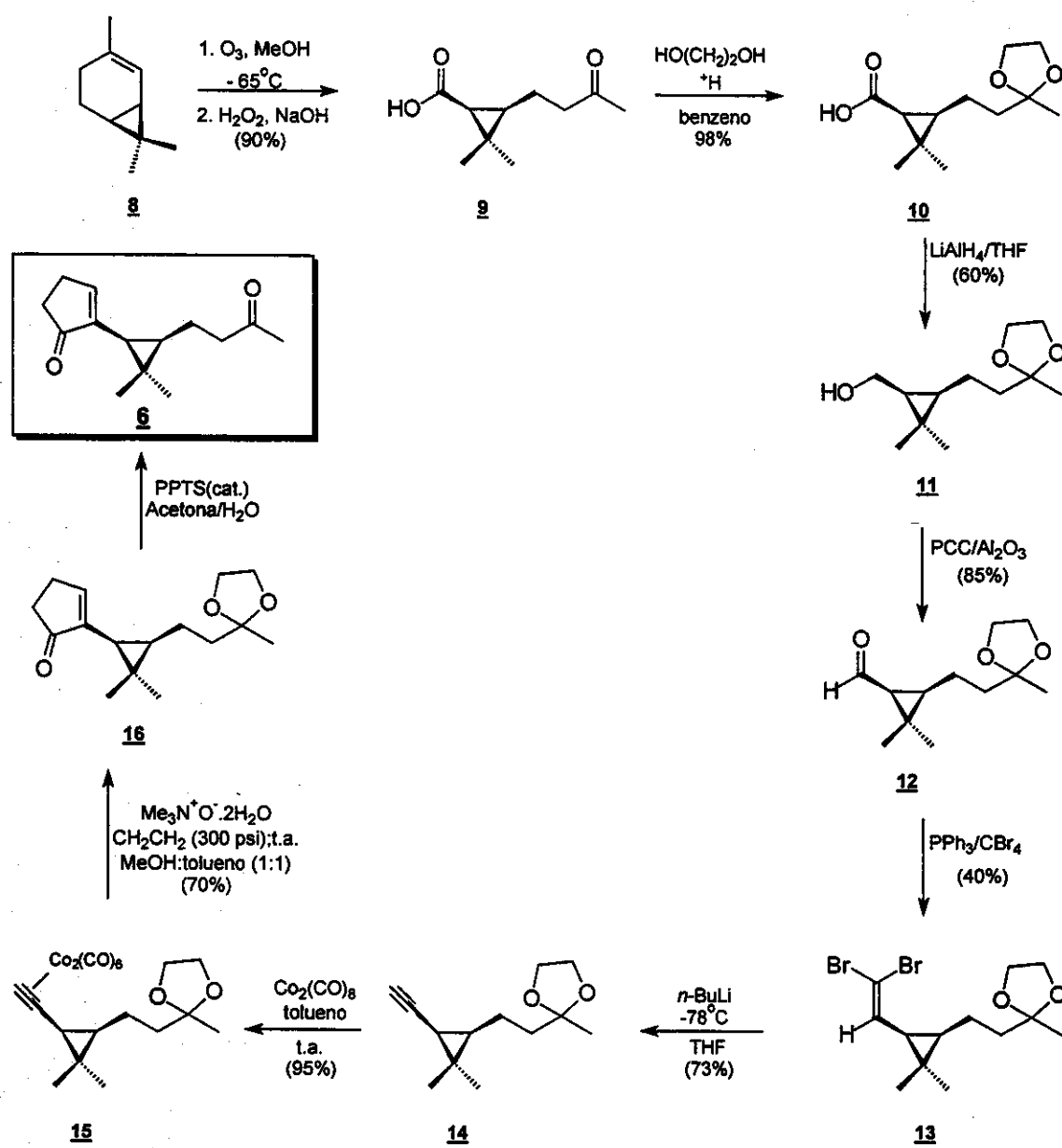


Essa metodologia foi otimizada em nosso laboratório fornecendo **6** em 70% de rendimento, em relação ao alcino-complexo **14**, com o uso de médias pressões (300 psi) de etileno e adição de N-óxido de trimetilamina (Esquema 1).

O terceiro e quarto anéis poderiam ser introduzidos através de vários métodos de ciclopropação, tais como decomposição térmica do sal de

tosilidrazonas (Reação de Bamford-Stevens)<sup>5</sup> e reações de compostos *gem*-dialogenados com duplas ligações deficientes de elétrons, catalizadas por Ni(0)<sup>6</sup>.

## 5.4 RESULTADOS E DISCUSSÕES



**Esquema 1** Rota sintética para obtenção do intermediário pivô *nor*-taioloriona **6**

<sup>5</sup> W. R. Bamford and T. S. Stevens, *J. Chem. Soc.*, 1952, 4735

<sup>6</sup> H. Kanai and S. Iida; *Journal of Molecular Catalysis*, 1992, 71, 7-13

Para obtenção da nor-tailoriona **6**, lançamos mão de metodologia já desenvolvida em nosso laboratório<sup>2</sup> com base na reação de Pauson-Khand modificada a partir de publicações<sup>7,8</sup>, resultando no incremento do rendimento dessa etapa de reação (Esquema 1).

Uma solução de (+)-2-careno **8** em metanol foi mantida em agitação durante 30 minutos a temperatura ambiente, visando uma solução completamente homogênea. Após esse tempo, a solução foi resfriada a -78°C e O<sub>3</sub> foi borbulhado até a solução tornar-se azul. Em seguida, N<sub>2</sub> foi borbulhado através da solução para a retirada do excesso de O<sub>3</sub>. O trabalho de oxidação do ozonídeo foi realizado através de adição cuidadosa de uma solução de H<sub>2</sub>O<sub>2</sub>, seguindo-se a adição de uma solução de NaOH (30%) e refluxo do conteúdo reacional durante 1h. Após acidificação do meio com HCl concentrado, extração dos produtos menos polares com éter etílico e evaporação do solvente, obteve-se o cetoácido **9** (90%) que foi utilizado na etapa posterior, a proteção da carbonila, sem prévia purificação (Esquema 1).

A transformação do composto **9** em **10** (Esquema 1), se faz necessária porque na etapa posterior de síntese deseja-se a obtenção, através de redução, da função álcool no lugar do ácido carboxílico existente. Para essa transformação escolhemos um grupo de proteção que fosse resistente nas próximas etapas da síntese. Uma solução de **9** em benzeno, na presença de ácido *p*-toluenossulfônico (catalítico) e etilenoglicol, permaneceu em refluxo durante 5 horas com contínua remoção de H<sub>2</sub>O (Dean-Stark). Após extração, obteve-se o cetalácido **10** (95-100%) que foi utilizado rapidamente na etapa de redução, sem prévia purificação.

O espectro de RMN de <sup>1</sup>H, caracteriza o composto **10** principalmente por apresentar em δ 3,93 a presença do sinal de um multiplet, referente aos quatro hidrogênios metilênicos do grupo protetor (CH<sub>2</sub>O)<sub>2</sub>. Pode-se verificar também, a presença de três singletos, sendo um em δ 1,33, δ 1,24 e δ 1,17, que foram atribuídos a H-4'', H-4 e H-5, respectivamente. Em δ 1,43 o espectro apresenta o

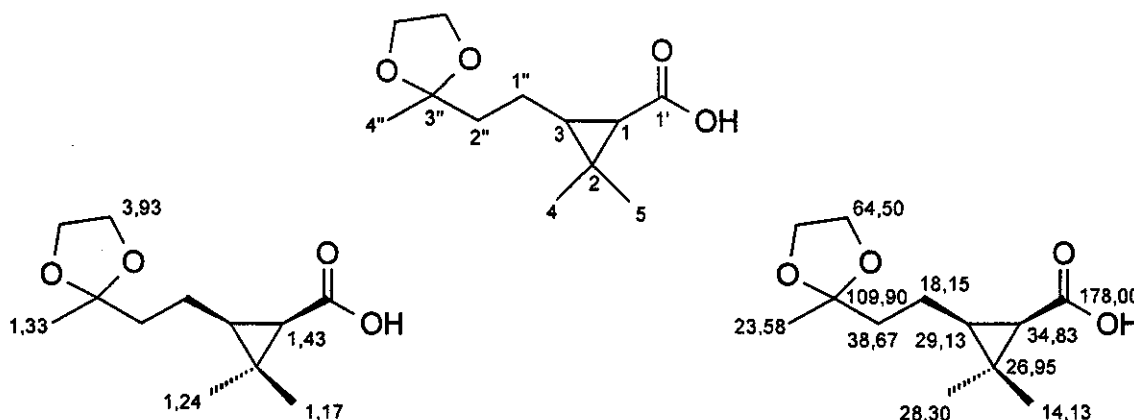
---

<sup>7</sup> C. Johnstone, W. J. Kerr and Udo Lange; *J. Chem. Soc. Chem. Commun.*, 1995, 457-458

<sup>8</sup> T. Sugihara, M. Yamada, H. Ban, M. Yamaguschi and C. Kaneko; *Angew. Chem. Int. Ed. Engl.* 1997, 36, 2801-2804

sinal de um dubbleto com integração para um hidrogênio e  $J = 8,8$  Hz que foi atribuído ao H-1.

O espectro de RMN de  $^{13}\text{C}$ , apresenta em  $\delta$  178,00 o sinal de um carbono desidrogenado, atribuído ao C-1'. Em  $\delta$  109,90, um outro sinal de carbono desidrogenado foi atribuído a C-3" e em  $\delta$  64,50 o sinal, correspondendo a dois carbonos metilênicos, foi atribuído aos carbonos do grupo protetor etilenoglicol.



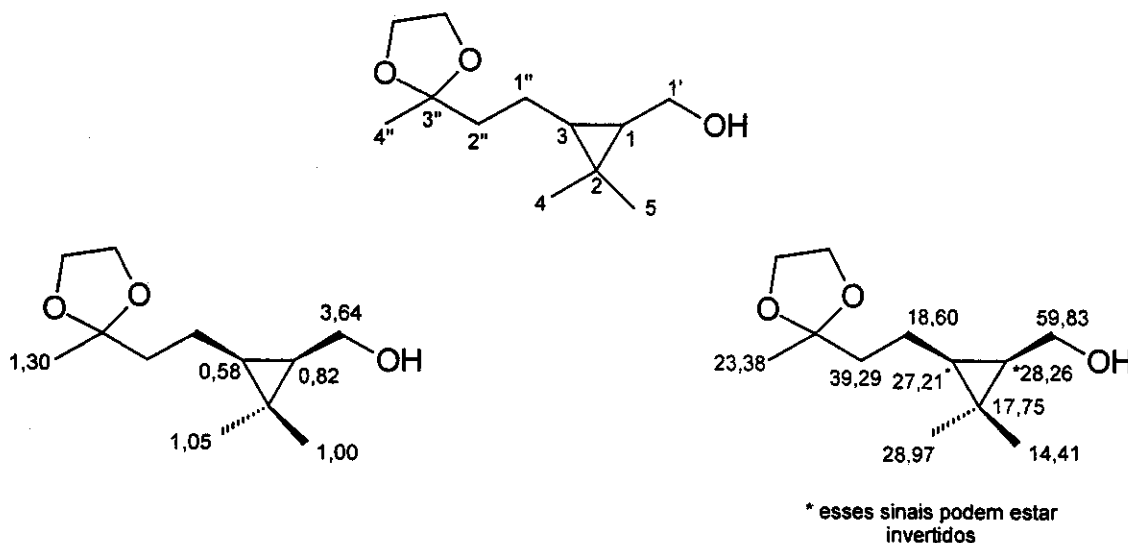
**Figura 2** Deslocamentos químicos dos sinais de RMN de  $^1\text{H}$  e RMN de  $^{13}\text{C}$  para o composto 10 e suas atribuições.

O ácido carboxílico protegido 10, foi facilmente transformado no álcool 11 através de uma reação clássica de redução com  $\text{LiAlH}_4$ <sup>9</sup> (Esquema 1). Após purificação por cromatografia em coluna obteve-se o álcool 11 com 60% de rendimento que foi identificado através de análise de dados espectroscópicos.

O espectro de RMN de  $^1\text{H}$ , apresenta um duplo dubbleto em  $\delta$  3,64, com integração relativa para 2 hidrogênios e com  $J = 2,4$  e 7,5 Hz, que foram atribuídos aos hidrogênios metilênicos carbinólicos H-1'. Em  $\delta$  0,58 e  $\delta$  0,82 o espectro mostra a presença de dois quartetos, com integração relativa para um hidrogênio cada, atribuídos aos hidrogênios H-3 e H-1, respectivamente.

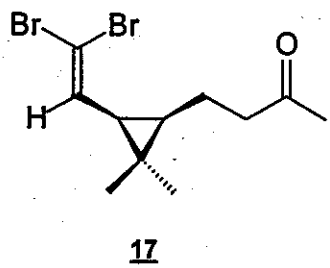
<sup>9</sup> G. B. Hammond, M. B. Cox e D. F. Wiemer, *J. Org. Chem.* 1990, 55, 128

Na análise do espectro de RMN de  $^{13}\text{C}$ , o desaparecimento do sinal do carbono carbonílico e a presença de um sinal em  $\delta$  59,83, correspondendo a um carbono metilênico, atribuído ao carbono carbinólico C-1', confirma a formação do álcool primário **11**.



**Figura 3** Deslocamentos químicos dos sinais de RMN de  $^1\text{H}$  e RMN de  $^{13}\text{C}$  para o composto **11** e suas atribuições

O álcool **11** anteriormente obtido, foi transformado no aldeído **12** através de uma reação de oxidação utilizando-se PCC (clorocromato de piridina) impregnado sobre  $\text{Al}_2\text{O}_3$  (Esquema 1). Esse procedimento foi utilizado para evitar uma possível perda do grupo protetor ocasionada devido a acidez do agente oxidante. A reação foi realizada a temperatura ambiente, sob atmosfera de  $\text{N}_2$  e foi utilizado  $\text{CH}_2\text{Cl}_2$  anidro como solvente.



O aldeído **12**, devido a sua elevada instabilidade frente a oxidação, não foi isolado e sim rapidamente convertido na dibromolefina **17** através do emprego da reação de Corey-Fuchs<sup>10</sup> (Esquema 1).

Uma solução do aldeído **12** em  $\text{CH}_2\text{Cl}_2$  foi adicionado a

**17**

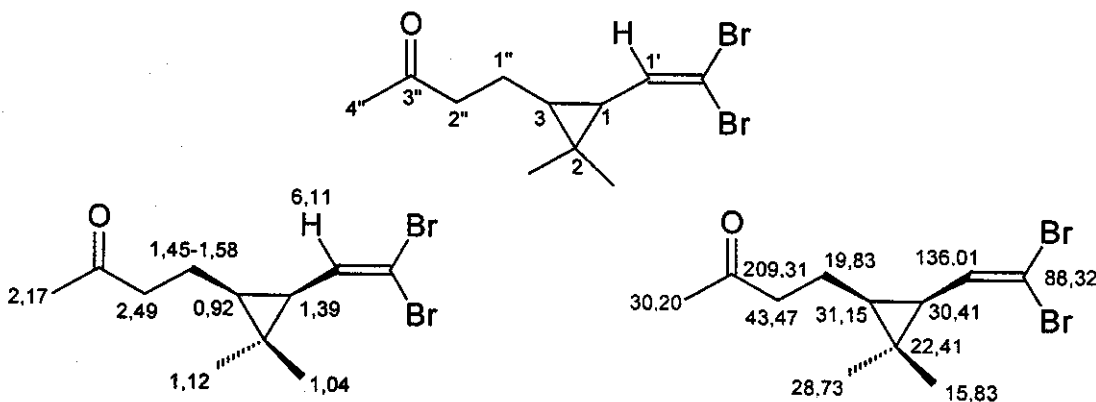
<sup>10</sup> E. J. Corey e P. L. Fuchs, *Tetrahedron Letters* 1972, 36, 3769

uma solução do complexo  $\text{CBr}_4/\text{PPh}_3$  em  $\text{CH}_2\text{Cl}_2$  a  $0^\circ\text{C}$  e mantido em agitação durante 20 min. Após filtração sobre celite, evaporação do solvente e purificação através de coluna cromatográfica, obteve-se a dibromolefina 17 com 37% de rendimento e apenas traços do composto protegido 13. A identificação do composto foi feita após análise dos dados espectroscópicos.

No espectro de massas, observa-se a inexistência do fragmento com  $m/z$  87 ( $\text{C}_4\text{H}_7\text{O}_2$ ), característico desse composto quando a carbonila se encontra protegida na forma de cetal.

No espectro de RMN de  $^1\text{H}$ , verifica-se a presença do sinal de um quarteto em  $\delta$  0,92 e um triplete em  $\delta$  1,39 com  $J = 8,8$  Hz, ambos com integração relativa para um hidrogênio cada um, que foram atribuídos aos hidrogênios H-3 e H-1, respectivamente. Em  $\delta$  2,17 o espectro exibe o sinal de um singuleto, com integração para 3 hidrogênios, característico de uma metila em posição  $\alpha$ -carbonila que foi atribuído aos hidrogênios H-4''. Em  $\delta$  2,49 pode-se verificar o sinal de um triplete com  $J = 7,4$  Hz e com integração para dois hidrogênios, que foi atribuído a H-2''. Em  $\delta$  6,11 o díbleto, com  $J = 8,8$  Hz, integrando para um hidrogênio, foi indubitavelmente atribuído ao hidrogênio olefínico H-1'.

O espectro de RMN de  $^{13}\text{C}$ , mostrou a presença de um sinal em  $\delta$  88,32 correspondente a um carbono desidrogenado que foi atribuído ao carbono C-2'. A presença do grupo carbonila na estrutura, foi confirmada pelo sinal característico exibido em  $\delta$  209,31.



**Figura 4** Deslocamentos químicos dos sinais de RMN de  $^1\text{H}$  e RMN de  $^{13}\text{C}$  para o composto 17 e suas atribuições

De acordo com recente publicação<sup>11</sup> a hidrólise de cetais e acetais pode ocorrer na presença de  $\text{CBr}_4$ , o qual eleva a acidez do meio. Com isso, optou-se por se fazer um controle na adição da solução de  $\text{CBr}_4$  para obtenção da dibromolefina 13, sem haver a desproteção do cetonídio.

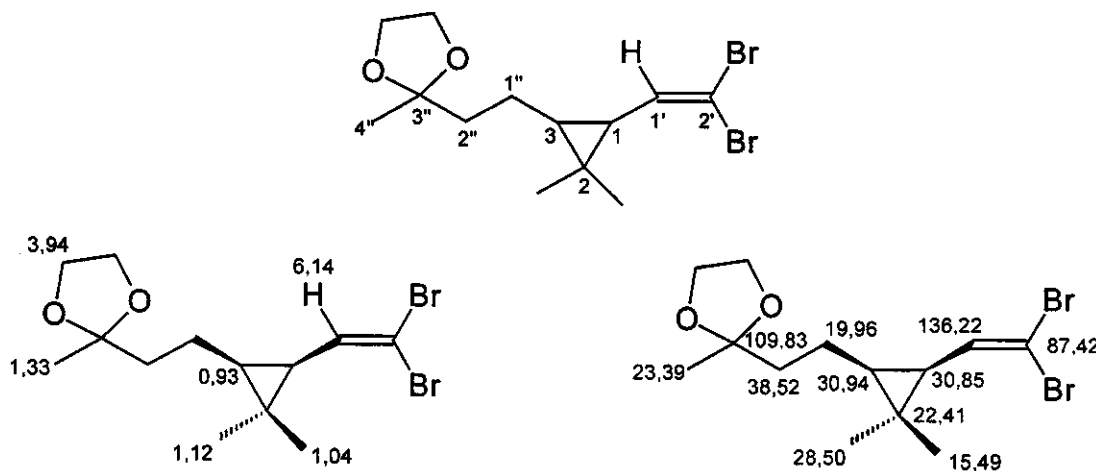
A uma solução do aldeído em  $\text{CH}_2\text{Cl}_2$  anidro e sob atmosfera inerte ( $\text{N}_2$ ), adicionou-se  $\text{Ph}_3\text{P}$ , permanecendo em agitação a  $0^\circ\text{C}$  até completa solubilização. Uma solução de  $\text{CBr}_4$  em  $\text{CH}_2\text{Cl}_2$  anidro foi lentamente adicionada e a reação intensivamente monitorada por CCD (cromatografia em camada delgada) com o objetivo de verificar o desaparecimento do aldeído de partida e o não aparecimento do produto indesejado desprotegido. Após tratamento usual da reação, o produto bruto foi purificado através de cromatografia em coluna e obteve-se a dibromolefina 13 com 40% de rendimento, baseado no álcool 11, que foi identificada através dos dados espectroscópicos.

O espectro de RMN de  $^1\text{H}$ , apresenta um multiplet entre  $\delta$  3,95 – 4,00 característicos dos 4 hidrogênios do grupo protetor  $(\text{CH}_2\text{O})_2$ .

No espectro de RMN de  $^{13}\text{C}$ , verifica-se o desaparecimento do sinal em  $\delta$  209,31, referente ao carbono da carbonila desprotegida, e a presença de um sinal

<sup>11</sup> Johnstone C, Kerr W.J, Scott JS, *Chem. Commun.* 7, 1996, 341-342

intenso em  $\delta$  64,52 atribuído aos dois carbonos metilênicos do grupo protetor etilenoglicol.

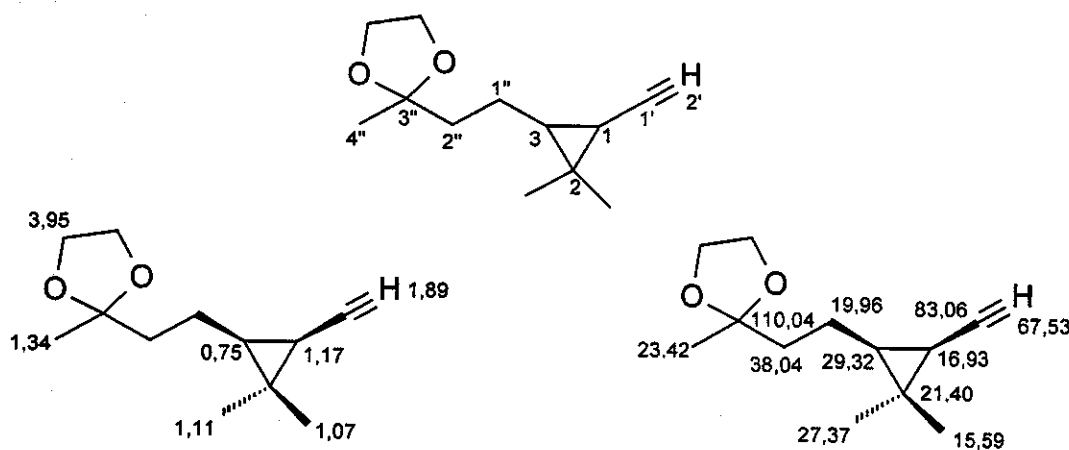


**Figura 5** Deslocamentos químicos dos sinais de RMN de  $^1\text{H}$  e RMN de  $^{13}\text{C}$  para o composto 13 e suas atribuições.

A dibromolefina protegida 13 foi então convertida no alcino 14 (Esquema 1), intermediário chave para a reação de Pauson-Khand na obtenção da *nor*-tailoriona 6. Uma solução do composto 13 em THF anidro a  $-78^\circ\text{C}$ , sob atmosfera inerte ( $\text{N}_2$ ) foi tratada com 2,1 eq. de *n*-BuLi em hexano. Após tratamento adequado da reação e purificação por cromatografia em coluna, o alcino 14 foi obtido com 73% de rendimento e sua estrutura foi caracterizada com base em seus dados espectroscópicos.

No espectro de RMN de  $^1\text{H}$  pode-se verificar a presença de um díngulo em  $\delta$  1,89, com  $J = 2,2$  Hz e um duplo díngulo em  $\delta$  1,17, com  $J = 2,2$  e 8,8 Hz, ambos com integração relativa a um hidrogênio que foram atribuídos aos hidrogênios H-2' e H-1, respectivamente.

A formação de uma tripla ligação na estrutura foi confirmada pela presença, no espectro de RMN de  $^{13}\text{C}$ , dos sinais em  $\delta$  67,53 e  $\delta$  83,06 que foram atribuídos ao C-2' e C-1', respectivamente.



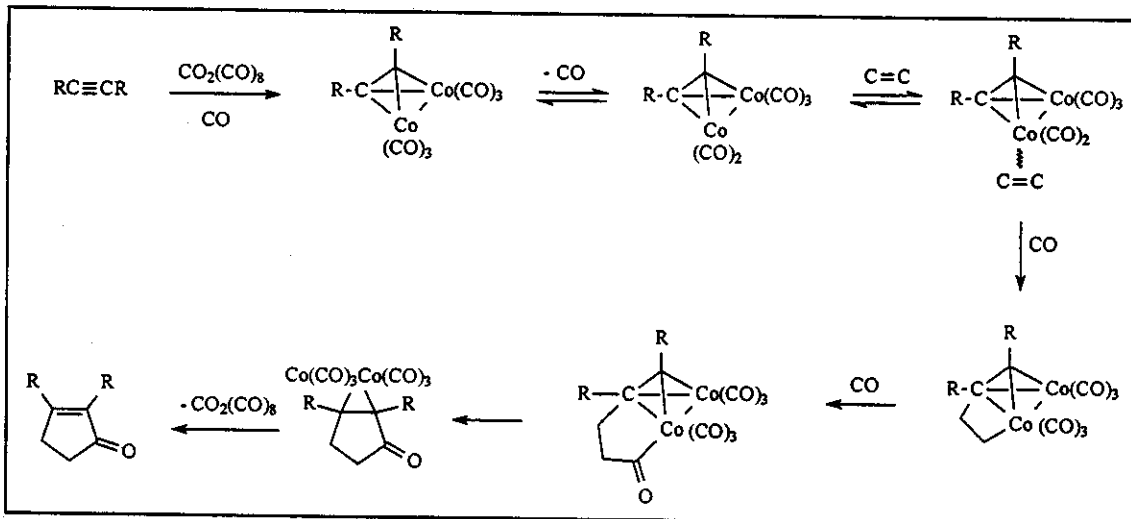
**Figura 6** Deslocamentos químicos dos sinais de RMN de  $^1\text{H}$  e RMN de  $^{13}\text{C}$  para o composto **14** e suas atribuições

### 5.5 Síntese da *cis*-nortailoriona **6** utilizando a metodologia de Pauson-Khand modificada.

A reação de Pauson-Khand é uma cicloadição que envolve alcino, alceno e monóxido de carbono (CO) para gerar ciclopentenonas em um processo de cicloadição  $[2 + 2 + 1]^{12}$ . Essa metodologia foi publicada em detalhes pela primeira vez em 1973 e foi descoberta a partir de um estudo de preparação e caracterização de complexos de alcenos e alcinos com octacarbonila-dicobalto [ $\text{Co}_2(\text{CO})_8$ ]. Em termos gerais, esta reação ocorre através do aquecimento de uma mistura de alceno com um complexo de alcino- $\text{Co}_2(\text{CO})_6$  em uma solução de hidrocarbonetos ou éter. O mecanismo da reação envolve a complexação do alceno por um dos átomos de cobalto do complexo alcino- $\text{Co}_2(\text{CO})_6$  e perda de

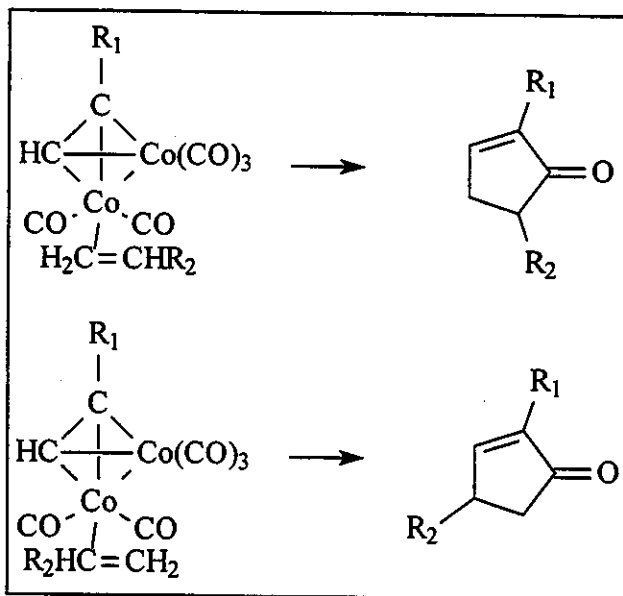
<sup>12</sup> Pauson, P.L. *Tetrahedron* 1985, **41**, 5855. Para uma revisão: Schore, N.E. in *Comprehensive Organic Synthesis* (Eds.: B.M. Trost, I. Fleming, L. A. Paquette), Pergamon Press, Oxford, Vol 5, 1991

uma molécula de CO. Posteriormente, ocorre migração de uma ligação Co-CO, adição de uma molécula de CO, eliminação redutiva de  $\text{Co}(\text{CO})_3$ , completando o processo após a perda do fragmento  $\text{Co}_2(\text{CO})_6$  (Figura 7)



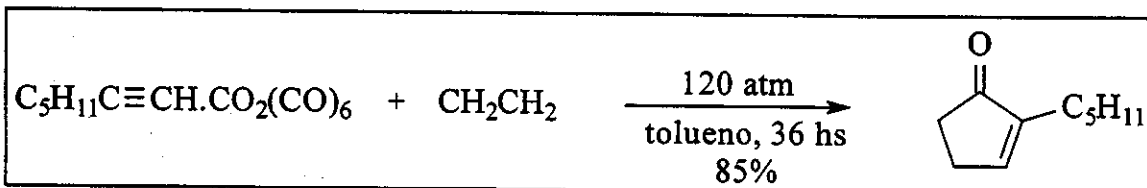
**Figura 7** Mecanismo da reação de Pauson-Khand

Essa reação é muito eficiente para obtenção de ciclopentenonas, resultando um elevado grau na sua régio e estereosseletividade. Com relação ao alceno, a regiosseletividade é determinada por fatores espaciais e, dependendo do tamanho dos substituintes do alceno, a conformação preferencial do complexo alceno-alcino- $\text{Co}_2(\text{CO})_6$  é sempre orientada de tal forma que os substituintes maiores do alceno permaneçam alinhados na direção de um dos grupos carbonila e longe da ligação formada pelos carbonos do alcino (Figura 8). Esta conformação fixa a regiosseletividade do substituinte do alcino, colocando-o na posição 2 da ciclopentenona.



**Figura 8** Regiosseletividade observada em relação ao alceno

Complexos metálicos de hexacarbonildicobalto com alcinos terminais, reagem lentamente com etileno a temperatura ambiente e melhores resultados podem ser obtidos quando condições mais drásticas tais como temperatura (80° - 160°C) e pressão de etileno (50 – 120 atm) são empregadas<sup>13</sup>. Alcinos terminais fornecem predominantemente cetonas 2-substituídas (Figura 9) e os fatores que determinam a regiosseletividade em relação ao Alcino não são claramente determinados.



**Figura 9** Reação do complexo formado po um alcino terminal e etileno

<sup>13</sup> Schore, N. E. *Organic Reactions* 1991, 40, 1

Alcinos internos também estão sendo utilizados em reações de Pauson-Khand, em condições similares com etileno, mostrando uma baixa regiosseletividade na incorporação do alcino<sup>14</sup>.

Quando o alcino-complexo 15 foi colocado nas condições usuais de ciclização<sup>7</sup> (C<sub>2</sub>H<sub>4</sub>, CO, 80°C, tolueno) a ciclopentenona 16 foi obtida com modestos rendimentos de 38 - 40%.

Em comunicação recente<sup>8</sup> e mais tarde uma publicação da síntese total<sup>15</sup>, observamos a utilização da metodologia de Pauson-Khand modificada na obtenção da (+)-tailoriona 6, enantiômero do principal sesquiterpeno isolado da *Mylia taylorii*<sup>3</sup> (Hepática), com rendimentos na faixa de 80%. Esses resultados nos entusiasmaram a utilizar essa metodologia em nosso laboratório na reação de obtenção da nortailoriona 6, um intermediário para reações de ciclopropanação na síntese de sesquiterpenos pouco comuns, como os citados anteriormente (Figura 1). É conhecido que N-óxidos de aminas lentamente descarbonilam carbonilas metálicas através da oxidação do ligante CO para CO<sub>2</sub><sup>16,17</sup>. Ligantes duros, que usualmente contém um átomo de oxigênio ou nitrogênio, agem em complexos de metal-carbonilas de forma a tornar lável a ligação do ligante CO com o metal criando um sítio vazio sobre o átomo de Co facilitando assim a reação de substituição desse ligante<sup>18,19</sup>. Se o ligante duro reage com o complexo alcino-Co<sub>2</sub>(CO)<sub>6</sub> na presença de uma olefina, a substituição do ligante CO pela olefina deve ser facilitada ocorrendo posteriormente a reação de Pauson-Khand.

Para a síntese da nortailoriona 6 (Esquema 1), uma solução do alcino 14 em tolueno foi lentamente adicionado sobre uma solução de octacarbonila-dicobalto em tolueno e mantido sob agitação durante 5h a temperatura ambiente. Após filtração sobre celite e purificação por cromatografia em coluna, o alcino-complexo 15 foi obtido com 95% de rendimento na forma de um óleo vermelho-escuro que foi caracterizado através de seus dados espectroscópicos.

<sup>14</sup> Billington, D.C.; Bladon, P.; Helps, I.M.; Pauson, P.L.; Thomson, W.; Willison, D. *J. Chem. Res.* 1988, 326, 2601

<sup>15</sup> Donkervoort, J.G.; Gordon, <sup>a</sup>R.; Johnstone, C.; Kerr, W.J.; Lange, U. *Tetrahedron* 1996, 52, 7391

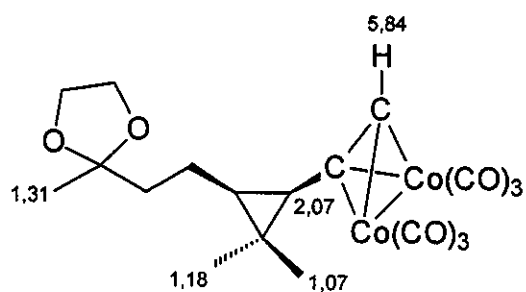
<sup>16</sup> Shen, J.K.; Gao, Y.C.; Shi, Q.Z.; Basolo, F. *Organometallics*, 1989, 8, 2144

<sup>17</sup> Hazum, E. *J. Chem. Soc. Chem. Commun.* 1975, 829

<sup>18</sup> C.M. Lukehart, *Fundamental Transition Metal Organometallic Chemistry*, Brooks/Cole, Monterey, 1985

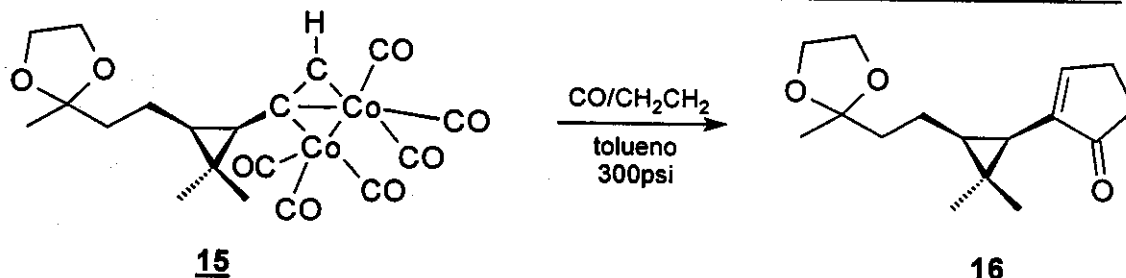
<sup>19</sup> C.A.L. Mahaffy, P.L. Pauson, *Inorg. Synth.* 1979, 19, 155

O espectro de RMN de  $^1\text{H}$ , apresenta um díbleto em  $\delta$  2,07 ( $J = 8,0$  Hz) e um singuleto em  $\delta$  5,84 ambos com integração relativa a um hidrogênio, que foram atribuídos a H-1 e H-2" respectivamente.



**Figura 10** Deslocamentos químicos dos sinais de RMN de  $^1\text{H}$  para o composto **15** e suas atribuições

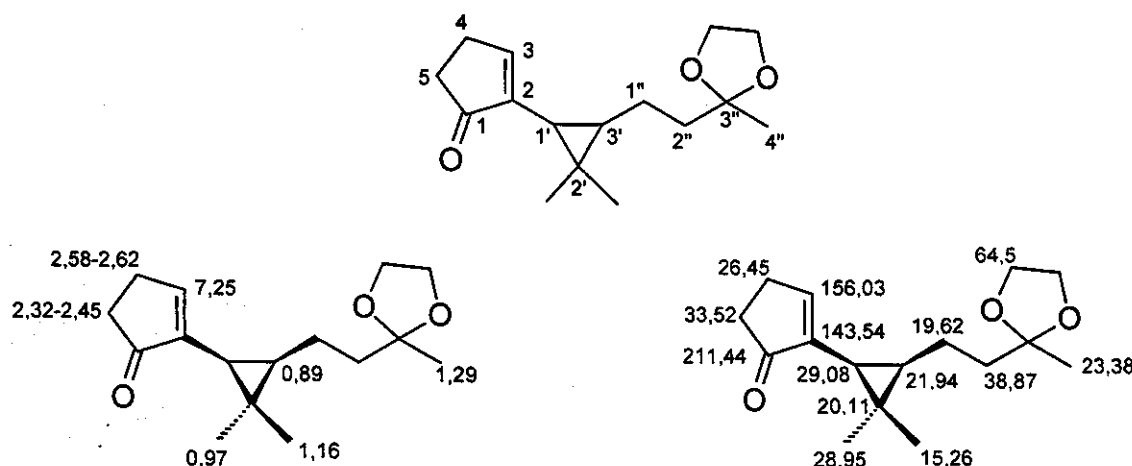
De posse do alcino-complexado **15**, esse foi colocado sob as condições da reação de Pauson-Khand modificada (Esquema 2). Uma solução de *N*-óxido de trimetilamina diidrato em metanol anidro, foi adicionada sobre uma solução do alcino-complexo **15** em tolueno sob agitação. Essa solução foi colocada em um aparato reacional, utilizado para extração de óleos essenciais a altas pressões (J&W, PN 4,006,062 4,265,860) e, após o sistema ser purgado com um leve vácuo e passagens sucessivas de etileno, a pressão foi elevada para 300 psi e o conteúdo reacional mantido em agitação durante 48 horas. Após esse tempo, o produto foi purificado através de cromatografia em coluna, obtendo-se a nortailoriona protegida **16** com 70% de rendimento, na forma de um óleo incolor, que foi caracterizada com base em seus dados espectroscópicos de RMN de  $^1\text{H}$ , RMN de  $^{13}\text{C}$  e EM.

**Esquema 2** Obtenção da nortailoriona **16**

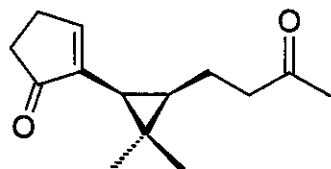
No espectro de massas, verificou-se a presença do pico base com  $m/z$  87 característico do fragmento  $\text{C}_4\text{H}_7\text{O}_2^+$ , do qual faz parte o grupo protetor etilenoglicol.

O espectro de RMN de  $^1\text{H}$ , apresenta dois multipletos sendo um em  $\delta$  2,32 - 2,45 e outro em  $\delta$  2,54 - 2,62, ambos com integração relativa a dois hidrogênios cada, que foram atribuídos aos H-4 e H-5 respectivamente. Em  $\delta$  7,20 - 7,30, o espectro apresenta um multiplet, com integração relativa a um hidrogênio, que foi atribuído ao hidrogênio vinílico H-3.

O espectro de RMN de  $^{13}\text{C}$ , evidencia a formação da ciclopentenona pela presença de um sinal em  $\delta$  211,44 atribuído ao carbono carbonílico (C-1), os sinais em  $\delta$  156,03 e  $\delta$  143,54, atribuídos ao carbono metínico C-3 e ao carbono desidrogenado C-2.

**Figura 11** Deslocamentos químicos dos sinais de RMN de  $^1\text{H}$  e RMN de  $^{13}\text{C}$  para o composto **16**

Para obtenção da nortailoriona 6, uma solução do composto 16 em acetona foi colocada em agitação a temperatura ambiente com uma quantidade catalítica de PPTS<sup>20</sup> e gotas de água. A desproteção foi monitorada por CCD e após 12 horas, o solvente orgânico foi evaporado, éter etílico foi adicionado ao bruto reacional e esse foi lavado com H<sub>2</sub>O. Após extração, a fase orgânica foi seca sobre Na<sub>2</sub>SO<sub>4</sub> anidro e filtrada, obtendo-se a nortailoriona 6 na forma de um óleo incolor, com 95% de rendimento. A caracterização da substância foi realizada através de CG/EM, analisando-se a ausência no espectro de massas do fragmento de *m/z* 87, correspondente ao cetal (C<sub>4</sub>H<sub>7</sub>O<sub>2</sub>).

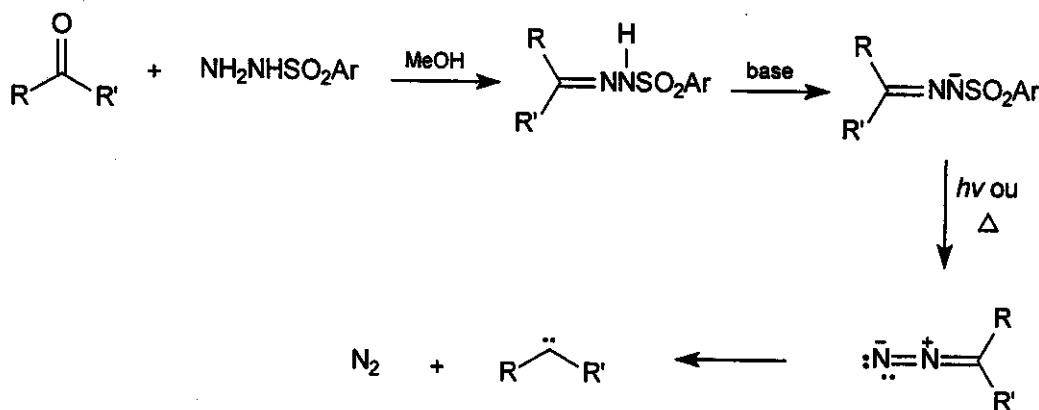


**Figura 12** nor-taioloriona 6

De posse do intermediário pivô 6 partiu-se para a etapa seguinte que deveria envolver uma biciclização ou seja, formação de dois novos ciclos na nortailoriona 6 sendo um deles um anel de 3 membros. Para tanto foi feito um levantamento na literatura das metodologias de ciclopropanação que, na sua maioria partem de olefinas e carbenóides. A reação de Simmons-Smith é bem conhecida e largamente utilizada na síntese de produtos naturais, mas com limitações no que se refere aos substituintes do carbono onde o carbeno será formado<sup>21</sup>. Além disso, olefinas com substituintes doadores de elétrons reagem facilmente enquanto que olefinas deficientes de elétrons não reagem. Na literatura é difícil de encontrar um método para geração de carbenos a partir de cetonas. A reação de Bamford-Stevens<sup>5</sup> é um método utilizado para fazer ciclopropanação a partir da decomposição térmica de um sal de sódio de uma tosilidrazona (Esquema 3).

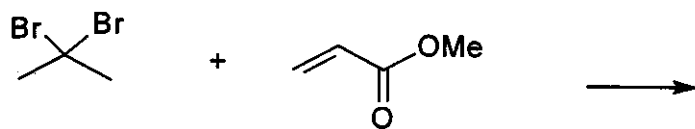
<sup>20</sup> R. Sterzycki, *Synthesis* 1979, 724

<sup>21</sup> H. E. Simmons, T. L. Cairns, S. A. Vlanduchick and C. M. Heiners, *Org. React.*, 1973, 20, 1

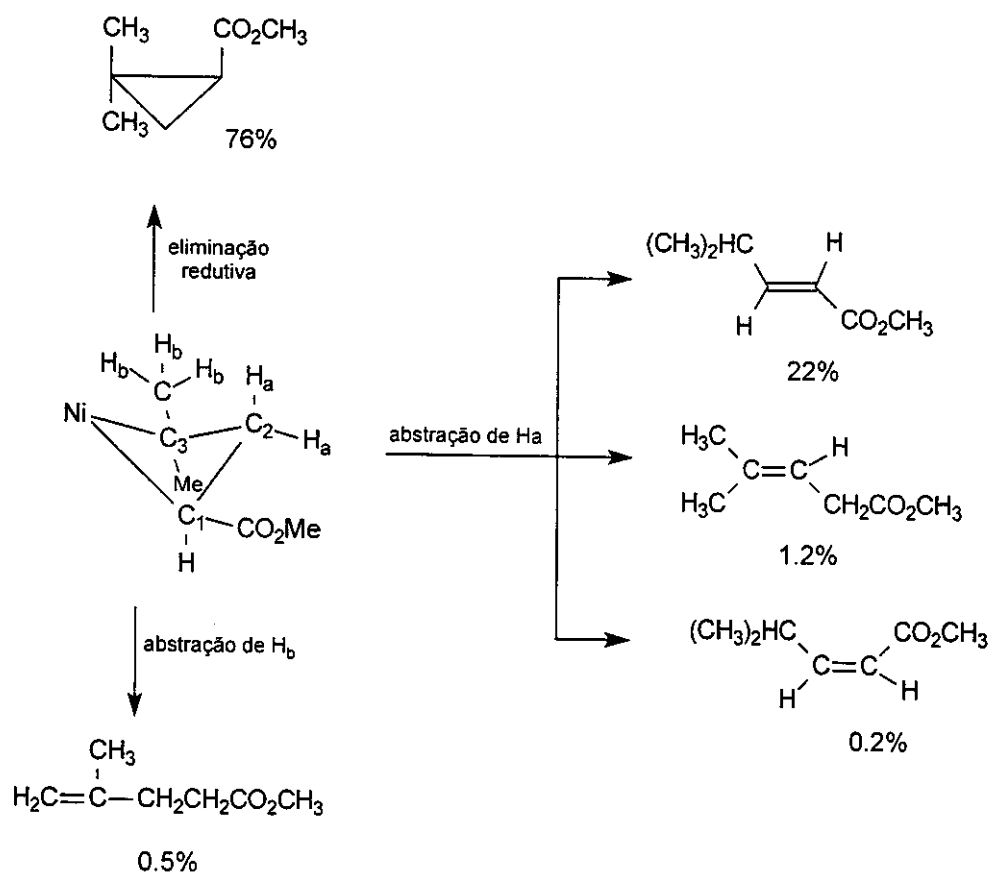


**Esquema 3** Geração de carbeno a partir de uma cetona

Um outro método para se promover a ciclopropanação de olefinas deficientes de elétrons é através de reação de *gem*-dibromolefinas catalizada por um complexo de Ni(0) na presença de zinco<sup>36</sup>. Nesta publicação, a reação de 2,2-dibromopropano com acrilato de metila, encontramos que compostos olefínicos foram concomitantemente produzidos com o ciclopropano desejado através da abstração de hidrogênio  $\beta$  do sistema cíclico intermediário formado com o metal (Ni) (Esquema 4). A abstração de hidrogênios ocorre principalmente nas espécies metilênicas nesse sistema, enquanto que na reação do dimetil-fumarato com 2,2-dibromopropano, apenas os hidrogênios das metilas do grupo isopropila são abstraídos<sup>22</sup>.



<sup>22</sup> H. Kanai, Y. Nischiguchi and H. Matsuda, *Bull. Chem. Soc. Jpn.*, 1983, 56, 1592



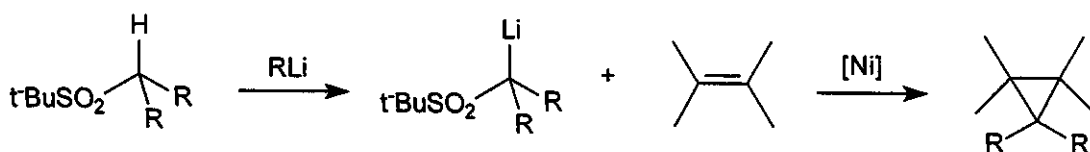
**Esquema 4** Ciclopropanação e formação de produtos de eliminação da reação de acrilato de metila com 2,2-dibromopropano, catalizada por Ni(0).

Um terceiro método para a obtenção do ciclopropano seria a utilização de sulfonas, cujo emprego em síntese orgânica tem aumentado consideravelmente nos últimos anos<sup>23,24</sup>. Em muitos casos, a desprotonação alfa é muito fácil e leva à formação de um carbânion, que posteriormente pode reagir com um eletrófilo e o grupo sulfonyla podendo então ser removido por redução e, mais raramente, por eliminação. Essas sulfonas estão sendo muito utilizadas para obtenção de ciclopropanos (Esquema 5), e o que é interessante é que podem ser obtidas à partir de carbonilas formando ciclopropanos *gem*-dissubstituídos<sup>25</sup>.

<sup>23</sup> Magnus PD, *Tetrahedron*, 1977, 33, 2019

<sup>24</sup> Simpkins ND, *Sulfones in Organic Chemistry*, Pergamon, Oxford, 1993

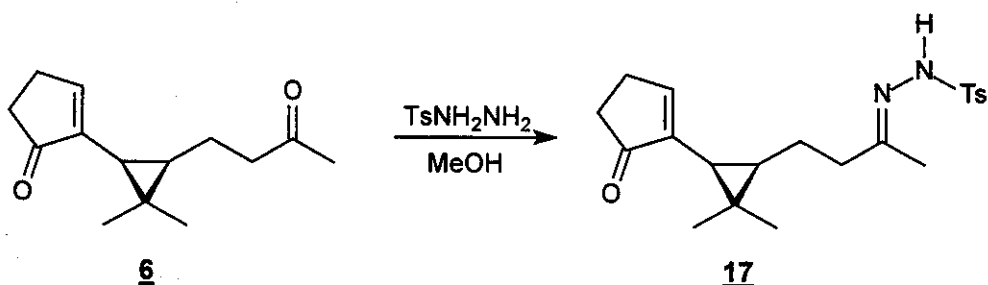
<sup>25</sup> Y. Gai, M. Julia and J-N. Verpeaux, *Bull. Soc. Chim. Fr.* 1996, 133, 817-829



**Esquema 5** Ciclopropanação utilizando sulfonas litiadas

Esse tipo de reação, não é muito conhecido na literatura e deve ser de grande importância pois, existe um elevado número de produtos naturais que apresentam essa unidade em sua estrutura. Para essas reações de ciclopropanação, podem ser utilizadas metil-sulfonas, sulfonas primárias, secundárias, alílicas e benzílicas. As reações são realizadas à partir de sulfonas litiadas e catalizadas por Ni na presença de alcenos, que não precisam necessariamente ser ativados.

1. A nossa tentativa de obtenção do tetraciclo 7 foi com base na metodologia de Bamford-Stevens utilizando a decomposição térmica do sal de sódio da tosilidrazona derivada da *nor*-tailoriona 6 de acordo com um procedimento publicado por Hoffman e Shechter<sup>26</sup>. A tosilidrazona foi preparada por procedimentos padrões, na presença de sulfato de sódio anidro, com quantidades equivalentes de tosilidrazina (Esquema 6).



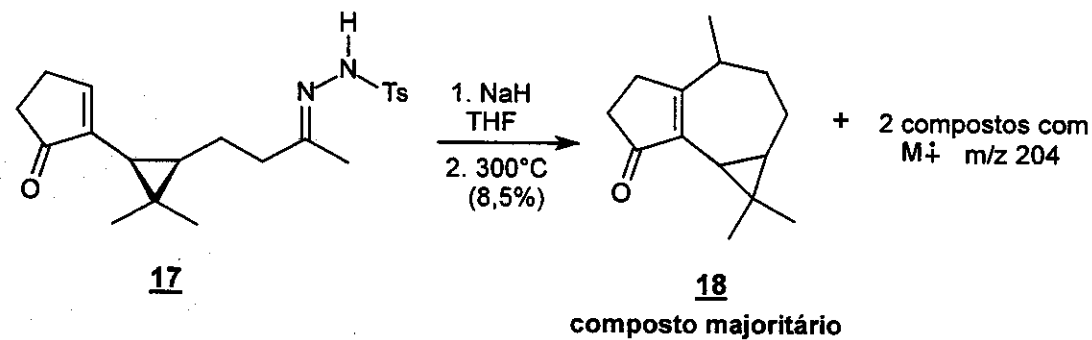
**Esquema 6** Síntese da tosilidrazona 17

A uma solução da *nor*-tailoriona 6 em metanol anidro, na presença de  $\text{Na}_2\text{SO}_4$  anidro e sob agitação, adicionou-se uma solução de tosilidrazina em

<sup>26</sup> R. V. Hoffman, G. G. Orphanides, H. Shechter, *J. Am. Chem. Soc.* 1978, 100, 7927-7933

metanol. Essa reação foi intensivamente monitorada por cromatografia em camada delgada (CCD) até o desaparecimento do composto dicarbonílico. Após filtração e evaporação do solvente, a tosildrazona 17 obtida não foi possível de ser recristalizada sendo essa então utilizada na forma bruta para a formação do sal de sódio, através de adição de NaH sobre uma solução da tosildrazona em THF. O solvente foi evaporado com auxílio de uma corrente de nitrogênio, permanecendo no balão o sal de sódio da tosildrazona.

A decomposição térmica do sal da tosildrazona foi realizada através da conexão de uma das extremidades de um tubo de vidro em forma de "U" a um balão de duas bocas. A base do tubo foi mergulhada a -78°C (CO<sub>2</sub>/EtOH) e na outra extremidade fez-se vácuo (10<sup>-2</sup> mmHg). Após estabilização do vácuo o balão reacional foi aquecido a aproximadamente 300°C. O óleo transparente que ficou condensado foi analisado por CG/EM e constatou-se três produtos com *m/z* 204 para o íon molecular. Esse óleo foi então cromatografado em coluna com sílica e um dos três compostos, o que estava em maior proporção, foi isolado e analisado por RMN de <sup>1</sup>H e RMN de <sup>13</sup>C. Após essas análises, chegou-se a conclusão de que não aconteceu a reação de ciclopropação mas sim uma reação de ciclização, envolvendo o carbono β-da ciclopentenona e o carbono onde foi gerado o carbeno, formando um ciclo de sete membros (Esquema 7), sendo esse o esqueleto básico de muitos sesquiterpenos da classe dos aromadendranos. A estrutura foi caracterizada pelos dados espectroscópicos de RMN de <sup>1</sup>H, RMN de <sup>13</sup>C e EM.

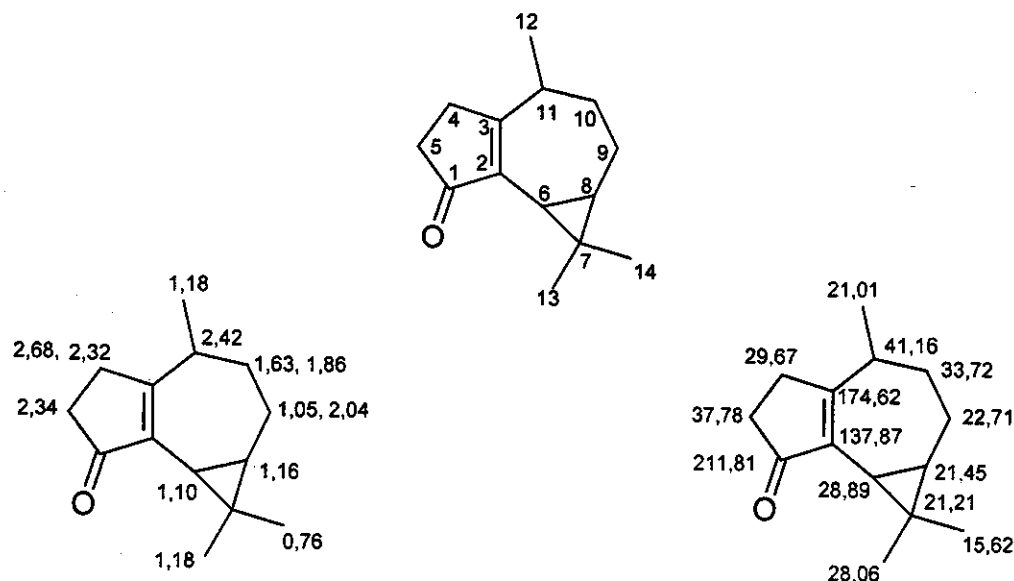


**Esquema 7** Decomposição térmica do sal de sódio da tosildrazona 17

O espectro de RMN de  $^1\text{H}$ , apresenta em  $\delta$  0,76 e  $\delta$  1,18 dois singletos com integração relativa a 3 hidrogênios cada um que foram atribuídos aos H-14 e H-13 respectivamente. Em  $\delta$  1,18 verificamos a presença de um díngulo com integração relativa a 3 hidrogênios e  $J = 7,3$  Hz que foi atribuído a H-12.

O espectro de RMN de  $^{13}\text{C}$ , mostra a presença de um sinal em  $\delta$  211,81 que foi atribuído ao carbono carbonílico C-1. Em  $\delta$  174,62 e  $\delta$  137,87 verifica-se a presença de dois sinais correspondentes a carbonos desidrogenados, em uma região características de carbonos olefínicos, que foram atribuídos a C-3 e C-2 respectivamente.

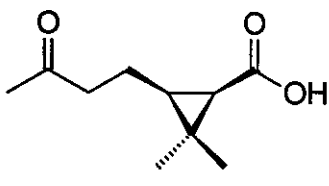
As correlações  $^1\text{H}$ - $^1\text{H}$  (COSY),  $^1\text{H}$ - $^{13}\text{C}$  (HSQC e HMBC) analisadas nos espectros de RMN 2D confirmaram a estrutura do composto **18**.



**Figura 13** Deslocamentos químicos dos sinais de RMN de  $^1\text{H}$  e RMN de  $^{13}\text{C}$  do composto **18**

## 5.6 SÍNTSE

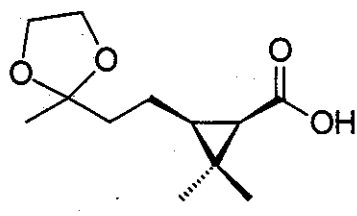
### 5.6.1 Ozonólise do (+)-2-careno – obtenção do cetoácido 9



$C_{10}H_{16}O_3$   
PM 184.1100

Uma solução de (+)-2-careno (2,017g, 14,70 mmol) em metanol (40,0 mL) foi agitada durante 30 minutos a temperatura ambiente. Após, a solução foi levada a -65 °C e sob agitação foi borbulhado  $O_3$  durante 4 h, até o aparecimento de coloração levemente azul na solução, indicando o final da reação. Nitrogênio foi então borbulhado através da solução, para a retirada do excesso de  $O_3$  e, cuidadosamente, adicionou-se uma solução de NaOH 30% (15 mL) e  $H_2O_2$  30% (10 mL). O conteúdo reacional foi colocado em refluxo durante 1h. Após o teste para peróxidos (papel filtro embebido em uma solução de KI) ser negativo, ao conteúdo reacional foi adicionado uma solução de  $Na_2S_2O_5$  e o MeOH evaporado em evaporador rotativo. Após extração com  $Et_2O$  (3 x 20 mL), a solução aquosa foi acidificada com HCl concentrado e extraída com  $CH_2Cl_2$  (3 x 20 mL). As fases orgânicas foram reunidas e secas sobre  $Na_2SO_4$  anidro e o solvente foi evaporado em evaporador rotativo, obtendo-se um óleo amarelo-claro que permaneceu sob vácuo ( $10^{-2}$  mmHg) durante 1h. Obteve-se o ácido 9 (2,44 g, 13,26 mmol, 90%) que foi usado sem prévia purificação para as reações posteriores.

### 5.6.2 Reação de proteção do composto 9 – obtenção do cetalácido 10



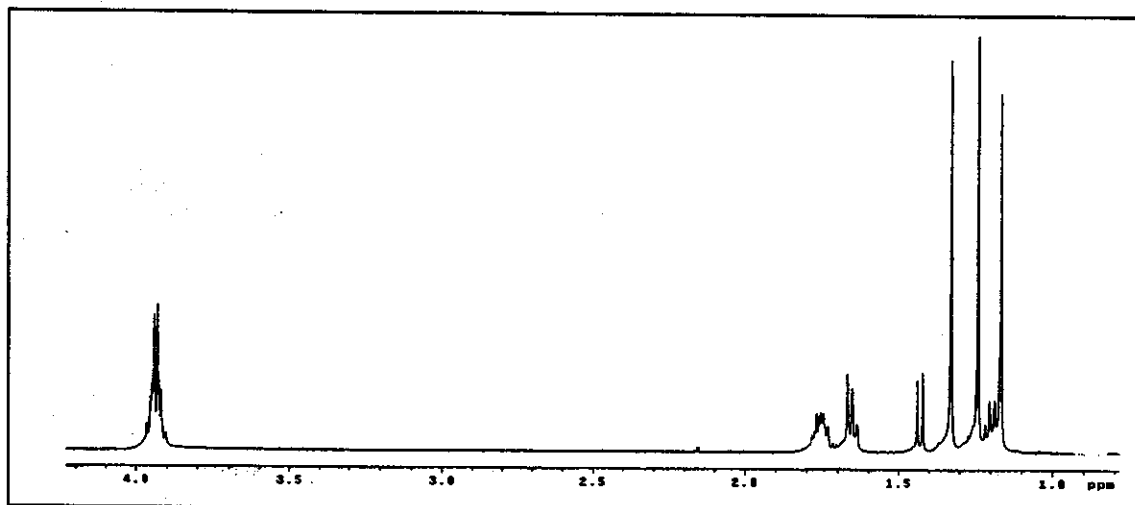
$C_{12}H_{20}O_4$   
PM 228.1362

Uma solução do ácido 9 (2,20 g, 11,90 mmol), ácido *p*-toluenossulfônico (catalítico) e etileno glicol (4 mL) foi colocada em refluxo com contínua remoção de água (Dean-Stark) durante a noite. Após a solução ser resfriada, éter (50 mL) foi adicionado ao conteúdo reacional e este foi lavado com  $H_2O$  (3 X 30 mL). A fase orgânica foi seca sobre  $Na_2SO_4$  anidro, filtrada e

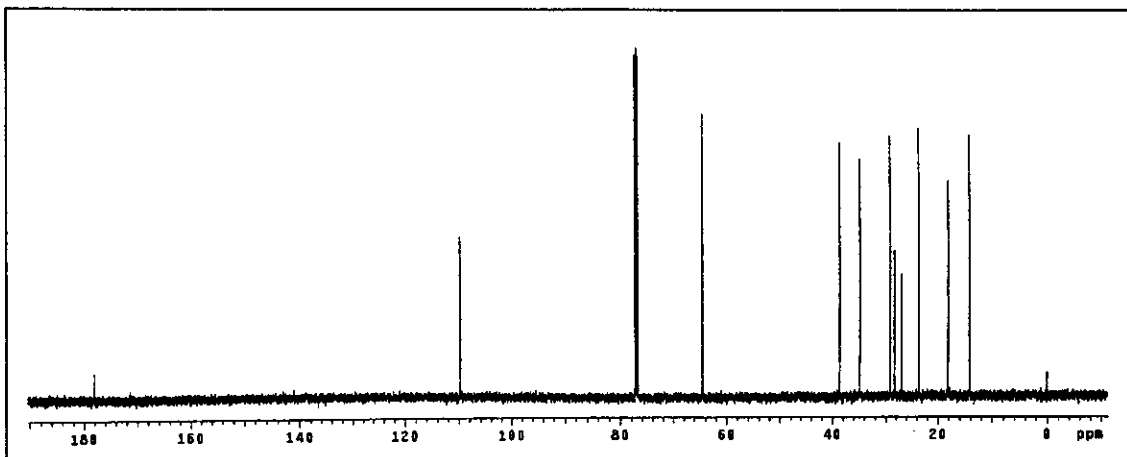
solvente foi evaporado em evaporador rotativo. Obteve-se o composto **10** (2,67 g, 11,70 mmol, 98%), na forma de um óleo que foi caracterizado com base em seus dados espectroscópicos.

**RMN de  $^1\text{H}$  (300 MHz,  $\text{CDCl}_3/\text{TMS}$ ):**  $\delta$  1,17 (s, 3H, H-5), 1,24 (s, 3H, H-4), 1,33 (s, 3H, H-4''), 1,43 (d, 1H,  $J = 8,8$  Hz, H-1), 3,93 (m, 4H, ( $\text{OCH}_2\text{CH}_2\text{O}$ )).

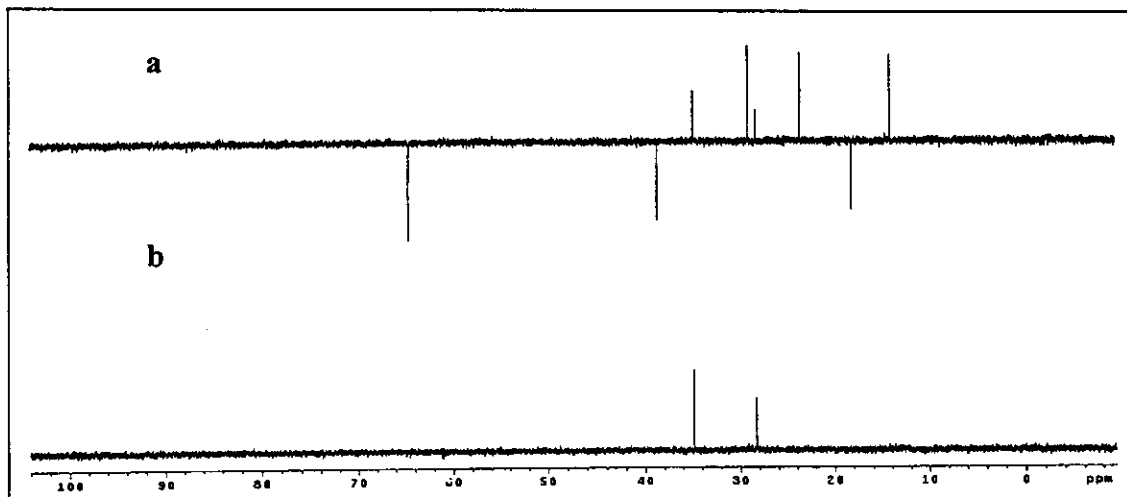
**RMN de  $^{13}\text{C}$  (75,5 MHz,  $\text{CDCl}_3/\text{TMS}$ ):**  $\delta$  (14,13,  $\text{CH}_3$ , C-5), 18,15 ( $\text{CH}_2$ , C-1''), 23,58 ( $\text{CH}_3$ , C-4''), 26,95 (C, C-2), 28,30 ( $\text{CH}_3$ , C-4), 29,13 (CH, C-3), 34,83 (CH, C-1), 38,67 ( $\text{CH}_2$ , C-2''), 64,50 ( $\text{OCH}_2\text{CH}_2\text{O}$ ), 109,90 (C, C-3''), 178,00 (C, C-1').



**Figura 14** Espectro de RMN de  $^1\text{H}$  (300 MHz,  $\text{CDCl}_3/\text{TMS}$ ) do composto **10**

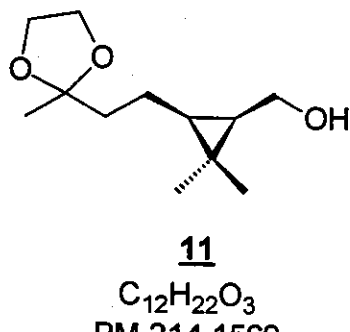


**Figura 15** Espectro de RMN de  $^{13}\text{C}$  { $^1\text{H}$ } (75,5 MHz,  $\text{CDCl}_3/\text{TMS}$ ) do composto **10**



**Figura 16** Espectro de RMN de  $^{13}\text{C}$  { $^1\text{H}$ } (a) DEPT 135, b) DEPT 90 do composto **10**

### 5.6.3 Redução do composto 10 com LiAlH<sub>4</sub> – obtenção do álcool 11

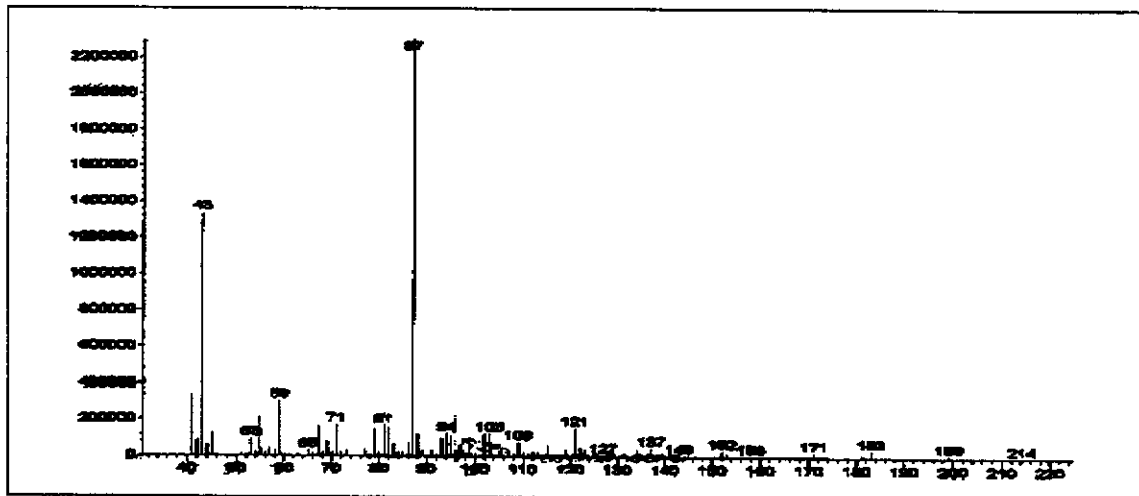


A uma solução do ácido protegido 10 (1,18 g, 5,17 mmol) em THF anidro (50 mL) sob agitação a 0°C, adicionou-se lentamente LiAlH<sub>4</sub> (632 mg, 15,20 mmol). A reação permaneceu em agitação a temperatura ambiente durante a noite e após, o excesso de LiAlH<sub>4</sub> foi destruído pela adição cuidadosa de gotas de H<sub>2</sub>O e NaOH 3 mol/L. O conteúdo reacional foi filtrado sobre celite, o solvente foi evaporado em evaporador rotativo e o produto purificado através de uma coluna cromatográfica (21,0 X 2,0 cm, sílica 230-400 mesh) utilizando-se uma mistura de hexano/acetato de etila (80:20) como sistema eluente. Obteve-se o álcool 11 (664,0 mg, 3,10 mmol, 60%) na forma de um óleo incolor.

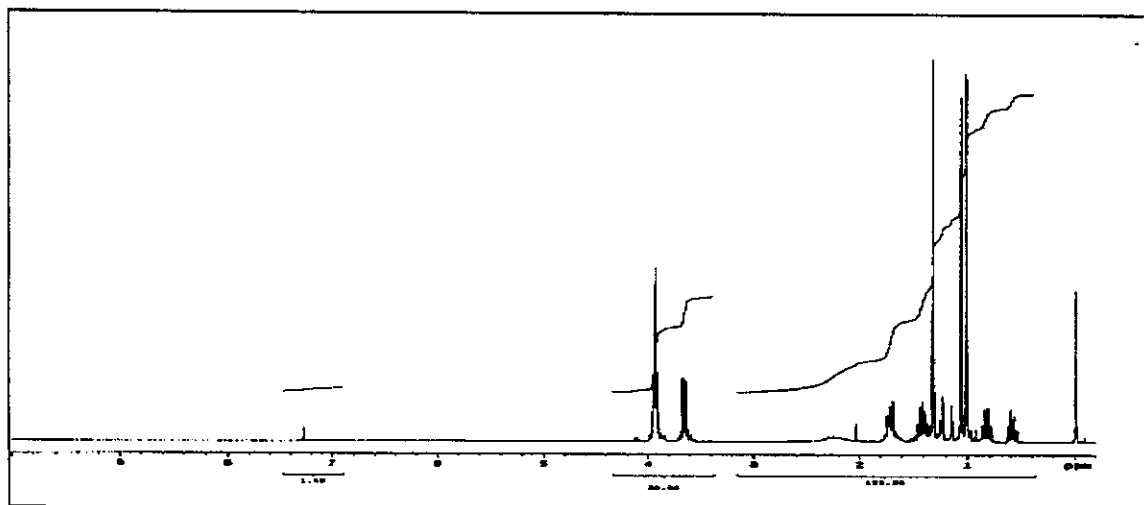
**EM (70 eV) *mz* (%):** 214 (1), 199 (2), 183 (3), 171 (2), 121 (8), 87 (100), 59 (13), 43 (58).

**RMN de <sup>1</sup>H (300 MHz, CDCl<sub>3</sub>/TMS):** δ 0,58 (q, 1H, H-3, J = 7,3 Hz), 0,82 (q, 1H, H-1, J = 7,7 Hz), 1,00 (s, 3H, H-5), 1,05 (s, 3H, H-4), 1,30 (s, 3H, H-4''), 3,64 (dd, 2H, H1', J = 2,4 Hz e J = 7,5 Hz), 3,80-4,00 (m, 4H, H(OCH<sub>2</sub>CH<sub>2</sub>O)).

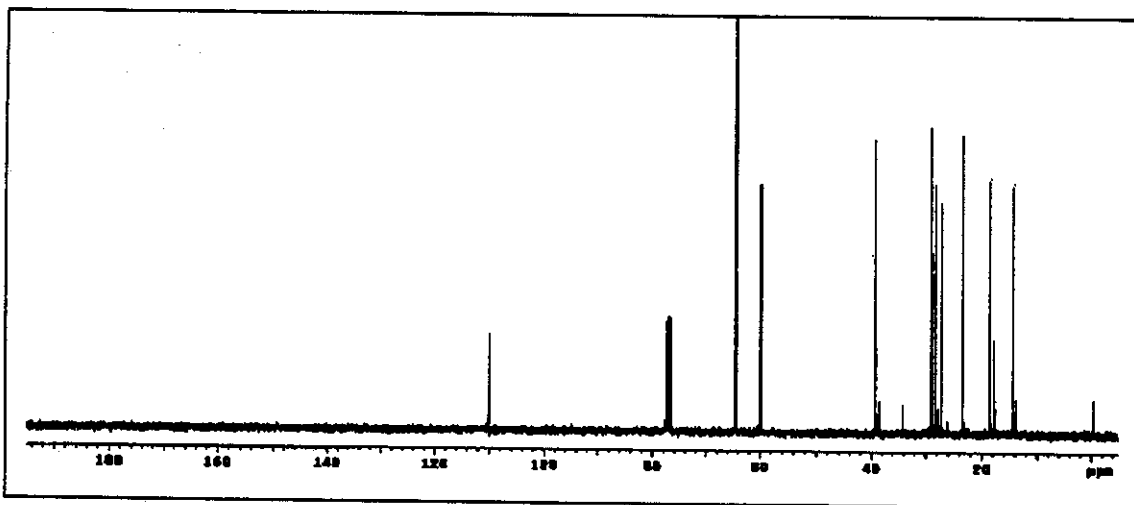
**RMN de <sup>13</sup>C (75,5 MHz, CDCl<sub>3</sub>/TMS):** δ 14,41 (CH<sub>3</sub>, H-5), 17,75 (C, C-2), 18,60 (CH<sub>2</sub>, C1''), 23,38 (CH<sub>3</sub>, C-4''), 27,21 (CH, C-3), 28,26 (CH, C-1), 28,97 (CH<sub>3</sub>, C-4), 39,29 (CH<sub>2</sub>, C-2''), 59,83 (CH<sub>2</sub>, C-1'), 64,47 (CH<sub>2</sub>, OCH<sub>2</sub>CH<sub>2</sub>O), 110,00 (C, C-3'').



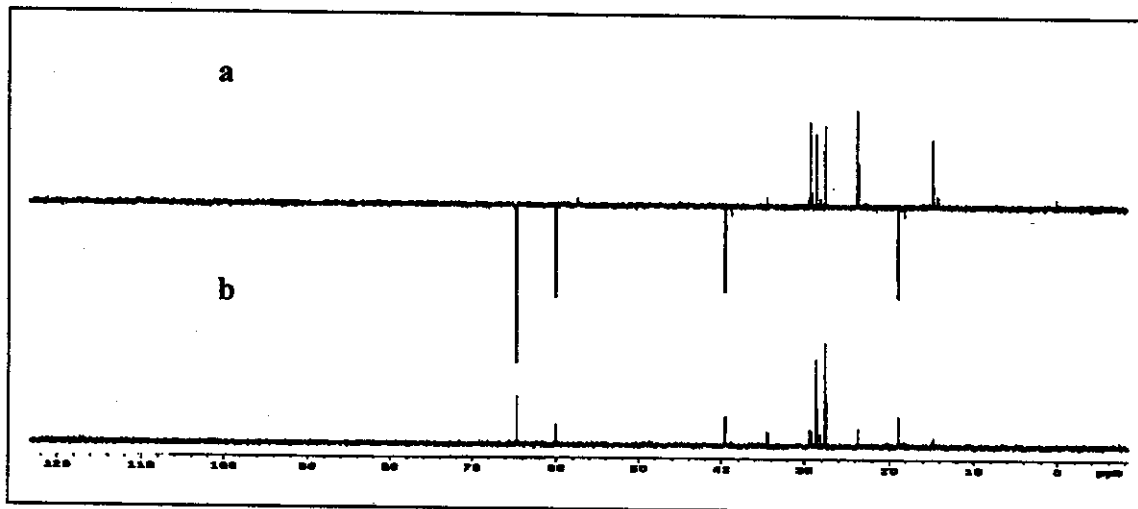
**Figura 17** Espectro de massas (70 eV) do composto **11**



**Figura 18** Espectro de RMN de  $^1\text{H}$  (300 MHz,  $\text{CDCl}_3/\text{TMS}$ ) do composto **11**

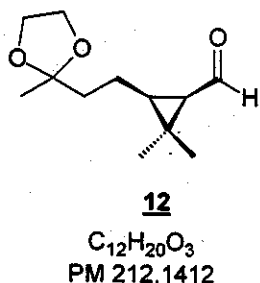


**Figura 19** Espectro de RMN de  $^{13}\text{C}$  { $^1\text{H}$ } (75,5 MHz,  $\text{CDCl}_3/\text{TMS}$ ) do composto 11



**Figura 20** Espectro de RMN  $^{13}\text{C}$  { $^1\text{H}$ } (a) DEPT 135, b) DEPT 90) do composto 11

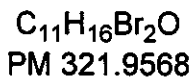
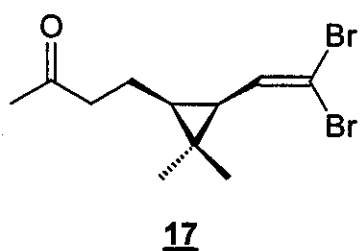
#### 5.6.4 Oxidação do composto 11 com PCC/ $\text{Al}_2\text{O}_3$ – obtenção do aldeído 12



Uma solução de PCC (755 mg, 3,5 mmol) e  $\text{Al}_2\text{O}_3$  neutro (3,0 g) em  $\text{CH}_2\text{Cl}_2$  e sob atmosfera de  $\text{N}_2$ , permaneceu em agitação a temperatura ambiente durante 15 minutos. Após o conteúdo reacional ser levado a 0°C, adicionou-se lentamente uma solução do composto 11 (708,5 mg, 3,31

mmol) em  $\text{CH}_2\text{Cl}_2$  (8 mL). O conteúdo reacional permaneceu em agitação durante 1,5 h e então foi levado a temperatura ambiente, permanecendo por mais 3,5 h em agitação. Pentano foi adicionado ao conteúdo reacional e este foi filtrado sobre uma fina camada de celite, acompanhado por sucessivas lavagens com pentano. Após evaporação do solvente em evaporador rotativo, obteve-se o composto 12 (602,0 mg, 2,83 mmol, 85,5% (bruto)) que, devido a sua instabilidade frente a oxidação, foi rapidamente utilizado na reação posterior sem prévia purificação.

#### 5.6.5 Reação do composto 12 com $\text{CBr}_4/\text{Ph}_3\text{P}$



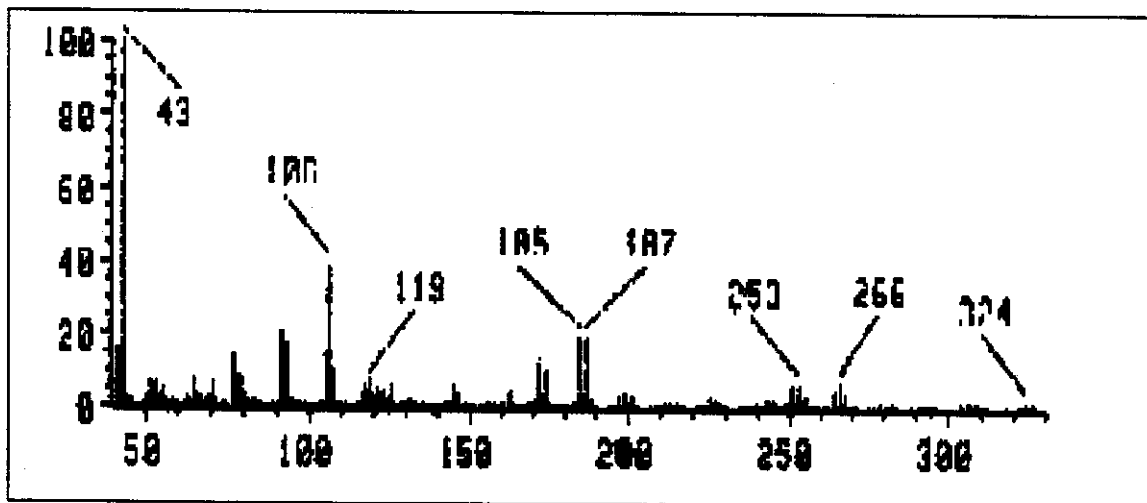
a) Uma solução de  $\text{Ph}_3\text{P}$  (2,38 g, 9,08 mmol) e  $\text{CBr}_4$  (1,50 g, 4,5 mmol) em  $\text{CH}_2\text{Cl}_2$  (30 mL) foi resfriada a 0°C e mantida sob agitação. Uma solução do aldeído 12 em  $\text{CH}_2\text{Cl}_2$  foi adicionada e a reação acompanhada por CCD (hexano/acetato de etila 80:20) até o desaparecimento do aldeído de partida. Hexano foi adicionado ao conteúdo reacional e este, filtrado em

uma fina camada de celite com sucessivas extrações por hexano. O solvente foi evaporado em evaporador rotativo e o óleo marron obtido foi purificado em coluna cromatográfica (21,0 x 2,0 cm) utilizando-se sílica 230-400 mesh como suporte e uma mistura de hexano:acetato de etila (99:1) como eluente. Obteve-se o composto 17 (300,0 mg, 0,92 mmol, 37% (baseado no álcool 12) na forma de um óleo amarelo, com traços do composto protegido.

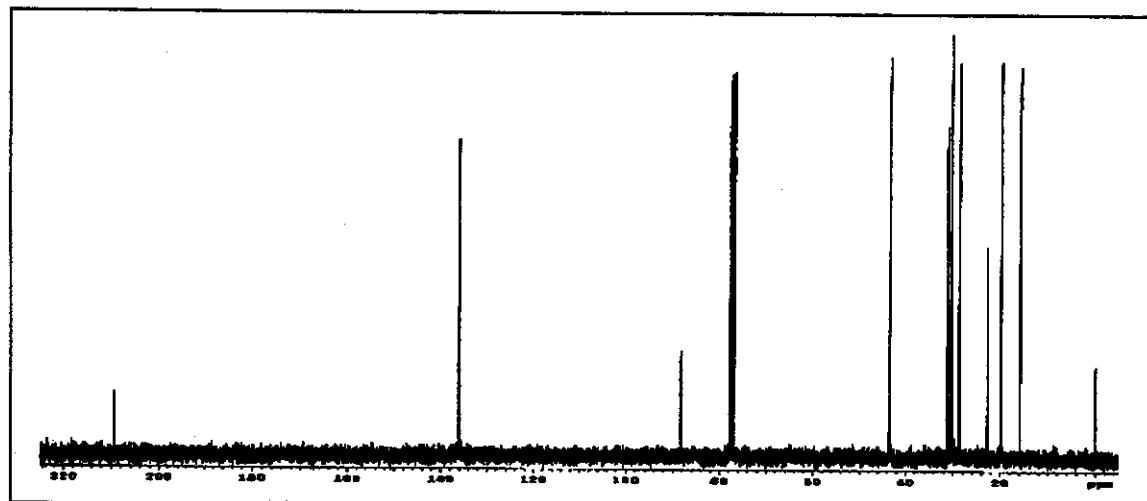
**EM (70 eV),  $m/z$  (%):** íon molecular 324 (0,5), 266 (8), 253 (7), 187 (14), 185 (13), 106 (40), 43 (100).

**RMN de  $^1\text{H}$  (300 MHz,  $\text{CDCl}_3/\text{TMS}$ ):**  $\delta$  0,92 (q, 1H, H-3,  $J = 7,3$  Hz), 1,04 (s, 3H, H-5), 1,12 (s, 3H, H-4), 1,39 (t, 1H, H-1,  $J = 8,8$  Hz), 1,45-1,58 (m, 2H, H-2''), 2,17 (s, 3H, H-4''), 2,49 (t, 2H, H-2''), 6,11 (d, 1H, H-1',  $J = 8,8$  Hz)

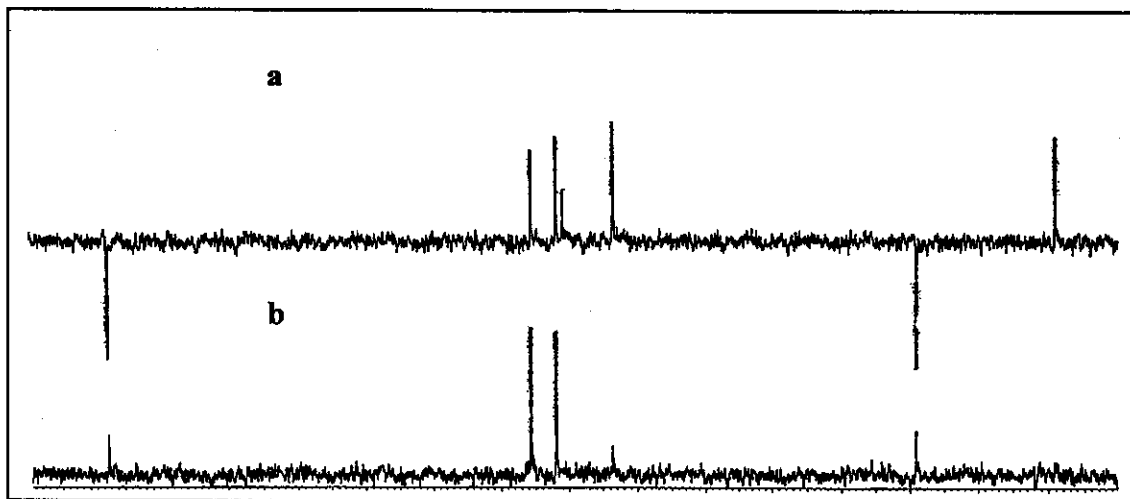
**RMN de  $^{13}\text{C}$  (75,5 MHz,  $\text{CDCl}_3/\text{TMS}$ ):**  $\delta$  15,83 ( $\text{CH}_3$ , C-5), 19,83 ( $\text{CH}_2$ , C-1''), 22,70 (C, C-2), 28,73 ( $\text{CH}_3$ , C-4), 30,20 ( $\text{CH}_3$ , C-4''), 30,41 (CH, C-1), 31,15 (CH, C-3), 43,47 ( $\text{CH}_2$ , C-2''), 88,32 (C, C-2'), 136,01 (CH, C-1'), 209,31 (C, C-3'').



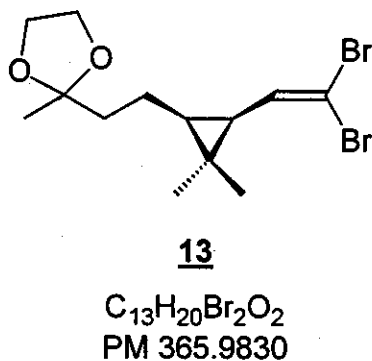
**Figura 21** Espectro de massas (70 eV) do composto 17



**Figura 22** Espectro de RMN de  $^{13}\text{C}$  { $^1\text{H}$ } (75,5 MHz,  $\text{CDCl}_3/\text{TMS}$ ) do composto 17



**Figura 23** Espectro de RMN de  $^{13}\text{C}$  {1H} (a) DEPT 135, b) DEPT 90) do composto 17



b) A uma solução do composto 12 (602,0 mg, 2,84 mmol) em  $\text{CH}_2\text{Cl}_2$  (20 mL) a 0°C, adicionou-se  $\text{Ph}_3\text{P}$  (2,66 g, 10,15 mmol) e manteve-se em agitação durante 15 minutos. Uma solução de  $\text{CBr}_4$  (1,63 g, 4,9 mmol) em  $\text{CH}_2\text{Cl}_2$  foi lentamente adicionada (1h) e a reação acompanhada por CCD (hexano/acetato de etila 80:20) até o desaparecimento total do aldeído de partida. Pentano foi adicionado ao conteúdo reacional e este foi filtrado sobre uma fina camada de celite, com sucessivas extrações por pentano. O solvente foi evaporado em evaporador rotativo e o óleo marron obtido foi purificado duas vezes em coluna cromatográfica (19,0 x 1,5 cm) utilizando-se  $\text{Al}_2\text{O}_3$  neutro como suporte e uma mistura de hexano/acetato de etila (80:20) como eluente. Obteve-se o composto 13 (494,0 mg, 1,34 mmol, 40% (baseado no álcool 11), na forma de um óleo amarelo.

**EM (70 eV)  $m/z$  (%):** 368 (1), 353 (2), 306 (5), 266 (4), 225 (6), 185 (11), 87 (100), 43 (95).

**RMN de  $^1\text{H}$  (300 MHz,  $\text{CDCl}_3/\text{TMS}$ ):**  $\delta$  0,93 (q, 1H, H-3,  $J = 7,5$  Hz), 1,04 (s, 3H, H-5), 1,12 (s, 3H, H-4), 1,33 (s, 3H, H-4''), 3,90-3,98 (m, 4H,  $\text{OCH}_2\text{CH}_2\text{O}$ ), 6,14 (d, 1H, H-1',  $J = 8,8$  Hz).

**RMN de  $^{13}\text{C}$  (75,5 MHz,  $\text{CDCl}_3/\text{TMS}$ ):**  $\delta$  15,49 ( $\text{CH}_3$ , C-5), 19,96 ( $\text{CH}_2$ , C-1''), 22,41 (C, C-2), 23,39 ( $\text{CH}_3$ , C-4''), 28,50 ( $\text{CH}_3$ , C-4), 30,85 (CH, C-3), 30,94 (CH, C-1), 38,52 ( $\text{CH}_2$ , C-2''), 64,52 ( $\text{CH}_2$ ,  $\text{OCH}_2\text{CH}_2\text{O}$ ), 87,42 (C, C-2'), 109,83 (C, C-3''), 136,22 (CH, C-1').

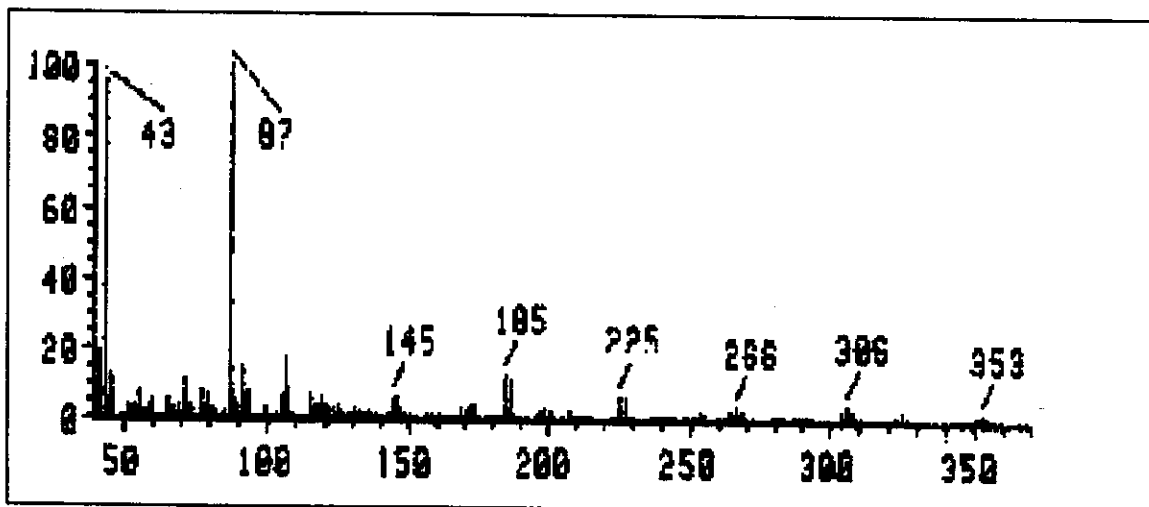


Figura 24 Espectro da massas (70 eV) do composto 13

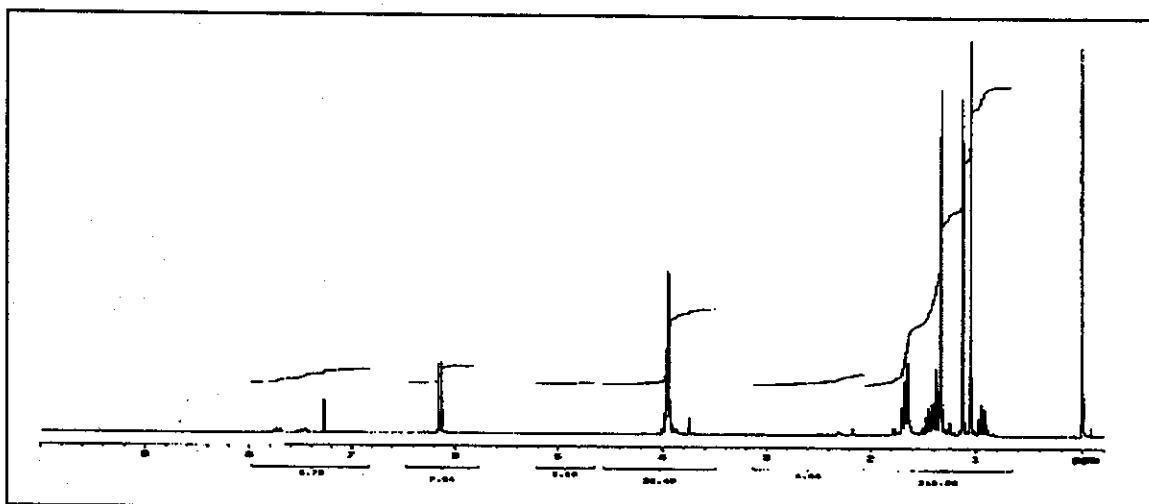
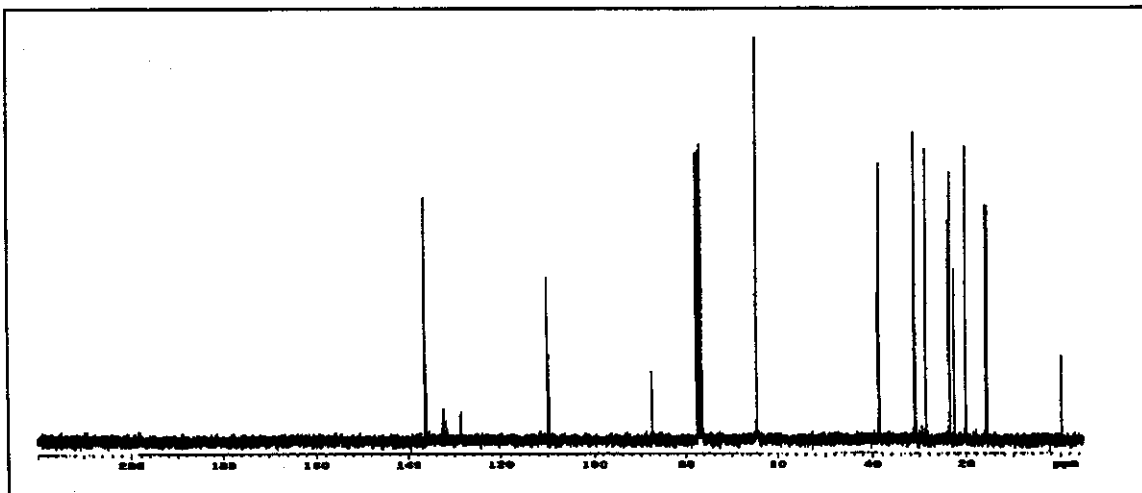
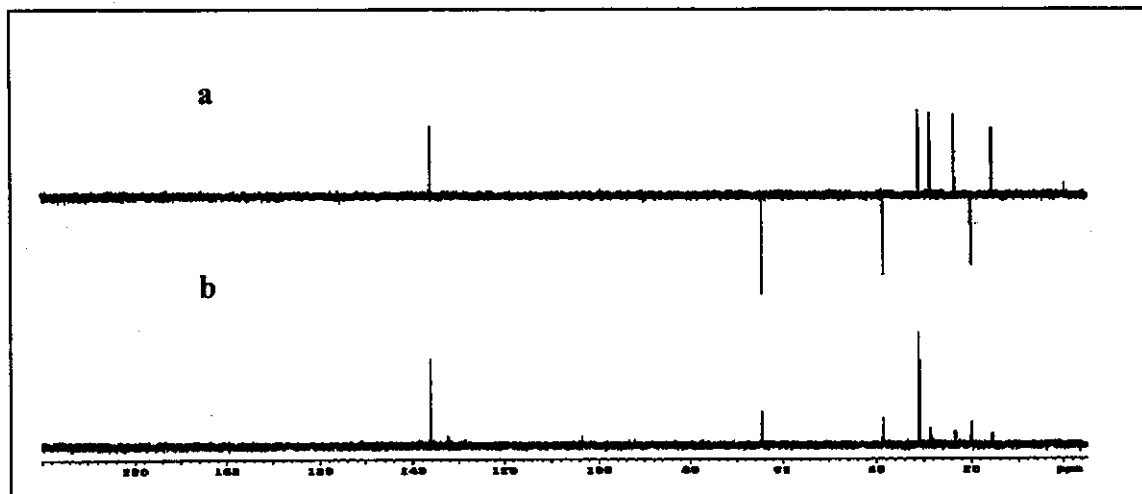


Figura 25 Espectro de RMN de  $^1\text{H}$  (300 MHz,  $\text{CDCl}_3/\text{TMS}$ ) do composto 13

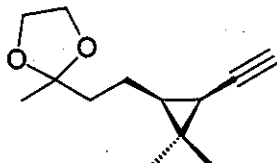


**Figura 26** Espectro de RMN de  $^{13}\text{C}$  { $^1\text{H}$ } (75,5 MHz,  $\text{CDCl}_3/\text{TMS}$ ) do composto **13**



**Figura 27** Espectro de RMN de  $^{13}\text{C}$  { $^1\text{H}$ } (a) DEPT 135, b) DEPT 90) do composto **13**

#### 5.6.6 Reação do composto **13** com *n*-BuLi – obtenção do cetoalcino **14**



**14**  
 $\text{C}_{13}\text{H}_{20}\text{O}_2$   
 PM 208.1463

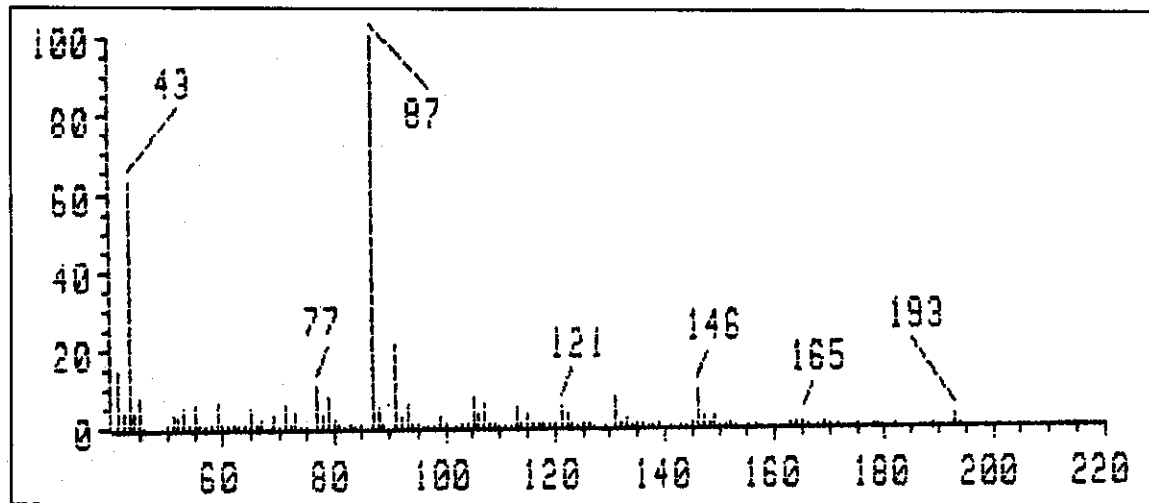
Uma solução do composto **13** (273 mg, 0,74 mmol) em THF anidro, foi resfriada a  $-78^\circ\text{C}$  sob atmosfera de  $\text{N}_2$  e agitação. Uma solução de *n*-BuLi em hexano (2,5 M, 0,8 mL, 2,0 mmol) foi lentamente adicionada e o conteúdo reacional permaneceu em agitação durante 1h a  $-78^\circ\text{C}$ , seguindo-se

por mais 1h a temperatura ambiente. Após, adicionou-se H<sub>2</sub>O (4,0 mL) e a reação foi extraída com éter etílico (3 x 5,0 ml). As fases orgânicas foram reunidas, secas sobre Na<sub>2</sub>SO<sub>4</sub> anidro, filtradas e o solvente evaporado em evaporador rotativo. A purificação através de coluna cromatográfica (18,0 x 1,5 cm), utilizando-se sílica-gel 70-230 mesh como suporte e uma mistura de hexano/acetato de etila (99,5:0,5) como eluente, forneceu o composto **14** (113,0 mg, 0,54 mmol, 73%) na forma de um óleo incolor.

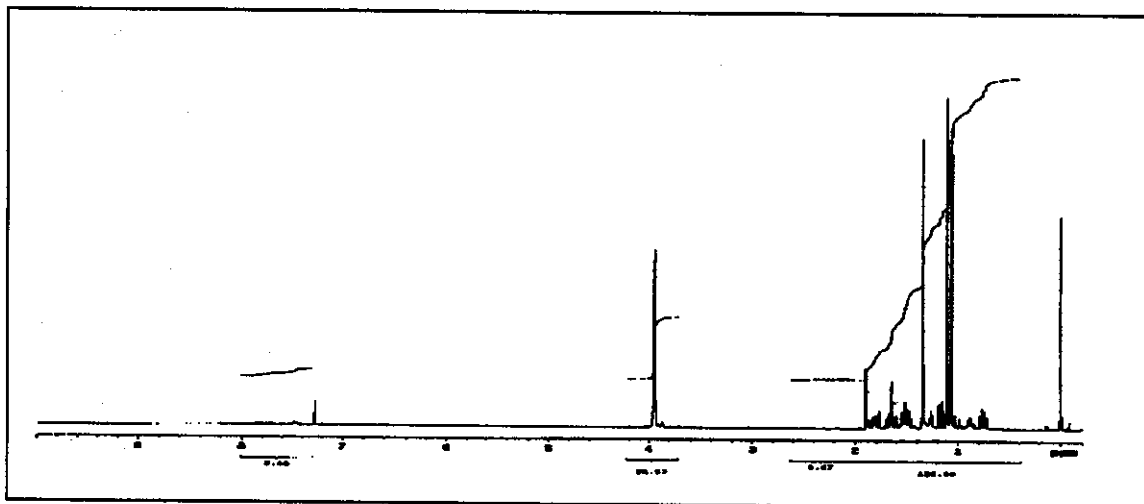
**EM (70 eV) m/z (%):** íon molecular 208 (0), 193 (3), 165 (1), 146 (8), 87 (100), 43 (62).

**RMN de <sup>1</sup>H (300 MHz, CDCl<sub>3</sub>/TMS):** δ 0,75 (q, 1H, H-3, J = 7,6 Hz), 1,07 (s, 3H, H-5), 1,11 (s, 3H, H-4), 1,17 (dd, 1H, H-1, J = 2,2 e J = 8,8 Hz), 1,89 (d, 1H, H-2', J = 2,2 Hz).

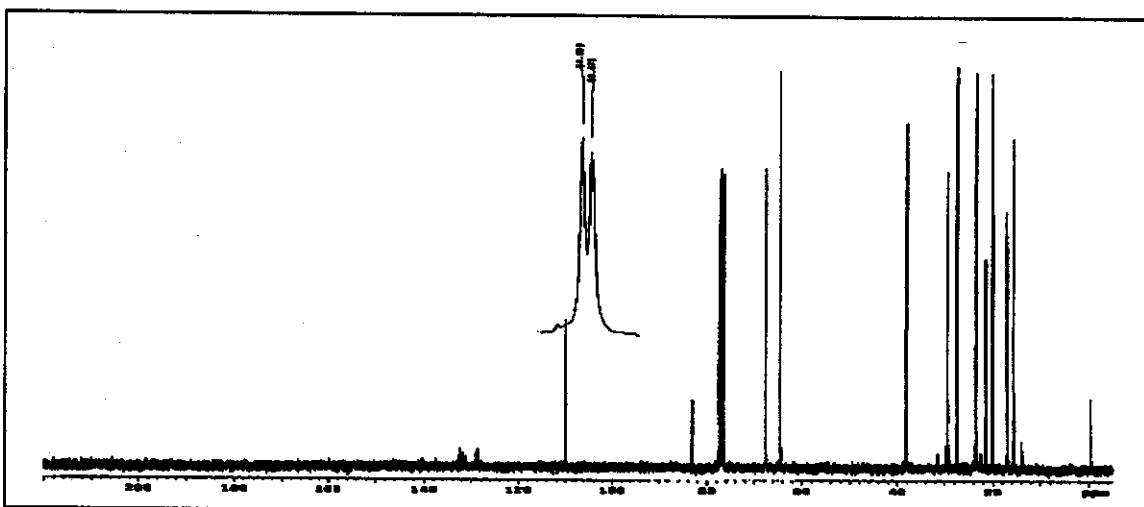
**RMN de <sup>13</sup>C (75,5 MHz, CDCl<sub>3</sub>/TMS):** δ 15,59 (CH<sub>3</sub>, C-5), 16,93 (CH, C-1), 19,96 (CH<sub>2</sub>, C-1''), 21,40 (C, C-2), 23,42 (CH<sub>3</sub>, C-4''), 27,37 (CH<sub>3</sub>, C-4), 29,32 (CH, C-3), 38,04 (CH<sub>2</sub>, C-2''), 64,47 (CH<sub>2</sub>, OCH<sub>2</sub>CH<sub>2</sub>O), 64,50 (OCH<sub>2</sub>CH<sub>2</sub>O), 67,53 (CH, C-2''), 83,06 (C, C-1'), 110,04 (C, C-3'').



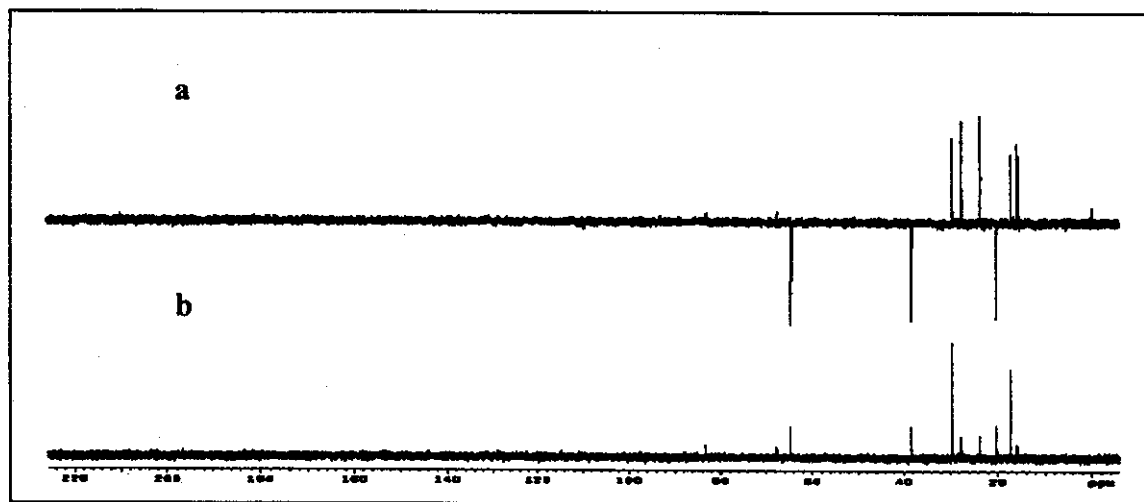
**Figura 28** Espectro de massas (70 eV) do composto **14**



**Figura 29** Espectro de RMN de  $^1\text{H}$  (300,0 MHz,  $\text{CDCl}_3/\text{TMS}$ ) do composto **14**

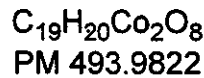
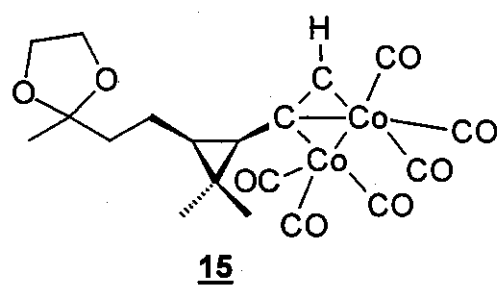


**Figura 30** Espectro de RMN de  $^{13}\text{C}$  { $^1\text{H}$ } (75,5 MHz,  $\text{CDCl}_3/\text{TMS}$ ) do composto **14**



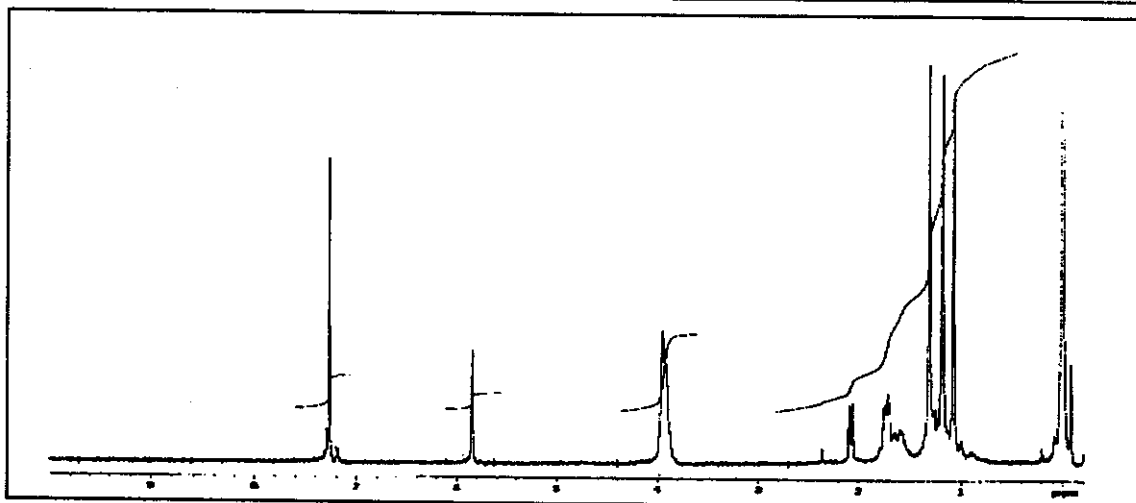
**Figura 31** Espectro de RMN de  $^{13}\text{C}$  {1H} (a) DEPT 135, b) DEPT 90) do composto 14

### 5.6.7 Reação de formação do complexo-alcino 15



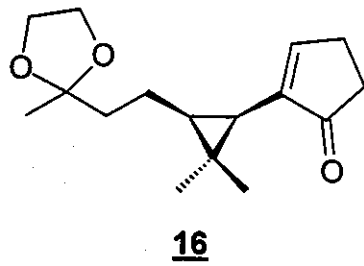
À uma solução de  $(\text{CO})_8(\text{Co})_2$  (496,0 mg, 1,45 mmol) em tolueno (60 mL), sob atmosfera de  $\text{N}_2$  e agitação a temperatura ambiente, foi adicionado uma solução do composto 14 (305,0 mg, 1,40 mmol) em tolueno (10 mL). Após 5h em agitação o conteúdo reacional foi filtrado sobre uma fina camada de celite seguido por sucessivas

lavagens com hexano. O solvente foi evaporado em evaporador rotativo e o produto bruto foi purificado através de cromatografia em coluna com alumina neutra (15,0 x 2,0 cm) sendo utilizado hexano como eluente. Foi obtido o composto 15 (659,0 mg, 1,33 mmol, 95%) na forma de um óleo vermelho-escuro.



**Figura 32** Espectro de RMN de  $^1\text{H}$  (300,0 MHz,  $\text{CDCl}_3/\text{TMS}$ ) do composto **15**

### 5.6.8 Reação de Pauson-Khand – obtenção da nortaioloriona **16**



$\text{C}_{16}\text{H}_{24}\text{O}_3$   
PM 264.1725

a) Uma solução do complexo-alcino **15** (140,0 mg, 0,283 mmol) em tolueno anidro (30 mL) foi resfriada a -78°C em uma ampola de vidro. Concomitantemente,  $\text{CH}_2\text{CH}_2$  e CO foram borbulhados na solução durante 5 minutos. A ampola foi selada e colocada em banho de areia a 80°C durante 48 h. Após, o solvente foi evaporado em evaporador rotativo e o produto purificado em coluna com sílica 230-400 mesh (13,0 x 1,5 cm) usando-se uma mistura de hexano/acetato de etila (95:5) como eluente. Obteve-se o composto **16** (30,0 mg, 0,113 mmol, 40%) na forma de um óleo incolor.

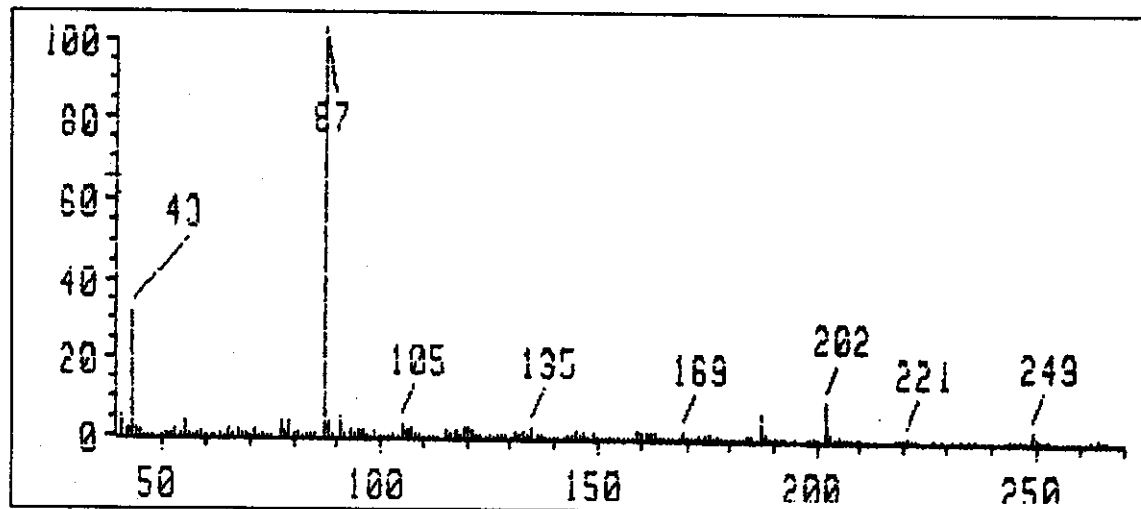
b) A uma solução do complexo-alcino **15** (613,2 mg, 1,24 mmol) em tolueno (10 mL) a temperatura ambiente e sob agitação, adicionou-se uma solução de tetrametilamina-N-óxido diidratado (TMAMNO.2 $\text{H}_2\text{O}$ ) (1,24 g, 11,16 mmol) em metanol (10 mL). O conteúdo reacional foi colocado em um sistema utilizado para extração de óleos essenciais a alta pressão (J&W, PN 4,006,062 4,265,860) e mantido em agitação. O sistema foi purgado duas vezes com  $\text{CH}_2\text{CH}_2$  e em seguida a pressão de etileno foi elevada para 300 psi. Após 48 h em agitação a

temperatura ambiente, o solvente foi evaporado em evaporador rotativo e o produto foi purificado em coluna com sílica 230-400 mesh (15,0 x 1,5 cm) usando-se uma mistura de hexano/acetato de etila (95:5) como sistema eluente. Obteve-se o composto **16** (231,1 mg, 875,3 mmol, 70%) na forma de um óleo incolor.

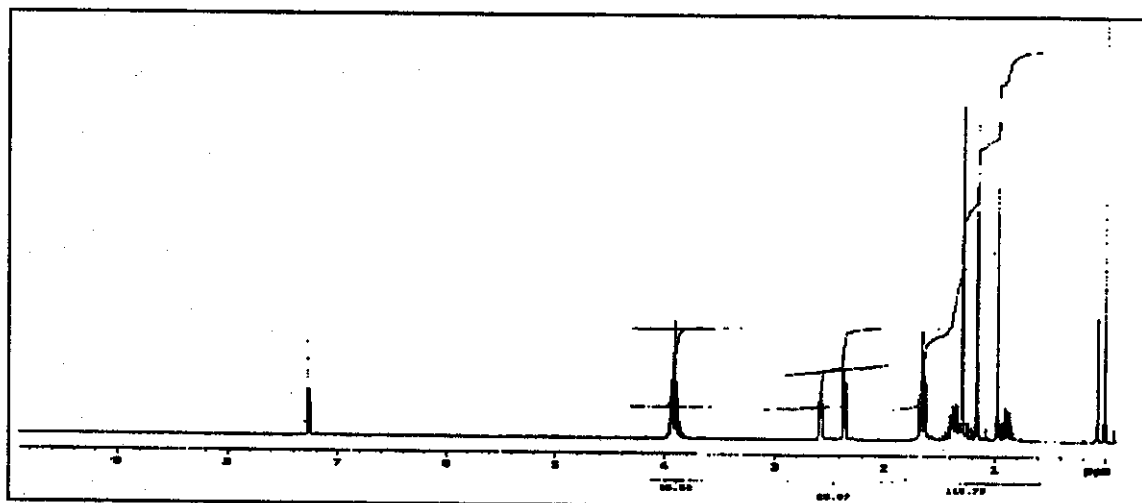
**EM (70 eV) m/z (%):** íon molecular 264 (1), 249 (4), 202 (11), 87 (100), 43 (32)

**RMN de  $^1\text{H}$  (300 MHz,  $\text{CDCl}_3/\text{TMS}$ ):**  $\delta$  0,89 (q, 1H, H-3'), 0,97 (s, 3H, H-6), 1,16 (s, 3H, H-7), 1,29 (s, 3H, H-4''), 2,32-2,45 (m, 2H, H-5), 2,54-2,62 (m, 2H, H-4), 7,20-7,30 (m, 1H, H-3).

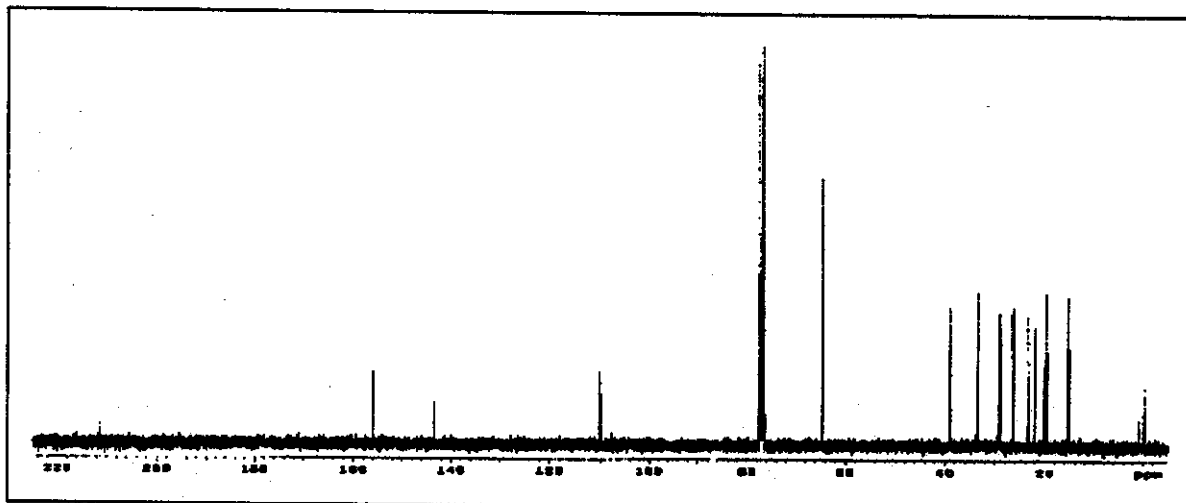
**RMN de  $^{13}\text{C}$  (75,5 MHz,  $\text{CDCl}_3/\text{TMS}$ ):**  $\delta$  15,26 ( $\text{CH}_3$ , C-7), 19,62 ( $\text{CH}_2$ , C-1''), 20,11 (C, C-2'), 21,94 (CH, C-3'), 23,38 ( $\text{CH}_3$ , C-4''), 26,45 ( $\text{CH}_2$ , C-4), 28,95 ( $\text{CH}_3$ , C-6), 29,08 (CH, C-1'), 33,52 ( $\text{CH}_2$ , C-5), 38,87 ( $\text{CH}_2$ , C-2''), 64,50 ( $\text{CH}_2$ ,  $\text{OCH}_2\text{CH}_2\text{O}$ ), 110,00 (C, C-3''), 143,54 (C, C-2), 156,03 (CH, C-3), 211,44 (C, C-1).



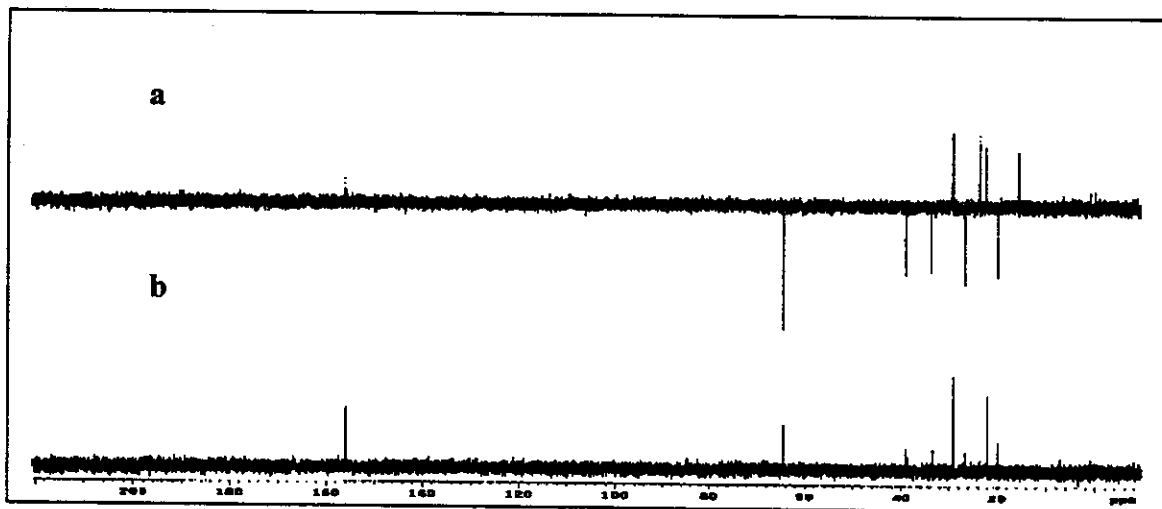
**Figura 33** Espectro de massas (70 eV) do composto **16**



**Figura 34** Espectro de RMN de  $^1\text{H}$  (300,0 MHz,  $\text{CDCl}_3/\text{TMS}$ ) do composto **16**

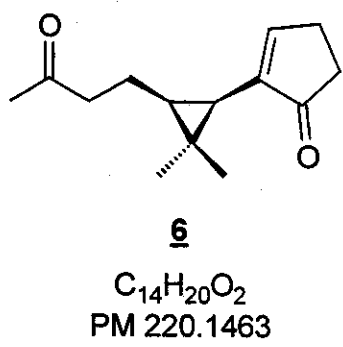


**Figura 35** Espectro de RMN de  $^{13}\text{C}$  {1H} (75,5 MHz,  $\text{CDCl}_3/\text{TMS}$ ) do composto **16**



**Figura 36** Espectro de RMN de  $^{13}\text{C}$  {1H} (a) DEPT 135, b) DEPT 90) do composto **16**

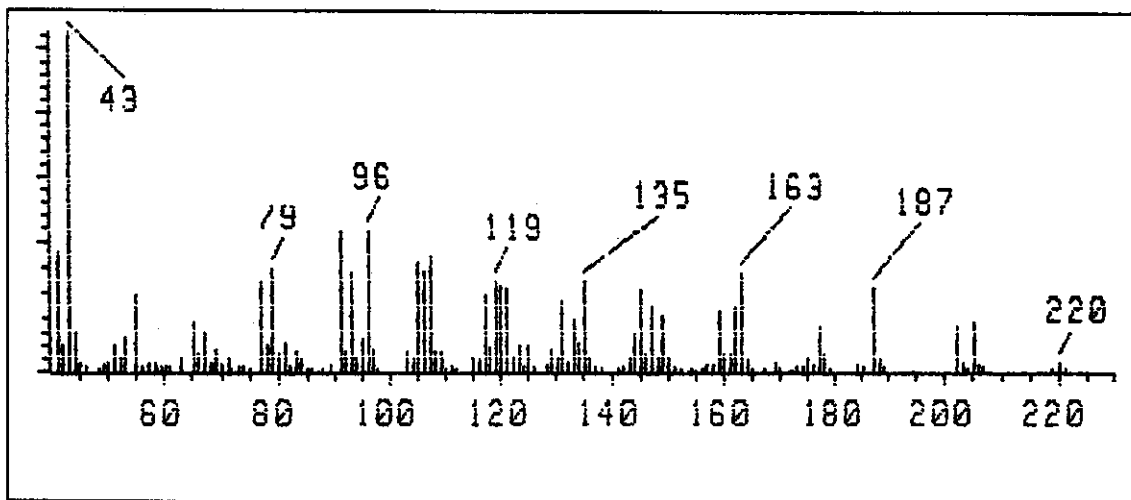
### 5.6.9 Reação de desproteção do composto **16**



À uma solução do composto **16** (270,0 mg, 1,02 mmol) em acetona (10 mL) e  $\text{H}_2\text{O}$  (0,5 mL) adicionou-se PTSA (cat.) permanecendo em agitação durante a noite, à temperatura ambiente. O solvente foi evaporado em evaporador rotativo, o resíduo dissolvido em éter etílico (10 mL) e lavado com  $\text{H}_2\text{O}$  (3 x 5,0 mL). A fase orgânica foi seca sobre  $\text{Na}_2\text{SO}_4$  anidro e após evaporação, o

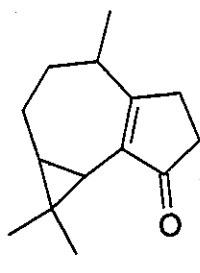
produto foi filtrado em uma pequena coluna com sílica. Obteve-se o composto **6** (213,0 mg, 0,969 mmol, 95%) na forma de um óleo incolor.

**EM (70 eV)  $m/z$  (%):** íon molecular 220 (4), 205 (14), 202 (12), 187 (22), 163 (24), 96 (38), 43 (100).



**Figura 37 Espectro de massas (70 eV) do composto 6**

#### 5.6.10 Reação de Bamford-Stevens – obtenção do composto 18



C<sub>14</sub>H<sub>20</sub>O  
PM 204.1514

a. A uma solução do composto 6 (178,0 mg, 0,809 mmol) em MeOH anidro (4,0 mL), na presença de Na<sub>2</sub>SO<sub>4</sub> anidro e sob atmosfera de N<sub>2</sub> à temperatura ambiente e agitação, adicionou-se lentamente uma solução de TsNNH<sub>2</sub> (150,0 mg, 0,805 mmol) em MeOH anidro (3,0 mL). A reação foi monitorada por CCD (hexano/acetato de etila, 60:40) até o desaparecimento do composto 6. O conteúdo reacional foi filtrado e o resíduo lavado com MeOH anidro. O solvente foi evaporado em evaporador rotativo, o resíduo colocado durante 1h sob vácuo e após, foi utilizado sem prévia purificação para o passo posterior da reação.

b. A uma solução da tosilidrazona obtida anteriormente (350,0 mg, bruto) em THF anidro (3,0 mL) sob atmosfera de N<sub>2</sub> e agitação a temperatura ambiente, adicionou-se NaH (60% em óleo mineral, 32,0 mg, 0,81 mmol) mantendo-se em agitação durante 30 minutos. Após o solvente ter sido evaporado através de uma corrente de N<sub>2</sub>, um tubo de vidro em forma de "U" foi conectado a uma das bocas

do balão e sua base resfriada a -78°C. O sistema foi mantido sob vácuo ( $10^{-2}$  mmHg) durante 1h. O balão foi aquecido a 300°C e o óleo condensado no sistema foi purificado através de cromatografia em coluna com sílica 230-400 mesh, utilizando-se como sistema eluente uma mistura de hexano/acetato de etila (80:20). Obteve-se o composto **18** (15,0 mg, 8,5% nos 3 passos) na forma de um óleo incolor.

**EM (70 eV) m/z (%)**: íon molecular 220 (18), 189 (47), 171 (41), 161 (43), 147 (67), 133 (50), 119 (70), 105 (94), 91 (100), 77 (52), 55 (50), 43 (96).

**RMN de  $^1\text{H}$  (300 MHz,  $\text{CDCl}_3/\text{TMS}$ )**:  $\delta$  0,76 (s, 3H, H-14), 1,18 (s, 3H, H-13), 1,18 (d, 3H, J = 7,3 Hz, H-12),

**RMN- $^{13}\text{C}$  (75,5 MHz,  $\text{CDCl}_3/\text{TMS}$ )**:  $\delta$  15,62 (CH<sub>3</sub>, C-14), 21,01 (CH<sub>3</sub>, C-12), 21,21 (C, C-7), 21,45 (CH, C-8), 22,71 (CH<sub>2</sub>, C-9), 28,06 (CH<sub>3</sub>, C-13), 28,89 (CH, C-6), 29,67 (CH<sub>2</sub>, C-4), 33,72 (CH<sub>2</sub>, C-10), 37,78 (CH<sub>2</sub>, C-5), 41,16 (CH, C-11), 137,87 (C, C-2), 174,62 (C, C-3), 211,81 (C, C-1).

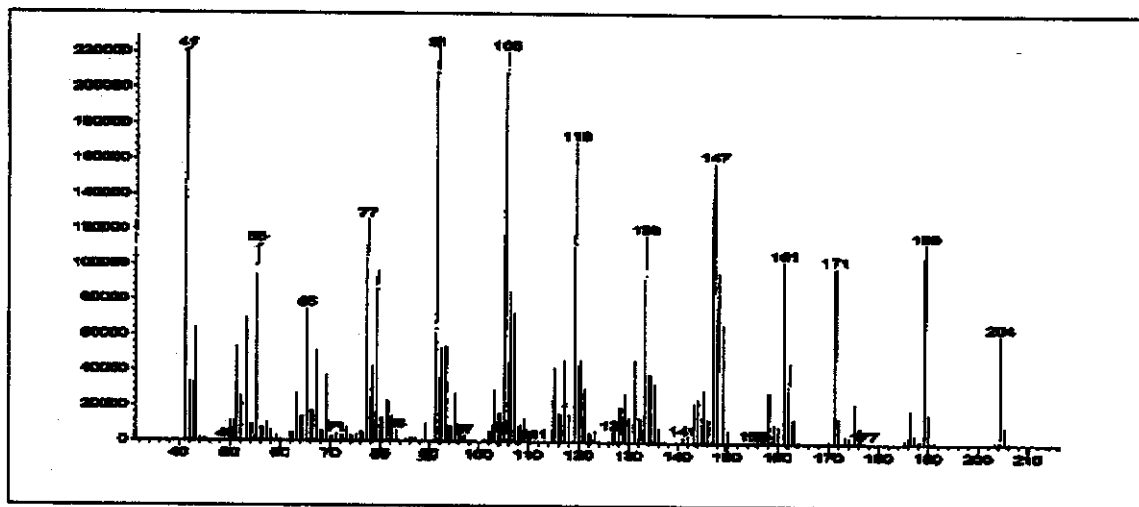
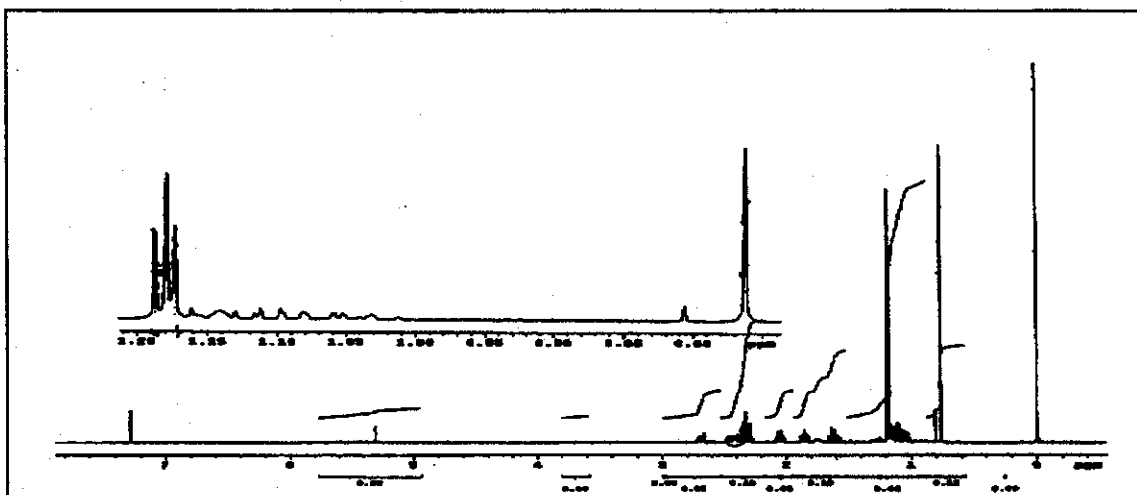
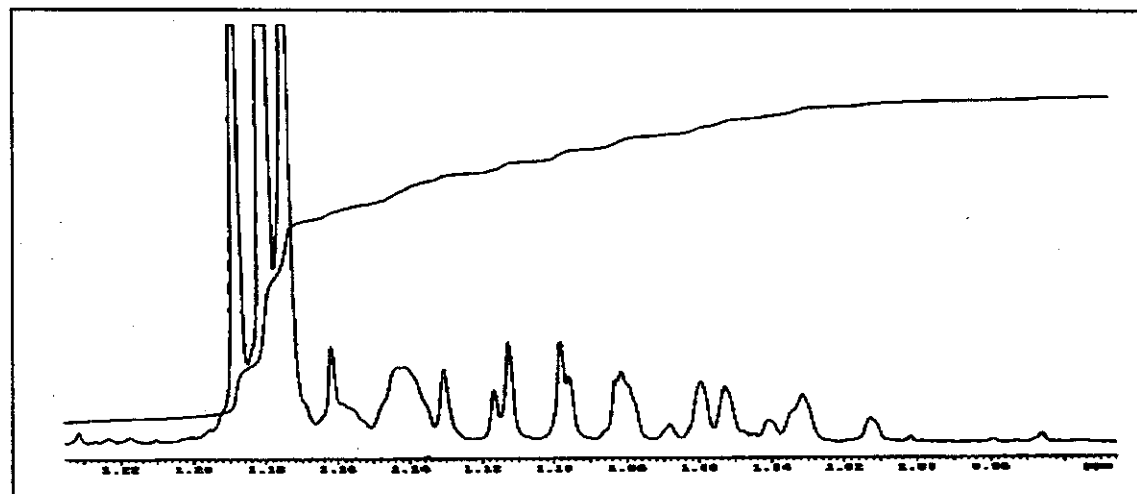


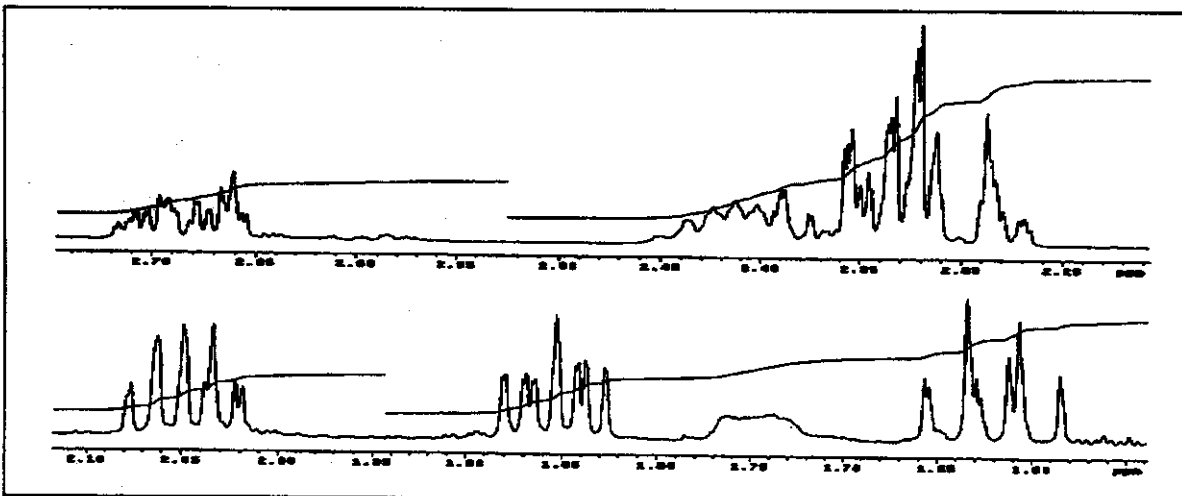
Figura 38 Espectro de massas (70 eV) do composto **18**



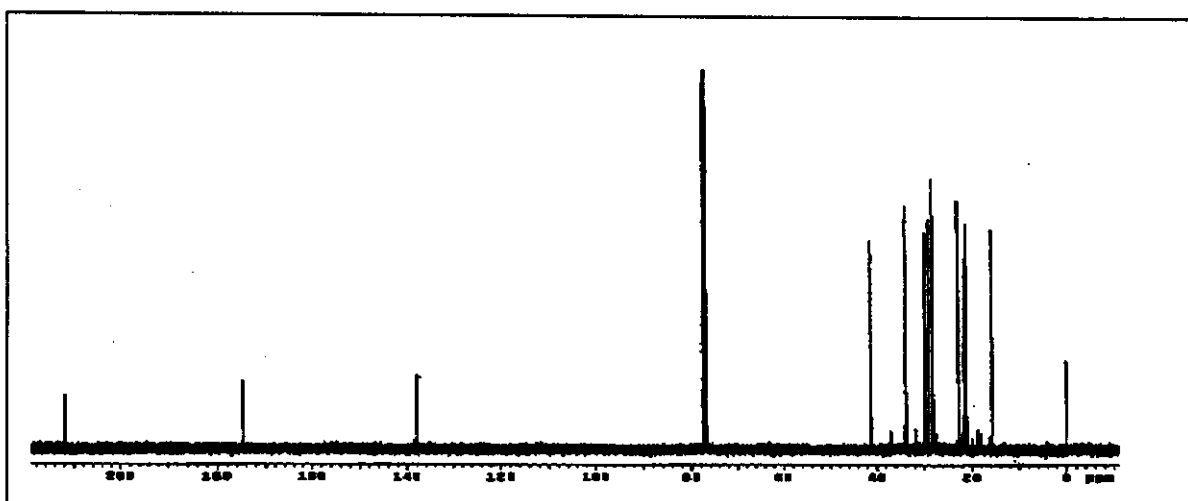
**Figura 39** Espectro de RMN de  $^1\text{H}$  (500,0 MHz,  $\text{CDCl}_3/\text{TMS}$ ) do composto **18**



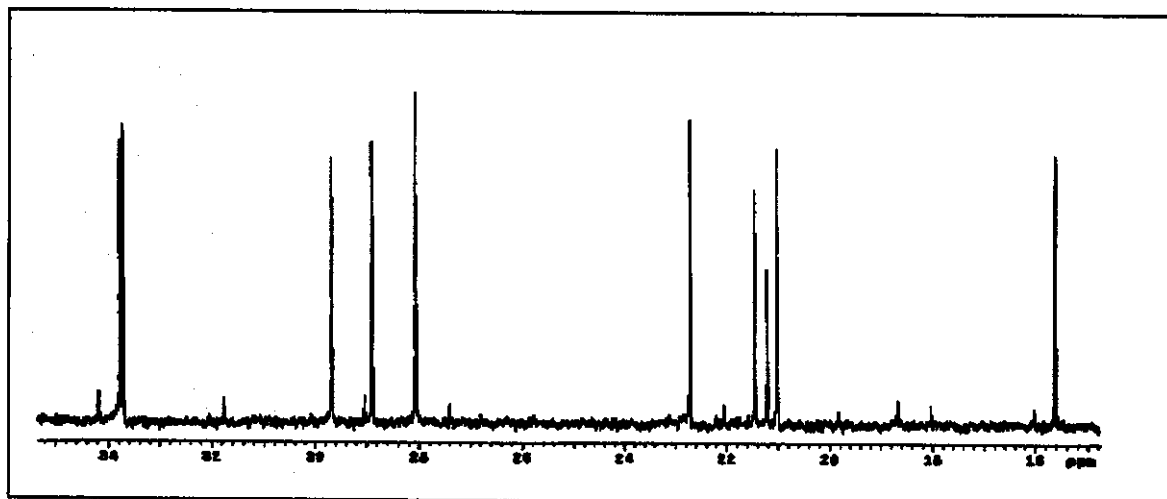
**Figura 40** Espectro de RMN de  $^1\text{H}$  (500,0 MHz,  $\text{CDCl}_3/\text{TMS}$ ) do composto **18**  
(0,7-1,2 ppm)



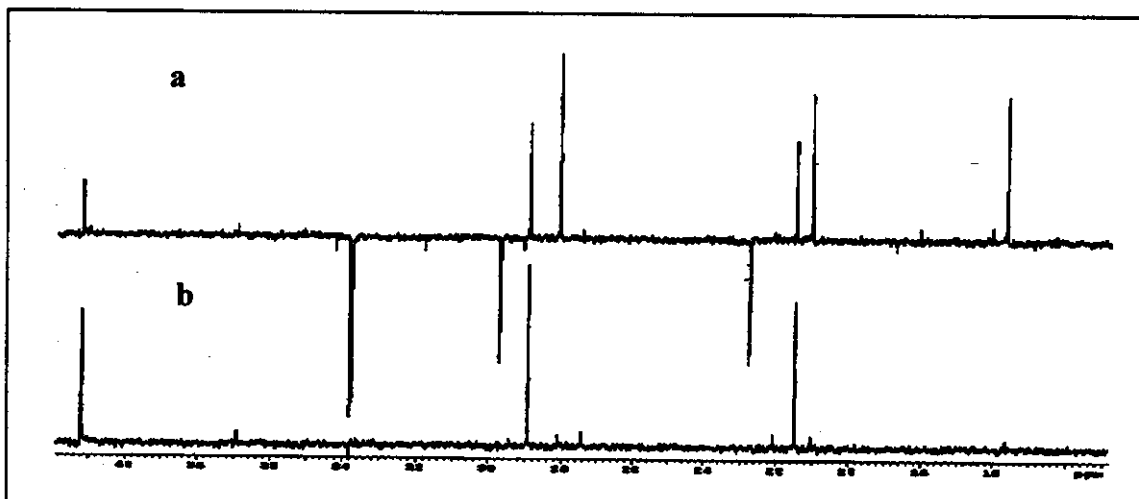
**Figura 41** Espectro de RMN de  $^1\text{H}$  (500,0 MHz,  $\text{CDCl}_3/\text{TMS}$ ) do composto 18  
(1,55 – 2,75ppm)



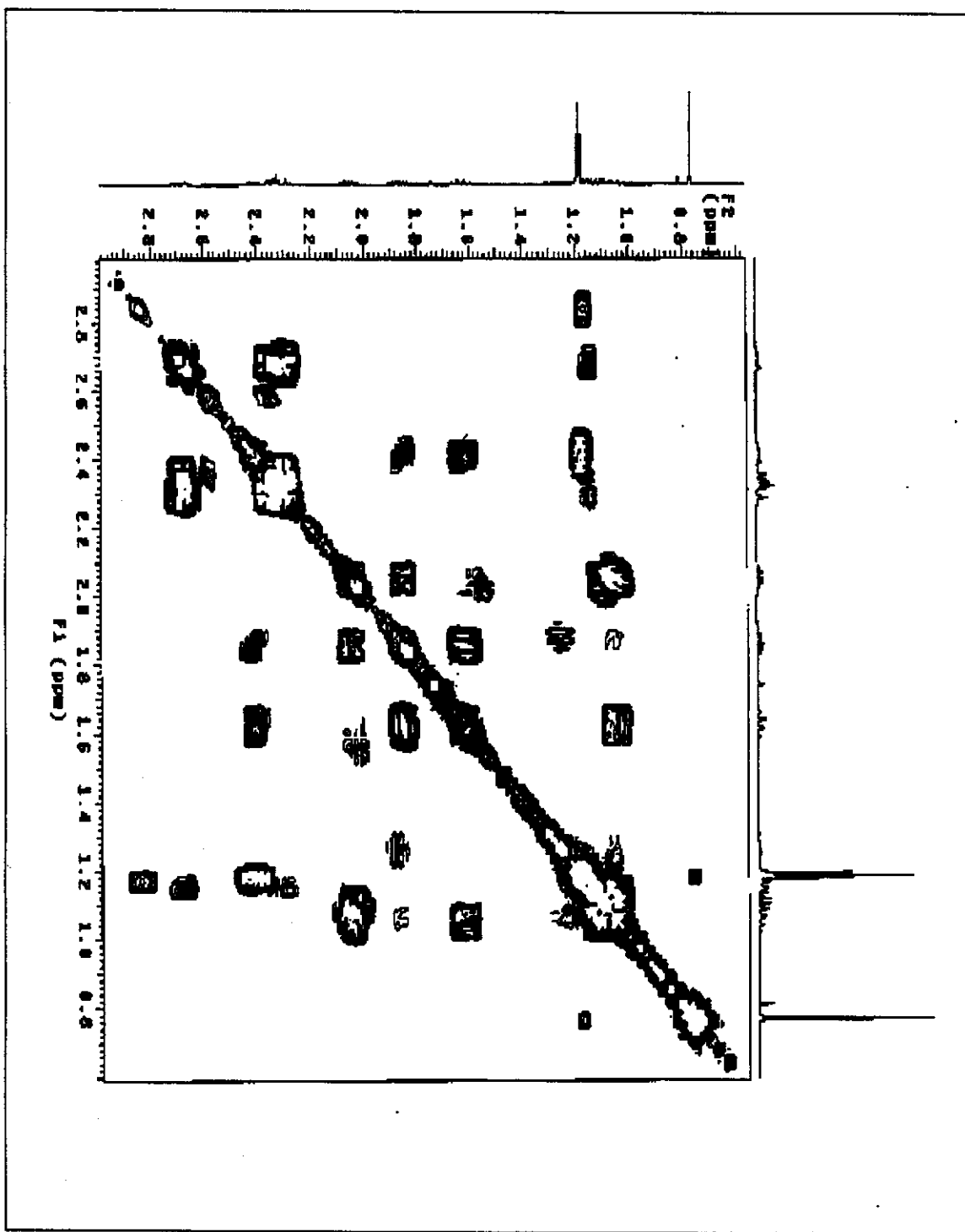
**Figura 42** Espectro de RMN de  $^{13}\text{C}$  { $^1\text{H}$ } (125,7 MHz,  $\text{CDCl}_3/\text{TMS}$ ) do composto  
18



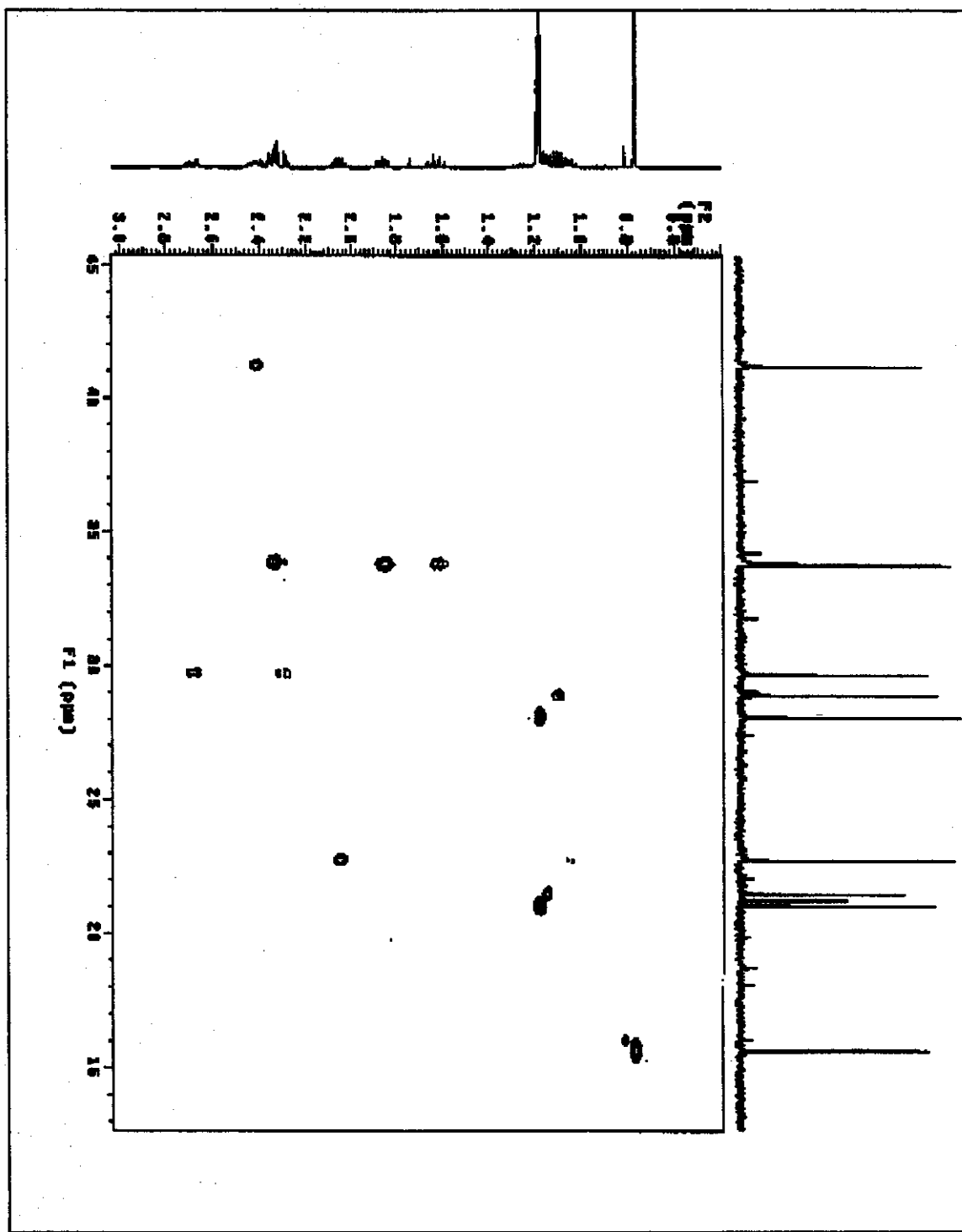
**Figura 43** Espectro de RMN de  $^{13}\text{C}$  { $^1\text{H}$ } (125,7 MHz,  $\text{CDCl}_3/\text{TMS}$ ) do composto **18** (15-35 ppm)



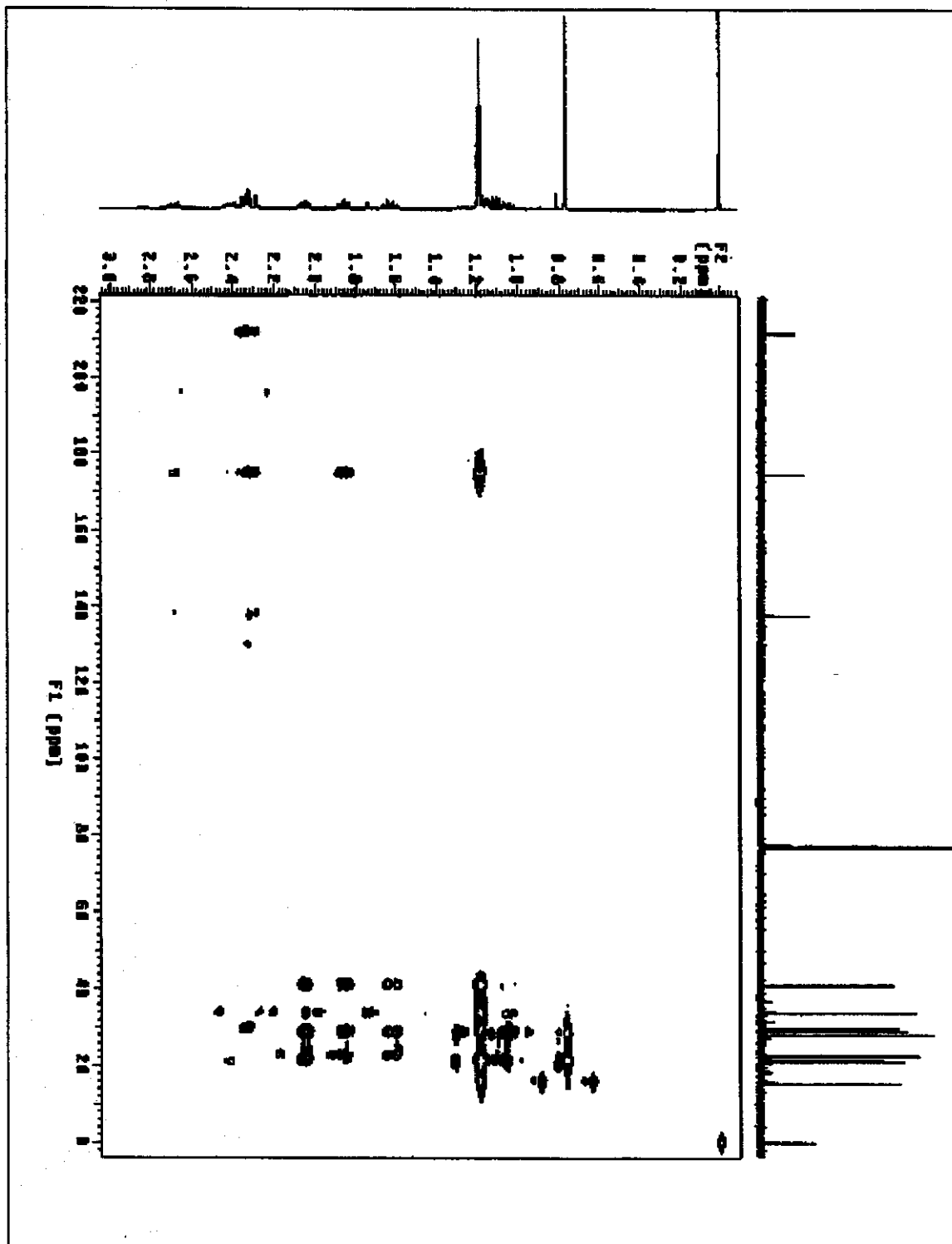
**Figura 44** Espectro de RMN de  $^{13}\text{C}$  { $^1\text{H}$ } (a) DEPT 135, b) DEPT 90) do composto **18**



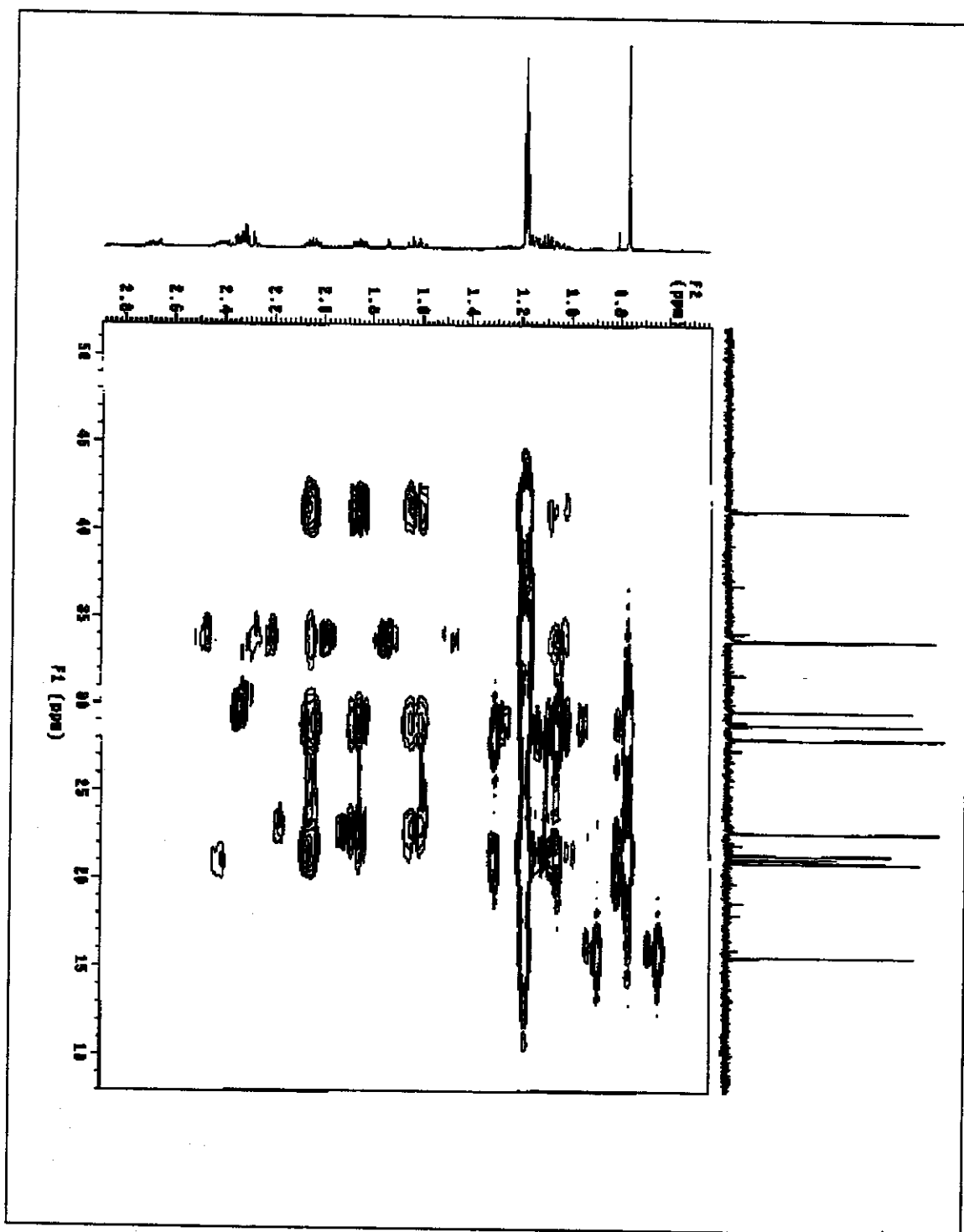
**Figura 45** Espectro de RMN de 2D de correlação  $^1\text{H}, ^1\text{H}$  (COSY) do composto 18



**Figura 46** Mapa de contorno do espectro de RMN de 2D, correlação  $^{13}\text{C}, ^1\text{H}$  (HSQC) do composto **18**



**Figura 47** Mapa de contorno do espectro de RMN de 2D, correlação  $^{13}\text{C}, ^1\text{H}$  g(HMBC) do composto **18**



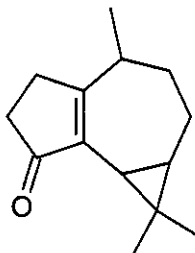
**Figura 48** Mapa de contorno do espectro de RMN de 2D, correlação  $^{13}\text{C}, ^1\text{H}$  g(HMBC) do composto **18** (8 - 52 ppm)

## CONCLUSÕES

Esta pesquisa foi ampla, enfatizando a relevância das substâncias voláteis na ecologia química, na espectrometria de massas e na síntese. Os resultados aqui obtidos revelaram a importância destes compostos nas interações mutualistas entre espécies de moscas polinizadoras (*Pholeomyia*) e de Orchidaceae (*Bulbophyllum weddellii*, *B. involutum* e *B.ipanemense*). Para a análise das fragrâncias emitidas pelas orquídeas foi elaborado em nosso laboratório um acessório para a análise de voláteis.

Foram estudados e propostos mecanismos de fragmentação em espectrometria de massas para sesquiterpenos da classe dos aromadendranos, cadinanos e amorfanos. Para tanto, foram sintetizados seis novos padrões terpênicos deuterados e a técnica utilizada foi de EM/EM.

Finalizando esse projeto, foi realizada a síntese do composto 18, um norsesquiterpeno (7,7,11-trimetil- triciclo-[6.3.0.0<sup>6,8</sup>]-undec-2-en-1-ona), em 13 passos e 0,70% de rendimento. Esse composto poderá servir como intermediário na obtenção de padrões sesquiterpênicos da classe dos aromadendranos, contribuindo para a detecção e identificação desses voláteis quando presentes em óleos essenciais.



18